

**สำนักหอสมุดกลาง พระจอมเกล้าลาดกระบัง**

การออกแบบระบบต่อลงดินของสถานีไฟฟ้าย่อย  
โดยพิจารณาความปลอดภัยด้านวิศวกรรมและเศรษฐศาสตร์

**SUBSTATION GROUNDING SYSTEM DESIGN  
BASED ON ENGINEERING SAFETY AND ECONOMICS**



T117949



ฉพ.  
พ 498 ก

เลขหมู่..... 2554  
เลขทะเบียน..... 117949  
วัน,เดือน,ปี..... 22 ต.ค. 2554

1234905X  
b.....  
i.....

วิทยานิพนธ์นี้เป็นส่วนหนึ่งของการศึกษาตามหลักสูตรปริญญาวิศวกรรมศาสตรมหาบัณฑิต  
สาขาวิชาวิศวกรรมไฟฟ้า  
คณะวิศวกรรมศาสตร์  
สถาบันเทคโนโลยีพระจอมเกล้าเจ้าคุณทหารลาดกระบัง  
พ.ศ. 2554

เอกสารนี้เป็นเอกสารที่สงวนไว้สำหรับกรณีฉุกเฉินเท่านั้น ไม่อนุญาตให้นำไปใช้ประโยชน์ด้านการค้า  
ไม่ว่ากรณีใดๆ ทั้งสิ้น อีกทั้งห้ามมิให้ดัดแปลงเนื้อหา และต้องอ้างอิงถึงเจ้าของเอกสารทุกครั้งที่มีการนำไปใช้

KMITL-2011-EN-M-020-102

**SUBSTATION GROUNDING SYSTEM DESIGN  
BASED ON ENGINEERING SAFETY AND ECONOMICS**



**A THESIS SUBMITTED IN PARTIAL FULFILLMENT  
OF THE REQUIREMENT FOR THE DEGREE OF  
MASTER OF ENGINEERING IN ELECTRICAL ENGINEERING  
FACULTY OF ENGINEERING  
KING MONGKUT'S INSTITUTE OF TECHNOLOGY LADKRABANG**

**2011**

เอกสารนี้เป็นเอกสารที่ส่งมอบไว้สำหรับการใช้งานเพื่อการศึกษาเท่านั้น ไม่อนุญาตให้นำไปใช้ประโยชน์ด้านการค้า  
ไม่ว่ากรณีใดๆ ทั้งสิ้น อีกทั้งห้ามมิให้ดัดแปลงเนื้อหา และต้องอ้างอิงถึงเจ้าของเอกสารทุกครั้งที่มีการนำไปใช้

**KMITL-2011-EN-M-020-102**



**COPYRIGHT 2011**

**FACULTY OF ENGINEERING**

**King Mongkut's Institute of Technology Ladkrabang** ใช้ประโยชน์ด้านการค้า

ไม่ว่ากรณีใดๆ ทั้งสิ้น อีกทั้งห้ามมิให้ดัดแปลงเนื้อหา และต้องอ้างอิงถึงเจ้าของเอกสารทุกครั้งที่มีการนำไปใช้

|                             |   |
|-----------------------------|---|
| หัวข้อวิทยานิพนธ์           | การออกแบบระบบต่อลงดินของสถานีไฟฟ้าย่อยโดยพิจารณาความปลอดภัยด้านวิศวกรรมและเศรษฐศาสตร์ |
| นักศึกษา                    | นายพลฉัตร กัลยา   |
| รหัสประจำตัว                | 51060203  |
| ปริญญา                      | วิศวกรรมศาสตรมหาบัณฑิต  |
| สาขาวิชา                    | วิศวกรรมไฟฟ้า   |
| พ.ศ.                        | 2554  |
| อาจารย์ที่ปรึกษาวิทยานิพนธ์ | รศ.ดร.สมชาติ จิริวิภากร   |

### บทคัดย่อ

วิทยานิพนธ์ฉบับนี้ นำเสนอแนวทางในการออกแบบระบบต่อลงดินสำหรับสถานีไฟฟ้าย่อยที่ปลอดภัยทางด้านวิศวกรรมและเศรษฐศาสตร์ โดยสามารถทำให้สร้างความปลอดภัยให้แก่บุคคลภายในพื้นที่ของสถานีไฟฟ้าย่อยพร้อมกับประหยัดค่าใช้จ่ายในการก่อสร้าง อีกทั้งยังได้นำเสนอการพัฒนาซอฟต์แวร์โปรแกรมในการออกแบบระบบต่อลงดิน โดยอ้างอิงการออกแบบตามมาตรฐาน IEEE Std.80-2000 ที่มีวัตถุประสงค์เพื่อให้คำแนะนำเกี่ยวกับการติดตั้งระบบต่อลงดินในสถานีไฟฟ้าย่อยให้เกิดความปลอดภัย ผสานกับการประยุกต์งานวิจัยของ Xiaobin เพื่อนำมาใช้ในการพิจารณาคำนวณหาค่าความต้านทานกราวด์กริด ที่พบว่าดินส่วนมากพบเป็นดินแบบไม่สม่ำเสมอ การออกแบบระบบต่อลงดินของสถานีไฟฟ้าย่อยด้วยวิธีดินสองชั้น โดยเปรียบเทียบกับการคำนวณด้วยโครงสร้างดินชั้นเดียวพบว่าการคำนวณด้วยโครงสร้างดินสองชั้นมีค่าใกล้เคียงกับค่าจริงมากกว่า ซึ่งซอฟต์แวร์โปรแกรมการออกแบบระบบต่อลงดินถูกสร้างขึ้นและพัฒนาบนโปรแกรม Visual Basic เวอร์ชัน 6.0 นอกจากนั้นซอฟต์แวร์โปรแกรมการออกแบบนี้สามารถแสดงผลลัพธ์และค่าที่ใช้ในการออกแบบพิมพ์เป็นข้อมูลรายงานได้ โดยมีลักษณะการใช้งานง่ายและเหมาะสมกับผู้ใช้งาน

|                       |   |
|-----------------------|---|
| <b>Thesis Title</b>   | Substation grounding system design based on engineering safety and economics. |
| <b>Student</b>        | Mr. Polchat Kalya   |
| <b>Student ID.</b>    | 51060203  |
| <b>Degree</b>         | Master of Engineering   |
| <b>Program</b>        | Electrical Engineering  |
| <b>Year</b>           | 2011  |
| <b>Thesis Advisor</b> | Assoc.Prof.Dr.Somchat Jiriwibhakorn   |

### ABSTRACT

This thesis presents guidelines for a grounding system design for substation according to engineering safety and economics. This can make the security within the area of substations with inexpensive overhead construction. It also presents the software program development in the grounding system design by using the IEEE Std.80-2000 with the purpose to provide instructions for installing the following grounding systems for the safety in substations. The results of Xiaobin are used to determine the grounding resistance. Actually, the soil is nonuniform. To design the grounding system of substations, two soil layers model is compared with the uniform soil model. The results show that the first model is better than the second model. The software program has been developed on Visual Basic (Version 6.0). It can display and print out the report data and is easy to use and suitable for the user.

## กิตติกรรมประกาศ

วิทยานิพนธ์ฉบับนี้สำเร็จลุล่วงได้ด้วยความกรุณาจากอาจารย์ รศ.ดร.สมชาติ จิรีวิภากร อาจารย์ที่ปรึกษาวิทยานิพนธ์ ซึ่งท่านได้ให้โอกาส และให้ความช่วยเหลือทั้งคำปรึกษาชี้แนะ ช่วยแก้ปัญหางานวิจัย ตลอดจนให้ความรู้และประสบการณ์ที่ดีแก่ข้าพเจ้า

ขอขอบพระคุณ รศ.ศิริวัฒน์ โปธิเวชกุล และ ผศ.ดร.อนุวัฒน์ จางวนิชเลิศ กรรมการสอบ หัวข้อและโครงวิทยานิพนธ์ที่ได้กรุณาให้คำแนะนำตลอดจนการชี้แนะจนในที่สุดทำให้ วิทยานิพนธ์ฉบับนี้สำเร็จลงได้

ขอขอบคุณ การไฟฟ้าส่วนภูมิภาค ที่ให้การสนับสนุนการวิจัยนี้ ขอขอบคุณเพื่อนๆ พี่ๆ น้องๆ ที่กองออกแบบสถานีไฟฟ้าทุกคนที่ให้คำแนะนำต่างๆ และคอยให้กำลังใจเสมอมา

สำหรับคุณงามความดีอันใดที่เกิดจากวิทยานิพนธ์ฉบับนี้ ข้าพเจ้าขอมอบให้กับบิดามารดา ซึ่งเป็นที่รักและเคารพยิ่ง ตลอดจนครูอาจารย์ที่ได้ประสิทธิ์ประสาทวิชาความรู้และถ่ายทอด ประสบการณ์ที่ดีให้แก่ข้าพเจ้า

พลฉัตร กัลยา

# สารบัญ

หน้า

|   |     |
|---|-----|
| บทคัดย่อภาษาไทย.....                                      | I   |
| บทคัดย่อภาษาอังกฤษ.....                                   | II  |
| กิตติกรรมประกาศ.....                                      | III |
| สารบัญ.....   | IV  |
| สารบัญตาราง.....  | VI  |
| สารบัญรูป.....  | VII |
| บทที่ 1 บทนำ.....   | 1   |
| 1.1 ความเป็นมาและความสำคัญของปัญหา.....                   | 1   |
| 1.2 ความมุ่งหมายและวัตถุประสงค์ของการศึกษา.....           | 2   |
| 1.3 สมมติฐานของการศึกษา.....                              | 2   |
| 1.4 ขอบเขตการศึกษา.....                                   | 2   |
| 1.5 ขั้นตอนการศึกษา.....                                  | 3   |
| 1.6 ประโยชน์ที่คาดว่าจะได้รับ.....                        | 3   |
| บทที่ 2 ระบบการต่อลงดินในสถานีไฟฟ้าย่อย.....              | 4   |
| 2.1 นิยามศัพท์ที่เกี่ยวข้องกับระบบต่อลงดิน.....           | 4   |
| 2.2 การวัดค่าความต้านทานจำเพาะของดิน.....                 | 8   |
| 2.2.1 ดิน.....  | 8   |
| 2.2.2 การวัดค่าความต้านทานจำเพาะของดิน.....               | 9   |
| 2.3 ขนาดและวัสดุของสายตัวนำต่อลงดิน.....                  | 11  |
| 2.3.1 คุณสมบัติของสายตัวนำที่ใช้ในระบบต่อลงดิน.....       | 11  |
| 2.3.2 ขนาดของสายตัวนำ.....                                | 11  |
| 2.3.3 โลหะที่ใช้เป็นลวดตัวนำในระบบต่อลงดิน.....           | 12  |
| 2.4 แรงดันไฟฟ้าที่มนุษย์ทนได้.....                        | 15  |
| 2.4.1 ความต้านทานของร่างกายมนุษย์.....                    | 15  |
| 2.4.2 กระแสและช่วงเวลาที่เกิดการผิพร้อง.....              | 15  |
| 2.4.3 วงจรสมมูลของการเกิดอันตรายเนื่องจากการสัมผัส.....   | 17  |
| 2.4.4 วงจรสมมูลของการเกิดอันตรายเนื่องจากการก้าวเดิน..... | 19  |
| 2.5 การพิสูจน์ผลบนผิวดินภายในบริเวณสถานีไฟฟ้าย่อย.....    | 20  |

เอกสารนี้เป็นเอกสารที่สงวนไว้สำหรับการใช้งานเพื่อการศึกษาค้นคว้าเท่านั้น ไม่อนุญาตให้นำไปใช้ประโยชน์ด้านการค้า  
ไม่ว่ากรณีใดๆ ที่สิ้นอีกทั้งห้ามมีเหตุเปลี่ยนแปลงเนื้อหา และต้องอ้างอิงถึงเจ้าของเอกสารทุกครั้งที่มีการนำไปใช้

## สารบัญ (ต่อ)

|   | หน้า      |
|---|-----------|
| 2.6 กระแสกริดสูงสุด.....  | 23        |
| 2.7 แรงดันไฟฟ้าเมฆและแรงดันไฟฟ้าช่วงก้าว.....   | 25        |
| 2.7.1 แรงดันไฟฟ้าเมฆ (Mesh voltage).....  | 26        |
| 2.7.2 แรงดันไฟฟ้าช่วงก้าว (Step voltage).....   | 28        |
| 2.8 GPR.....  | 28        |
| <b>บทที่ 3 การหาความต้านทานระบบต่อลงดินในสถานีไฟฟ้าย่อยกรณีพิจารณาเป็นดินสองชั้น.....</b> | <b>29</b> |
| 3.1 ความต้านทานกราวด์กริด.....  | 30        |
| 3.1.1 สมการ Sverak.....   | 30        |
| 3.1.2 สมการ Xiaobin.....  | 31        |
| 3.2 ความต้านทานแท่งกราวด์รูด.....   | 32        |
| 3.3 ความต้านทานระบบต่อลงดิน.....  | 34        |
| 3.4 กรณีศึกษา.....  | 35        |
| 3.4.1 สถานีไฟฟ้าดอยสะเก็ด จังหวัดเชียงใหม่.....   | 35        |
| 3.4.2 สถานีไฟฟ้านางรอง (ชั่วคราว) จังหวัดบุรีรัมย์.....                                   | 38        |
| 3.4.3 สถานีไฟฟ้าวัดโบสถ์ จังหวัดพิษณุโลก.....   | 41        |
| 3.5 สรุปผลการทดลอง.....   | 44        |
| <b>บทที่ 4 การออกแบบระบบต่อลงดินในสถานีไฟฟ้าย่อย.....</b>                                 | <b>45</b> |
| 4.1 วัตถุประสงค์การออกแบบระบบต่อลงดิน.....  | 45        |
| 4.2 ขั้นตอนการออกแบบระบบต่อลงดิน.....   | 45        |
| 4.3 คำนีตัวแปรสำหรับการออกแบบระบบต่อลงดิน.....  | 48        |
| 4.4 ตัวอย่างการคำนวณออกแบบระบบต่อลงดิน.....   | 50        |
| 4.4.1 กราวด์กริดรูปทรงสี่เหลี่ยมจัตุรัสและไม่มีแท่งกราวด์รูด.....                         | 51        |
| 4.4.2 กราวด์กริดรูปทรงสี่เหลี่ยมจัตุรัสและมีแท่งกราวด์รูด.....                            | 58        |
| 4.4.3 กราวด์กริดรูปทรงสี่เหลี่ยมผืนผ้าและมีแท่งกราวด์รูด.....                             | 64        |
| 4.4.4 กราวด์กริดรูปทรงตัวแอลและมีแท่งกราวด์รูด.....                                       | 70        |
| 4.5 โปรแกรม Visual Basic.....   | 76        |
| 4.5.1 ภาพรวมของ Visual Basic.....   | 76        |

เอกสารนี้เป็นเอกสารที่สงวนไว้สำหรับการใช้งานเพื่อการศึกษาเท่านั้น ไม่อนุญาตให้นำไปใช้ประโยชน์ด้านการค้า  
ไม่ว่ากรณีใดๆ ทั้งสิ้น อีกทั้งห้ามมีเหตุเปลี่ยนแปลงเนื้อหา และต้องอ้างอิงถึงเจ้าของเอกสารทุกครั้งที่มีการนำไปใช้

## สารบัญ (ต่อ)

หน้า

|                      |  |     |
|----------------------|--|-----|
| 4.5.2                | หลักการโปรแกรมเชิงภาพ Visual Basic.....                            | 76  |
| 4.5.3                | ความต้องการของระบบคอมพิวเตอร์ก่อนการติดตั้งโปรแกรม.....            | 78  |
| 4.5.4                | ข้อดีของโปรแกรมVisual Basic.....                                   | 78  |
| 4.6                  | แนะนำโปรแกรมการออกแบบระบบต่อลงดิน.....                             | 78  |
| 4.6.1                | ขอบเขตและเงื่อนไขสำหรับโปรแกรมการออกแบบระบบต่อลงดิน.....           | 78  |
| 4.6.2                | ส่วนประกอบและวิธีการใช้งานโปรแกรมการออกแบบระบบต่อลงดิน.....        | 79  |
| บทที่ 5              | ผลการออกแบบระบบต่อลงดินของสถานีไฟฟ้าย่อย.....                      | 89  |
| 5.1                  | ราคาค่าอุปกรณ์และค่าติดตั้งระบบต่อลงดิน.....                       | 89  |
| 5.2                  | ผลการทดลองออกแบบระบบต่อลงดินของสถานีไฟฟ้าย่อย.....                 | 89  |
| 5.2.2                | ข้อมูลเบื้องต้นที่ใช้ในการทดลองออกแบบ.....                         | 89  |
| 5.2.3                | ผลลัพธ์จากการทดลองออกแบบระบบต่อลงดิน.....                          | 91  |
| 5.3                  | การออกแบบระบบต่อลงดินสถานีไฟฟ้าย่อยของการไฟฟ้าส่วนภูมิภาค.....     | 99  |
| บทที่ 6              | สรุปผลการวิจัยและข้อเสนอแนะ.....                                   | 107 |
| บรรณานุกรม.....      |  | 112 |
| ภาคผนวก.....         |  | 114 |
| ภาคผนวก ก.           | โปรแกรม CDEGS ที่ใช้ในการหาความต้านทานจำเพาะของดินชนิดสองชั้น..... | 115 |
| ภาคผนวก ข.           | ผลงานวิจัยที่ได้รับการตีพิมพ์เผยแพร่.....                          | 127 |
| ประวัติผู้เขียน..... |  | 133 |

เอกสารนี้เป็นเอกสารที่สงวนไว้สำหรับการใช้งานเพื่อการศึกษาเท่านั้น ไม่อนุญาตให้นำไปใช้ประโยชน์ด้านการค้า  
ไม่ว่ากรณีใดๆ ทั้งสิ้น อีกทั้งห้ามมิให้ดัดแปลงเนื้อหา และต้องอ้างอิงถึงเจ้าของเอกสารทุกครั้งที่มีการนำไปใช้

# สารบัญตาราง

| ตารางที่  | หน้า |
|---|------|
| 2.1 ค่าความต้านทานจำเพาะของดิน.....   | 8    |
| 2.2 ค่าคงที่ของวัสดุ.....   | 14   |
| 2.3 ค่าความต้านทานของอวัยวะต่างๆของมนุษย์.....  | 15   |
| 2.4 ปริมาณกระแสที่เพศชายและเพศหญิงสามารถทนได้.....  | 16   |
| 2.5 ผลทางกายภาพของกระแสไฟฟ้าที่ไหลผ่านร่างกายมนุษย์.....  | 16   |
| 2.6 ค่าความต้านทานจำเพาะของหินประเภทต่างๆ.....  | 21   |
| 3.1 ค่าความต้านทานดินที่สถานีไฟฟ้าดอยสะเก็ด จังหวัดเชียงใหม่.....   | 35   |
| 3.2 ค่าความต้านทานดินที่สถานีไฟฟ้านางรอง (ชั่วคราว) จังหวัดบุรีรัมย์.....   | 38   |
| 3.3 ค่าความต้านทานดินที่สถานีไฟฟ้าวัดโบสถ์ จังหวัดพิษณุโลก.....   | 41   |
| 3.4 เปรียบเทียบค่าความต้านทานระบบต่อลงดิน.....  | 44   |
| 4.1 ดัชนีตัวแปรสำหรับการออกแบบระบบต่อลงดิน.....   | 48   |
| 4.2 ข้อมูลเบื้องต้นสำหรับตัวอย่างการคำนวณ.....  | 50   |
| 5.1 ราคาค่าอุปกรณ์และค่าติดตั้งระบบต่อลงดิน.....  | 89   |
| 5.2 ผลการออกแบบกราวด์กริดรูปทรงสี่เหลี่ยมจัตุรัสที่ค่าความต้านทานจำเพาะเท่ากับ<br>50 โอห์ม-เมตร และไม่มีแท่งกราวด์รูด.....        | 91   |
| 5.3 ผลการออกแบบกราวด์กริดรูปทรงสี่เหลี่ยมจัตุรัสที่ค่าความต้านทานจำเพาะเท่ากับ<br>โอห์ม-เมตร และมีแท่งกราวด์รูดยาว 3 เมตร.....    | 92   |
| 5.4 ผลการออกแบบกราวด์กริดรูปทรงสี่เหลี่ยมจัตุรัสที่ค่าความต้านทานจำเพาะเท่ากับ<br>50 โอห์ม-เมตร และมีแท่งกราวด์รูดยาว 6 เมตร..... | 92   |
| 5.5 ผลการออกแบบกราวด์กริดรูปทรงสี่เหลี่ยมผืนผ้าที่ค่าความต้านทานจำเพาะเท่ากับ<br>50 โอห์ม-เมตร และไม่มีแท่งกราวด์รูด.....         | 94   |
| 5.6 ผลการออกแบบกราวด์กริดรูปทรงสี่เหลี่ยมผืนผ้าที่ค่าความต้านทานจำเพาะเท่ากับ<br>50 โอห์ม-เมตร และมีแท่งกราวด์รูดยาว 3 เมตร.....  | 94   |
| 5.7 ผลการออกแบบกราวด์กริดรูปทรงสี่เหลี่ยมผืนผ้าที่ค่าความต้านทานจำเพาะเท่ากับ<br>50 โอห์ม-เมตร และมีแท่งกราวด์รูดยาว 6 เมตร.....  | 95   |
| 5.8 ผลการออกแบบกราวด์กริดรูปทรงตัวแอลที่ค่าความต้านทานจำเพาะเท่ากับ<br>50 โอห์ม-เมตร และไม่มีแท่งกราวด์รูด.....                   | 96   |
| 5.9 ผลการออกแบบกราวด์กริดรูปทรงตัวแอลที่ค่าความต้านทานจำเพาะเท่ากับ<br>50 โอห์ม-เมตร และมีแท่งกราวด์รูดยาว 3 เมตร.....            | 97   |

เอกสารนี้เป็นเอกสารที่สงวนไว้สำหรับการใช้งานเพื่อการศึกษาเท่านั้น ไม่อนุญาตให้นำไปใช้ประโยชน์ด้านการค้า  
ไม่ว่ากรณีใดๆ ทั้งสิ้น อีกทั้งห้ามมิให้ดัดแปลงเนื้อหา และต้องอ้างอิงถึงเจ้าของเอกสารทุกครั้งที่มีการนำไปใช้

## สารบัญตาราง (ต่อ)

| ตารางที่  | หน้า |
|---|------|
| 5.10 ผลการออกแบบกราวด์กริดรูปทรงตัวแอลที่ค่าความต้านทานจำเพาะเท่ากับ<br>50 โอห์ม-เมตร และมีแท่งกราวด์รูดยาว 6 เมตร..... | 97   |
| 5.11 ข้อมูลในการออกแบบ.....   | 99   |
| 5.12 ค่าความต้านดินที่สถานีไฟฟ้าหม้อสูตสาหกรรมภาคเหนือ จังหวัดลำพูน.....  | 100  |
| 6.1 เปรียบเทียบค่าใช้จ่ายกราวด์กริดรูปทรงสี่เหลี่ยมจัตุรัส.....   | 108  |
| 6.2 เปรียบเทียบค่าใช้จ่ายกราวด์กริดรูปทรงสี่เหลี่ยมผืนผ้า.....  | 109  |
| 6.3 เปรียบเทียบค่าใช้จ่ายกราวด์กริดรูปทรงตัวแอล.....  | 109  |
| ก.1 ความต้านทานดินที่ภาคสนาม อำเภอพาน จังหวัดเชียงราย.....  | 121  |



เอกสารนี้เป็นเอกสารที่สงวนไว้สำหรับการใช้งานเพื่อการศึกษาเท่านั้น ไม่อนุญาตให้นำไปใช้ประโยชน์ด้านการค้า  
ไม่ว่ากรณีใดๆ ทั้งสิ้น อีกทั้งห้ามมิให้ตัดแปลงเนื้อหา และต้องอ้างอิงถึงเจ้าของเอกสารทุกครั้งที่มีการนำไปใช้

# สารบัญรูป

| รูปที่  | หน้า |
|---|------|
| 2.1 ความสัมพันธ์ระหว่างค่าจริงของกระแสผิตพรัอง และค่าของ $I_p$ , $I_n$ และ $D_f$<br>ในช่วงเวลาการเกิดความผิตพรัอง $t_f$ ..... | 7    |
| 2.2 ผลของความชื้น อุณหภูมิ และสารเคมีที่มีต่อค่าความต้านทานจำเพาะของดิน.....  | 9    |
| 2.3 การวัดความต้านทานจำเพาะของดินแบบเวนเนอร์.....   | 10   |
| 2.4 วงจรจำลองการเกิดอุบัติเหตุเมื่อมนุษย์ได้รับแรงดันไฟฟ้าสัมผัส.....   | 17   |
| 2.5 วงจรสมมูลเมื่อมนุษย์ได้รับแรงดันไฟฟ้าสัมผัส.....  | 17   |
| 2.6 วงจรจำลองการเกิดอุบัติเหตุเมื่อมนุษย์ได้รับแรงดันไฟฟ้าช่วงก้าว.....   | 19   |
| 2.7 วงจรสมมูลเมื่อมนุษย์ได้รับแรงดันไฟฟ้าช่วงก้าว.....  | 19   |
| 2.8 การปฐมนิพนธ์ดินภายในบริเวณสถานีไฟฟ้าย่อย.....   | 20   |
| 2.9 ค่า G ของสาย Overhead Ground Wire.....  | 24   |
| 2.10 ค่า B ของสาย Overhead Ground Wire.....   | 25   |
| 3.1 แท่งกราวด์รูดในดินสองชั้น.....  | 32   |
| 3.2 ผลการคำนวณหาค่าความต้านทานจำเพาะของดินที่สถานีไฟฟ้าคอยสะเกิดด้วยโปรแกรม<br>CDEGS โมดูล RESAP.....                         | 36   |
| 3.3 กราวด์กริดสถานีไฟฟ้าคอยสะเกิด.....  | 37   |
| 3.4 การคำนวณหาค่าความต้านทานต่อลงดินที่สถานีไฟฟ้าคอยสะเกิดและผลการคำนวณ<br>ด้วยโปรแกรม CDEGS โมดูล MALT.....                  | 37   |
| 3.5 กราวด์กริดสถานีไฟฟ้านางรอง (ชั่วคราว).....  | 39   |
| 3.6 ผลการคำนวณหาค่าความต้านทานจำเพาะของดินที่สถานีไฟฟ้านางรอง (ชั่วคราว)<br>ด้วยโปรแกรม CDEGS โมดูล RESAP.....                | 40   |
| 3.7 การคำนวณหาค่าความต้านทานระบบต่อลงดินที่สถานีไฟฟ้านางรอง (ชั่วคราว)<br>และผลการคำนวณด้วยโปรแกรม CDEGS โมดูล MALT.....      | 40   |
| 3.8 ผลการคำนวณหาค่าความต้านทานจำเพาะของดินที่สถานีไฟฟ้าวัดโบสถ์<br>ด้วยโปรแกรม CDEGS โมดูล RESAP.....                         | 42   |
| 3.9 กราวด์กริดสถานีไฟฟ้าวัดโบสถ์.....   | 42   |
| 3.10 การคำนวณหาค่าความต้านทานระบบต่อลงดินที่สถานีไฟฟ้าวัดโบสถ์<br>และผลการคำนวณด้วยโปรแกรม CDEGS โมดูล MALT.....              | 43   |
| 4.1 แผนภูมิการออกแบบระบบต่อลงดิน.....   | 47   |

เอกสารนี้เป็นเอกสารที่สงวนไว้สำหรับการใช้งานเพื่อการศึกษาค้นคว้าเท่านั้น ไม่อนุญาตให้นำไปใช้ประโยชน์ด้านการค้า  
4.2 กราวด์กริดรูปทรงสี่เหลี่ยมจัตุรัสและไม่มีแท่งกราวด์รูด.....52  
ไม่ว่ากรณีใดๆ ทั้งสิ้น อีกทั้งห้ามมีเหตุดัดแปลงเนื้อหา และต้องอ้างอิงถึงเจ้าของเอกสารทุกครั้งที่มีการนำไปใช้

## สารบัญรูป (ต่อ)

| รูปที่  | หน้า |
|---|------|
| 4.3 กราวด์กริดรูปทรงสี่เหลี่ยมจัตุรัสและมีแท่งกราวด์รูดยาว 7.5 เมตร มีรัศมี 0.005 เมตร<br>จำนวน 20 แท่ง เชื่อมต่อยุ่ด้วย..... | 59   |
| 4.4 กราวด์กริดรูปทรงสี่เหลี่ยมผืนผ้าและมีแท่งกราวด์รูดยาว 10 เมตร มีรัศมี 0.005 เมตร<br>จำนวน 38 แท่ง เชื่อมต่อยุ่ด้วย.....   | 65   |
| 4.5 กราวด์กริดรูปทรงตัวแอลและมีแท่งกราวด์รูดยาว 7.5 เมตร และมีรัศมี 0.005 เมตร<br>จำนวน 24 แท่ง เชื่อมต่อยุ่ด้วย.....         | 70   |
| 4.6 การเขียน โปรแกรมแบบธรรมดา กับแบบ Even-Driven.....   | 77   |
| 4.7 วินโดว์แรกสู่การออกแบบระบบต่อลงดิน.....   | 79   |
| 4.8 วินโดว์การคำนวณหาขนาดกระแสพิศพ่อง.....  | 80   |
| 4.9 วินโดว์รายงานการคำนวณหาขนาดกระแสพิศพ่อง.....  | 80   |
| 4.10 วินโดว์การคำนวณหาขนาดสายตัวนำ.....   | 81   |
| 4.11 วินโดว์รายงานการคำนวณหาขนาดของสายตัวนำ.....  | 82   |
| 4.12 วินโดว์การคำนวณหาค่าความต้านทานระบบต่อลงดิน.....   | 83   |
| 4.13 วินโดว์รายงานการคำนวณหาค่าความต้านทานระบบต่อลงดิน.....   | 83   |
| 4.14 วินโดว์การคำนวณหาค่ากระแสกริดสูงสุด.....   | 84   |
| 4.15 วินโดว์การคำนวณหาค่า GPR.....  | 85   |
| 4.16 วินโดว์การคำนวณหาค่าแรงดัน ไฟฟ้าสัมผัสและแรงดัน ไฟฟ้าช่วงก้ำวสูงสุด.....   | 86   |
| 4.17 วินโดว์รายงานการคำนวณหาค่าแรงดัน ไฟฟ้าสัมผัสและแรงดัน ไฟฟ้าช่วงก้ำวสูงสุด.....   | 86   |
| 4.18 วินโดว์การคำนวณหาแรงดัน ไฟฟ้าเมฆและแรงดัน ไฟฟ้าช่วงก้ำวที่เกิดขึ้นจริง.....  | 87   |
| 4.19 วินโดว์การคำนวณหาแรงดัน ไฟฟ้าเมฆและแรงดัน ไฟฟ้าช่วงก้ำวที่เกิดขึ้นจริง.....  | 88   |
| 5.1 กราวด์กริดรูปทรงสี่เหลี่ยมจัตุรัสมิขนาดพื้นที่ 10,000 ตารางเมตร.....  | 90   |
| 5.2 กราวด์กริดรูปทรงสี่เหลี่ยมผืนผ้ามีขนาดพื้นที่ 10,000 ตารางเมตร.....   | 90   |
| 5.3 กราวด์กริดรูปทรงตัวแอลมีขนาดพื้นที่ 10,000 ตารางเมตร.....   | 91   |
| 5.4 ค่าใช้จ่ายในการก่อสร้างระบบต่อลงดินเมื่อมีการเปลี่ยนแปลงระยะห่างระหว่างตัวนำของ<br>กราวด์กริดรูปทรงสี่เหลี่ยมจัตุรัส..... | 93   |
| 5.5 ค่าใช้จ่ายในการก่อสร้างระบบต่อลงดินเมื่อมีการเปลี่ยนแปลงระยะห่างระหว่างตัวนำของ<br>กราวด์กริดรูปทรงสี่เหลี่ยมผืนผ้า.....  | 96   |
| 5.6 ค่าใช้จ่ายในการก่อสร้างระบบต่อลงดินเมื่อมีการเปลี่ยนแปลงระยะห่างระหว่างตัวนำของ<br>กราวด์กริดรูปทรงตัวแอล.....            | 98   |

เอกสารนี้เป็นเอกสารที่สงวนไว้สำหรับการใช้งานเพื่อการศึกษาเท่านั้น ไม่อนุญาตให้นำไปใช้ประโยชน์ด้านการค้า  
ไม่ว่ากรณีใดๆ ทั้งสิ้น อีกทั้งห้ามมิให้ดัดแปลงเนื้อหา และต้องอ้างอิงถึงเจ้าของเอกสารทุกครั้งที่มีการนำไปใช้

## สารบัญรูป (ต่อ)

| รูปที่  | หน้า |
|---|------|
| 5.7 ผลการคำนวณหาค่าความต้านทานจำเพาะของดินที่สถานีไฟฟ้านิคมอุตสาหกรรมภาคเหนือ<br>ด้วยโปรแกรม CDEGS โมดูล RESAP..... | 100  |
| 5.8 วินโดว์ผลการคำนวณหาขนาดสายตัวนำ.....  | 101  |
| 5.9 วินโดว์รายงานผลการคำนวณหาขนาดสายตัวนำ.....  | 101  |
| 5.10 วินโดว์การคำนวณหาแรงดันไฟฟ้าสัมผัสและแรงดันไฟฟ้าช่วงก้ำวสูงสุด.....  | 102  |
| 5.11 วินโดว์การคำนวณหาค่าความต้านทานระบบต่อลงดิน.....   | 103  |
| 5.12 วินโดว์รายงานผลการคำนวณหาค่าความต้านทานระบบต่อลงดิน.....   | 103  |
| 5.13 วินโดว์การคำนวณหาค่ากระแสกริดสูงสุด.....   | 104  |
| 5.14 วินโดว์การคำนวณหาค่า GPR.....  | 104  |
| 5.15 วินโดว์การคำนวณหาค่าแรงดันไฟฟ้าที่เกิดขึ้นในสถานีไฟฟ้า.....  | 105  |
| 5.16 วินโดว์การคำนวณหาแรงดันไฟฟ้าเมฆและแรงดันไฟฟ้าช่วงก้ำวที่เกิดขึ้นจริง.....                                      | 106  |
| 6.1 กราฟเปรียบเทียบค่าใช้จ่ายกราวด์กริดรูปทรงสี่เหลี่ยมจัตุรัส.....   | 107  |
| 6.2 กราฟเปรียบเทียบค่าใช้จ่ายกราวด์กริดรูปทรงสี่เหลี่ยมผืนผ้า.....  | 108  |
| 6.3 กราฟเปรียบเทียบค่าใช้จ่ายกราวด์กริดรูปทรงตัวแอล.....  | 108  |
| ก.1 หน้าจอ CDEGS.....   | 116  |
| ก.2 การกำหนด ID การใช้งาน โมดูล RESAP.....  | 117  |
| ก.3 Toolbox การใช้งาน โมดูล RESAP.....  | 117  |
| ก.4 การป้อนข้อมูล โมดูล RESAP.....  | 118  |
| ก.5 การเลือกแบบจำลองและการตั้งค่าโมดูล REASP.....   | 119  |
| ก.6 การเลือกรูปแบบการ report และ plot โมดูล RESAP.....  | 120  |
| ก.7 ผลค่าความต้านทานจำเพาะของดินสองชั้นของ โมดูล RESAP.....   | 121  |
| ก.8 กราฟค่าความต้านทานจำเพาะของดินสองชั้นของ โมดูล RESAP.....   | 122  |
| ก.9 ดินสองชั้นในแนวนอน.....   | 122  |
| ก.10 การกำหนด ID การใช้งาน โมดูล MALT.....  | 123  |
| ก.11 Toolbox การใช้งาน โมดูล MALT.....  | 123  |
| ก.12 หน้าจอโมดูล MALT.....  | 124  |
| ก.13 หน้าจอของการ PLOT/REPORT/PRINT โมดูล MALT.....   | 124  |
| ก.14 ตัวอย่าง Report จาก โมดูล MALT.....  | 125  |

เอกสารนี้เป็นเอกสารที่สงวนไว้สำหรับการใช้งานเพื่อการศึกษาเท่านั้น ไม่อนุญาตให้นำไปใช้ประโยชน์ด้านการค้า  
ไม่ว่ากรณีใดๆ ทั้งสิ้น อีกทั้งห้ามมิให้ตัดแปลงเนื้อหา และต้องอ้างอิงถึงเจ้าของเอกสารทุกครั้งที่มีการนำไปใช้

## สารบัญรูป (ต่อ)

| รูปที่   | หน้า |
|--|------|
| ก.15 แสดงศักย์ไฟฟ้าบนผิวดินด้วย 2D.....              | 126  |
| ก.16 แสดงศักย์ไฟฟ้าบนผิวดินด้วย 3D Perspective ..... | 126  |



เอกสารนี้เป็นเอกสารที่สงวนไว้สำหรับการใช้งานเพื่อการศึกษาเท่านั้น ไม่อนุญาตให้นำไปใช้ประโยชน์ด้านการค้า  
ไม่ว่ากรณีใดๆ ทั้งสิ้น อีกทั้งห้ามมิให้ดัดแปลงเนื้อหา และต้องอ้างอิงถึงเจ้าของเอกสารทุกครั้งที่มีการนำไปใช้

# บทที่ 1

## บทนำ

### 1.1 ความเป็นมาและความสำคัญของปัญหา

การออกแบบระบบต่อลงดินของสถานีไฟฟ้าย่อย มีวัตถุประสงค์เพื่อปกป้องชีวิตของผู้ปฏิบัติงานในพื้นที่สถานีให้ได้รับความปลอดภัยจากภาวะที่เกิดความผิดปกติ เพราะในขณะที่เกิดภาวะความผิดปกติ กระแสที่ไหลลงสู่กราวด์กริดจะมีขนาดสูงมากทำให้เกิดความแตกต่างของแรงดันระหว่างเท้าทั้งสองข้างในขณะที่มนุษย์เดินอยู่ในสถานีไฟฟ้า (Step Voltage) หรือเกิดขึ้นระหว่างเท้าและแขนในขณะที่มนุษย์สัมผัสกับอุปกรณ์ (Touch Voltage) จึงมีกระแสไหลเข้าสู่ร่างกายมนุษย์ ถ้ากระแสที่ไหลเข้าสู่ร่างกายนี้มีค่ามากกว่ากระแสที่มนุษย์สามารถทนได้ก็จะทำให้เกิดช็อกหรือเสียชีวิตได้ การออกแบบระบบต่อลงดินของสถานีไฟฟ้าย่อยที่ดีจึงควรออกแบบไม่ให้เกิดอันตรายทั้งสองดังกล่าวมีค่าเกินกว่าที่มนุษย์จะทนได้โดยไม่เป็นอันตราย [1, 16]

การออกแบบระบบต่อลงดินของสถานีไฟฟ้าย่อยได้ถูกพัฒนา ค้นคว้ามาตามลำดับ ซึ่งมาตรฐานที่นิยมและเป็นมาตรฐานสากลมาตรฐานหนึ่งคือ มาตรฐาน IEEE Std. 80-2000 [16] กล่าวถึงการออกแบบระบบต่อลงดินของสถานีไฟฟ้าย่อยเพื่อให้เกิดความปลอดภัยต่อผู้ที่ปฏิบัติงานในพื้นที่สถานีไฟฟ้า และการคำนวณด้วยโครงสร้างดินสองชั้นเพื่อหาค่าความต้านทานระบบต่อลงดินของสถานีไฟฟ้าย่อยโดยเปรียบเทียบกับ การคำนวณด้วยโครงสร้างดินชั้นเดียวพบว่า การคำนวณด้วยโครงสร้างดินสองชั้นมีค่าใกล้เคียงกับค่าจริงมากกว่า [15,19] อีกทั้งได้มีการพัฒนาคิดค้นทฤษฎีการคำนวณด้วยโครงสร้างดินสองชั้นเพื่อหาค่าความต้านทานกราวด์กริดที่มีความใกล้เคียงกับผลจากการคำนวณด้วยโปรแกรม CDEGS [14, 18] โดยที่การออกแบบระบบต่อลงดินของสถานีไฟฟ้าย่อยนั้นจำเป็นต้องคำนึงถึงการประหยัดค่าใช้จ่ายในการก่อสร้างด้วย

วิทยานิพนธ์ฉบับนี้จึงได้ทำการศึกษากระบวนการออกแบบระบบต่อลงดินในสถานีไฟฟ้า ด้วยวิธีที่กำหนดในมาตรฐาน IEEE Std. 80-2000 [1, 16] ผสานกับทฤษฎีการคำนวณหาความต้านทานกราวด์กริดที่ได้พัฒนาขึ้นมาใหม่โดยใช้ค่าพารามิเตอร์ของดินสองชั้น [18] และนำเสนอแนวทางในการออกแบบระบบต่อลงดินที่มีความปลอดภัยด้านวิศวกรรมและเศรษฐศาสตร์ โดยสามารถทำให้สร้างความปลอดภัยให้แก่บุคคลภายในพื้นที่ของสถานีไฟฟ้าย่อยพร้อมกับประหยัดค่าใช้จ่ายในการก่อสร้าง นอกจากนี้ยังได้นำมาพัฒนาเป็นซอฟต์แวร์บนโปรแกรม Visual Basic เวอร์ชัน 6.0 [8,9, 10, 11, 12] เพื่อช่วยในการออกแบบระบบต่อลงดินให้มีความรวดเร็วต่อการใช้งาน

## 1.2 ความมุ่งหมายและวัตถุประสงค์ของการศึกษา

เพื่อทำการศึกษาถึงหลักการออกแบบระบบต่อลงดินและผลของการเปลี่ยนแปลงระยะห่างระหว่างตัวนำ จำนวนและความยาวแท่งกราวด์รูด ว่ามีผลกระทบต่อค่าแรงดันไฟฟ้าเมฆ แรงดันไฟฟ้าช่วงก้าวและค่าใช้จ่ายในการก่อสร้าง โดยอาศัยซอฟต์แวร์โปรแกรมช่วยในการออกแบบระบบต่อลงดินที่พัฒนาขึ้น

## 1.3 สมมุติฐานของการศึกษา

การออกแบบระบบต่อลงดินในสถานีไฟฟ้าย่อยโดยการใช้ค่ากระแสผิดพลาดสูงสุดเท่ากับ 31.5 กิโลแอมแปร์ และระยะเวลากระแสไฟฟ้าผิดพลาดเท่ากับ 0.6 วินาที ซึ่งเป็นข้อมูลการออกแบบของการไฟฟ้าส่วนภูมิภาค โดยเมื่อเพิ่มระยะห่างระหว่างตัวนำ เพิ่มจำนวนและความยาวแท่งกราวด์รูดจะเป็นการลดค่าใช้จ่ายในการก่อสร้าง และการใช้ค่าพารามิเตอร์ของดินสองชั้นในการคำนวณหาความต้านทานของกราวด์กริดจะได้ค่าใกล้เคียงกับค่าที่เกิดขึ้นจริง

## 1.4 ขอบเขตการศึกษา

การศึกษากการออกแบบระบบต่อลงดินมีขอบเขตการศึกษาดังนี้

1. ศึกษาเฉพาะกราวด์กริดรูปทรงสี่เหลี่ยมจัตุรัส, สี่เหลี่ยมผืนผ้า และรูปทรงตัวแอล
2. กราวด์กริดที่ทำการศึกษาจะมีช่องตะแกรงหรือเมฆเป็นรูปสี่เหลี่ยมจัตุรัสเท่านั้น
3. เมื่อเกิดภาวะผิดพลาด (Fault) การศึกษานี้จะพิจารณาในสภาวะคงตัว
4. ไม่พิจารณาผลของดินที่ตำแหน่งไกลออกไปจากพื้นที่สถานีไฟฟ้าย่อย โดยพิจารณาเฉพาะภายในบริเวณสถานีไฟฟ้าย่อยเท่านั้น
5. ไม่พิจารณาค่าแห่งการติดตั้งแท่งกราวด์รูดเป็นบริเวณเฉพาะภายในพื้นที่สถานีไฟฟ้าย่อย โดยแท่งกราวด์รูดจะติดตั้งแบบลุ่มที่ตำแหน่งใดๆทั่วพื้นที่กราวด์กริด
6. ราคาอุปกรณ์และค่าติดตั้งระบบต่อลงดินเป็นราคากลางปี 2554 สำหรับงานก่อสร้างสถานีไฟฟ้า ระบบ 115/22 กิโลโวลต์ ชนิดติดตั้งภายนอก ของกองออกแบบสถานีไฟฟ้า การไฟฟ้าส่วนภูมิภาค
7. การพิจารณาค่าใช้จ่ายของระบบต่อลงดินจะพิจารณาเฉพาะค่าอุปกรณ์และค่าติดตั้งเท่านั้น

## 1.5 ขั้นตอนการศึกษา

ขั้นตอนการศึกษาสามารถแบ่งเป็นหัวข้อดังต่อไปนี้

1. ศึกษาทฤษฎี หลักการ และการประยุกต์ของมาตรฐาน IEEE Std. 80-2000 เพื่อนำมาใช้ในการออกแบบระบบต่อลงดินในทางปฏิบัติ
2. ศึกษาทฤษฎี หลักการ และการประยุกต์ งานวิจัยของ Xiaobin เพื่อนำมาใช้ในการพิจารณาหาค่าความต้านทานกราวด์กริดที่พิจารณาดินเป็นดินสองชั้น (Two-layers Soil)
3. ศึกษาทฤษฎี หลักการ และการประยุกต์ ของโปรแกรม Visual Basic เวอร์ชัน 6.0 เพื่อเขียนโปรแกรม
4. ศึกษาการใช้โปรแกรม CDEGS เพื่อนำมาใช้ในการคำนวณหาค่าพารามิเตอร์ของดินกรณีดินสองชั้น (Two-layers Soil)
5. สร้างซอฟต์แวร์โปรแกรมสามารถออกแบบระบบต่อลงดิน ภายหลังจากศึกษาหลักการต่างๆเป็นอย่างดีแล้ว โดยพัฒนาโปรแกรม Visual Basic เวอร์ชัน 6.0
6. ศึกษาถึงขั้นตอนการออกแบบระบบต่อลงดิน
7. ทดลองทำการออกแบบระบบต่อลงดิน
8. ทำการศึกษาผลกระทบที่มีต่อค่าใช้จ่ายในการก่อสร้างระบบต่อลงดินพร้อมกับแรงดันไฟฟ้าเมฆและแรงดันไฟฟ้าช่วงก้าว เมื่อทำการเปลี่ยนแปลงค่าระยะห่างระหว่างตัวนำจำนวนและความยาวแท่งกราวด์รัศมี
9. สรุปผลการทดลอง

## 1.6 ประโยชน์ที่คาดว่าจะได้รับ

1. สามารถเข้าใจถึงผลกระทบต่อค่าแรงดันไฟฟ้าที่เกิดขึ้นภายในสถานีไฟฟ้าย่อยและค่าใช้จ่ายในการก่อสร้างระบบต่อลงดินเมื่อมีการเปลี่ยนแปลงระยะห่างระหว่างตัวนำ จำนวนและความยาวแท่งกราวด์รัศมี
2. การคำนวณค่าความต้านทานกราวด์กริดมีค่าใกล้เคียงกับค่าที่เกิดขึ้นจริงจะส่งผลให้การออกแบบระบบต่อลงดินในสถานีไฟฟ้าย่อยมีความถูกต้อง
3. สามารถใช้โปรแกรมช่วยในการออกแบบระบบต่อลงดินที่นำเสนอในวิทยานิพนธ์นี้ไปใช้ในการออกแบบระบบต่อลงดินในสถานีไฟฟ้าย่อยได้

## บทที่ 2

# ระบบการต่อลงดินในสถานีไฟฟ้าย่อย

ระบบต่อลงดินของสถานีไฟฟ้าย่อยประกอบด้วย 2 ส่วน คือส่วนที่เป็นกราวด์กริด (Ground grid) และส่วนที่เป็นแท่งกราวด์รูด (Ground rod) โดยส่วนที่เป็นกราวด์กริดประกอบด้วย สายตัวนำขนานและตัดตั้งฉากกันได้ดินเกิดเป็นตารางย่อยๆ รวมกันเป็นตาข่ายครอบคลุมพื้นที่ของ สถานีไฟฟ้าย่อย โดยจุดที่ตัดกันมีวิธีการที่นิยมติดตั้งในปัจจุบันคือ การหลอมให้เป็นเนื้อเดียวกัน โดยใช้ความร้อนสูง (Exothermic welding) ดังนั้นการใช้สายตัวนำจำนวนเท่าใดเป็นสิ่งสำคัญ เพราะใช้มากเกินไปจะทำให้เกิดความสิ้นเปลืองทั้งค่าวัสดุ ค่าแรง และเวลาที่ใช้ในการก่อสร้าง แต่ถ้าใช้น้อยเกินไปจะเกิดความไม่ปลอดภัยต่อมนุษย์ สัตว์และอุปกรณ์ทั้งภายในและบริเวณใกล้เคียง สถานีไฟฟ้าย่อย ดังนั้นในการออกแบบระบบต่อลงดินจึงต้องคำนึงถึงปัจจัยต่างๆ ที่มีผลต่ออันตราย ที่อาจเกิดขึ้นด้วย

### 2.1 นิยามศัพท์ที่เกี่ยวข้องกับระบบต่อลงดิน

ในการศึกษาหลักการ และทฤษฎีการออกแบบระบบต่อลงดินนั้น จำเป็นอย่างยิ่งที่ผู้ออกแบบจะต้องเข้าใจความหมาย การนิยาม คำศัพท์เฉพาะ เพื่อให้ผู้ศึกษามีมาตรฐานความเข้าใจที่ตรงกัน ซึ่งจะส่งผลให้เกิดการศึกษาและการวิจัยที่แพร่หลาย และไปในทางทิศเดียวกัน ดังนี้ [1, 9, 16]

**2.1.1 กราวด์กริด (Ground grid)** หมายถึง ระบบแท่งรากสายดินในแนวนอนที่ประกอบด้วยตัวนำเปลือยหลายๆเส้นต่อรวมกันและฝังใต้ดินเพื่อเป็นจุดต่อลงดินร่วมสำหรับ อุปกรณ์ไฟฟ้าหรือโครงสร้างที่เป็นโลหะในตำแหน่งที่กำหนดให้

**2.1.2 ระบบต่อลงดิน (Grounding system)** หมายถึง ระบบ ตัวนำไฟฟ้าต่างๆ ซึ่งถูกใช้สำหรับนำกระแสลัดวงจรที่ถูกนำมาเชื่อมต่อเป็นระบบเดียวกันในพื้นที่ที่พิจารณาให้ต้องมีการสร้างระบบต่อลงดินเพื่อความปลอดภัย

**2.1.3 ตะแกรงต่อลงดิน (Ground mat or earth mat)** หมายถึง แผ่นโลหะ หรือระบบของตัวนำที่มีระยะห่างใกล้กันมากๆที่ฝังไว้ใต้ดินเหนือกราวด์กริด หรือที่ใดก็ได้บนผิวดิน ซึ่งเป็นการป้องกันเสริมเพื่อลดอันตรายจากแรงดันไฟฟ้าช่วงก้าวและแรงดันไฟฟ้าสัมผัสในบริเวณปฏิบัติงานที่วิกฤติ หรือในพื้นที่ที่บุคลากรใช้บ่อย ตะแกรงเหล็กต่อลงดินที่วางอยู่บนผิวดินหรืออยู่เหนือผิวดิน

หรือลวดตาข่ายที่อยู่วัสดุที่ปูบนผิวดินสามารถเรียกได้ว่าเป็นตะแกรงต่อลงดินนำไปใช้ประโยชน์ด้านการค้า ไม่ว่ากรรมใดๆ ทั้งสิ้น อีกทั้งห้ามมิให้ดัดแปลงเนื้อหา และต้องอ้างอิงถึงเจ้าของเอกสารทุกครั้งที่มีการนำไปใช้

#### 2.1.4 ความต้านทานเริ่มต้นของร่างกายมนุษย์ (Initial resistance of the human body)

หมายถึง ค่าความต้านทานที่จำกัดกระแสขดในขณะที่ได้รับแรงดัน ไฟฟ้าสัมผัส

2.1.5 เกรเดียนต์ศักย์ไฟฟ้า (Gradient potential) หมายถึง การเปลี่ยนแปลงของ ศักย์ไฟฟ้าเมื่อเทียบตามระยะทาง

2.1.6 แรงดันไฟฟ้าช่วงก้าว (Step voltage) หมายถึง ความต่างศักย์ของแรงดันไฟฟ้าบน ผิวดินที่มีระยะห่างกันหนึ่งเมตรของก้าวมนุษย์โดยไม่ได้สัมผัสกับอุปกรณ์ที่ต่อลงดินเลย

2.1.7 แรงดันไฟฟ้าเมช (Mesh voltage) หมายถึง ศักย์ไฟฟ้าสัมผัสที่สูงสุดที่เป็นไปได้ ภายในเมชของกราวด์กริด

2.1.8 แรงดันไฟฟ้าส่งผ่าน (Transfer voltage) หมายถึง ศักย์ไฟฟ้าสัมผัสที่มาจากที่อื่นเข้า ยังสถานีไฟฟ้าย่อย หรือออกจากสถานีไฟฟ้าออกไปข้างนอกโดยเทียบกับศักย์ไฟฟ้าที่จุดที่ยืน

2.1.9 แรงดันไฟฟ้าสัมผัส (Touch voltage) หมายถึง ความต่างศักย์ระหว่างศักย์ไฟฟ้า ระบบต่อลงดิน (GPR) และศักย์ไฟฟ้าที่ผิวที่คนยืนอยู่ และมือสัมผัสไปที่โครงสร้างหรืออุปกรณ์ที่ ต่อลงดินไว้

2.1.10 แรงดันไฟฟ้าสัมผัสระหว่างโลหะกับโลหะ (Metal-to-metal touch voltage) หมายถึง ความต่างศักย์ระหว่างโลหะกับโครงสร้างภายในสถานีไฟฟ้าที่อาจมีมือสัมผัสหรือมือสัมผัสเท้า ไปสัมผัสเป็นสะพาน

2.1.11 ศักย์ไฟฟ้าระบบต่อลงดิน (Ground Potential Rise-GPR หรือ Earth Potential Rise-EPR) หมายถึง ศักย์ไฟฟ้าสูงสุดของกราวด์กริดในสถานีไฟฟ้าย่อยที่เป็นไปได้เมื่อเทียบกับ ดินที่อยู่ห่างออกไป ค่า GPR สามารถหาได้จากผลคูณของกระแสกริดสูงสุดกับความต้านทาน ระบบต่อลงดิน

2.1.12 เส้นศักย์ไฟฟ้าเท่า (Equipotential line or contour) หมายถึง เส้นทางของจุดที่มี ศักย์ไฟฟ้าเท่ากันที่อยู่บนเส้นนั้น

2.1.15 กระแสลงดิน (Ground current) หมายถึง กระแสที่ไหลเข้าหรือไหลออกในดิน

2.1.14 ออฟเซต ดีซี (dc offset) หมายถึง ค่าแตกต่างระหว่างคลื่นกระแสที่สมมาตร (Symmetrical current wave) และคลื่นกระแสที่แท้จริง (Actual current wave) ในระหว่างที่ระบบ

ไฟฟ้ากำลังอยู่ในภาวะชั่วคราว กระแสผิดพลาดที่แท้จริง (Actual fault current) สามารถแบ่งออกเป็น เอกสารนี้เป็นเอกสารที่สงวนไว้สำหรับการใช้งานเพื่อการศึกษาเท่านั้น ไม่อนุญาตให้นำไปใช้ประโยชน์ด้านการค้า ไม่ว่ากรณีใดๆ ทั้งสิ้น อีกทั้งห้ามมิให้ดัดแปลงเนื้อหา และต้องอ้างอิงถึงเจ้าของเอกสารทุกครั้งที่มีการนำไปใช้

2 ส่วน คือ องค์ประกอบไฟฟ้ากระแสสลับสมมาตร (Symmetrical alternating component) และ องค์ประกอบไฟฟ้ากระแสตรง [Unidirectional (dc) component] องค์ประกอบไฟฟ้ากระแสตรง สามารถเป็นขั้วใดขั้วหนึ่ง แต่จะไม่เปลี่ยนขั้วไฟฟ้า และจะลดลงที่อัตราการลดลงบางอัตราที่ถูก กำหนดไว้ล่วงหน้า

2.1.15 ตัวประกอบการลดลง (Decrement factor) หมายถึง แฟกเตอร์เพื่อใช้ปรับ ค่ากระแสลัดวงจรลงเป็นแบบไม่สมมาตร เพื่อใช้ในการคำนวณระบบต่อลงดินให้ เกิดความปลอดภัย

2.1.16 ตัวประกอบแบ่งกระแสผิดพลาด (Fault current division factor) หมายถึง แฟกเตอร์ที่ใช้แทนอัตราส่วนของกระแสลัดวงจรแบบสมมาตรกับกระแสบางส่วนที่ไหลระหว่าง กราวด์กริดกับดินที่อยู่รอบๆ

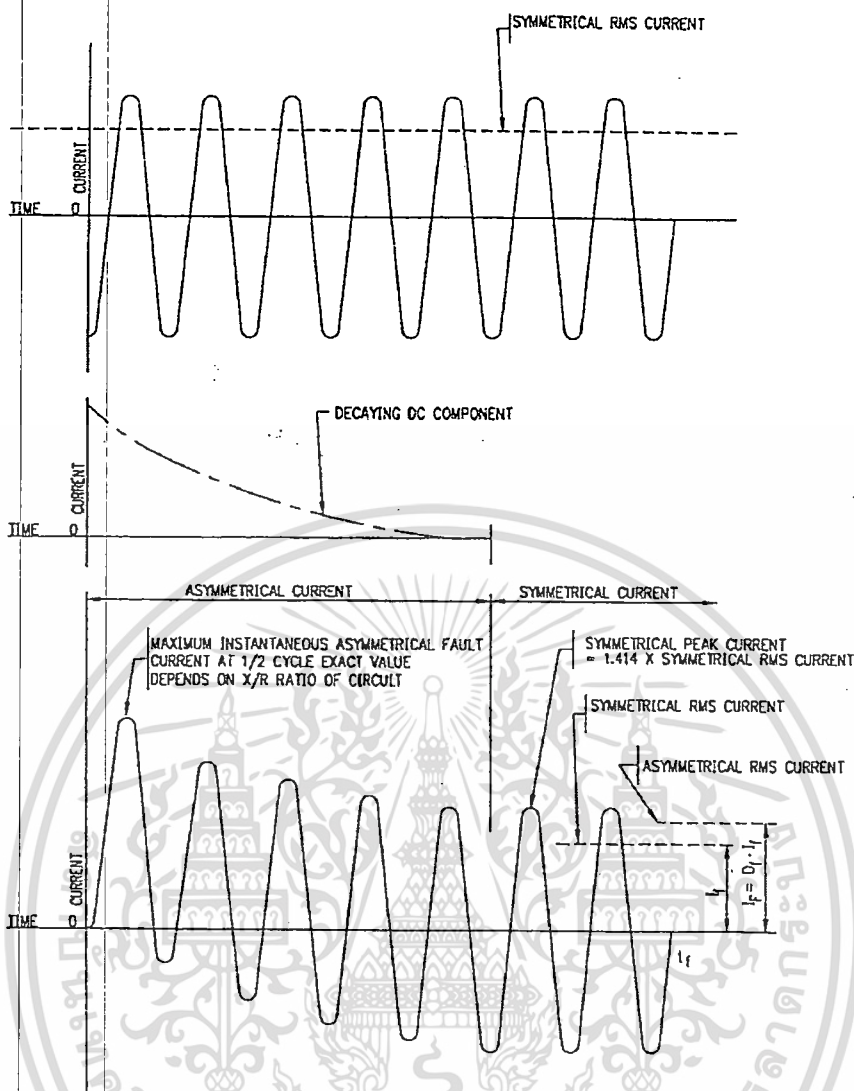
$$S_f = \frac{I_g}{3I_0} \quad (2.2)$$

เมื่อ  $S_f$  คือ ตัวประกอบแบ่งกระแสผิดพลาด  
 $I_g$  คือ ค่ารากกำลังสองเฉลี่ยของกระแสไฟฟ้าสมมาตรที่กราวด์กริด (Grid current) ในหน่วย แอมแปร์ (A)  
 $I_0$  คือ กระแสผิดพลาดลำดับศูนย์ (The zero-sequence fault current) ในหน่วย แอมแปร์ (A)

2.1.17 กระแสผิดพลาดไม่สมมาตรประสิทธิผล (Effective Asymmetrical Fault Current) หมายถึง ค่ารากกำลังสองเฉลี่ย (rms) ของคลื่นกระแสไม่สมมาตรในช่วงเวลาเกิดความผิดพลาด (Fault)

$$I_F = D_f \times I_r \quad (2.1)$$

เมื่อ  $I_F$  คือ กระแสผิดพลาดไม่สมมาตรประสิทธิผล ในหน่วย แอมแปร์ (A)  
 $I_r$  คือ ค่ารากกำลังสองเฉลี่ยของกระแสผิดพลาดลงดินแบบสมมาตร ในหน่วย แอมแปร์ (A)  
 $D_f$  คือ ตัวประกอบการลดลง



รูปที่ 2.1 ความสัมพันธ์ระหว่างค่าจริงของกระแสผิดพลาด และค่าของ  $I_p$ ,  $I_r$  และ  $D_f$  ในช่วงเวลาการเกิดความผิดพลาด  $t_f$

2.1.18 กระแสกริดสูงสุด (Maximum grid current) หมายถึง ค่าออกแบบของกระแสสูงสุดที่ไหลจากกราวด์กริดสู่ดิน

$$I_G = D_f \times I_g \quad (2.3)$$

- เมื่อ  $I_G$  คือ กระแสกราวด์กริดสูงสุด ในหน่วย แอมแปร์ (A)  
 $D_f$  คือ ตัวประกอบการลดลง  
 $I_g$  คือ ค่ารอกำลังสองเฉลี่ยของกระแสไฟฟ้าสมมาตรที่กราวด์กริด (Grid current) ในหน่วย แอมแปร์ (A)

เอกสารนี้เป็นเอกสารที่สงวนไว้สำหรับการใช้งานเพื่อการศึกษาเท่านั้น ไม่อนุญาตให้นำไปใช้ประโยชน์ด้านการค้า ไม่ว่าจะกรณีใดๆ ทั้งสิ้น อีกทั้งห้ามมิให้ดัดแปลงเนื้อหา และต้องอ้างอิงถึงเจ้าของเอกสารทุกครั้งที่มีการนำไปใช้

**2.1.19 สถานีไฟฟ้าย่อยแบบใช้อุปกรณ์หรือบริษัทที่มีก๊าซเป็นฉนวน (Gas-Insulated Substation)** หมายถึง สถานีไฟฟ้าย่อยประเภทหนึ่งแต่มีขนาดกะทัดรัด อุปกรณ์ทั้งหมด เช่น เซอร์คิตเบรกเกอร์ สวิตช์ตัดตอน สวิตช์ต่อลงดิน บัสบาร์ เหล่านี้จะถูกบรรจุอยู่ในเปลือกหุ้ม (Enclosure) ที่ถูกต่อลงกราวด์ และภายในเปลือกหุ้มจะใช้ก๊าซเป็นฉนวน

**2.1.20 วัสดุผิวพื้น (Surface material)** หมายถึง วัสดุที่ใช้ปูผิวพื้น ซึ่งไม่จำกัดว่าจะเป็น หิน หินบด (Crushed rock) แอสฟัลท์ (Asphalt) หรือวัสดุที่มนุษย์ทำขึ้น ซึ่งวัสดุผิวพื้นจะขึ้นอยู่กับค่าความต้านทานจำเพาะของวัสดุที่อาจจะมีส่วนสำคัญต่อกระแสที่ไหลผ่านร่างกายมนุษย์จากเท้าทั้งสองข้างที่จะทำให้ได้รับแรงดันไฟฟ้าสัมผัสและแรงดันไฟฟ้าช่วงก้าว

**2.1.21 อัตราส่วน X/R (X/R ratio)** หมายถึง อัตราส่วนของรีแอกแตนซ์ต่อความต้านทานของระบบ เป็นตัวบ่งบอกถึงอัตราการลดลงของ dc offset เมื่ออัตราส่วน X/R มีค่าสูง จะทำให้มีค่าคงที่ของเวลาสูงและอัตราการลดลงช้าลง

## 2.2 การวัดค่าความต้านทานจำเพาะของดิน

### 2.2.1 ดิน

ดินเป็นปัจจัยที่สำคัญในการออกแบบระบบต่อลงดินมาก เพราะเป็นองค์ประกอบที่สำคัญที่ทำให้ต้องใช้ตัวนำกราวด์กริดมากน้อยเพียงใด และมีผลกระทบต่อค่าความต้านทานระบบต่อลงดินและแรงดันไฟฟ้าต่างๆที่เกิดขึ้นเมื่อมีกระแสลัดวงจรเกิดขึ้น ดังนั้นก่อนออกแบบระบบต่อลงดิน จึงต้องมีการวัดค่าความต้านทานดินเพื่อนำไปหาค่าความต้านทานจำเพาะของดินเพื่อใช้ในการออกแบบระบบต่อลงดินต่อไป

การพิจารณาคูสมบัติของดินว่าดีหรือไม่นั้น จะพิจารณาจากค่าความต้านทานจำเพาะของดิน (Soil resistivity,  $\rho$ ) มีหน่วยเป็น โอห์ม-เมตร ( $\Omega\text{-m}$ ) โดยค่าความต้านทานจำเพาะของดินจะขึ้นอยู่กับ ชนิดของดิน ความลึกของดิน สภาพภูมิประเทศ สภาพภูมิอากาศ ความชื้นภายในดิน อุณหภูมิ ฯลฯ ซึ่งค่าความต้านทานจำเพาะของดินชนิดต่างๆ เป็นดังตารางที่ 2.1 [11]

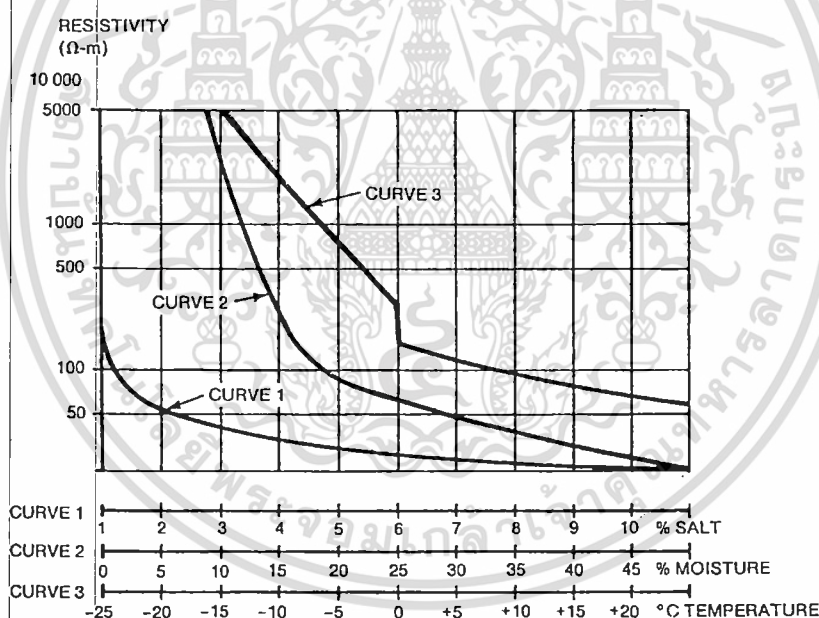
ตารางที่ 2.1 ค่าความต้านทานจำเพาะของดิน

| ชนิดของดิน                           | ค่าความต้านทานจำเพาะเฉลี่ยของดิน ( $\Omega\text{-m}$ ) |
|--------------------------------------|--|
| ดินผสมวัชพืชเปียก (Wet Organic Soil) | 10   |
| ดินชื้น (Moist Soil)                 | 100  |
| ดินแห้ง (Dry Soil)                   | 1,000  |
| ทราย (Sand)                          | 500-1,000  |
| หินแข็ง (Bed Rock)                   | 10,000   |

ความชื้นภายในดินจะขึ้นอยู่กับขนาดอนุภาคของเนื้อดิน ความหนาแน่นของดินและความหลากหลายของอนุภาคของเนื้อดิน ซึ่งถ้าภายในดินมีความชื้นน้อยกว่า 15% จะทำให้ค่าความต้านทานจำเพาะของดินเพิ่มขึ้นดังเส้นกราฟเส้นที่ 2 ของรูปที่ 2.2 ซึ่งแสดงผลของความชื้นภายในดินที่มีต่อค่าความต้านทานจำเพาะของดิน และถ้าภายในดินมีความชื้นมากกว่า 22% ของน้ำหนักดิน ค่าความต้านทานจำเพาะของดินจะลดลงเพียงเล็กน้อยเท่านั้น

อุณหภูมิของดินนั้นอาจไม่ต้องนำมาพิจารณาถ้าอุณหภูมิของดินมีค่ามากกว่า 0 °C แต่ถ้าอุณหภูมิลดลงจนต่ำกว่า 0 °C น้ำภายในดินจะกลายเป็นน้ำแข็งทำให้ค่าความต้านทานภายในดินเพิ่มขึ้นรวดเร็วดังเส้นกราฟที่ 3 ของรูปที่ 2.2 ซึ่งแสดงผลของอุณหภูมิต่อค่าความต้านทานจำเพาะของดินเมื่อดินมีความชื้น 15.2% ของน้ำหนักดิน

สารเคมีภายในดินโดยทั่วไปมักเป็นสารประกอบของเกลือ กรด หรือ โลหะ ซึ่งจะช่วยให้ค่าความต้านทานจำเพาะของดินต่ำลงได้ดังเส้นกราฟที่ 1 ของรูปที่ 2.2 ซึ่งแสดงผลของสารเคมีภายในดินที่มีต่อค่าความต้านทานจำเพาะของดินเมื่อดินมีความชื้น 30% ของน้ำหนักดิน [11]



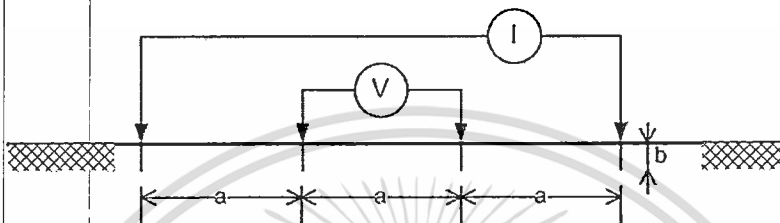
รูปที่ 2.2 ผลของความชื้น อุณหภูมิ และสารเคมีที่มีต่อค่าความต้านทานจำเพาะของดิน

### 2.2.2 การวัดค่าความต้านทานจำเพาะของดิน

วิธีการวัดค่าความต้านทานจำเพาะของดินซึ่งได้แสดงไว้ในมาตรฐาน IEEE Std. 81 [17] จะมีอยู่ด้วยกันหลายวิธี แต่วิธีการที่เหมาะสมที่สุดในการวัดค่าความต้านทานจำเพาะของดินสำหรับสถานีไฟฟ้าย่อยคือ Wenner method หรือแบบ 4 จุด (Four point method) เพราะสามารถทำได้ในสภาพภูมิประเทศมีชั้นดินที่แข็งและไม่เจอปัญหาการสัมผัสกันระหว่างดินกับผิวของโพรบไม้ดี

ไม่ว่ากรณีใดๆ ทั้งสิ้น อีกทั้งห้ามมิให้ดัดแปลงเนื้อหา และต้องอ้างอิงถึงเจ้าของเอกสารทุกครั้งที่มีการนำไปใช้

โดยวิธีการวัดจะประกอบโพรบ 4 แท่ง ปักลงบนพื้นดินในแนวเส้นตรง และให้ระยะห่างของแต่ละโพรบเท่ากัน ดังรูปที่ 2.3 ความลึกของโพรบแต่ละแท่งไม่ควรเกิน 5% ของระยะห่างของโพรบแต่ละแท่ง เพื่อให้ตำแหน่งที่โพรบปักอยู่เหมือนแหล่งจ่ายกระแสและแรงดันที่เป็นจุด (Point source) และความลึกของโพรบจะได้ไม่มีผลต่อสมการที่ใช้คำนวณหาค่าความต้านทานจำเพาะของดิน การวัดที่ระยะห่างของโพรบใดๆ ก็คือการวัดค่าความต้านทานจำเพาะของดินที่ความลึกที่มีค่าเท่ากับระยะห่างของโพรบนั้น [1]



รูปที่ 2.3 การวัดความต้านทานจำเพาะของดินแบบเวนเนอร์

ค่าที่ได้จากการวัดจะเป็นค่าความต้านทานของดิน (Soil resistance) ที่ระยะห่างของโพรบนั้น ซึ่งได้จากความสัมพันธ์ระหว่างแรงดันระหว่างโพรบคู่ในกับกระแสที่ไหลระหว่างโพรบคู่นอก การวัดจะต้องเพิ่มระยะห่างของโพรบไปจนเกือบครอบคลุมพื้นที่ภายในขอบเขตของสถานีไฟฟ้าย่อย และสามารถคำนวณหาค่าความต้านทานจำเพาะของดินได้ดังนี้

$$\rho = 4\pi aR \quad (2.4)$$

- เมื่อ
- $\rho$  คือ ค่าความต้านทานจำเพาะของดิน ในหน่วย โอห์ม-เมตร ( $\Omega\text{-m}$ )
  - $R$  คือ ค่าความต้านทานของดินที่วัดได้ ในหน่วย โอห์ม ( $\Omega$ )
  - $a$  คือ ระยะห่างระหว่างโพรบคู่หนึ่ง ในหน่วย เมตร (m)

กรณีที่โครงสร้างของดินเป็นดินชั้นเดียวหรือเป็นดินชนิดที่มีเนื้อเดียวกัน (Homogeneous soil) หรือดินชั้นเดียว (Uniform soil) ที่ระยะห่างโพรบใดๆ ค่า  $\rho$  ที่วัดได้จะต้องมีค่าเท่ากันหรือใกล้เคียงกันมาก แต่ถ้าโครงสร้างของดินไม่เป็นเนื้อเดียวกัน (Non-homogeneous soil) ค่า  $\rho$  ที่วัดได้จะเปลี่ยนไปตามระยะห่างของโพรบ

ในกรณีที่พื้นดินสองชั้น จะประกอบด้วยพารามิเตอร์สามตัว คือ ค่าความต้านทานจำเพาะของดินชั้นบน ( $\rho_1$ ) ค่าความต้านทานจำเพาะของดินชั้นล่าง ( $\rho_2$ ) และความลึกของดินชั้นบน ( $h$ ) โดย

การเปลี่ยนแปลงของค่าความต้านทานระหว่างดินชั้นบนและดินชั้นล่างจะแทนด้วยสัมประสิทธิ์การสะท้อน (Reflection factor, K) ซึ่งหาได้จากสมการที่ (2.5) ดังนี้

$$K = \frac{\rho_2 - \rho_1}{\rho_2 + \rho_1} \quad (2.5)$$

วิทยานิพนธ์ฉบับนี้ได้นำเสนอการประมาณค่าพารามิเตอร์ทั้งสามโดยใช้โปรแกรมคอมพิวเตอร์ CDEGS (Current Distribution Electromagnetic Grounding and Soil structure analysis) ซึ่งจะกล่าวในบทต่อไป

## 2.3 ขนาดและวัสดุของสายตัวนำต่อลงดิน

### 2.3.1 คุณสมบัติของสายตัวนำที่ใช้ในระบบต่อลงดิน

สายตัวนำเป็นอุปกรณ์หลักที่นำมาใช้ประกอบเป็นระบบต่อลงดินของสถานีไฟฟ้าย่อยโดยทำหน้าที่นำกระแสผิดพ่วงที่เกิดขึ้นกระจายลงสู่ดิน ดังนั้นสายตัวนำที่ดีจะต้องมีคุณสมบัติ ดังนี้

1. มีค่าความนำจำเพาะเพียงพอที่จะไม่ทำให้เกิดความต่างศักย์สูงเมื่อกระแสลัดวงจรไหลผ่าน
2. ต้องไม่หลอมละลายและทนต่อแรงทางกลที่เกิดจากขนาดกระแสลัดวงจรและช่วงเวลาการไหล
3. มีความแข็งแรงทางกลและทนทานและการผูกมัดตลอดอายุการใช้งาน
4. สามารถรักษาสภาพไว้ได้เมื่ออยู่ในสภาวะที่มีการผูกมัดหรือถูกกระแทกจากแรงภายนอก

### 2.3.2 ขนาดของสายตัวนำ

ขนาดของสายตัวนำระบบต่อลงดินจะขึ้นอยู่กับ

1. ขนาดกระแสลัดวงจรที่ไหลผ่าน
2. ช่วงเวลาตัดกระแส
3. คุณสมบัติของวัสดุที่ใช้ อุณหภูมิแวดล้อม
4. อุณหภูมิที่ยอมรับได้

ซึ่งมีสมการดังนี้

$$A_{\text{mm}} = I \times \frac{1}{\sqrt{\left(\frac{\text{TCAP} \times 10^{-4}}{T_c \alpha_r \rho_r}\right) \ln \left(\frac{K_0 + T_m}{K_0 + T_a}\right)}} \quad (2.6)$$

|       |                 |   |
|-------|-----------------|---|
| เมื่อ | $A_{\text{mm}}$ | คือ พื้นที่หน้าตัดของตัวนำที่ใช้ทำกราวด์กริด ในหน่วย ตารางมิลลิเมตร ( $\text{mm}^2$ )                                   |
|       | $I$             | คือ กระแสลัดวงจรลงดินเป็นค่า rms ในหน่วย กิโลแอมแปร์ (kA)   |
|       | $T_m$           | คือ อุณหภูมิสูงสุดที่ยังไม่หลอมละลาย ในหน่วย องศาเซลเซียส ( $^{\circ}\text{C}$ )  |
|       | $T_a$           | คือ อุณหภูมิรอบด้านหรืออุณหภูมิของสิ่งแวดล้อม ในหน่วย องศาเซลเซียส ( $^{\circ}\text{C}$ )                               |
|       | $T_r$           | คือ อุณหภูมิอ้างอิงสำหรับค่าคงตัวของวัสดุ ในหน่วย องศาเซลเซียส ( $^{\circ}\text{C}$ )                                   |
|       | $\alpha_0$      | คือ สัมประสิทธิ์อุณหภูมิของความต้านทานที่อุณหภูมิ $0^{\circ}\text{C}$   |
|       | $\alpha_r$      | คือ สัมประสิทธิ์อุณหภูมิของความต้านทานที่อุณหภูมิ $T_r^{\circ}\text{C}$   |
|       | $\rho_r$        | คือ ความต้านทานจำเพาะของตัวนำ ที่อุณหภูมิ $T_r$ ( $\mu\Omega/\text{cm}^3$ )<br>ในหน่วย โอห์ม-เมตร ( $\Omega\text{-m}$ ) |
|       | $t_c$           | คือ ช่วงเวลาที่กระแสลัดวงจรไหล ในหน่วย วินาที (s)   |
|       | TCAP            | คือ ความจุความร้อนต่อหนึ่งหน่วยปริมาตร ( $\text{J}/\text{cm}^3/^{\circ}\text{C}$ )                                      |
|       | $K_0$           | มีค่าเท่ากับ $1/\alpha_0$ หรือ $1/\alpha_r - T_r$   |

ขนาดพื้นที่หน้าตัดของสายตัวนำระบบต่อลงดินที่คำนวณได้นั้นจะใช้เป็นเกณฑ์สำหรับเลือกขนาดสาย โดยจะทำการเลือกขนาดพื้นที่สายตัวนำขนาดมากกว่าหรือเท่ากับค่าที่คำนวณได้ สำหรับค่าคงที่ของวัสดุที่ใช้เป็นสายตัวนำต่อลงดินนั้นสามารถแสดงได้ ดังตารางที่ 2.2 [1, 16]

### 2.3.3 โลหะที่ใช้เป็นลวดตัวนำในระบบต่อลงดิน [1, 12]

#### 2.3.3.1 ทองแดง (Copper)

ทองแดงมักจะถูกเลือกใช้เป็นตัวนำในระบบต่อลงดินอย่างแพร่หลาย เนื่องจากเป็นโลหะที่มีคุณสมบัติความนำไฟฟ้าที่ดี มีค่าความนำจำเพาะสูงและไม่มีปัญหาในเรื่องของการผุกร่อนเพราะทองแดงจะปฏิบัติตัวเป็นขั้วลบเมื่อนำมาฝังในดิน โดยทำการเปรียบเทียบกับโลหะอื่นๆ ที่ฝังอยู่โดยรอบ

#### 2.3.3.2 เหล็กกล้าหุ้มทองแดง (Copper-Clad Steel)

เหล็กกล้าหุ้มทองแดงนั้นนิยมใช้เป็นแท่งหลักดินเนื่องจากทนต่อการตอกลงใต้ดิน และเพื่อหลีกเลี่ยงการลัดวงจรโดยตัดตัวนำทองแดงที่ใช้ในระบบต่อลงดินออกไปขาย

### 2.3.3.3 อะลูมิเนียม (Aluminum)

อะลูมิเนียมเป็นโลหะที่ไม่นิยมใช้เป็นตัวนำในระบบต่อลงดินภายในสถานีไฟฟ้า ย่อยแบบธรรมดา เนื่องจากมีข้อเสียคือ

1. อะลูมิเนียมจะมีการผุกร่อนเมื่อมีการฝังลงในดิน และจะไม่สามารถใช้เป็นตัวนำไฟฟ้าที่ดีได้เมื่อเกิดการผุกร่อน

2. เมื่อได้รับกระแสไฟฟ้ากระแสสลับจะทำให้เกิดการผุกร่อนที่ผิวของ

อะลูมิเนียม

ทั้งนี้เพราะว่าอะลูมิเนียมประพุดิตัวเป็นชั้นขี้บวคเมื่อทำการฝังดิน โดยเทียบกับ โลหะอื่นฝังอยู่ในบริเวณเดียวกัน โดยส่วนมากแล้วอะลูมิเนียมจะใช้เป็นเปลือกหุ้มของอุปกรณ์ ภายในสถานีไฟฟ้าแบบ GIS (Gas Insulated Substation)

### 2.3.3.4 เหล็ก (Steel)

เหล็กมักจะมีการนำไปใช้เป็นตัวนำในระบบต่อลงดินและใช้เป็นแท่งกราวด์รูด แต่ในการนำไปใช้งานนั้นจะต้องพิจารณาถึงการป้องกันการผุกร่อนที่ผิวของวัสดุก่อน ซึ่งส่วนมาก จะนำไปชุบสังกะสีที่ผิวของเหล็กหรือสารที่สามารถเคลือบผิวของเหล็ก เพื่อให้ประพุดิตัวเป็นชั้น ขี้บวคเมื่อทำการฝังดิน ในระบบต่อลงดินถึงแม้จะทำการเลือกใช้ ทองแดง หรือเหล็กชุบทองแดงเป็น ตัวนำในระบบต่อลงดินเพื่อแก้ปัญหาการเกิดการผุกร่อนที่ผิวตัวนำที่ใช้ในระบบต่อลงดิน แต่ก็ยังมี ปัญหาเนื่องจากการผุกร่อนของ โลหะที่มีส่วนผสมของตะกั่วที่ฝังภายในบริเวณเดียวกับระบบ ต่อลงดิน เพราะว่าทองแดงและเหล็กนั้นจะประพุดิตัวเสมือน Galvanize Cell โดยที่ดินทำหน้าที่ เป็นสารละลายที่นำไฟฟ้า โดยที่เหล็กจะประพุดิตัวเสมือนขี้บวค และทองแดงจะประพุดิตัว เสมือนขี้ลบบ ซึ่งจะสามารถแก้ปัญหาการผุกร่อนของเหล็กที่ฝังภายในบริเวณเดียวกับระบบ ต่อลงดินได้ดังนี้

1. ทำการเคลือบผิววัสดุที่ประพุดิตัวเป็นขี้บวคเมื่อฝังลงในดิน โดยการ พั้นเทปพลาสติก หรือใช้ Asphalt ผสมเคลือบที่ผิวของวัสดุ

2. กำหนดการวางแนวท่อในบริเวณที่มีการฝังระบบต่อลงดินนั้นใหม่ เพื่อให้ตัวนำที่เป็นทองแดงใดๆที่ข้ามแนวของท่อน้ำหรือวัตถุอื่นๆที่เป็น โลหะที่ไม่ได้เคลือบอยู่ใน แนวที่ตั้งฉากกันให้มากที่สุดเท่าที่จะทำได้ และเคลือบ โลหะชนิดใดชนิดหนึ่งที่อยู่ใกล้กันด้วย ฉนวน โดยปกติแล้วเราจะเคลือบฉนวนท่อ

3. ใช้คุณสมบัติของขี้ลบบในการป้องกันการผุกร่อน (Cathodic protection) โดยใช้อาโนดหรือป้อนด้วยกระแสไฟฟ้า

4. หลีกเลี่ยงการใช้ท่อเหล็ก โดยเลือกใช้ท่อพลาสติกแทน

ตารางที่ 2.2 ค่าคงที่ของวัสดุ

| Description   | $\alpha_r$<br>at 20 °C<br>(1/°C) | K<br>at 0 °C<br>(0°C) | Fusing<br>Temperature<br>$T_m$ (°C) | $\rho_r$<br>at 20 °C<br>( $\mu\Omega/\text{cm}^3$ ) | TCAP<br>(J/cm <sup>3</sup> /°C) |
|---|----------------------------------|-----------------------|-------------------------------------|---|---------------------------------|
| Copper, annealed soft-drawn<br>(100% conductivity)  | 0.00393                          | 234                   | 1,083                               | 1.72  | 3.42                            |
| Copper, commercial hard-drawn<br>(97% conductivity) | 0.00381                          | 242                   | 1,084                               | 1.78  | 3.42                            |
| Copper-clad steel wire<br>(40% conductivity)        | 0.00378                          | 245                   | 1,084                               | 4.40  | 3.85                            |
| Copper-clad steel wire<br>(30% conductivity)        | 0.00378                          | 245                   | 1,084                               | 5.86  | 3.85                            |
| Copper-clad steel rod<br>(20% conductivity)         | 0.00378                          | 245                   | 1,084                               | 8.62  | 3.85                            |
| Aluminum, EC grade<br>(61% conductivity)            | 0.00403                          | 228                   | 657                                 | 2.86  | 2.56                            |
| Aluminum, 5005 alloy<br>(53.5% conductivity)        | 0.00353                          | 263                   | 652                                 | 3.22  | 2.60                            |
| Aluminum, 6201 alloy<br>(52.5% conductivity)        | 0.00347                          | 268                   | 654                                 | 3.28  | 2.60                            |
| Aluminum-clad steel wire<br>(20.3% conductivity)    | 0.00360                          | 258                   | 657                                 | 8.48  | 3.58                            |
| Steel, 1020<br>(10.8% conductivity)                 | 0.00160                          | 605                   | 1,510                               | 15.90   | 3.28                            |
| Stainless-clad steel rod<br>(9.8% conductivity)     | 0.00160                          | 605                   | 1,400                               | 17.5  | 4.44                            |
| Zinc-coated steel rod<br>(8.6% conductivity)        | 0.00320                          | 293                   | 419                                 | 20.10   | 3.93                            |
| Stainless steel, 304<br>(2.4% conductivity)         | 0.00130                          | 749                   | 1,400                               | 72.00   | 4.03                            |

เอกสารนี้เป็นเอกสารที่สงวนไว้สำหรับการใช้งานเพื่อการศึกษาเท่านั้น ไม่อนุญาตให้นำไปใช้ประโยชน์ด้านการค้า  
ไม่ว่ากรณีใดๆ ทั้งสิ้น อีกทั้งห้ามมิให้ตัดแปลงเนื้อหา และต้องอ้างอิงถึงเจ้าของเอกสารทุกครั้งที่มีการนำไปใช้

## 2.4 แรงดันไฟฟ้าที่มนุษย์ทนได้

### 2.4.1 ความต้านทานของร่างกายมนุษย์

โดยโอกาสที่มนุษย์จะได้รับอันตรายมี 2 สาเหตุ คือจากการสัมผัสโครงสร้างโลหะของอุปกรณ์ที่มีการต่อลงดินและจากการเดินอยู่ภายในหรือใกล้เคียงกับสถานีไฟฟ้าย่อย ซึ่งจะมีกระแสไหลผ่านร่างกายมนุษย์จากมือสู่เท้าในกรณีแรกหรือจากเท้าสู่เท้าในกรณีที่สอง สำหรับไฟฟ้ากระแสตรงและความถี่กำลัง (Power frequency) ร่างกายมนุษย์สามารถแทนด้วยความต้านทาน ดังนั้นความต้านทานของอวัยวะต่างๆ ของมนุษย์จึงเป็นสิ่งสำคัญที่จะนำไปพิจารณาถึงขีดจำกัดของกระแสหรือแรงดันที่มนุษย์สามารถทนได้ดัง ตารางที่ 2.3 [11] แต่โดยทั่วไปค่าความต้านทานเฉลี่ยของร่างกายมนุษย์มีค่าประมาณ 1,000  $\Omega$

ตารางที่ 2.3 ค่าความต้านทานของอวัยวะต่างๆของมนุษย์

| รายละเอียด          | ความต้านทาน<br>( $\Omega$ ) | หมายเหตุ                        |
|---------------------|-----------------------------|---------------------------------|
| เนื้อเยื่อในร่างกาย | 300                         | ไม่รวมผิวหนัง                   |
| ร่างกายรวมผิวหนัง   | 500-3,000                   | -                               |
| มือกับมือ           | 2,330                       | ทดลองโดยแช่มือในน้ำเกลือ        |
| มือกับเท้า          | 1,130                       | ทดลองโดยแช่มือและเท้าในน้ำเกลือ |

### 2.4.2 กระแส และช่วงเวลาที่เกิดการผัดพร่อง

กระแสผัดพร่องอาจเกิดได้จากหลายสาเหตุ เช่น การทำงานผิดพลาดของอุปกรณ์ การเสื่อมสภาพของฉนวนป้องกัน หรือปรากฏการณ์ธรรมชาติต่าง ๆ ฯลฯ โดยจะคำนึงถึงการผัดพร่องที่มีความรุนแรงที่สุด เมื่อมีการผัดพร่องขึ้นจะมีกระแสไฟฟ้าไหลลงสู่ดินในช่วงระยะเวลาหนึ่ง และถ้ามีมนุษย์ไปสัมผัสกับอุปกรณ์ที่มีกระแสไฟฟ้าไหลผ่านหรือเดินอยู่ภายใน จะเป็นผลให้กระแสไฟฟ้าไหลผ่านร่างกายของมนุษย์ผู้นั้น ซึ่งช่วงเวลาที่กระแสไฟฟ้าไหลผ่านจะมากน้อยเพียงใดขึ้นอยู่กับอุปกรณ์ป้องกันว่าสามารถตัดกระแสผัดพร่องได้เร็วเท่าไร ซึ่งโอกาสที่จะเกิดอันตรายก็จะมีน้อยลงเท่านั้น

กระแสไฟฟ้าที่ไหลผ่านร่างกายมนุษย์ในแต่ละคนจะทนได้ไม่เท่ากัน ขึ้นอยู่กับค่าความต้านทานของร่างกายของผู้นั้น แต่สามารถประมาณได้ดังตารางที่ 2.4 และ 2.5 [1, 9, 11] โดยตารางที่ 2.4 จะเปรียบเทียบปริมาณกระแสที่มนุษย์สามารถทนได้ระหว่างเพศหญิงและเพศชาย ส่วนตารางที่ 2.5 จะแสดงผลทางกายภาพของกระแสไฟฟ้าที่ไหลผ่านร่างกาย

เอกสารนี้เป็นเอกสารที่สงวนไว้สำหรับการใช้งานเพื่อการศึกษาเท่านั้น ไม่อนุญาตให้นำไปใช้ประโยชน์ด้านการค้า ไม่ว่าจะกรณีใดๆ ทั้งสิ้น อีกทั้งห้ามมิให้ดัดแปลงเนื้อหา และต้องอ้างอิงถึงเจ้าของเอกสารทุกครั้งที่มีการนำไปใช้

ตารางที่ 2.4 ปริมาณกระแสที่เพศชายและเพศหญิงสามารถทนได้  
เมื่อความต้านทานร่างกายมนุษย์เท่ากับ 1,000 โอห์ม

| ปริมาณกระแส                                    | ชาย | หญิง |
|--|-----|------|
| ขนาดของกระแสที่รู้สึกได้ (mA)                  | 1.1 | 1.6  |
| ขนาดของกระแสที่สามารถช่วยตัวเองให้หลุดได้ (mA) | 0.7 | 1.05 |

ตารางที่ 2.5 ผลทางกายภาพของกระแสไฟฟ้าที่ไหลผ่านร่างกายมนุษย์

| ขนาดของกระแส<br>ที่ความถี่ 50-60 Hz | ผลที่เกิดขึ้นกับร่างกาย<br>เมื่อสัมผัสเป็นเวลา 1 วินาที   |
|-------------------------------------|---|
| 1 mA                                | ร่างกายสามารถรู้สึกได้  |
| 1-6 mA                              | ร่างกายรู้สึกได้ แต่ไม่ทำให้เกิดอันตรายใดๆ  |
| 10-20 mA                            | เกิดอาการเกร็งจนไม่สามารถสลัดให้หลุดได้   |
| 50 mA                               | รู้สึกปวด อาจเกิดอาการหน้ามืด เป็นลม ไม่มีเรี่ยวแรง แต่ระบบหายใจยังคงทำงานปกติ  |
| 100-300 mA                          | เกิดอาการ Ventricular Frabilation ซึ่งทำให้หัวใจหยุด การสูบฉีดโลหิต และอาจถึงตายภายในเวลาไม่กี่นาที   |
| 6 A                                 | กล้ามเนื้อหัวใจเกิดอาการเกร็งตัว ช่วยป้องกันไม่ให้เกิดอาการ Ventricular Frabilation ถ้าหากช่วยโดยการผายปอดได้ทันอาจรอดตายได้แต่จะเกิดการเผาไหม้ตามร่างกาย |

การคำนวณหาขีดจำกัดสูงสุดของกระแสที่มนุษย์สามารถทนได้จะพิจารณาขณะที่กระแสไหลผ่านร่างกายในช่วงเวลา 0.03 - 3 วินาที ซึ่งเป็นช่วงเวลาที่ ไม่ทำให้เกิดอันตรายต่อร่างกายถึงขั้นหัวใจทำงานผิดปกติ โดยมีความน่าจะเป็นถึง 99.5 % สมการที่ใช้ในการคำนวณเป็นดังนี้

สำหรับมนุษย์หนัก 50 กิโลกรัม

$$I_B = \frac{0.116}{\sqrt{t}} \quad (2.7)$$

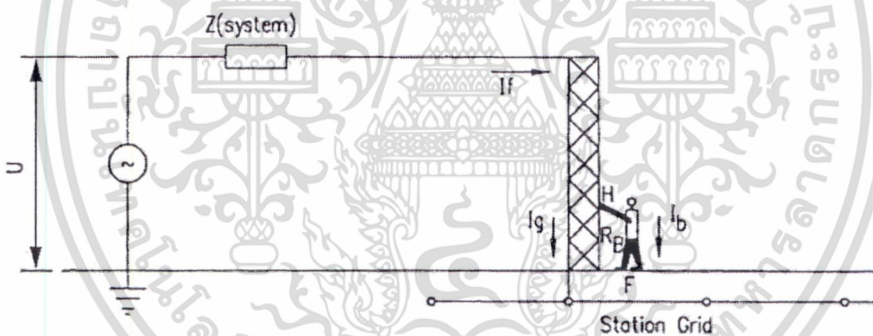
สำหรับมนุษย์หนัก 70 กิโลกรัม

$$I_B = \frac{0.157}{\sqrt{t}} \quad (2.8)$$

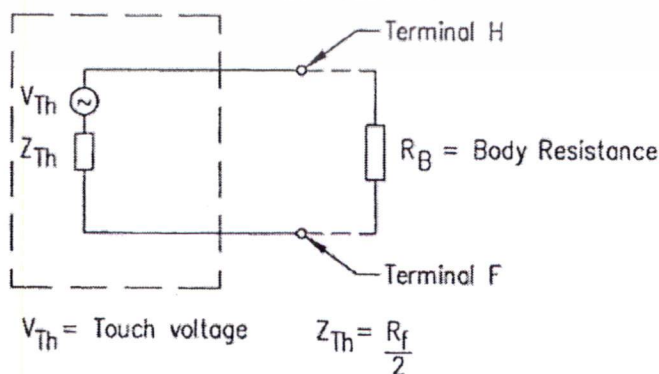
- เมื่อ  $I_B$  คือ กระแสสูงสุดที่มนุษย์สามารถทนได้ ในหน่วย แอมแปร์ (A)  
 $t$  คือ ช่วงเวลาที่กระแสไหลผ่านร่างกายมนุษย์ ในหน่วย วินาที (s)

2.4.3 วงจรสมมูลของการเกิดอันตรายเนื่องจากการสัมผัส

มนุษย์ได้รับแรงดันไฟฟ้าสัมผัสเมื่อทำการสัมผัสกับ โครงสร้างของอุปกรณ์ที่มีการต่อลงดินไว้กับระบบต่อลงดินของสถานีไฟฟ้าอยู่ดังในรูปที่ 2.4 โดยค่าความต่างศักย์นี้จะเกิดขึ้นระหว่างตำแหน่งที่มีสัมผัสกับ โครงสร้างของอุปกรณ์ (H) กับตำแหน่งที่มนุษย์ยืน (F) ทำให้เกิดกระแสไหลจากมือข้างที่สัมผัสไปยังเท้าทั้งสองที่สัมผัสกับพื้นเพื่อใช้เป็นเส้นทางให้สำหรับไหลลงดินของกระแส จากรูปที่ 2.4 จะสามารถเขียนวงจรสมมูลเมื่อมนุษย์ขณะที่ได้รับแรงดันไฟฟ้าสัมผัสได้ ดังในรูปที่ 2.5



รูปที่ 2.4 วงจรจำลองการเกิดอุบัติเหตุเมื่อมนุษย์ได้รับแรงดันไฟฟ้าสัมผัส



เอกสารนี้เป็นเอกสารที่รูปที่ 2.5 วงจรสมมูลเมื่อมนุษย์ได้รับแรงดันไฟฟ้าสัมผัสนำไปใช้ประโยชน์ด้านการค้าไม่ว่ากรณีใดๆ ทั้งสิ้น อีกทั้งห้ามมิให้ดัดแปลงเนื้อหา และต้องอ้างอิงถึงเจ้าของเอกสารทุกครั้งที่มีการนำไปใช้

ดังนั้นจะสามารถหากระแสที่ไหลผ่านร่างกายขณะที่ได้รับแรงดันสัมผัสซึ่งก็คือค่ากระแสที่ไหลในวงจรสมมูลนี้ ดังแสดงในสมการที่ (2.9)

$$I_b = \frac{V_{TH}}{Z_{TH} + R_B} \quad (2.9)$$

จากสมการที่ (2.9) นี้ จะพิจารณาหาค่าแรงดันไฟฟ้าสัมผัสสูงสุดได้เมื่อกระแสที่ไหลผ่านร่างกายมีค่าเท่ากับกระแสสูงสุดที่มนุษย์สามารถทนได้ดังสมการที่ (2.7) และ (2.8) ซึ่งทำให้สามารถหาค่าแรงดันไฟฟ้าสัมผัสสูงสุดที่มนุษย์สามารถทนได้ ดังสมการที่ (2.10)

$$E_{touch} = \left( R_B + \frac{R_f}{2} \right) I_B \quad (2.10)$$

สำหรับค่าความต้านทานระหว่างเท้ากับดินข้างหนึ่ง นั้นสามารถแสดงได้ดังในสมการที่ (2.11)

$$R_f = \frac{\rho}{4b} \quad (2.11)$$

เมื่อ  $R_f$  คือ ค่าความต้านทานระหว่างเท้ากับดินข้างหนึ่ง ในหน่วย โอห์ม ( $\Omega$ )  
 $\rho$  คือ ค่าความต้านทานจำเพาะของดิน ในหน่วย โอห์ม-เมตร ( $\Omega\cdot m$ )  
 $b$  คือ รัศมีของเท้า ที่แทนด้วยแผ่นโลหะวงกลมรัศมี 0.80 เมตร

จากสมการที่ (2.11) เมื่อแผ่นโลหะวงกลมที่แทนเท้ารัศมี 0.08 เมตร จะทำให้ได้ค่าความต้านทานระหว่างเท้ากับดินข้างหนึ่ง โดยประมาณ ดังสมการที่ (2.12)

$$R_f \approx 3\rho \quad (2.12)$$

ดังนั้นจากสมการค่าแรงดันไฟฟ้าสัมผัสสูงสุดที่มนุษย์น้ำหนักเฉลี่ย 50 กิโลกรัมสามารถทนได้ ดังสมการที่ (2.13)

$$E_{touch50} = (1000 + 1.5\rho) \frac{0.116}{\sqrt{t_s}} \quad (2.13)$$

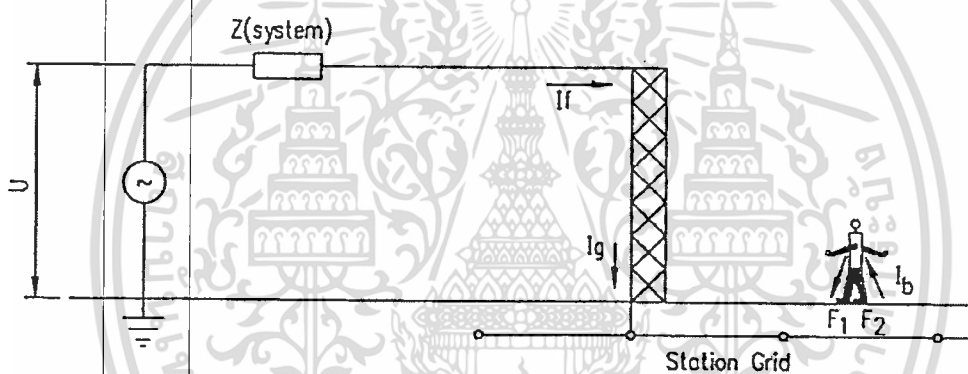
เอกสารนี้เป็นเอกสารที่สงวนไว้สำหรับการใช้งานเพื่อการศึกษาเท่านั้น ไม่อนุญาตให้นำไปใช้ประโยชน์ด้านการค้า  
 ไม่ว่ากรณีใดๆ ทั้งสิ้น อีกทั้งห้ามมิให้ดัดแปลงเนื้อหา และต้องอ้างอิงถึงเจ้าของเอกสารทุกครั้งที่มีการนำไปใช้

และจากสมการค่าแรงดันไฟฟ้าสัมผัสสูงสุดที่มนุษย์น้ำหนักเฉลี่ย 70 กิโลกรัม สามารถทนได้ ดังสมการที่ (2.14)

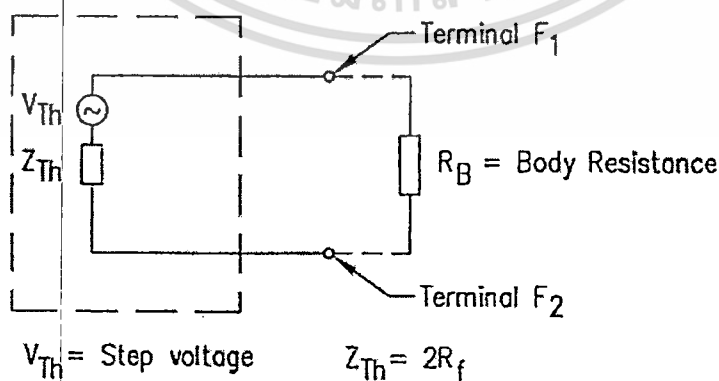
$$E_{\text{touch70}} = (1,000 + 1.5\rho) \frac{0.157}{\sqrt{t_s}} \quad (2.14)$$

### 2.4.4 วงจรสมมูลของการเกิดอันตรายเนื่องจากการก้าวเดิน

ค่าแรงดันช่วงก้าวเป็นค่าความต่างศักย์ระหว่างเท้าสองเท้า ซึ่งผลของค่าความต่างศักย์ที่เกิดขึ้นนี้ส่งผลให้เกิดกระแสไหลผ่านร่างกายจากเท้าข้างหนึ่ง ( $F_1$ ) ไปยังเท้าอีกข้างหนึ่ง ( $F_2$ ) เพื่อใช้เป็นทางให้กระแสไหลลงดินได้ ดังรูปที่ 2.6 โดยจะสามารถเขียนวงจรสมมูลเมื่อมนุษย์ขณะที่ได้รับแรงดันไฟฟ้าสัมผัสได้ ดังในรูปที่ 2.7



รูปที่ 2.6 วงจรจำลองการเกิดอุบัติเหตุเมื่อมนุษย์ได้รับแรงดันไฟฟ้าช่วงก้าว



รูปที่ 2.7 วงจรสมมูลเมื่อมนุษย์ได้รับแรงดันไฟฟ้าช่วงก้าว

ดังนั้นจะสามารถหากระแสที่ไหลผ่านร่างกายขณะที่ได้รับแรงดันช่วงก้าวซึ่งก็คือค่ากระแสที่ไหลในวงจรสมมูลนี้ ดังแสดงในสมการที่ (2.15)

$$I_b = \frac{V_{TH}}{Z_{TH} + R_B} \quad (2.15)$$

จากสมการที่ (2.14) นี้ จะพิจารณาหาค่าแรงดันไฟฟ้าช่วงก้าวสูงสุดได้เมื่อกระแสที่ไหลผ่านร่างกาย มีค่าเท่ากับกระแสสูงสุดที่มนุษย์สามารถทนได้ดังสมการที่ (2.7) และ (2.8) ซึ่งทำให้สามารถหาค่าแรงดันไฟฟ้าช่วงก้าวสูงสุดที่มนุษย์สามารถทนได้ ดังสมการที่ (2.16)

$$E_{step} = (R_B + 2R_f)I_B \quad (2.16)$$

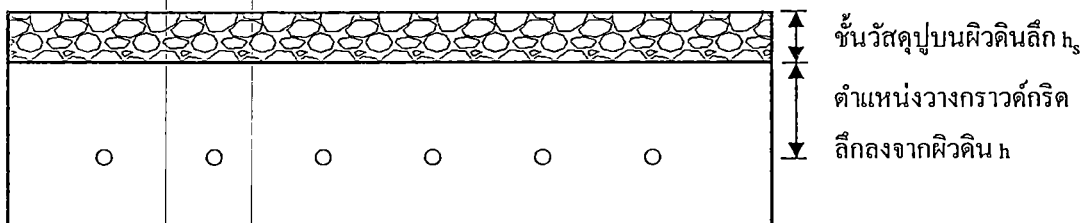
เนื่องจากค่าความต้านทานระหว่างเท้ากับดินข้างหนึ่งโดยประมาณจากสมการที่ (2.12) ดังนั้นจากสมการค่าแรงดันไฟฟ้าช่วงก้าวสูงสุดที่มนุษย์น้ำหนักเฉลี่ย 50 กิโลกรัม สามารถทนได้ ดังสมการที่ (2.17)

$$E_{step50} = (1,000 + 6\rho) \frac{0.116}{\sqrt{t_s}} \quad (2.17)$$

และจากสมการค่าแรงดันไฟฟ้าช่วงก้าวสูงสุดที่มนุษย์น้ำหนักเฉลี่ย 70 กิโลกรัมสามารถทนได้ ดังสมการที่ (2.18)

$$E_{step70} = (1,000 + 6\rho) \frac{0.157}{\sqrt{t_s}} \quad (2.18)$$

## 2.5 การปูวัสดุบนผิวดินภายในบริเวณสถานีไฟฟ้าย่อย



รูปที่ 2.8 การปูวัสดุบนผิวดินภายในบริเวณสถานีไฟฟ้าย่อย

เอกสารนี้เป็นเอกสารที่สงวนไว้สำหรับการใช้งานเพื่อการศึกษาเท่านั้น ไม่อนุญาตให้นำไปใช้ประโยชน์ด้านการค้า ไม่ว่าจะกรณีใดๆ ทั้งสิ้น อีกทั้งห้ามมิให้ดัดแปลงเนื้อหา และต้องอ้างอิงถึงเจ้าของเอกสารทุกครั้งที่มีการนำไปใช้

การปฐุวัตศุบณศิวคินภยในบรเวณสถณนไฟฟ่ายอยน้ จะใช้ว้ศคุที่มีค้ค้ควมต้ันทนจ้ค้พหะสูงกว้คิน เพื่อเป็นกรห้ข้ยเพิ่มควมต้ันทนที่เท้ค้ของมณุขย้ซึ่งปฏิบัติงนอย้ในสถณนไฟฟ่ายอยให้สูงข้ัน ค้งน้ันจึงสมรถจ้ค้ค้ครระเศที่ไหลผ่านร้งภยขณะเกิดครระเศผิตพร้องได้ อี้กท้ั้งห้ข้ยให้สมรถลดจ้ำนวนลวค้ต้วน้ที่ใช้ในระบบต้อลงคินให้น้อยลงได้ ค้งน้ันสมรถแสดงลัคค้ษณะกรปฐุวัตศุบณศิวคินภยในบรเวณสถณนไฟฟ่ายอยได้ค้งรูปที่ 2.8

โดยส่วมมกว้ว้ศคุที่ใช้ปฐุศิวคินในบรเวณสถณนไฟฟ่ายอยน้ัน ม้กจะใช้หिनกรวค้ที่ควมหนาระหวัง 8-15 เซนคิเมตร แต่โดยท้ัวไปค้ค้ควมต้ันทนจ้ค้พหะของหिनกรวค้ในสภพเป็ยจจะมีค้ค้เท้ค้กับ 3,000 โอห้ม-เมตร หินกรวค้ที่ใช้ปฐุศิวคินจะมีค้ค้ควมต้ันทนจ้ค้พหะแตกต้่างก้ันไปค้งแสดงในตารงที่ 2.6 [11]

ตารงที่ 2.6 ค้ค้ควมต้ันทนจ้ค้พหะของหินประภทต้่างๆ

| ประภทของหิน                               | ค้ค้ควมต้ันทนจ้ค้พหะ ( $\Omega\text{-m}$ ) |                     |                    |
|---|--|---------------------|--------------------|
|   | ห้ง  | เป็ยค้ด้วยน้้จรรรคค | เป็ยค้ด้วยน้้เกลือ |
| หินเกรนิตขนคเล็ก                          | $141.8 \times 10^6$                        | 1,318.7             | 705.0              |
| หินเกรนิตที่ล้้งสะอาค<br>ขนค 3/4 - 1 น้้ว | $192.5 \times 10^6$                        | 8,106.8             | 2,166.5            |
| หินปูนที่ล้้งสะอาค                        | $7.3 \times 10^6$ -                        | 2,094.8 -           | 1,274.8 -          |
|   | $68.5 \times 10^6$                         | 2,912.4             | 1,470.8            |
| คินปนกรวค                                 | $1.22 \times 10^6$                         | 8,534.4             | 24.4               |
| หินกรวค                                   | $18.3 \times 10^6$                         | 4,267.2             | 121.9              |

ส้สำหรับผลของกรปฐุวัตศุบณศิวคินน้ี้จะทำให้ค้ค้ควมต้ันทนระหวังเท้ค้กับคินข้้งหน้้งที่หหได้จ้ค้สมกรท้ (2.11) เป็ล้ยนไปซึ่งสมรถค้ำนวนได้ ค้งสมกรท้ (2.19)

$$R_f = \left( \frac{\rho}{4b} \right) \cdot C_s \quad (2.19)$$

โดยที่  $C_s$  ค้ือ แผลคเตอร์ลค้ที่เกิดเนื่องจ้ค้กการปฐุวัตศุบณศิวคิน ซึ่งสมรถค้ำนวนได้ค้งสมกรท้ (2.20)

$$C_s = 1 - \frac{0.09 \left( 1 - \frac{\rho}{\rho_s} \right)}{2h_s + 0.09} \quad (2.20)$$

- เมื่อ  $C_s$  คือ แฟกเตอร์ลดที่เกิดเนื่องจากการปฐมนิคมดิน  
 $H_s$  คือ ความลึกของวัสดุถมดิน ในหน่วย เมตร (m)  
 $\rho_s$  คือ ค่าความต้านทานจำเพาะของวัสดุถมดิน ในหน่วย โอห์ม-เมตร ( $\Omega$ -m)  
 $\rho$  คือ ค่าความต้านทานจำเพาะของดิน ในหน่วย โอห์ม-เมตร ( $\Omega$ -m)

จากผลของการปฐมนิคมดินภายในสถานีไฟฟ้าย่อยที่มีผลต่อค่าความต้านทานระหว่างแท่งกับดินนี้ จะทำให้ค่าแรงดันไฟฟ้าสัมผัสสูงสุดและค่าแรงดันไฟฟ้าช่วงก้าวสูงสุดที่มนุษย์สามารถทนได้มีค่าเปลี่ยนแปลงไปจากสมการที่ (2.13) และ (2.14) ดังนั้นสามารถหาค่าแรงดันไฟฟ้าสัมผัสสูงสุดสำหรับมนุษย์น้ำหนักเฉลี่ย 50 และ 70 กิโลกรัมเมื่อมีการปฐมนิคมดินได้ดังในสมการที่ (2.21) และ (2.22) ตามลำดับ

$$E_{\text{touch}50} = (1,000 + 1.5\rho_s C_s) \frac{0.116}{\sqrt{t_s}} \quad (2.21)$$

$$E_{\text{touch}70} = (1,000 + 1.5\rho_s C_s) \frac{0.157}{\sqrt{t_s}} \quad (2.22)$$

สมการที่ (2.17) และ (2.18) ดังนั้นสามารถหาค่าแรงดันไฟฟ้าช่วงก้าวสูงสุดสำหรับมนุษย์น้ำหนักเฉลี่ย 50 และ 70 กิโลกรัมเมื่อมีการปฐมนิคมดินได้ดังในสมการที่ (2.23) และ (2.24) ตามลำดับ

$$E_{\text{step}50} = (1,000 + 6\rho_s C_s) \frac{0.116}{\sqrt{t_s}} \quad (2.23)$$

$$E_{\text{step}70} = (1,000 + 6\rho_s C_s) \frac{0.157}{\sqrt{t_s}} \quad (2.24)$$

จากสมการที่ (2.21) ถึง (2.24) ใช้เป็นเกณฑ์ในการพิจารณาถึงความปลอดภัยของการออกแบบระบบต่อลงดินในกรณีที่มีการปฐมนิคมดิน

## 2.6 กระแสกริดสูงสุด

กระแสกริด คือกระแสสูงสุดที่ไหลจากกราวด์กริดลงสู่ดิน กระแสกริดนี้จะมีค่าน้อยกว่ากระแสลัดวงจรลงดินที่เกิดขึ้นจริง เนื่องจากมีกระแสลัดวงจรบางส่วนไหลผ่านสายดินชิงอากาศและสายศูนย์ของสายส่งและสายจำหน่ายที่ต่ออยู่กับสถานีไฟฟ้าขอยนั้นเอง โดยสามารถคำนวณกระแสสูงสุดได้จากสมการที่ (2.25) ดังนี้

$$I_G = D_f \times I_g \quad (2.25)$$

เมื่อ  $I_G$  คือ กระแสกริดสูงสุด ในหน่วย แอมแปร์ (A)

$I_g$  คือ ค่ารากกำลังสองเฉลี่ยของกระแสมาตรการที่กราวด์กริด (Grid current) ในหน่วย แอมแปร์ (A)

$D_f$  คือ ตัวประกอบการลดลง

โดยที่

$$I_g = S_f \times I_r \quad (2.26)$$

$$D_f = \sqrt{1 + \frac{T_a}{t_r} \left( 1 - e^{-\frac{2t_r}{T_a}} \right)} \quad (2.27)$$

$$T_a = \frac{X}{2\pi R} \quad (2.28)$$

เมื่อ  $I_r$  คือ ค่ารากกำลังสองเฉลี่ยของกระแสผิดพ้องสมมาตรสูงสุด ในหน่วย แอมแปร์ (A)

$S_f$  คือ ตัวประกอบแบ่งกระแสผิดพ้อง

หรือสามารถคำนวณค่ากระแสกริดสูงสุดได้โดยใช้วิธีของ Thaper [11] ซึ่งเป็นวิธีที่เหมาะสมกว่าโดยพิจารณาค่ากระแสสูงสุดจากค่าความต้านทาน โครงตาข่าย ผลของสาย Overhead Ground Wire ค่าความต้านทานของเสา (Tower Footing Resistance) และระยะห่างระหว่างเสาตั้ง (Tower Span) ดังนี้

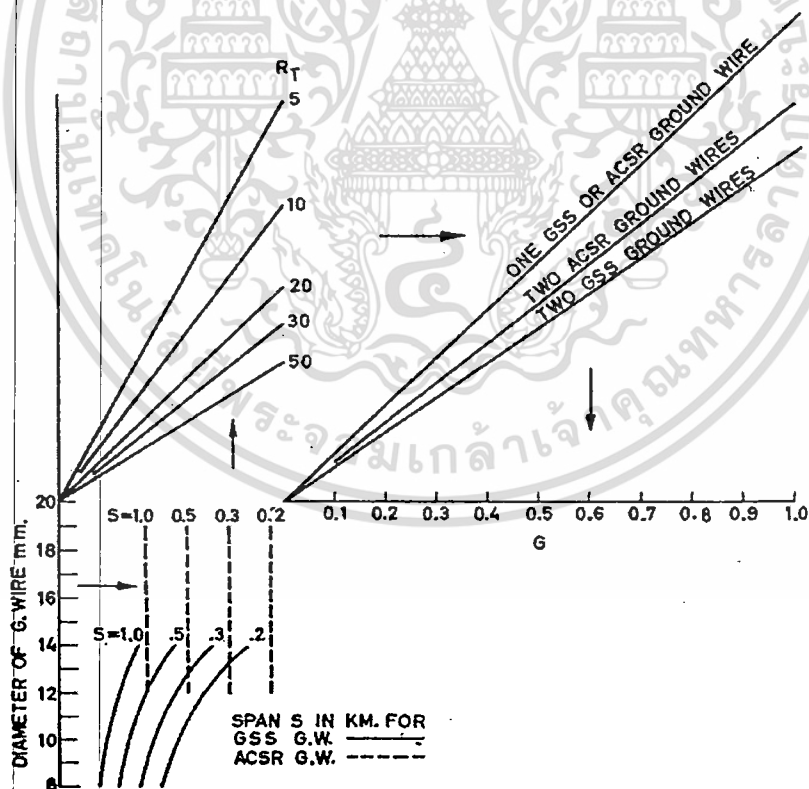
$$I_G = \left( \frac{Z}{R_g + Z} \right) I_r \tag{2.29}$$

โดยที่

$$Z = \frac{1}{Y'}$$

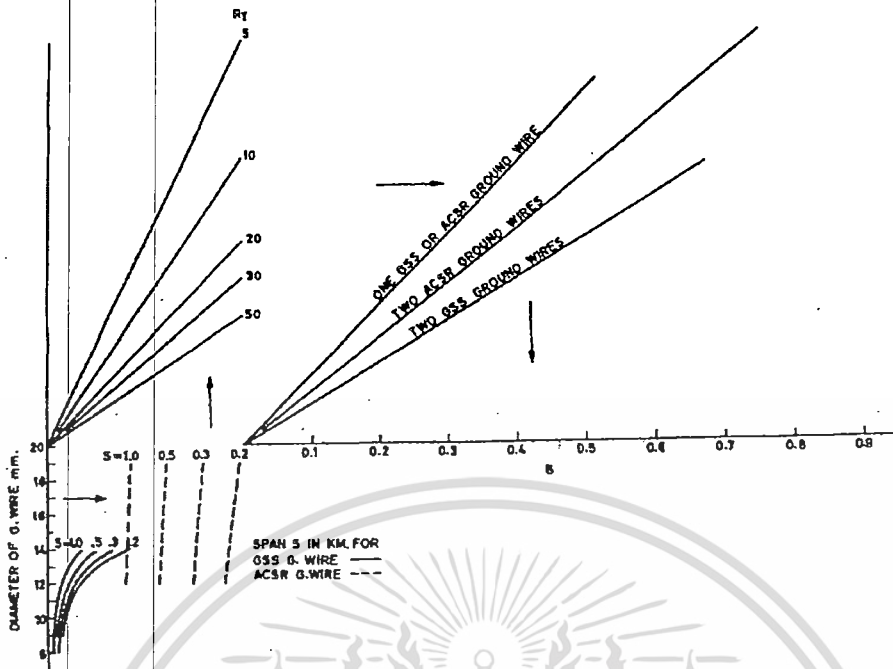
Y' คือ Admittance of Ladder Network ที่ประกอบด้วย Overhead Ground Wire และ Tower Footing

$$Y' = G + jB$$



รูปที่ 2.9 ค่า G ของสาย Overhead Ground Wire

เอกสารนี้เป็นเอกสารที่สงวนไว้สำหรับการใช้งานเพื่อการศึกษาเท่านั้น ไม่อนุญาตให้นำไปใช้ประโยชน์ด้านการค้า ไม่ว่าจะกรณีใดๆ ทั้งสิ้น อีกทั้งห้ามมิให้ดัดแปลงเนื้อหา และต้องอ้างอิงถึงเจ้าของเอกสารทุกครั้งที่มีการนำไปใช้



รูปที่ 2.10 ค่า B ของสาย Overhead Ground Wire

สำหรับค่า G และ B สามารถดูได้จากกราฟในรูป 2.9 และ 2.10 ซึ่งค่า G และ B

ขึ้นอยู่กับ

1. ชนิดของสาย Overhead Ground Wire (ในที่นี้พิจารณาเฉพาะชนิด GSS และ ACSS)
2. เส้นผ่านศูนย์กลางของสาย Overhead Ground Wire
3. ระยะห่างระหว่างเสาตั้ง
4. ค่าความต้านทานของเสาตั้ง
5. จำนวนของสาย Overhead Ground Wire

## 2.7 แรงดันไฟฟ้าเมฆและแรงดันไฟฟ้าช่วงก้ำว

ค่าแรงดันไฟฟ้าเมฆและแรงดันไฟฟ้าช่วงก้ำวที่พิจารณานี้ เป็นค่าแรงดันไฟฟ้าที่เกิดขึ้นจริงภายในสถานีไฟฟ้าย่อยเนื่องจากการออกแบบระบบต่อลงดิน โดยแรงดันไฟฟ้าที่เกิดขึ้นจะต้องมีค่าไม่มากเกินไปเกินค่าแรงดันไฟฟ้าสัมผัสสูงสุดที่มนุษย์สามารถทนได้ ทำนองเดียวกับแรงดันไฟฟ้าช่วงก้ำวต้องมีค่าไม่เกินค่าแรงดันไฟฟ้าช่วงก้ำวสูงสุดที่มนุษย์สามารถทนได้ แต่สมการเพื่อหาแรงดันไฟฟ้าเมฆและแรงดันไฟฟ้าช่วงก้ำวมีข้อจำกัด โดยที่ความถี่ของกราวด์กริดควรอยู่ในช่วง 0.25-2.5 เมตร

เอกสารนี้เป็นเอกสารที่สงวนไว้สำหรับการใช้งานเพื่อการศึกษาเท่านั้น ไม่อนุญาตให้นำไปใช้ประโยชน์ด้านการค้า ไม่ว่าจะกรณีใดๆ ทั้งสิ้น อีกทั้งห้ามมิให้ดัดแปลงเนื้อหา และต้องอ้างอิงถึงเจ้าของเอกสารทุกครั้งที่มีการนำไปใช้

### 2.7.1 แรงดันไฟฟ้าเมช (Mesh voltage)

ค่าแรงดันไฟฟ้าเมช สามารถหาได้จากสมการที่ (2.30) ดังนี้

$$E_m = \frac{\rho \cdot K_m \cdot K_i \cdot I_G}{L_m} \quad (2.30)$$

เมื่อ  $I_G$  คือ กระแสกริดสูงสุด ในหน่วย แอมแปร์ (A)  
 $L_m$  คือ ความยาวประสิทธิผลของตัวนำในระบบต่อลงดิน

โดยที่ 
$$K_m = \frac{1}{2\pi} \left[ \ln \frac{D^2}{16 \cdot h \cdot d} + \frac{(D+2 \cdot h)^2}{8 \cdot D \cdot d} - \frac{h}{4 \cdot d} \right] + \frac{K_{ii}}{K_h} \cdot \ln \left[ \frac{8}{\pi(2 \cdot n - 1)} \right] \quad (2.31)$$

$$K_{ii} = \frac{1}{(2n)^{2/n}} \quad (2.32)$$

$\approx 1$  ถ้ากราวด์กริดมีแท่งกราวด์รูดรอบๆ หรือกราวด์กริดมีแท่งกราวด์รูดที่มุมรวมทั้งกราวด์กริดที่มีแท่งกราวด์รูดรอบๆ และกระจายทั่วกราวด์กริด

$$K_h = \sqrt{1 + \frac{h}{h_0}} \quad (\text{ความลึกอ้างอิงของกราวด์กริด } h_0 = 1 \text{ m}) \quad (2.33)$$

เมื่อ  $D$  คือ ระยะห่างระหว่างตัวนำที่ขนานกัน ในหน่วย เมตร (m)  
 $d$  คือ เส้นผ่านศูนย์กลางของตัวนำของกราวด์กริด ในหน่วย เมตร (m)  
 $h$  คือ ความลึกของกราวด์กริด ในหน่วย เมตร (m)

$$K_i = 0.644 + 0.148 \cdot n \quad (2.34)$$

$$n = n_a \cdot n_b \cdot n_c \cdot n_d \quad (2.35)$$

$$n_a = \frac{2 \cdot L_c}{L_p} \quad (2.36)$$

โดยที่

$$n_b = 1 \quad \text{ถ้ากราวด์กริดเป็นรูปสี่เหลี่ยมจัตุรัส}$$

$$n_c = 1 \quad \text{ถ้ากราวด์กริดเป็นรูปสี่เหลี่ยมจัตุรัสและสี่เหลี่ยมผืนผ้า}$$

$$n_d = 1 \quad \text{ถ้ากราวด์กริดเป็นรูปสี่เหลี่ยมจัตุรัส สี่เหลี่ยมผืนผ้าและรูปตัวแอล (L)}$$

สำหรับกรณีอื่น

$$n_b = \sqrt{\frac{L_p}{4\sqrt{A}}} \quad (2.37)$$

$$n_c = \left( \frac{L_x L_y}{A} \right)^{\frac{0.7A}{L_x L_y}} \quad (2.38)$$

$$n_d = \frac{D_m}{\sqrt{L_x^2 + L_y^2}} \quad (2.39)$$

เมื่อ

$L_c$  คือ ความยาวทั้งหมดของตัวนำแนวนอน ในหน่วย เมตร (m)

$L_p$  คือ เส้นรอบรูปของกราวด์กริด ในหน่วย เมตร (m)

$A$  คือ พื้นที่ของกราวด์กริด ในหน่วย ตารางเมตร ( $m^2$ )

$L_x$  คือ ความยาวมากที่สุดของกราวด์กริดในทิศทาง x ในหน่วย เมตร (m)

$L_y$  คือ ความยาวมากที่สุดของกราวด์กริดในทิศทาง y ในหน่วย เมตร (m)

$D_m$  คือ ระยะห่างสูงสุดระหว่างจุดสองจุดใดๆบนกราวด์กริด ในหน่วย เมตร (m)

สำหรับกราวด์กริดที่ไม่มีแท่งกราวด์หรือมีแท่งกราวด์จำนวนน้อย (ไม่มีที่มุม หรือที่เส้นรอบกราวด์กริด)

$$L_m = L_c + L_R \quad (2.40)$$

สำหรับกราวด์กริดที่มีแท่งกราวด์รูดที่มุม ที่เส้นรอบกราวด์กริด หรือกระจายทั่วพื้นกราวด์กริด

$$L_m = L_c + \left[ 1.55 + 1.22 \left( \frac{L_r}{\sqrt{L_x^2 + L_y^2}} \right) \right] L_R \quad (2.41)$$

เมื่อ  $L_R$  คือ ความยาวรวมของแท่งกราวด์รูดทุกแท่ง ในหน่วย เมตร (m)

$L_p$  คือ ความยาวของแท่งกราวด์รูดแต่ละแท่ง ในหน่วย เมตร (m)

### 2.7.2 แรงดันไฟฟ้าช่วงก้าว (Step voltage)

ค่าแรงดันไฟฟ้าช่วงก้าว สามารถหาได้จากสมการที่ (2.42) ดังนี้

$$E_s = \frac{\rho \cdot K_s \cdot K_i \cdot I_G}{L_s} \quad (2.42)$$

โดยที่

$$K_s = \frac{1}{\pi} \left[ \frac{1}{2h} + \frac{1}{D+h} + \frac{1}{D} (1 - 0.5^{n-2}) \right] \quad (2.43)$$

$$L_s = 0.75L_c + 0.85L_R \quad (2.44)$$

การหาค่า  $K_i$  จะเหมือนกับการใช้ในการหาแรงดันไฟฟ้าเมช คือสมการที่ (2.34)

## 2.8 GPR

GPR (Ground Potential Rise) เป็นค่าแรงดันไฟฟ้าสูงสุดซึ่งขึ้นอยู่กับค่าความต้านทานระบบต่อลงดิน และค่ากระแสกริด ดังสมการที่ (2.45)

$$GPR = I_G \times R_T \quad (2.45)$$

เมื่อ  $R_T$  คือ ความต้านทานระบบต่อลงดิน ในหน่วย โอห์ม ( $\Omega$ )

$I_G$  คือ กระแสกริดสูงสุด ในหน่วย แอมแปร์ (A)

เอกสารนี้เป็นเอกสารที่สงวนไว้สำหรับการใช้งานเพื่อการศึกษาเท่านั้น ไม่อนุญาตให้นำไปใช้ประโยชน์ด้านการค้า  
ไม่ว่ากรณีใดๆ ทั้งสิ้น อีกทั้งห้ามมิให้ดัดแปลงเนื้อหา และต้องอ้างอิงถึงเจ้าของเอกสารทุกครั้งที่มีการนำไปใช้

### บทที่ 3

## การหาความต้านทานระบบต่อลงดินของสถานีไฟฟ้าย่อย กรณีพิจารณาเป็นดินสองชั้น

ความต้านทานระบบต่อลงดินของสถานีไฟฟ้าย่อย ถือเป็นข้อมูลที่มีความสำคัญมากในการ ออกแบบระบบการต่อลงดินเพื่อให้มีความปลอดภัยต่อบุคคลและความมั่นคงของระบบ กล่าวคือ เมื่อเกิดความผิดปกติหรือเกิดการลัดวงจรที่สถานีไฟฟ้า ระบบกราวด์กริดจะถูกออกแบบให้ สำหรับช่วยกระจายกระแสไฟฟ้าที่ผิดปกติลงสู่ดิน กระแสผิดปกติที่ไหลในกราวด์กริดจะทำให้ แรงดันที่กราวด์กริดเพิ่มขึ้นและดินที่อยู่รอบๆ กราวด์กริดที่ห่างออกไปจะมีแรงดันเกิดขึ้นด้วย ซึ่ง ความปลอดภัยของบุคคลในพื้นที่สถานีไฟฟ้าจะขึ้นอยู่กับแรงดันไฟฟ้าสัมผัส (Touch Voltage) และ แรงดันไฟฟ้าช่วงก้าว (Step Voltage) ดังนั้นการที่จะลดอันตรายจากแรงดันไฟฟ้าทั้งสองได้นั้น จึง จำเป็นที่จะต้องลดแรงดันไฟฟ้าที่กระจายบนพื้นของสถานีไฟฟ้าและกำหนดทางเดินของ กระแสไฟฟ้าผิดปกติให้ไหลลงดินในช่องทางที่กำหนดไว้

ค่าความต้านทานของระบบต่อลงดินที่มีค่าต่ำจะช่วยนำกระแสผิดปกติได้ดี ซึ่งการจะ ทราบว่าค่าความต้านทานของระบบต่อลงดินภายในสถานีไฟฟ้านั้นมีค่าความต้านทานจริงเท่าใด จะต้องทำการวัดจากระบบต่อลงดินหลังจากทำการก่อสร้างเสร็จแล้ว

ในบทนี้แสดงการคำนวณหาความต้านทานระบบต่อลงดินในสถานีไฟฟ้าย่อยระบบ 115/22 เควี แบบกลางแจ้ง (Conventional Substation) จำนวน 3 แห่ง ของการไฟฟ้าส่วนภูมิภาค การคำนวณค่าความต้านทานจำเพาะของดินจะพิจารณาดินเป็นดินสองชั้น (Two-layers) ซึ่งจะต้อง หาค่าความต้านทานจำเพาะของดินชั้นบน ความหนาของดินชั้นบนและความต้านทานจำเพาะของ ดินชั้นล่าง โดยจะใช้โปรแกรมคอมพิวเตอร์ CDEGS (Current Distribution Electromagnetic Grounding and Soil structure analysis [14]) โมดูล RESAP ซึ่งเป็นลิขสิทธิ์ของ Safety Engineering Services & Technologies Limited, (SES) ประเทศแคนาดาในการหาค่าดังกล่าว

สำหรับการคำนวณหาความต้านทานของกราวด์กริดนั้น โดยวิทยานิพนธ์ฉบับนี้ได้ นำ สมการของ Sverak ตามมาตรฐาน IEEE 80-2000 มาเปรียบเทียบกับสมการของ Xiaobin ที่ถูก พัฒนาและตีพิมพ์ในเอกสารการประชุมนานาชาติเมื่อปี ค.ศ.2008 ซึ่งค่าความต้านทานจำเพาะของ ดินเป็นการเก็บข้อมูลและทดสอบในภาคสนามที่สถานีไฟฟ้านั้น จากนั้นนำผลการทดลองจาก สมการทั้งสองมาเปรียบเทียบกับผลการคำนวณด้วยโปรแกรมคอมพิวเตอร์ CDEGS โมดูล MALT พบว่าสมการของ Xiaobin นั้นมีความคลาดเคลื่อนน้อยกว่า จึงได้นำสมการของ Xiaobin เพื่อไปพัฒนาใช้งานต่อ [15]

เอกสารนี้เป็นเอกสารที่สงวนไว้สำหรับการใช้งานเพื่อการศึกษาเท่านั้น ไม่อนุญาตให้นำไปใช้ประโยชน์ด้านการค้า  
ไม่ว่ากรณีใดๆ ทั้งสิ้น อีกทั้งห้ามมิให้ดัดแปลงเนื้อหา และต้องอ้างอิงถึงเจ้าของเอกสารทุกครั้งที่มีการนำไปใช้

### 3.1 ความต้านทานกราวด์กริด

#### 3.1.1 สมการ Sverak [15, 16]

เราสามารถคำนวณหาค่าความต้านทานกราวด์กริด ดังนี้

$$R_g = \rho_a \left[ \frac{1}{L_c} + \frac{1}{\sqrt{20A}} \left( 1 + \frac{1}{1 + h_b \sqrt{\frac{20}{A}}} \right) \right] \tag{3.1}$$

โดยที่

$$\rho_a = \frac{\rho_1}{1 + \left( \frac{\rho_1}{\rho_2} - 1 \right) \left( e^{K(h+2h_b)} \right)} \quad \text{เมื่อ } \rho_2 < \rho_1 \tag{3.2}$$

$$\rho_a = \frac{\rho_2}{1 + \left( \frac{\rho_2}{\rho_1} - 1 \right) \left( e^{K(h+2h_b)} \right)} \quad \text{เมื่อ } \rho_2 > \rho_1 \tag{3.3}$$

$$K = \frac{\rho_2 - \rho_1}{\rho_2 + \rho_1} \tag{3.4}$$

- เมื่อ  $R_g$  คือ ความต้านทานกราวด์กริด ในหน่วย โอห์ม ( $\Omega$ )
- $L_c$  คือ ความยาวของตัวนำ ในหน่วย เมตร (m)
- $A$  คือ พื้นที่กราวด์กริด ในหน่วย ตารางเมตร ( $m^2$ )
- $\rho_a$  คือ ความต้านทานจำเพาะปรากฏ ในหน่วย โอห์ม-เมตร ( $\Omega\cdot m$ )
- $\rho_1$  คือ ความต้านทานจำเพาะของดินชั้นบน ในหน่วย โอห์ม-เมตร ( $\Omega\cdot m$ )
- $\rho_2$  คือ ความต้านทานจำเพาะของดินชั้นบน ในหน่วย โอห์ม-เมตร ( $\Omega\cdot m$ )
- $h$  คือ ความลึกของดินชั้นบน ในหน่วย เมตร (m)
- $h_b$  คือ ค่าลึกของกราวด์กริด ในหน่วย เมตร (m)
- $K$  คือ สัมประสิทธิ์การสะท้อน

### 3.1.2 สมการ Xiaobin [18]

เป็นสมการวิธีใหม่ที่ใช้คำนวณหาค่าความต้านทานกราวด์กริดในสถานีไฟฟ้าย่อย โดยใช้แบบโครงสร้างเป็นดินสองชั้น มีสมการดังนี้

$$R_g = \frac{\rho_2}{4\sqrt{\frac{\pi}{A}}} \quad \text{เมื่อ } \rho_2 < \rho_1, h < h_b \quad (3.5)$$

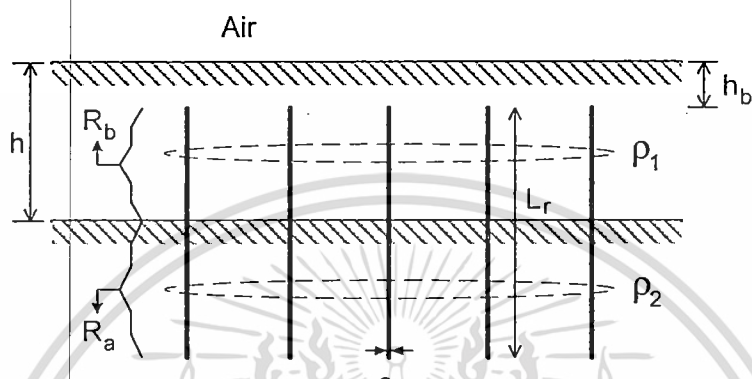
$$R_g = \frac{\rho_2\sqrt{\pi A} + hp_1\pi \left( 23.16\ln\left(\frac{\rho_2}{\rho_1} + 31.9\right) - 78 \right) \times \left( 1 + 1.95e^{-20\frac{h\sqrt{\pi}}{\sqrt{A}}} - 0.3e^{-0.5\frac{h\sqrt{\pi}}{\sqrt{A}}} \right)}{4A + 4h\sqrt{\pi A} \left( 23.16\ln\left(\frac{\rho_2}{\rho_1} + 31.9\right) - 78 \right) \times \left( 1 + 1.95e^{-20\frac{h\sqrt{\pi}}{\sqrt{A}}} - 0.3e^{-0.5\frac{h\sqrt{\pi}}{\sqrt{A}}} \right)} \quad \text{เมื่อ } \rho_2 < \rho_1, h \geq h_b \quad (3.6)$$

$$R_g = \frac{\rho_2\sqrt{\pi A} + hp_1\pi \left( 23.16\ln\left(\frac{\rho_2}{\rho_1} + 31.9\right) - 78 \right) \times \left( 1 + 1.55e^{-15\frac{h\sqrt{\pi}}{\sqrt{A}}} - 0.1e^{-0.25\frac{h\sqrt{\pi}}{\sqrt{A}}} + 0.2e^{\frac{h\sqrt{\pi}}{\sqrt{A}}} \right)}{4A + 4h\sqrt{\pi A} \left( 23.16\ln\left(\frac{\rho_2}{\rho_1} + 31.9\right) - 78 \right) \times \left( 1 + 1.55e^{-15\frac{h\sqrt{\pi}}{\sqrt{A}}} - 0.1e^{-0.25\frac{h\sqrt{\pi}}{\sqrt{A}}} + 0.2e^{\frac{h\sqrt{\pi}}{\sqrt{A}}} \right)} \quad \text{เมื่อ } \rho_2 \geq \rho_1 \quad (3.7)$$

|       |          |  |
|-------|----------|--|
| เมื่อ | $R_g$    | คือ ความต้านทานกราวด์กริด ในหน่วย โอห์ม ( $\Omega$ )                       |
|       | $A$      | คือ พื้นที่กราวด์กริด ในหน่วย ตารางเมตร ( $m^2$ )                          |
|       | $\rho_1$ | คือ ความต้านทานจำเพาะของดินชั้นบน ในหน่วย โอห์ม-เมตร ( $\Omega\cdot m$ )   |
|       | $\rho_2$ | คือ ความต้านทานจำเพาะของดินชั้นล่าง ในหน่วย โอห์ม-เมตร ( $\Omega\cdot m$ ) |
|       | $h$      | คือ ความลึกของดินชั้นบน ในหน่วย เมตร (m)                                   |
|       | $h_b$    | คือ ความลึกของกราวด์กริด ในหน่วย เมตร (m)                                  |

### 3.2 ความต้านทานแท่งกราวด์รูด [15, 19]

ในการหาความต้านทานแท่งกราวด์รูด พารามิเตอร์สำหรับคำนวณหาความต้านทานแท่งกราวด์รูดในแบบจำลองของดินสองชั้นสามารถแสดงได้ดังรูปที่ 3.1 โดยความต้านทานแท่งกราวด์รูดหาได้จากสมการที่ (3.8) ดังนี้



รูปที่ 3.1 แท่งกราวด์รูดในดินสองชั้น

$$R_t = \frac{1}{\frac{1}{R_a} + \frac{1}{R_b}} \tag{3.8}$$

โดยที่

$$R_a = \frac{\rho_2 g_0 F_0}{(L_r + h_b - h) n_r} \tag{3.9}$$

$$R_b = \frac{\rho_1 g_0 F_0}{(h - h_b) n_r} + \frac{\rho_1 \varphi_0}{h} \tag{3.10}$$

โดยที่ค่าพารามิเตอร์ในสมการที่ (3.9) และ (3.10) หาได้ดังนี้

$$g_0 = \frac{1}{2\pi} \left[ \ln\left(\frac{2L_r}{a}\right) - 1 + \frac{\ln 2}{1 + \frac{(4 \ln 2)h_b}{L_r}} \right] \tag{3.11}$$

$$F_0 = F \Big|_{L_r \rightarrow \frac{L_r}{1-0.9K}} \quad (3.12)$$

$$F = 1 + \left( n_r + \frac{1}{\sqrt{n_r}} \right) \frac{R_s}{R_r} \quad (3.13)$$

$$\frac{R_s}{R_r} = \frac{\sqrt{\frac{L_r}{rl} \left[ \left( \frac{1}{2} \right)^3 + \left( \frac{L_r}{L_r + \left( \frac{rl}{2} \right)} \right)^3 \right]^{\frac{1}{3}}}}{\ln \left( \frac{4L_r}{a} \right) - 1} \quad (3.14)$$

$$rl = \frac{A}{2\pi L_r} \quad (3.15)$$

และ

$$\varphi_0 = \frac{\frac{1}{2\pi} \left( \ln \frac{1}{1-K} \right)}{\sqrt{\left( \frac{n_r}{F_0} - 1 \right)^2 + 1}} \quad (3.16)$$

|       |          |   |
|-------|----------|---|
| เมื่อ | $R_r$    | คือ ความต้านทานกราวด์รูด ในหน่วย โอห์ม ( $\Omega$ )                   |
|       | $R_a$    | คือ ความต้านทานกราวด์รูดในเนื้อดินชั้นล่าง ในหน่วย โอห์ม ( $\Omega$ ) |
|       | $R_b$    | คือ ความต้านทานกราวด์รูดในเนื้อดินชั้นบน ในหน่วย โอห์ม ( $\Omega$ )   |
|       | $\rho_1$ | คือ ความต้านทานจำเพาะของดินชั้นบน ในหน่วย โอห์ม-เมตร ( $\Omega$ -m)   |
|       | $\rho_2$ | คือ ความต้านทานจำเพาะของดินชั้นล่าง ในหน่วย โอห์ม-เมตร ( $\Omega$ -m) |
|       | $h$      | คือ ความลึกของดินชั้นบน ในหน่วย เมตร (m)                              |
|       | $h_b$    | คือ ความลึกของกราวด์กริด ในหน่วย เมตร (m)                             |
|       | $n_r$    | คือ จำนวนแท่งกราวด์รูด  |
|       | $L_r$    | คือ ความยาวแท่งกราวด์รูด ในหน่วย เมตร (m)                             |
|       | $a$      | คือ รัศมีของแท่งกราวด์รูด ในหน่วย เมตร (m)                            |
|       | $K$      | คือ สัมประสิทธิ์การสะท้อน   |

เอกสารนี้เป็นเอกสารที่สงวนไว้สำหรับการใช้งานเพื่อการศึกษาเท่านั้น ไม่อนุญาตให้นำไปใช้ประโยชน์ด้านการค้า  
ไม่ว่ากรณีใดๆ ทั้งสิ้น อีกทั้งห้ามมิให้ดัดแปลงเนื้อหา และต้องอ้างอิงถึงเจ้าของเอกสารทุกครั้งที่มีการนำไปใช้

อธิบายรูปที่ 3.1 ได้ว่า เมื่อแท่งกราวด์รอดมีการจัดวางเป็นแนวตั้งและมีส่วนของแท่งกราวด์รอดอยู่ระหว่างเนื้อดินชั้นบนกับดินชั้นล่าง ค่าความต้านทานจะแบ่งการคำนวณออกเป็นสองส่วน โดยกำหนดค่าที่ตำแหน่งบริเวณเนื้อดินชั้นบนและดินชั้นล่างเท่ากับ  $R_b$  และ  $R_u$  ตามลำดับ กำหนดจำนวนแท่งกราวด์รอดมีทั้งหมดเท่ากับ  $n_t$  แท่ง แต่ละแท่งมีรัศมีเท่ากับ  $a$  เมตร และมีความยาวเท่ากับ  $L_t$  เมตร

ผลรวมของความต้านทานที่ตำแหน่งเนื้อดินชั้นบนและชั้นล่างจะเท่ากับ  $R_t$  ดังแสดงในสมการที่ (3.8) แต่ทั้งนี้เมื่อแท่งกราวด์รอดติดตั้งอยู่บริเวณตำแหน่งในเนื้อดินชั้นบนทั้งหมดตลอดส่วนความยาว ค่าความต้านทานของแท่งกราวด์รอดจะหาได้จากสมการที่ (3.17) ดังนี้

$$R_t = R_b \quad (3.17)$$

และเมื่อแท่งกราวด์รอดติดตั้งอยู่บริเวณตำแหน่งในเนื้อดินชั้นล่างทั้งหมดตลอดส่วนความยาว จะหาค่าความต้านทานของแท่งกราวด์รอดได้จากสมการที่ (3.18) ดังนี้

$$R_t = R_u \quad (3.18)$$

### 3.3 ความต้านทานระบบต่อลงดิน [15, 19]

ค่าความต้านทานการต่อลงดินในสถานีไฟฟ้าได้จากการรวมความต้านทานกราวด์กริดและความต้านทานแท่งกราวด์รอด เมื่อผลรวมความต้านทานกราวด์กริดและแท่งกราวด์รอดของระบบการต่อลงดินในสถานีไฟฟ้าประกอบด้วยกราวด์กริดและแท่งกราวด์รอดที่เชื่อมต่อกัน ดังนั้นความต้านทานรวมทั้งหมดจะ ได้จากสมการที่ (3.19) ดังนี้

$$R_T = \frac{1}{\sqrt[3]{\left(\frac{1}{R_g}\right)^3 + \left(\frac{1}{R_t}\right)^3}} \quad (3.19)$$

|       |       |  |
|-------|-------|--|
| เมื่อ | $R_T$ | คือ ความต้านทานระบบต่อลงดิน ในหน่วย โอห์ม ( $\Omega$ ) |
|       | $R_g$ | คือ ความต้านทานกราวด์กริด ในหน่วย โอห์ม ( $\Omega$ )   |
|       | $R_t$ | คือ ความต้านทานกราวด์รอด ในหน่วย โอห์ม ( $\Omega$ )    |

### 3.4 กรณีศึกษา

ในส่วนนี้ จะนำสามตัวอย่างกรณีศึกษาซึ่งประกอบไปด้วยสถานีไฟฟ้าดอยสะเก็ด จังหวัดเชียงใหม่ สถานีไฟฟ้านางรอง(ชั่วคราว) จังหวัดบุรีรัมย์ และสถานีไฟฟ้าวัดโบสถ์ จังหวัดพิษณุโลก โดยค่าความต้านทานจำเพาะดินชั้นบน  $\rho_1$  ที่มีความลึก  $h$  และค่าความต้านทานจำเพาะดินชั้นล่าง  $\rho_2$  เป็นค่าที่หาได้จากการวัดความต้านทานจำเพาะของดินโดยใช้วิธี Wenner four-pin method และนำค่าที่วัดได้นั้น ไปเป็นข้อมูลสำหรับคำนวณด้วยโปรแกรม CDEGS โมดูล RESAP

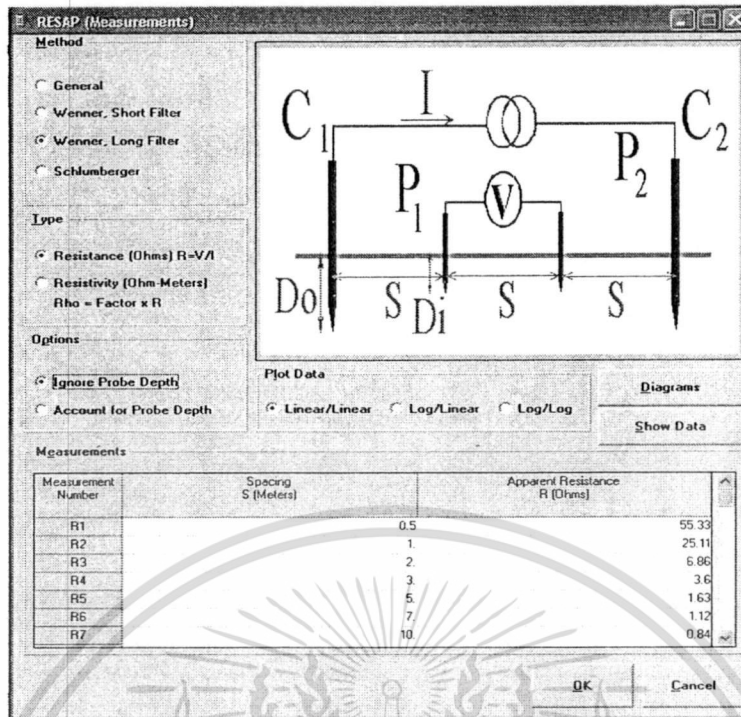
จากนั้นนำค่าพารามิเตอร์ทั้งสามที่คำนวณได้ ไปคำนวณค่าความต้านทานระบบต่อลงดิน โดยเปรียบเทียบกับกันระหว่างสมการของ Sverak, สมการของ Xiaobin และการคำนวณด้วยโปรแกรม CDEGS โมดูล MALT

#### 3.4.1 สถานีไฟฟ้าดอยสะเก็ด จังหวัดเชียงใหม่

ค่าความต้านทานดินที่สถานีไฟฟ้าดอยสะเก็ด แสดง ได้ดังตารางที่ 3.1 ดังนี้ [4]

ตารางที่ 3.1 ค่าความต้านทานดินที่สถานีไฟฟ้าดอยสะเก็ด จังหวัดเชียงใหม่

|                     |    | ค่าความต้านทานที่วัดได้ ( $\Omega$ ) |        |       |       |         |       |       |
|---------------------|----|--------------------------------------|--------|-------|-------|---------|-------|-------|
| ระยะห่างของโพรบ (m) |    | 0.5                                  | 1      | 2     | 3     | 5       | 7     | 10    |
| POINT 1             | PX | 76.10                                | 19.90  | 5.56  | 2.55  | 1.41    | 1.01  | 0.76  |
|                     | PY | 66.50                                | 19.00  | 6.18  | 3.52  | 1.43    | 1.11  | 0.89  |
| POINT 2             | PX | 44.80                                | 19.70  | 7.05  | 2.76  | 1.46    | 1.07  | 0.93  |
|                     | PY | 39.50                                | 31.10  | 5.37  | 3.07  | 1.21    | 0.89  | 0.72  |
| POINT 3             | PX | 54.10                                | 26.40  | 6.78  | 3.66  | 1.86    | 1.26  | 0.96  |
|                     | PY | 90.30                                | 36.80  | 6.50  | 3.90  | 2.04    | 1.30  | 0.87  |
| POINT 4             | PX | 37.00                                | 27.00  | 8.00  | 4.20  | 1.72    | 1.11  | 0.85  |
|                     | PY | 34.30                                | 21.00  | 9.46  | 5.12  | 1.92    | 1.24  | 0.77  |
| ผลรวมค่าความต้านทาน |    | 442.6                                | 200.9  | 54.9  | 28.78 | 13.05   | 8.99  | 6.75  |
| $\Sigma R/N$        |    | 55.325                               | 25.113 | 6.863 | 3.598 | 1.63125 | 1.124 | 0.844 |



| Layer Number | Resistivity (ohm-m) | Thickness (Meters) | Reflection Coefficient (p.u.) | Resistivity Contrast Ratio |
|--------------|---------------------|--------------------|-------------------------------|----------------------------|
| 1            | infinite            | infinite           | 0.0                           | 1.0                        |
| 2            | 188.1530            | 0.9619396          | -1.0000                       | 0.18815E-17                |
| 3            | 48.99177            | infinite           | -0.58682                      | 0.26038                    |

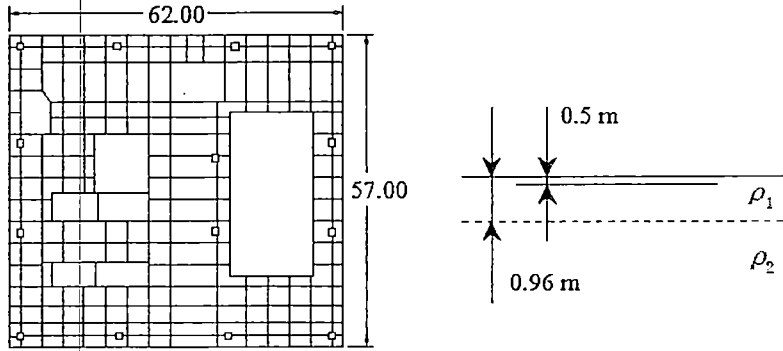
รูปที่ 3.2 ผลการคำนวณหาค่าความต้านทานจำเพาะของดินที่สถานีไฟฟ้าคอยสะเกิดด้วยโปรแกรม CDEGS โมดูล RESAP

การวัดหาค่าความต้านทานดินที่สถานีไฟฟ้าคอยสะเกิดมีการเก็บข้อมูลจำนวน 4 ตำแหน่งแบบสุ่ม โดยวัดในแนวแกน X และ Y ตามแนวเขตที่ดิน จากนั้นนำผลความต้านทานของดินจากรายที่ 3.1 มาคำนวณหาค่าความต้านทานจำเพาะของดิน โดยกำหนดแบบจำลองโครงสร้างเป็นดินสองชั้นจากโปรแกรม CDEGS โมดูล RESAP แสดงได้ดังรูปที่ 3.2

จากการคำนวณด้วยโปรแกรม CDEGS โมดูล RESAP พบว่าความต้านทานจำเพาะดินชั้นบน  $\rho_1$  มีค่าเท่ากับ 188 โอห์ม-เมตร และความต้านทานจำเพาะดินชั้นล่าง  $\rho_2$  มีค่าเท่ากับ 49 โอห์ม-เมตร โดยดินชั้นบนมีความลึกเท่ากับ 0.962 เมตร

รูปแบบกราวด์กริดสถานีไฟฟ้าคอยสะเกิดมีการจัดวางรูปแบบดังรูปที่ 3.3 โดยเส้นประหมายถึงขอบเขตระหว่างดินชั้นบนและดินชั้นล่าง มีพื้นที่เท่ากับ 3,534 ตารางเมตรและตัวนำมีความยาวตัวนำรวมทั้งหมด 1,814.2 เมตร

เอกสารนี้เป็นเอกสารที่สงวนไว้สำหรับการใช้งานเพื่อการศึกษาเท่านั้น ไม่อนุญาตให้นำไปใช้ประโยชน์ด้านการค้า ไม่ว่าจะกรณีใดๆ ทั้งสิ้น อีกทั้งห้ามมิให้ดัดแปลงเนื้อหา และต้องอ้างอิงถึงเจ้าของเอกสารทุกครั้งที่มีการนำไปใช้



รูปที่ 3.3 กราวด์กริดสถานีไฟฟ้าคอยสะเก็ด

เมื่อกำหนดให้แท่งกราวด์รูดที่ใช้ในสถานีไฟฟ้าคอยสะเก็ดมีความยาวเท่ากับ 3 เมตร มีจำนวนทั้งหมด 30 แท่ง แต่ละแท่งมีรัศมีเท่ากับ 0.00794 เมตร การจัดวางเป็นแนวตั้งและมีตำแหน่งอยู่บริเวณส่วนของดินชั้นบนและชั้นล่าง เมื่อกำหนดหาค่าความต้านทานแท่งกราวด์รูดจากสมการที่ (3.8) ได้เท่ากับ 0.774 โอห์ม

เนื่องจากค่า  $\rho_1 > \rho_2$  คำนวณหาค่าความต้านทานจำเพาะปรากฏโดยใช้สมการที่ (3.2) ได้เท่ากับ 71.03 โอห์ม-เมตร และคำนวณหาความต้านทานกราวด์กริดด้วยสมการของ Sverak มีค่าเท่ากับ 0.5638 โอห์ม ดังนั้นหาสามารถหาค่าความต้านทานรวมหรือความต้านทานระบบต่อลงดินได้โดยใช้สมการที่ (3.19) เท่ากับ 0.5056 โอห์ม

ผลการคำนวณหาความต้านทานกราวด์กริดด้วยสมการของ Xiaobin โดยใช้สมการที่ (3.6) มีค่าเท่ากับ 0.4789 โอห์ม ดังนั้นหาสามารถหาค่าความต้านทานรวมหรือความต้านทานต่อลงดินได้โดยใช้สมการที่ (3.19) เท่ากับ 0.4462 โอห์ม

CONFIGURATION OF MAIN ELECTRODE

|   |         |         |
|---|---------|---------|
| Original Electrical Current Flowing In Electrode... | 31500.  | amperes |
| Current Scaling Factor (SPLITS/ECDIST/specified)... | 1.0000  |         |
| Adjusted Electrical Current Flowing In Electrode... | 31500.  | amperes |
| Number of Conductors in Electrode.....              | 185     |         |
| Resistance of Electrode System.....                 | 0.40103 | ohms    |

SUBDIVISION

|  |        |                |
|--|--------|----------------|
| Grand Total of Conductors After Subdivision..  | 967    |                |
| Total Current Flowing In Main Electrode.....   | 31500. | amperes        |
| Average Current Density of Conductor Segments: | 16.543 | amperes /meter |
| Total Buried Length of Main Electrode.....     | 1904.2 | meters         |

EARTH POTENTIAL COMPUTATIONS

|  |        |       |
|--|--------|-------|
| Main Electrode Potential Rise (GPR)..... | 12632. | volts |
| (based on two representative points)     |        |       |

รูปที่ 3.4 การคำนวณหาค่าความต้านทานต่อลงดินที่สถานีไฟฟ้าคอยสะเก็ด

เอกสารนี้เป็นเอกสารที่สงวนลิขสิทธิ์และผลการคำนวณด้วยโปรแกรม CDEGS โมดูล MALT ไปใช้ประโยชน์ด้านการค้า ไม่ว่าจะกรณีใดๆ ทั้งสิ้น อีกทั้งห้ามมิให้ดัดแปลงเนื้อหา และต้องอ้างอิงถึงเจ้าของเอกสารทุกครั้งที่มีการนำไปใช้

คำนวณหาค่าความต้านทานระบบต่อลงดิน โดยการคำนวณหาความต้านทานระบบต่อลงดินด้วยโปรแกรม CDEGS โมดูล MALT มีค่าเท่ากับ 0.4010 โอห์ม

พบว่าการคำนวณหาค่าความต้านทานระบบต่อลงดินด้วยสมการของ Sverak มีค่าคลาดเคลื่อนเท่ากับ 26.09 % และการคำนวณหาค่าความต้านทานระบบต่อลงดินด้วยสมการของ Xiaobin มีค่าคลาดเคลื่อนเท่ากับ 11.26 % ดังนั้นการคำนวณหาค่าความต้านทานระบบต่อลงดินที่สถานีไฟฟ้าดอยสะเก็ดด้วยสมการของ Xiaobin จะมีค่าใกล้เคียงกับการคำนวณด้วยโปรแกรม CDEGS

### 3.4.2 สถานีไฟฟ้านางรอง (ชั่วคราว) จังหวัดบุรีรัมย์

ค่าความต้านทานดินที่สถานีไฟฟ้านางรอง(ชั่วคราว) แสดงได้ดังตารางที่ 3.2 [5] โดยการวัดหาค่าความต้านทานดินที่สถานีไฟฟ้านางรอง (ชั่วคราว) นั้น มีการเก็บข้อมูลแบบสุ่ม จำนวน 4 ตำแหน่ง โดยวัดทั้งแกน X และ Y ตามแนวเขตที่ดิน จากนั้นนำผลความต้านทานดินจากตารางที่ 3.2 มาคำนวณหาค่าความต้านทานเฉพาะของดิน โดยกำหนดแบบจำลอง โครงสร้างเป็นดินสองชั้น จากโปรแกรม CDEGS โมดูล RESAP

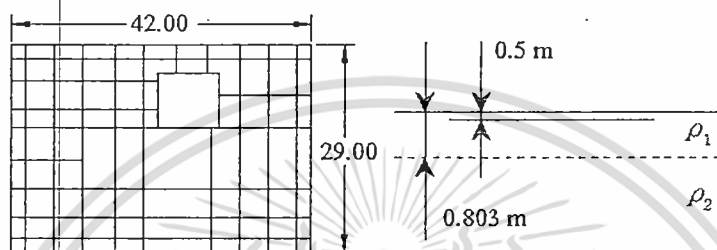
ตารางที่ 3.2 ค่าความต้านทานดินที่สถานีไฟฟ้านางรอง (ชั่วคราว) จังหวัดบุรีรัมย์

| ระยะห่างของโพรบ<br>(m) |    | ค่าความต้านทานที่วัดได้ ( $\Omega$ ) |        |        |        |       |       |       |       |       |
|------------------------|----|--------------------------------------|--------|--------|--------|-------|-------|-------|-------|-------|
|                        |    | 0.5                                  | 1      | 2      | 3      | 5     | 7     | 10    | 14    | 20    |
| POINT 1                | PX | 6.02                                 | 2.00   | 0.95   | 1.07   | 0.87  | 0.65  | 0.41  | 0.47  | 0.37  |
|                        | PY | 5.27                                 | 2.20   | 1.36   | 10.90  | 0.88  | 0.86  | 0.70  | 0.35  | 0.20  |
| POINT 2                | PX | 7.05                                 | 5.79   | 3.42   | 2.61   | 1.84  | 0.97  | 0.36  | 0.22  | 0.20  |
|                        | PY | 8.59                                 | 6.19   | 2.47   | 1.46   | 0.98  | 0.71  | 0.31  | 0.21  | 0.14  |
| POINT 3                | PX | 5.88                                 | 3.27   | 1.95   | 1.38   | 0.98  | 0.93  | 0.64  | 0.43  | 0.19  |
|                        | PY | 5.30                                 | 2.41   | 1.56   | 1.35   | 1.05  | 0.87  | 0.54  | 0.31  | 0.32  |
| POINT 4                | PX | 4.77                                 | 2.32   | 1.14   | 0.99   | 0.76  | 0.69  | 0.60  | 0.48  | 0.29  |
|                        | PY | 7.43                                 | 2.41   | 1.51   | 1.18   | 0.78  | 0.60  | 0.31  | 0.22  | 0.16  |
| ผลรวมค่าความต้านทาน    |    | 50.310                               | 26.590 | 14.360 | 20.940 | 8.140 | 6.280 | 3.870 | 2.690 | 1.870 |
| $\Sigma R/N$           |    | 6.289                                | 3.324  | 1.795  | 2.618  | 1.018 | 0.785 | 0.484 | 0.336 | 0.234 |

เอกสารนี้เป็นเอกสารที่สงวนไว้สำหรับการใช้งานเพื่อการศึกษาเท่านั้น ไม่อนุญาตให้นำไปใช้ประโยชน์ด้านการค้า ไม่ว่าจะกรณีใดๆ ทั้งสิ้น อีกทั้งห้ามมิให้ดัดแปลงเนื้อหา และต้องอ้างอิงถึงเจ้าของเอกสารทุกครั้งที่มีการนำไปใช้

จากการคำนวณด้วยโปรแกรม CDEGS พบว่าความต้านทานจำเพาะดินชั้นบน  $\rho_1$  มีค่าเท่ากับ 18.75 โอห์ม-เมตร และความต้านทานจำเพาะดินชั้นล่าง  $\rho_2$  มีค่าเท่ากับ 32.10 โอห์ม-เมตร โดยดินชั้นบนมีความลึกเท่ากับ 0.803 เมตร

รูปแบบกราวด์กริดสถานีไฟฟ้าแรงรอง(ชั่วคราว) มีการจัดวางรูปแบบดังรูปที่ 3.5 โดยเส้นประหมายถึงขอบเขตระหว่างดินชั้นบนและดินชั้นล่าง มีพื้นที่เท่ากับ 1,218 ตารางเมตรและมีความยาวตัวนำรวมทั้งหมด 697 เมตร



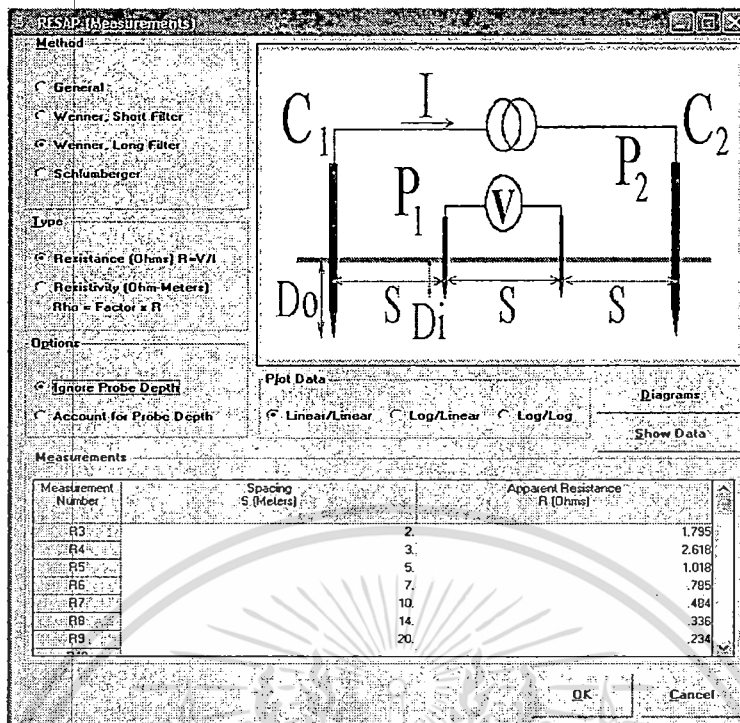
รูปที่ 3.5 กราวด์กริดสถานีไฟฟ้าแรงรอง (ชั่วคราว)

เมื่อกำหนดให้แท่งกราวด์ที่ใส่ในสถานีไฟฟ้าแรงรอง(ชั่วคราว) มีความยาวเท่ากับ 3 เมตร จำนวน 12 แท่ง แต่ละแท่งมีรัศมีเท่ากับ 0.00794 เมตร การจัดวางเป็นแนวตั้งและมีการตำแหน่งอยู่บริเวณส่วนของดินชั้นบนและชั้นล่าง เมื่อกำหนดค่าความต้านทานแท่งกราวด์จากสมการที่ (3.8) ได้เท่ากับ 1.112 โอห์ม

เนื่องจากค่า  $\rho_1 < \rho_2$  คำนวณหาความต้านทานจำเพาะปรากฏโดยใช้สมการที่ (3.3) ได้เท่ากับ 19.743 และคำนวณหาความต้านทานกราวด์กริดด้วยสมการของ Sverak มีค่าเท่ากับ 0.2737 โอห์ม ดังนั้นคำนวณหาความต้านทานรวมหรือความต้านทานระบบต่อลงดินได้โดยใช้สมการที่ (3.19) เท่ากับ 0.2724 โอห์ม

ผลการคำนวณหาความต้านทานกราวด์กริดด้วยสมการของ Xiaobin โดยใช้สมการที่ (3.7) มีค่าเท่ากับ 0.3716 โอห์ม ดังนั้นคำนวณหาความต้านทานรวมหรือความต้านทานระบบต่อลงดินได้โดยใช้สมการที่ (3.19) เท่ากับ 0.3671 โอห์ม

คำนวณหาความต้านทานระบบต่อลงดิน โดยการคำนวณหาความต้านทานระบบต่อลงดินด้วยโปรแกรม CDEGS โมดูล MALT มีค่าเท่ากับ 0.3631 โอห์ม



| Layer Number | <--- LAYER CHARACTERISTICS ---><br>Resistivity (ohm-m) | Thickness (Meters) | Reflection Coefficient (p. u.) | Resistivity Contrast Ratio |
|--------------|--|--------------------|--------------------------------|----------------------------|
| 1            | infinite   | infinite           | 0.0                            | 1.0                        |
| 2            | 18.75040   | 0.8034624          | -1.0000                        | 0.18750E-18                |
| 3            | 32.09683   | infinite           | 0.26248                        | 1.7118                     |

รูปที่ 3.6 ผลการคำนวณหาค่าความต้านทานจำเพาะของดินที่สถานีไฟฟ้านางรอง(ชั่วคราว) ด้วยโปรแกรม CDEGS โมดูล RESAP

CONFIGURATION OF MAIN ELECTRODE

Original Electrical Current Flowing In Electrode...: 31500. amperes  
 Current Scaling Factor (SPLITS/FCDIST/specified)...: 1.0000  
 Adjusted Electrical Current Flowing In Electrode...: 31500. amperes  
 Number of Conductors in Electrode.....: 39  
 Resistance of Electrode System.....: 0.36310 ohms

SUBDIVISION

Grand Total of Conductors After Subdivision.: 276  
 Total Current Flowing In Main Electrode.....: 31500. amperes  
 Average Current Density of Conductor Segments: 42.974 amperes /meter  
 Total Buried Length of Main Electrode.....: 733.00 meters

EARTH POTENTIAL COMPUTATIONS

Main Electrode Potential Rise (GPR).....: 11438. volts  
 (based on two representative points)

รูปที่ 3.7 การคำนวณหาค่าความต้านทานระบบต่อลงดินที่สถานีไฟฟ้านางรอง (ชั่วคราว) และผลการคำนวณด้วยโปรแกรม CDEGS โมดูล MALT

เอกสารนี้เป็นเอกสารที่สงวนลิขสิทธิ์ไว้เพื่อการศึกษาเท่านั้น เมื่ออนุญาตให้นำไปใช้ประโยชน์ด้านการค้า ไม่ว่าจะกรณีใดๆ ทั้งสิ้น อีกทั้งห้ามมิให้ดัดแปลงเนื้อหา และต้องอ้างอิงถึงเจ้าของเอกสารทุกครั้งที่มีการนำไปใช้

### 3.4.3 สถานีไฟฟ้าวัดโบสถ์ จังหวัดพิษณุโลก

ค่าความต้านทานดินที่สถานีไฟฟ้าวัดโบสถ์ แสดงได้ดังตารางที่ 3.3 ดังนี้ [6]

ตารางที่ 3.3 ค่าความต้านทานดินที่สถานีไฟฟ้าวัดโบสถ์ จังหวัดพิษณุโลก

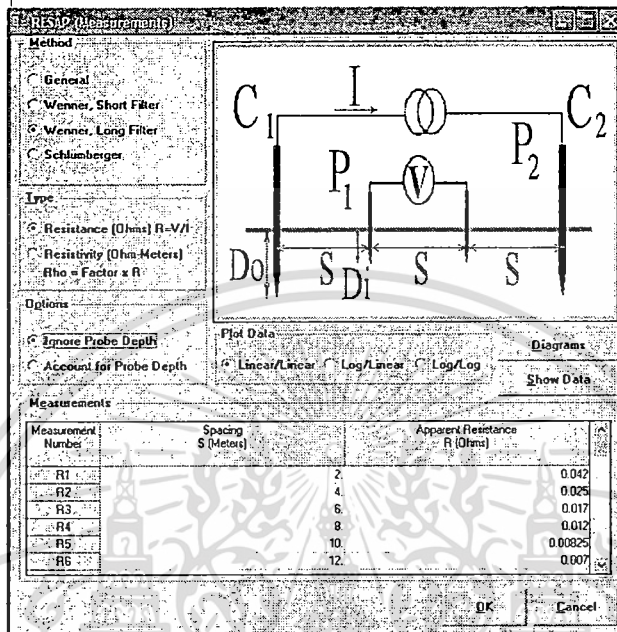
|                     |    | ค่าความต้านทานที่วัดได้ ( $\Omega$ ) |       |       |       |         |       |
|---------------------|----|--------------------------------------|-------|-------|-------|---------|-------|
| ระยะห่างของโพรบ (m) |    | 2                                    | 4     | 6     | 8     | 10      | 12    |
| POINT 1             | PX | 0.030                                | 0.023 | 0.013 | 0.018 | 0.007   | 0.007 |
|                     | PY | 0.046                                | 0.030 | 0.022 | 0.017 | 0.011   | 0.015 |
| POINT 2             | PX | 0.065                                | 0.021 | 0.020 | 0.010 | 0.007   | 0.005 |
|                     | PY | 0.057                                | 0.028 | 0.019 | 0.009 | 0.005   | 0.003 |
| POINT 3             | PX | 0.043                                | 0.025 | 0.012 | 0.011 | 0.006   | 0.004 |
|                     | PY | 0.061                                | 0.031 | 0.017 | 0.016 | 0.010   | 0.007 |
| POINT 4             | PX | 0.028                                | 0.019 | 0.015 | 0.011 | 0.009   | 0.004 |
|                     | PY | 0.035                                | 0.025 | 0.018 | 0.019 | 0.010   | 0.012 |
| POINT 5             | PX | 0.025                                | 0.018 | 0.014 | 0.008 | 0.010   | 0.011 |
|                     | PY | 0.043                                | 0.035 | 0.025 | 0.011 | 0.009   | 0.003 |
| POINT 6             | PX | 0.040                                | 0.028 | 0.017 | 0.008 | 0.008   | 0.006 |
|                     | PY | 0.035                                | 0.021 | 0.015 | 0.011 | 0.007   | 0.007 |
| ผลรวมค่าความต้านทาน |    | 0.508                                | 0.304 | 0.207 | 0.149 | 0.099   | 0.084 |
| $\Sigma R/N$        |    | 0.042                                | 0.025 | 0.017 | 0.012 | 0.00825 | 0.007 |

การวัดหาค่าความต้านทานดินที่สถานีไฟฟ้าวัดโบสถ์ มีการเก็บข้อมูลจำนวน 6 ตำแหน่งแบบสุ่ม โดยวัดทั้งแกน X และ Y ตามแนวเขตที่ดิน จากนั้นนำผลความต้านทานดินจากตารางที่ 3.3 มาคำนวณหาค่าความต้านทานจำเพาะของดิน โดยกำหนดแบบจำลองโครงสร้างเป็นดินสองชั้นจากโปรแกรม CDEGS โมดูล RESAP

จากคำนวณด้วยโปรแกรม CDEGS พบว่าความต้านทานจำเพาะดินชั้นบน  $\rho_1$  มีค่าเท่ากับ 0.509 โอห์ม-เมตร และความต้านทานจำเพาะดินชั้นล่าง  $\rho_2$  มีค่าเท่ากับ 0.595 โอห์ม-เมตร โดยดินชั้นบนมีความลึกเท่ากับ 0.202 เมตร

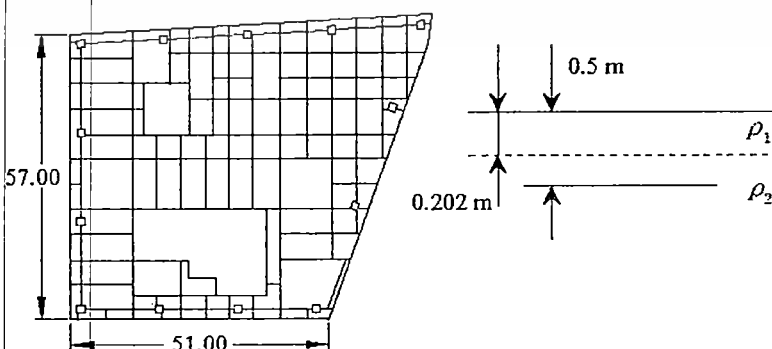
เอกสารนี้เป็นเอกสารที่สงวนไว้สำหรับการใช้งานเพื่อการศึกษาเท่านั้น ไม่อนุญาตให้นำไปใช้ประโยชน์ด้านการค้า ไม่ว่าจะกรณีใดๆ ทั้งสิ้น อีกทั้งห้ามมิให้ดัดแปลงเนื้อหา และต้องอ้างอิงถึงเจ้าของเอกสารทุกครั้งที่มีการนำไปใช้

รูปแบบการวัดกราดักริตสถานี่ไฟฟ้าวัดโบลต์ มีการจัดวางรูปแบบดังรูปที่ 3.9 โดยเส้นประหมายถึงขอบเขตระหว่างดินชั้นบนและดินชั้นล่าง มีพื้นที่เท่ากับ 3,632 ตารางเมตรและมีความยาวตัวนำรวมทั้งหมด 1,491.5 เมตร



| Layer Number | Resistivity (ohm-m) | Thickness (Meters) | Reflection Coefficient (p.u.) | Resistivity Contrast Ratio |
|--------------|---------------------|--------------------|-------------------------------|----------------------------|
| 1            | infinite            | infinite           | 0.0                           | 1.0                        |
| 2            | 0.5086559           | 0.2017310          | -1.0000                       | 0.50866E-20                |
| 3            | 0.5950858           | infinite           | 0.78306E-01                   | 1.1699                     |

รูปที่ 3.8 ผลการคำนวณหาค่าความต้านทานจำเพาะของดินที่สถานี่ไฟฟ้าวัดโบลต์ ด้วยโปรแกรม CDEGS โมดูล RESAP



เอกสารนี้เป็นเอกสารที่สงวนไว้สำหรับรูปที่ 3.9 ใกราวดักริตสถานี่ไฟฟ้าวัดโบลต์ ญาติให้นำไปใช้ประโยชน์ด้านการค้าไม่ว่ากรณีใดๆ ทั้งสิ้น อีกทั้งห้ามมิให้ดัดแปลงเนื้อหา และต้องอ้างอิงถึงเจ้าของเอกสารทุกครั้งที่มีการนำไปใช้

เมื่อกำหนดแท่งกรวดร็อคที่ใช้ในสถานีไฟฟ้าวัดโบสถ์ มีความยาวเท่ากับ 3 เมตร จำนวน 35 แท่ง แต่ละแท่งมีรัศมีเท่ากับ 0.00794 เมตร การจัดวางเป็นแนวตั้งและมีตำแหน่งอยู่บริเวณเนื้อดินชั้นล่าง ดังนั้นคำนวณหาค่าความต้านทานแท่งกรวดร็อคจากสมการที่ (3.8) ได้เท่ากับ 0.00575 โอห์ม

เนื่องจากค่า  $\rho_1 < \rho_2$  คำนวณค่าความต้านทานจำเพาะปรากฏโดยใช้สมการที่ (3.3) ได้เท่ากับ 0.509 และคำนวณหาความต้านทานกรวดร็อคด้วยสมการของ Sverak มีค่าเท่ากับ 0.00405 โอห์ม ดังนั้นคำนวณหาค่าความต้านทานรวมหรือความต้านทานระบบต่อลงดินได้โดยใช้สมการที่ (3.19) เท่ากับ 0.00366 โอห์ม

#### CONFIGURATION OF MAIN ELECTRODE

|   |             |         |
|---|-------------|---------|
| Original Electrical Current Flowing In Electrode... | 31500.      | amperes |
| Current Scaling Factor (SPLITS/FCDIST/specified)... | 1.0000      |         |
| Adjusted Electrical Current Flowing In Electrode... | 31500.      | amperes |
| Number of Conductors in Electrode.....              | 159         |         |
| Resistance of Electrode System.....                 | 0.41414E-00 | ohms    |

#### SUBDIVISION

|  |        |                |
|--|--------|----------------|
| Grand Total of Conductors After Subdivision..: | 681    |                |
| Total Current Flowing In Main Electrode.....:  | 31500. | amperes        |
| Average Current Density of Conductor Segments: | 18.513 | amperes /meter |
| Total Buried Length of Main Electrode.....:    | 1701.5 | meters         |

#### EARTH POTENTIAL COMPUTATIONS

|   |        |       |
|---|--------|-------|
| Main Electrode Potential Rise (GPR).....: | 130.45 | volts |
| (based on two representative points)      |        |       |

### รูปที่ 3.10 การคำนวณหาค่าความต้านทานระบบต่อลงดินที่สถานีไฟฟ้าวัดโบสถ์ และผลการคำนวณด้วยโปรแกรม CDEGS โมดูล MALT

ผลการคำนวณหาความต้านทานกรวดร็อคด้วยสมการของ Xiaobin โดยใช้สมการที่ (3.7) มีค่าเท่ากับ 0.00435 โอห์ม ดังนั้นหาสามารถหาค่าความต้านทานรวมหรือความต้านทานต่อลงดินได้โดยใช้สมการที่ (3.19) เท่ากับ 0.00386 โอห์ม เมื่อคำนวณหาค่าความต้านทานต่อลงดินจากการคำนวณหาความต้านทานการต่อลงดินด้วยโปรแกรม CDEGS โมดูล MALT มีค่าเท่ากับ 0.00414 โอห์ม

พบว่าผลการคำนวณหาค่าความต้านทานระบบต่อลงดินด้วยสมการของ Sverak มีค่าคลาดเคลื่อนเท่ากับ 11.53 % และการคำนวณหาค่าความต้านทานระบบต่อลงดินด้วยสมการของ Xiaobin มีค่าคลาดเคลื่อนเท่ากับ 6.85 % ดังนั้นการคำนวณหาค่าความต้านทานระบบต่อลงดินที่สถานีไฟฟ้าวัดโบสถ์ด้วยสมการของ Xiaobin จะมีค่าใกล้เคียงกับการคำนวณด้วยโปรแกรม

เอก CDEGS มากกว่าสี่สายนไว้สำหรับการใช้งานเพื่อการศึกษาเท่านั้น ไม่อนุญาตให้นำไปใช้ประโยชน์ด้านการค้า ไม่ว่าจะกรณีใดๆ ทั้งสิ้น อีกทั้งห้ามมิให้ดัดแปลงเนื้อหา และต้องอ้างอิงถึงเจ้าของเอกสารทุกครั้งที่มีการนำไปใช้

### 3.5 สรุปผลการทดลอง

ผลการทดลองสรุปได้คือ ค่าความคลาดเคลื่อนโดยการคำนวณด้วยสมการ Sverak ตามมาตรฐาน IEEE80-2000 มีค่ามากกว่าการคำนวณด้วยสมการของ Xiaobin ดังนั้นสมการวิธีใหม่นี้เหมาะที่จะนำไปประยุกต์ใช้คำนวณหาความต้านทานระบบต่อลงดินในสถานีไฟฟ้าระบบ 115/22 เควี ชนิดติดตั้งภายนอกได้

ตารางที่ 3.4 เปรียบเทียบค่าความต้านทานระบบต่อลงดิน

| กรณีที่ | สถานีไฟฟ้า           | ตัวแปร      | CDEGS<br>Two Layers | Two Layers            |         |
|---------|----------------------|-------------|---------------------|-----------------------|---------|
|         |                      |             |                     | Sverak<br>IEEE80-2000 | Xiaobin |
| 1       | คอยสะเก็ด            | $R_T$ (Ohm) | 0.4010              | 0.5056                | 0.4462  |
|         |                      | Error (%)   | -                   | 26.09                 | 11.26   |
| 2       | นางรอง<br>(ชั่วคราว) | $R_T$ (Ohm) | 0.3631              | 0.2724                | 0.3671  |
|         |                      | Error (%)   | -                   | 24.99                 | 1.11    |
| 3       | วัดโบสถ์             | $R_T$ (Ohm) | 0.00414             | 0.00366               | 0.00386 |
|         |                      | Error (%)   | -                   | 11.53                 | 6.85    |

## บทที่ 4

# การออกแบบระบบต่อลงดินในสถานีไฟฟ้าย่อย

### 4.1 วัตถุประสงค์การออกแบบระบบต่อลงดิน

การออกแบบระบบต่อลงดินสำหรับสถานีไฟฟ้าย่อย มีวัตถุประสงค์เพื่อช่วยป้องกันไม่ให้นมนุษย์ที่อยู่ภายในสถานีไฟฟ้าย่อยได้รับอันตรายเนื่องจากกระแสไฟฟ้าเมื่อมีกระแสปริมาณสูงไหลลงสู่ดินซึ่งทำให้เกิดเกรเดียนต์ของแรงดันไฟฟ้าที่สูง นอกจากนี้จะเป็นทางผ่านของกระแสไฟฟ้าให้สามารถไหลลงดินได้สะดวก ทั้งในภาวะที่เกิดกระแสผิดปกติปริมาณสูง หรือการลัดวงจรลงดินในระบบให้สามารถไหลลงดินได้โดยไม่สร้างผลกระทบต่อการทำงานของอุปกรณ์ไฟฟ้าที่ใช้งานอยู่ในสถานีไฟฟ้าย่อย โดยปกติกระแสผิดปกติลงดินจะมีค่าสูง ในการออกแบบระบบการต่อลงดินของสถานีไฟฟ้าย่อยจึงนิยมทำเป็นแบบตาข่าย เพื่อให้กระแสผิดปกติลงดินไหลผ่านได้อย่างรวดเร็วและมีค่าความต้านทานที่ต่ำ

### 4.2 ขั้นตอนการออกแบบระบบต่อลงดิน

การออกแบบระบบต่อลงดินสำหรับสถานีไฟฟ้าย่อย จะยึดตามมาตรฐาน IEEE Std. 80-2000 และมีหลักการออกแบบระบบต่อลงดินซึ่งแสดงได้ดังแผนภาพตามรูปที่ 4.1 ส่วนขั้นตอนรายละเอียดการออกแบบนั้นสามารถอธิบายได้ดังนี้

#### ขั้นตอนที่ 1 สํารวจข้อมูลพื้นที่ของสถานีไฟฟ้า

คือการหาข้อมูลเบื้องต้นที่เกี่ยวข้องกับการออกแบบระบบต่อลงดิน ซึ่งจะต้องถูกนำมาใช้เพื่อการคำนวณในขั้นตอนอื่นๆต่อไป เช่น ค่าความต้านทานจำเพาะของดินในบริเวณที่จะมีการก่อสร้างสถานีไฟฟ้า ขนาดพื้นที่ของสถานีไฟฟ้า ซึ่งโดยมากสามารถหาข้อมูลได้จากแบบก่อสร้างของสถานีไฟฟ้า

#### ขั้นตอนที่ 2 หาขนาดสายตัวนำ

การหาขนาดสายตัวนำจะใช้กระแสลัดวงจรลงดินสูงสุดที่คาดว่าจะเกิดขึ้นและใช้ช่วงเวลาการตัดกระแสที่เป็นช่วงเวลาสูงสุด การหาขนาดสายตัวนำได้แสดงไว้ในบทที่ 2

#### ขั้นตอนที่ 3 หาแรงดันไฟฟ้าที่มนุษย์ทนได้

เป็นขั้นตอนคำนวณเพื่อใช้เป็นเกณฑ์ของระบบต่อลงดินในการพิจารณาค่าความปลอดภัยของระบบต่อลงดินที่จะทำการออกแบบ

ขั้นตอนที่ 4 ออกแบบกราวด์กริดเบื้องต้น

โดยการกำหนดระยะห่างระหว่างตัวนำ รวมทั้งลักษณะรูปทรงของพื้นที่

ขั้นตอนที่ 5 คำนวณหาค่าความต้านทานระบบต่อลงดิน

เพื่อใช้ค่าความต้านทานระบบต่อลงดินที่คำนวณได้ไปคำนวณในขั้นตอนอื่นๆต่อไป

ขั้นตอนที่ 6 คำนวณหาค่ากระแสกริดสูงสุด

ในการออกแบบจะต้องพิจารณาถึงประเภทการลัดวงจรที่ทำให้กระแสลัดวงจรลงดินสูงสุด

ตำแหน่งการเกิดการลัดวงจร Decrement factor และการขยายระบบในอนาคต

ขั้นตอนที่ 7 ตรวจสอบค่า Ground Potential Rise (GPR)

ถ้า  $GPR < E_{touch}$  ไปยังขั้นตอนที่ 12

ถ้า  $GPR > E_{touch}$  ไปยังขั้นตอนที่ 8

ขั้นตอนที่ 8 คำนวณค่าแรงดันไฟฟ้าที่เกิดขึ้นในสถานีไฟฟ้า

คำนวณหาค่าแรงดันไฟฟ้าเมฆ ( $E_m$ ) และแรงดันไฟฟ้าช่วงก้าว ( $E_s$ ) ซึ่งในการทำขั้นตอนนี้จะต้องคำนึงถึงลักษณะรูปร่างของกราวด์กริด หรือของพื้นที่

ขั้นตอนที่ 9 ตรวจสอบค่าแรงดันไฟฟ้าสัมผัส

ถ้า  $E_m < E_{touch}$  ไปยังขั้นตอนที่ 10

ถ้า  $E_m > E_{touch}$  ไปยังขั้นตอนที่ 11

ขั้นตอนที่ 10 ตรวจสอบค่าแรงดันไฟฟ้าช่วงก้าว

ถ้า  $E_s < E_{step}$  ไปยังขั้นตอนที่ 12

ถ้า  $E_s > E_{step}$  ไปยังขั้นตอนที่ 11

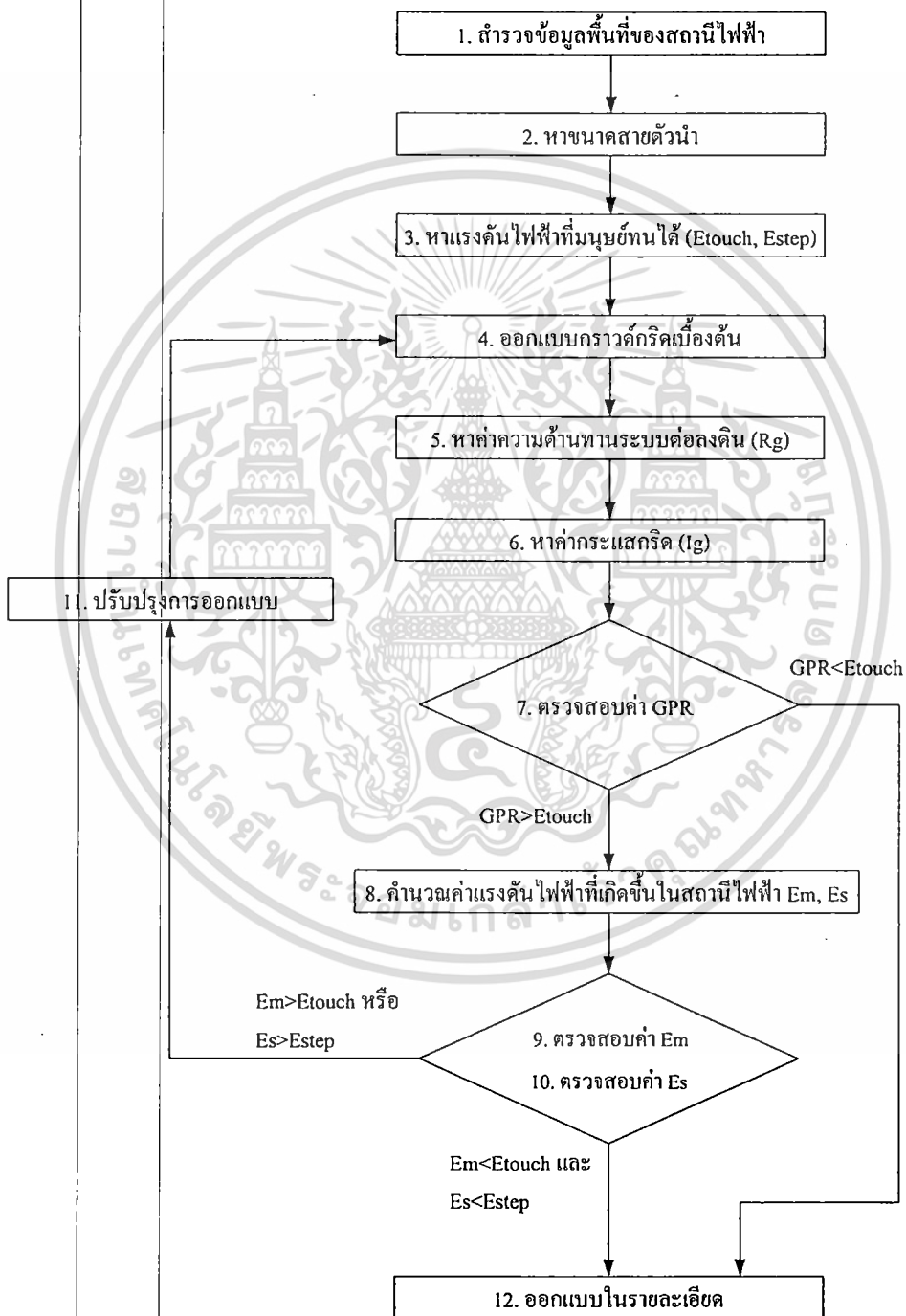
ขั้นตอนที่ 11 ปรับปรุงการออกแบบ

เมื่อมาถึงขั้นตอนที่ 11 ได้แสดงว่าผู้ออกแบบยังออกแบบระบบต่อลงดินที่ไม่ปลอดภัย ดังนั้นในขั้นตอนนี้ผู้ออกแบบจะต้องปรับเปลี่ยนปัจจัยที่เกี่ยวข้อง ดังนี้

1. ลดระยะห่างของกราวด์กริด ซึ่งจะเป็นการเพิ่มความยาวของตัวนำด้วย
2. เพิ่มกราวด์รูด เพื่อเป็นการเพิ่มความยาวของตัวนำ
3. ลดกระแสลัดวงจร เพื่อลดกระแสกริด
4. ลดช่วงเวลาการไหลของกระแสลัดวงจร เพื่อให้มนุษย์ทนต่อแรงดันไฟฟ้าได้มากขึ้น
5. ใช้วัสดุปูผิวดินที่มีค่าความต้านจำเพาะมากขึ้นกว่าเดิม

### ขั้นตอนที่ 12 ออกแบบในรายละเอียด

กล่าวคือการออกแบบทั้งหมดผ่านการตรวจสอบแล้วว่า การออกแบบระบบต่อลงดินที่ได้ดำเนินการมานั้นปลอดภัย จากนั้นจะเป็นการจัดวางตำแหน่งของอุปกรณ์ไฟฟ้าเหนือกราวด์กริด การเชื่อมต่อตัวนำเข้าไปยังตู้ควบคุมอุปกรณ์ไฟฟ้า หรือลานไคไฟฟ้า การทำบัสต่อลงดินซึ่งต้องควบคู่ไปกับการติดตั้งอุปกรณ์ไฟฟ้า



รูปที่ 4.1 แผนภูมิการออกแบบระบบต่อลงดิน

เอกสารนี้เป็นเอกสารที่สงวนไว้สำหรับการใช้งานเพื่อการศึกษาเท่านั้น ไม่อนุญาตให้นำไปใช้ประโยชน์ด้านการค้า ไม่ว่าจะกรณีใดๆ ทั้งสิ้น อีกทั้งห้ามมิให้ดัดแปลงเนื้อหา และต้องอ้างอิงถึงเจ้าของเอกสารทุกครั้งที่มีการนำไปใช้

### 4.3 ดัชนีตัวแปรสำหรับการออกแบบระบบต่อลงดิน

การออกแบบในด้านการคำนวณนั้นมีสัญลักษณ์ตัวแปรหลายตัวมากที่เกี่ยวกับการคำนวณที่ผู้ออกแบบจำเป็นต้องทราบและมีความเข้าใจ สามารถแยกแยะได้ว่าตัวแปรสัญลักษณ์ต่างๆ คืออะไร เพื่อถ่ายทอดความเข้าใจและคำนวณ ซึ่งตัวแปรต่างๆแสดงดังตารางที่ 4.1 [1, 16]

ตารางที่ 4.1 ดัชนีตัวแปรสำหรับการออกแบบระบบต่อลงดิน

| สัญลักษณ์        | ความหมายภาษาอังกฤษ  | คำอธิบายภาษาไทย  | หน่วย             |
|------------------|---|--|-------------------|
| $\rho$           | Soil resistivity  | ค่าความต้านทานจำเพาะของดิน   | $\Omega\text{-m}$ |
| $\rho_1, \rho_2$ | Soil resistivity  | ค่าความต้านทานจำเพาะของดินชั้นที่ 1 และ 2  | $\Omega\text{-m}$ |
| $\rho_s$         | Surface layer resistivity   | ค่าความต้านทานจำเพาะของวัสดุที่ใช้โรยผิวดินชั้นบน  | $\Omega\text{-m}$ |
| $3I_0$           | Symmetrical current in substation for conductor sizing  | กระแสไฟฟ้าผิดปกติที่ไหลในแท่งตัวนำไฟฟ้า  | A                 |
| A                | Total area enclosed by ground grid  | พื้นที่ของระบบต่อลงดิน   | $\text{m}^2$      |
| $C_s$            | Surface layer derating factor   | แฟกเตอร์ปรับลดลงของวัสดุที่ใช้โรยผิวดินชั้นบนสุด   | -                 |
| d                | Diameter of grid conductor  | เส้นผ่านศูนย์กลางของตัวนำไฟฟ้าที่นำมาใช้ระบบต่อลงดิน   | m                 |
| D                | Spacing between parallel conductors   | ระยะห่างระหว่างตัวนำไฟฟ้าที่นำมาวางขนานกัน   | m                 |
| $D_f$            | Decrement factor for determining $I_G$  | แฟกเตอร์ปรับเพิ่มสำหรับกระแสไฟฟ้ากริดสูงสุด $I_G$  | -                 |
| $D_m$            | Maximum distance between any two points on the grid   | ระยะห่างระหว่างจุดสองจุดภายในกริดที่มีค่ามากที่สุด   | m                 |
| $E_m$            | Mesh voltage at the center of the corner mesh for this simplified method  | แรงดันไฟฟ้าตกคร่อมระหว่างตะแกรงของเมชกริด 1 ช่องตะแกรง พิจารณาที่จุดศูนย์กลางของตะแกรง       | V                 |
| $E_s$            | Step voltage between a point above the out corner of the grid and a point m diagonally outside the grid for the simplified method | แรงดันไฟฟ้าช่วงก้าวที่ตกคร่อมระหว่างเท้าทั้งสองข้าง เมื่อเท้าแยกออกจากกันเป็นระยะห่าง 1 เมตร | V                 |

เอกสารนี้เป็นเอกสารที่สงวนไว้สำหรับการใช้งานเพื่อการศึกษาเท่านั้น ไม่อนุญาตให้นำไปใช้ประโยชน์ด้านการค้าไม่ว่ากรณีใดๆ ทั้งสิ้น อีกทั้งห้ามมิให้ดัดแปลงเนื้อหา และต้องอ้างอิงถึงเจ้าของเอกสารทุกครั้งที่มีการนำไปใช้

ตารางที่ 4.1 (ต่อ)

| สัญลักษณ์                | ความหมายภาษาอังกฤษ  | คำอธิบายภาษาไทย   | หน่วย |
|--------------------------|---|---|-------|
| $E_{\text{step}50, 70}$  | Tolerable step voltage for human with 50 , 70 kg body weight                                  | แรงดันไฟฟ้าช่วงก้าวสูงสุดที่มนุษย์พอนทนได้ โดยพิจารณาน้ำหนักร่างกายที่ 50,70 กิโลกรัม                               | V     |
| $E_{\text{touch}50, 70}$ | Tolerable touch voltage for human with 50 , 70 kg body weight                                 | แรงดันไฟฟ้าสัมผัสสูงสุดที่มนุษย์พอนทนได้ โดยพิจารณาน้ำหนักร่างกายที่ 50,70 กิโลกรัม                                 | V     |
| h                        | Depth of ground grid conductors   | ความลึกของกริดที่ฝังลงดิน เริ่มวัดจากรอยต่อของดินชั้นที่ $\rho_s$ ลงสู่ดินชั้นล่าง                                  | m     |
| $h_s$                    | Surface layer thickness   | ความหนาของวัสดุที่นำมาโรยผิวดินชั้นบน   | m     |
| $I_G$                    | Maximum grid current that flows between ground grid and surrounding earth (include dc offset) | กระแสที่ไหลผ่านกรวดกริดในสถานีไฟฟ้า ซึ่งอาจเป็นส่วนหนึ่งของกระแสลัดวงจรลงดินหรืออาจจะมีขนาดเท่ากับกระแสลัดวงจรลงดิน | A     |
| $I_g$                    | Symmetrical grid current  | กระแสที่ไหลเข้าหรือไหลออกในดิน  | A     |
| K                        | Reflection factor between different resistivities   | แฟกเตอร์การสะท้อน เนื่องจากค่าความต้านทานของดิน 2 ชั้นที่มีค่าต่างกัน   | -     |
| $K_h$                    | Corrective weighting factor that emphasizes the effect of grid depth simplified method        | แฟกเตอร์น้ำหนักที่ถูกต้อง เป็นผลกระทบความลึกของตะแกรงต่อลงดิน   | -     |
| $L_c$                    | Total length of grid conductor, m   | ความยาวทั้งหมดของตัวนำกริด  | m     |
| $L_M$                    | Effective length of $L_c + L_R$ for mesh voltage, m   | ผลกระทบของความยาวกริดกับความยาวของแท่งรอด สำหรับแรงดันไฟฟ้าเมช โวลต์เตจ   | m     |
| $L_R$                    | Total length of ground rods   | ความยาวทั้งหมดของกรวดรอด  | m     |
| $L_r$                    | Length of ground rod at each location   | ความยาวของกรวดรอดแต่ละแท่ง  | m     |
| $L_S$                    | Effective length of $L_c + L_R$ for step voltage  | ผลกระทบของความยาวกริดกับความยาวของแท่งรอด สำหรับแรงดันไฟฟ้าช่วงก้าว โวลต์เตจ  | m     |
| $L_T$                    | Total effective length of grounding system conductor, including grid and ground rods, m       | ค่าความยาวของตัวทั้งหมดที่ใช้ในระบบต่อลงดิน   | m     |
| $L_x$                    | Maximum length of grid conductor in x direction   | ตัวนำในแกน x ที่มีความยาวมากที่สุด  | m     |
| $L_y$                    | Maximum length of grid conductors in y direction  | ตัวนำในแกน y ที่มีความยาวมากที่สุด  | m     |

เอกสารนี้เป็นเอกสารลิขสิทธิ์ของกรมการไฟฟ้าฝ่ายผลิตแห่งประเทศไทย ไม่อนุญาตให้เผยแพร่โดยไม่ได้รับอนุญาต

ไม่ว่ากรณีใดๆ ทั้งสิ้น อีกทั้งห้ามมิให้ดัดแปลงเนื้อหา และต้องอ้างอิงถึงเจ้าของเอกสารทุกครั้งที่มีการนำไปใช้

ตารางที่ 4.1 (ต่อ)

| สัญลักษณ์ | ความหมายภาษาอังกฤษ   | คำอธิบายภาษาไทย   | หน่วย    |
|-----------|--|---|----------|
| $n$       | Geometric factor composed of factors $n_a$ , $n_b$ , $n_c$ , and $n_d$ | จำนวนของตัวนำที่วางขนานกันอยู่ภายในดิน จะขึ้นอยู่กับรูปแบบของตะแกรงต่อลงดิน | -        |
| $n_R$     | Number of rods placed in area A  | จำนวนแท่งกราวด์รูดทั้งหมดที่อยู่ในพื้นที่                                   | -        |
| $R_g$     | Resistance of grounding system   | ความต้านทานของระบบต่อลงดิน  | $\Omega$ |
| $S_f$     | Fault current division factor (split factor)                           | แฟคเตอร์การแบ่งกระแสไฟฟ้าที่ผิดปกติ   | -        |
| $t_c$     | Duration of fault current for sizing ground conductor                  | ระยะเวลาของกระแสไฟฟ้าผิดปกติที่ไหลผ่านแท่งตัวนำไฟฟ้า                        | s        |
| $t_f$     | Duration of fault current for determining decrement factor             | ระยะเวลากระแสไฟฟ้าผิดปกติสำหรับการหาแฟคเตอร์การลดลง                         | s        |
| $t_s$     | Duration of shock for determining allowable body current               | ระยะเวลาที่กระแสไฟฟ้าผิดปกติไหลผ่านร่างกายที่ยอมให้มิได้                    | s        |

#### 4.4 ตัวอย่างการคำนวณออกแบบระบบต่อลงดิน

ตัวอย่างการคำนวณจะแสดงการคำนวณ ประยุกต์ใช้สมการ ตารางและกราฟ สำหรับ ตัวอย่างการคำนวณการออกแบบระบบต่อลงดินมีวัตถุประสงค์คือ

1. เพื่อแสดงการประยุกต์ใช้สมการ เพื่อให้ได้ผลลัพธ์การออกแบบที่ปลอดภัย
2. เพื่อแสดงให้เห็นสิ่งที่แตกต่างระหว่างผลลัพธ์ซึ่งนำมาใช้แก้ปัญหาการออกแบบ
3. เพื่อแสดงให้เห็นเงื่อนไขของการออกแบบ

สำหรับตัวอย่างการคำนวณ จะใช้ข้อมูลเบื้องต้นเพื่อนำไปใช้ออกแบบ ดังต่อไปนี้

ตารางที่ 4.2 ข้อมูลเบื้องต้นสำหรับตัวอย่างการคำนวณ

|   | ปัจจัย | ค่าคงที่และประเภท | หน่วย    |
|---|--------|-------------------|----------|
| Fault duration, $t_f$   |        | = 0.5             | s        |
| Positive sequence equivalent system impedance, $Z_1$<br>(115 kV side) |        | = 4.0 + j10.0     | $\Omega$ |
| Zero sequence equivalent system impedance, $Z_0$<br>(115 kV side)     |        | = 10.0 + j40.0    | $\Omega$ |

เอกสารนี้เป็นเอกสารที่สงวนไว้สำหรับการใช้งานเพื่อการศึกษาเท่านั้น ไม่อนุญาตให้นำไปใช้ประโยชน์ด้านการค้า ไม่ว่าจะกรณีใดๆ ทั้งสิ้น อีกทั้งห้ามมิให้ดัดแปลงเนื้อหา และต้องอ้างอิงถึงเจ้าของเอกสารทุกครั้งที่มีการนำไปใช้

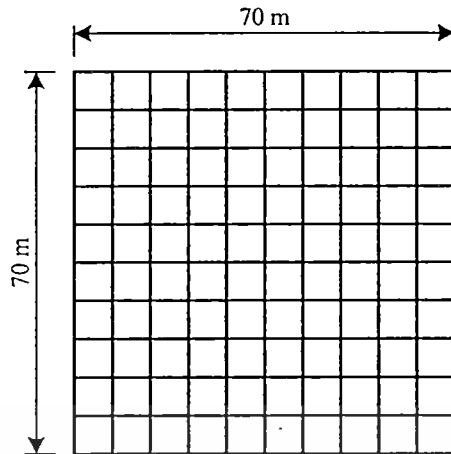
ตารางที่ 4.2 (ต่อ)

|  | ปัจจัย  | ค่าคงที่และประเภท          | หน่วย       |
|--|---|----------------------------|-------------|
|  | Current division factor, $S_f$  | = 0.6                      | s           |
|  | Line-to-line Voltage at worst-fault location  | = 115,000                  | V           |
|  | Soil resistivity, $\rho$ (Uniform Soil)   | = 400                      | $\Omega$ -m |
|  | Soil resistivity, $\rho_1, \rho_2$ (Two-layers Soil)                                | = 300, 100                 | $\Omega$ -m |
|  | Crushed rock resistivity(wet), $\rho_s$   | = 2,500                    | $\Omega$ -m |
|  | Thickness of crushed rock surfacing, $h_s$  | = 0.102                    | m           |
|  | Thickness of top layer, $h$   | = 2                        | m           |
|  | Depth of grid burial, $h_b$   | = 0.5                      | m           |
|  | Transformer impedance, ( $Z_1$ and $Z_0$ );(13kV)<br>( $Z=9\%$ at 15 MVA, 115/13kV) | = 0.0034+j1.014            | $\Omega$    |
|  | Grid conductor  | Copper-clad steel wire 30% | -           |
|  | Grid shape  | Square grid                | -           |

ตัวอย่างที่จะยกต่อไปนี้มีข้อตกลงในเบื้องต้นซึ่งจะต้องทำความเข้าใจต่อผู้อ่าน กล่าวคือ ค่าความต้านทานจำเพาะของหินกรวด (Crushed Rock Resistivity) จะสมมติให้มีค่าความต้านทานบนพื้นฐานของการวัดตัวอย่างของหินกรวดจริง ค่าอิมพีแดนซ์ผิดปกติพร้อมสมมูล และแฟลคเตอร์การแบ่งกระแส  $S_f$  ถูกกำหนดให้เป็นกรณีที่รุนแรงที่สุด ทั้งด้านของประเภทความผิดปกติและตำแหน่งการเกิดภาวะผิดปกติ โดยที่ตัวอย่างของระบบสถานีไฟฟ้าย่อยที่นำมาใช้เป็นตัวอย่างการคำนวณสมมติให้เป็นสถานีไฟฟ้าแบบล้าสมัยที่มีมากกว่า 25 ปี ดังนั้นจะไม่มีปัจจัยใดๆที่จะช่วยความปลอดภัยเข้าไปในระบบของสถานีไฟฟ้าย่อย เช่น ไม่มีเซอร์กิตเบรกเกอร์ เพื่อใช้ในการขจัดความผิดปกติและไม่มีการปิดซ้ำอัตโนมัติ (Automatic Reclosing Scheme) ใดๆทั้งสิ้น ดังนั้นระยะเวลาที่เกิดความผิดปกติ  $t_f$  (Fault duration) และระยะเวลาของบุคคลที่ถูกไฟดูด  $t_s$  (Shock duration) จะกำหนดให้มีค่าเท่ากัน

#### 4.4.1 กราวด์กริดรูปทรงสี่เหลี่ยมจัตุรัสและไม่มีแท่งกราวด์รอด

ตัวอย่างการคำนวณการออกแบบนี้จะกล่าวที่ละขั้นตอนตามแผนภูมิการออกแบบระบบต่อลงดิน ดังรูปที่ 4.2



รูปที่ 4.2 กราวด์กริดรูปทรงสี่เหลี่ยมจัตุรัสและไม่มีแท่งกราวด์รูด

ขั้นตอนที่ 1 ตำรวจข้อมูลพื้นที่ของสถานีไฟฟ้า

แม้ว่ากราวด์กริดของสถานีไฟฟ้าย่อยจะถูกสร้างในพื้นที่สี่เหลี่ยมผืนผ้าขนาดกว้าง 63 เมตร และยาว 84 เมตร (5,292 ตารางเมตร) แต่สำหรับการเริ่มการออกแบบ จะสมมติให้พื้นที่เป็นรูปสี่เหลี่ยมจัตุรัสขนาด 70 เมตร  $\times$  70 เมตร และไม่มีแท่งกราวด์รูดเชื่อมกับกราวด์กริด ซึ่งพื้นที่จะมีขนาด 4,900 ตารางเมตร และสมมติให้ดินมีค่าความต้านทานจำเพาะดินชั้นบนและดินชั้นล่างเท่ากับ 400 โอห์ม-เมตร และ 200 โอห์ม-เมตร ตามลำดับ โดยดินชั้นบนมีความลึกเท่ากับ 2 เมตร

ขั้นตอนที่ 2 หาขนาดสายตัวนำ

ในกรณีนี้จะไม่คิดค่าความต้านทานของสถานีไฟฟ้า และ Symmetrical ground fault current,  $I_f = 3I_0$  จากสมการที่ (4.1) ดังนี้

$$I_0 = \frac{E}{3 \cdot R_f + (R_1 + R_2 + R_0) + j(X_1 + X_2 + X_0)} \quad (4.1)$$

สำหรับบัสแรงดันไฟฟ้า 115 กิโลโวลต์ แทนสมการจะได้

$$3I_0 = \frac{3(115,000/\sqrt{3})}{3 \cdot 0 + (4.0 + 4.0 + 10.0) + j(10.0 + 10.0 + 4.0)}$$

ดังนั้นขนาดของ  $3I_0$

เอกสารนี้เป็นเอกสารที่สงวนลิขสิทธิ์ของสถาบันเทคโนโลยีพระจอมเกล้าเจ้าคุณทหารลาดกระบัง ไม่อนุญาตให้นำไปใช้ประโยชน์ด้านการค้า ไม่ว่าจะกรณีใดๆ ทั้งสิ้น อีกทั้งห้ามมิให้ดัดแปลงเนื้อหา และต้องอ้างอิงถึงเจ้าของเอกสารทุกครั้งที่มีการนำไปใช้

สำหรับบัสแรงดันไฟฟ้า 13 กิโลโวลต์ ค่าอิมพีแดนซ์ที่ผิดปกติของบัส 115 กิโลโวลต์ จะถูกนำมาถ่ายโอนมายังคานบัสแรงดัน 13 กิโลโวลต์ เนื่องจากหม้อแปลงไฟฟ้าต่อแบบ Delta-Wye ค่าอิมพีแดนซ์ลำดับบวกเท่านั้นที่ถูกถ่ายโอน

$$Z_1 = \left(\frac{13}{115}\right)^2 (4.0 + j10.0) + 0.034 + j1.014 = 0.085 + j1.142$$

$$Z_0 = 0.034 + j1.014$$

$$3I_0 = \frac{3(13,000/\sqrt{3})}{3 \cdot 0 + (0.085 + 0.085 + 0.034) + j(1.142 + 1.142 + 1.014)}$$

ดังนั้นขนาดของ  $3I_0$

$$|3I_0| = 6,814 \text{ A และ X/R Ratio} = 16.2$$

ค่า 6,814 แอมแปร์ ของบัสแรงดันไฟฟ้า 13 กิโลโวลต์ จะถูกนำมาใช้สำหรับหาขนาดของสายตัวนำจากสูตรหาขนาดสายตัวนำ

$$A_{mm} = I \times \frac{1}{\sqrt{\left(\frac{TCAP \times 10^{-4}}{T_c \alpha_r \rho_r}\right) \ln\left(\frac{K_0 + T_m}{K_0 + T_a}\right)}} \quad (4.2)$$

$$A_{mm} = 6.814 \times \frac{1}{\sqrt{\left(\frac{3.85 \times 10^{-4}}{0.05 \times 0.00378 \times 5.862}\right) \ln\left(\frac{245 + 700}{245 + 40}\right)}} = 33.4 \text{ mm}^2$$

ขั้นตอนที่ 3 หาแรงดันไฟฟ้าที่มนุษย์ทนได้

ความหนาของหินกรวดโรยผิวดิน  $h_s = 0.102 \text{ m (1 in)}$

ความต้านทานจำเพาะของหินกรวดโรยผิวดิน  $\rho_r = 3,000 \Omega\text{-m}$

ความต้านทานจำเพาะของดิน  $\rho = 400 \Omega\text{-m}$

แฟกเตอร์การสะท้อนเนื่องจากค่าความต้านทานจำเพาะแตกต่างระหว่างชั้นหินกรวดกับ

ชั้นดินที่มีค่าความต้านทานจำเพาะกระจายสม่ำเสมอ ค่า K คำนวณจากสมการที่ (4.3) ดังนี้

เอกสารนี้เป็นเอกสารที่สงวนลิขสิทธิ์ไว้เพื่อการศึกษาเท่านั้น เมื่อผู้ผู้ใดเห็นไปใช้ประโยชน์ด้านการค้า

ไม่ว่ากรณีใดๆ ที่ละเมิด อีกทั้งห้ามมิให้ดัดแปลงเนื้อหา และต้องอ้างอิงถึงเจ้าของเอกสารทุกครั้งที่มีการนำไปใช้

$$K = \frac{\rho - \rho_s}{\rho + \rho_s} \quad (4.3)$$

$$K = \frac{400 - 2,500}{400 + 2,500} = -0.72$$

ค่า  $C_s$  สามารถหาได้จากการคำนวณ โดยใช้สมการที่ (4.4) ดังนี้

$$C_s = 1 - \frac{0.09 \left(1 - \frac{\rho}{\rho_s}\right)}{2h_s + 0.09} \quad (4.4)$$

$$C_s = 1 - \frac{0.09 \times \left(1 - \frac{400}{2,500}\right)}{(2 \times 0.102) + 0.09} = 0.74$$

สมมติให้บุคคลที่อยู่ภายในพื้นที่สถานีไฟฟ้าช้อยมีน้ำหนักอย่างน้อยประมาณ 70 กิโลกรัม ดังนั้นจะใช้สมการ (2.22) และ (2.24) เพื่อหาเกณฑ์แรงดันไฟฟ้าสัมผัส และเกณฑ์แรงดันไฟฟ้าช่วงก้าว

$$E_{\text{touch70}} = (1,000 + 1.5\rho_s C_s) \frac{0.157}{\sqrt{t_s}} \quad (4.5)$$

$$E_{\text{touch70}} = (1,000 + (1.5 \times 2,500 \times 0.74)) \frac{0.157}{\sqrt{0.5}} = 832.2 \text{ V}$$

$$E_{\text{step70}} = (1,000 + 6\rho_s C_s) \frac{0.157}{\sqrt{t_s}} \quad (4.6)$$

$$E_{\text{step70}} = (1,000 + 6 \times 2,500 \times 0.74) \frac{0.157}{\sqrt{0.5}} = 2,686 \text{ V}$$

ขั้นตอนที่ 4 ออกแบบกราวด์กริดเบื้องต้น

สมมติให้พื้นที่เป็นกราวด์กริดที่มีระยะห่างของสายตัวนำไฟฟ้าที่วางขนานกันมีค่าเท่ากัน และมีขนาดพื้นที่เท่ากับ 70 เมตร × 70 เมตร ดังรูปที่ 4.2 โดยที่สายตัวนำไฟฟ้ามีระยะห่างเอกสารนี้เป็นเอกสารที่สงวนไว้สำหรับการใช้งานเพื่อการศึกษาเท่านั้น ไม่อนุญาตให้นำไปใช้ประโยชน์ด้านการค้า ไม่ว่าจะกรณีใดๆ ทั้งสิ้น อีกทั้งห้ามมิให้ดัดแปลงเนื้อหา และต้องอ้างอิงถึงเจ้าของเอกสารทุกครั้งที่มีการนำไปใช้

$D = 7$  เมตร ความลึกที่ใช้ฝังกราวด์จากระดับผิวดิน  $h = 0.5$  เมตร และไม่มีแท่งกราวด์รอดต่อเชื่อมกราวด์กริดแต่อย่างใด และมีความยาวรวมของสายตัวนำไฟฟ้าที่ใช้ทำกราวด์กริดรวม  $L_T = 2 \times 11 \times 70 = 1,540$  เมตร

ขั้นตอนที่ 5 คำนวณหาค่าความต้านทานระบบต่อลงดิน

เนื่องจากกรณีนี้ไม่มีแท่งกราวด์รอดเชื่อมต่อกับกราวด์กริด ดังนั้นการคำนวณหาค่าความต้านทานระบบต่อลงดินจะเท่ากับค่าความต้านทานกราวด์กริด

$$\text{พื้นที่กราวด์กริด} \quad A = 4,900 \text{ m}^2$$

$$\text{ความต้านทานจำเพาะของดินชั้นบน} \quad \rho_1 = 400 \text{ } \Omega\text{-m}$$

$$\text{ความต้านทานจำเพาะของดินชั้นล่าง} \quad \rho_2 = 200 \text{ } \Omega\text{-m}$$

$$\text{ความลึกของดินชั้นบน} \quad h = 2 \text{ m}$$

$$\text{ความลึกของกราวด์กริด} \quad h_b = 0.5 \text{ m}$$

ในกรณีนี้ ค่า  $\rho_2 < \rho_1$  ( $200 < 400$ ) และ  $h > h_b$  ( $2 > 0.5$ ) จึงใช้สมการที่ (3.6) ในการคำนวณหาค่าความต้านทานระบบต่อลงดิน

$$R_g = \frac{\rho_2 \sqrt{\pi A} + h \rho_1 \pi \left( 23.16 \ln \left( \frac{\rho_2}{\rho_1} + 31.9 \right) - 78 \right) \times \left( 1 + 1.95 e^{-\frac{20 \frac{h \sqrt{\pi}}{\sqrt{A}}}} - 0.3 e^{-\frac{0.5 \frac{h \sqrt{\pi}}{\sqrt{A}}}} \right)}{4A + 4h \sqrt{\pi A} \left( 23.16 \ln \left( \frac{\rho_2}{\rho_1} + 31.9 \right) - 78 \right) \times \left( 1 + 1.95 e^{-\frac{20 \frac{h \sqrt{\pi}}{\sqrt{A}}}} - 0.3 e^{-\frac{0.5 \frac{h \sqrt{\pi}}{\sqrt{A}}}} \right)} \quad (4.7)$$

$$R_g = 1.462 \text{ } \Omega$$

ดังนั้นค่าความต้านทานระบบต่อลงดิน  $R_T = 1.462 \text{ } \Omega$

ขั้นตอนที่ 6 คำนวณหาค่ากระแสกริดสูงสุด

สมการหาค่า  $I_G$  จะใช้สมการ (4.9) ในการหาค่าและกำหนดให้  $D_f = 1$  และให้แฟคเตอร์การแบ่งกระแสไฟฟ้าคิพพร้อม  $S_f = 0.6$

$$S_f = \frac{I_g}{3I_0} \quad (4.8)$$

$$\text{และ} \quad I_G = D_f \times I_g \quad (4.9)$$

เอกสารนี้เป็นเอกสารที่สงวนไว้สำหรับการใช้งานเพื่อการศึกษาเท่านั้น ไม่อนุญาตให้นำไปใช้ประโยชน์ด้านการค้าไม่ว่ากรณีใดๆ ทั้งสิ้น อีกทั้งห้ามมิให้ดัดแปลงเนื้อหา และต้องอ้างอิงถึงเจ้าของเอกสารทุกครั้งที่มีการนำไปใช้

ตามที่มีัส 13 กิโลโวลต์ มีค่ากระแสไฟฟ้าผิดพลาดเท่ากับ 6,814 แอมแปร์ ซึ่งมีค่ามากกว่า บัส 115 กิโลโวลต์ ซึ่งมีค่าเท่ากับ 3,180 แอมแปร์ เนื่องจากขดลวดหม้อแปลงด้านบัส 13 กิโลโวลต์ เป็นแบบ Wye-grounded คือแหล่งจ่าย Local ของกระแสผิดพลาด และมันจะไม่ทำให้เกิด GPR ดังนั้น กระแสกริดสูงสุดคือ

$$I_G = D_f \times S_f \times 3 \times I_0 \quad (4.10)$$

$$I_G = 1 \times 0.6 \times 3 \times 3,180 = 1,908 \text{ A}$$

ขั้นตอนที่ 7 ตรวจสอบค่า Ground Potential Rise (GPR)

ตอนนี้ไม่จำเป็นต้องเปรียบเทียบผลลัพธ์ของ  $I_G$  และ  $R_G$  ต่อแรงดันไฟฟ้าสัมผัสที่มนุษย์ทนได้

$$GPR = I_G \times R_G \quad (4.11)$$

$$GPR = 1,908 \times 1.462 = 2,790 \text{ V,}$$

ทำการเปรียบเทียบค่าเกณฑ์แรงดันไฟฟ้าสัมผัสที่มนุษย์ทนได้ ที่คำนวณได้จากขั้นตอนที่ 3 พบว่าค่า  $GPR = 2,790$  โวลต์ มีค่ามากกว่า  $E_{touch} = 838.2$  โวลต์ มากกว่า ดังนั้นการออกแบบจะยังไม่สิ้นสุดเพียงเท่านี้ จะต้องทำการคำนวณในขั้นตอนที่ 8 ต่อไป การสิ้นสุดการออกแบบหมายถึงค่า  $GPR$  ที่คำนวณได้ในขั้นตอนนี้จะต้องมีค่าน้อยกว่า  $E_{touch}$  จึงจะกระโดดไปสู่ขั้นตอนที่ 12 ได้

ขั้นตอนที่ 8 คำนวณค่าแรงดันไฟฟ้าที่เกิดขึ้นในสถานีไฟฟ้า

โดยทำการคำนวณดังนี้

$$K_m = \frac{1}{2\pi} \left[ \ln \frac{D^2}{16 \cdot h \cdot d} + \frac{(D+2 \cdot h)^2}{8 \cdot D \cdot d} - \frac{h}{4 \cdot d} \right] + \frac{K_{ii}}{K_h} \cdot \ln \left[ \frac{8}{\pi(2 \cdot n - 1)} \right] \quad (4.12)$$

โดยที่

$$K_{ii} = \frac{1}{(2n)^{2/n}} \quad (4.13)$$

$$K_{ii} = \frac{1}{(2 \times 11)^{2/11}} = 0.57$$

เอกสารนี้เป็นเอกสารที่จัดทำขึ้นเพื่อการใช้งานเพื่อการศึกษาเท่านั้น ไม่อนุญาตให้นำไปใช้ประโยชน์ด้านการค้า ไม่ว่าจะกรณีใดๆ ทั้งสิ้น อีกทั้งห้ามมิให้ดัดแปลงเนื้อหา และต้องอ้างอิงถึงเจ้าของเอกสารทุกครั้งที่มีการนำไปใช้

และ

$$K_h = \sqrt{1 + \frac{h}{h_0}} \quad (4.14)$$

$$K_h = \sqrt{1 + \frac{0.5}{1.0}} = 1.225$$

แทนค่า  $K_m$ 

$$K_m = \frac{1}{2\pi} \left[ \ln \left[ \frac{7^2}{16 \times 0.5 \times 0.01} + \frac{(7 + (2 \times 0.5))^2}{8 \times 7 \times 0.01} - \frac{0.5}{4 \times 0.01} \right] + \frac{0.57}{1.225} \cdot \ln \left[ \frac{8}{\pi((2 \times 11) - 1)} \right] \right]$$

$$K_m = 0.89$$

แฟกเตอร์  $K_i$  จะใช้สมการที่ (4.15) มาคำนวณ ดังนี้

$$K_i = 0.644 + 0.148 \cdot n \quad (4.15)$$

เมื่อ

$$n = n_a \cdot n_b \cdot n_c \cdot n_d \quad (4.16)$$

$$n_a = \frac{2 \cdot L_c}{L_p} \quad (4.17)$$

$$n_a = \frac{2 \times 1,540}{280} = 11$$

$$n_b = 1 \quad \text{สำหรับกรวดกริดเป็นรูปสี่เหลี่ยมจัตุรัส}$$

$$n_c = 1 \quad \text{สำหรับกรวดกริดเป็นรูปสี่เหลี่ยมจัตุรัส}$$

$$n_d = 1 \quad \text{สำหรับกรวดกริดเป็นรูปสี่เหลี่ยมจัตุรัส}$$

ดังนั้น

$$n = 11 \times 1 \times 1 \times 1 = 11$$

เอกสารนี้เป็นเอกสารที่สแกนไว้สำหรับการใช้งานเพื่อการศึกษาเท่านั้น ไม่อนุญาตให้นำไปใช้ประโยชน์ด้านการค้า  
ไม่ว่ากรณีใดๆ ทั้งสิ้น อีกทั้งห้ามมิให้ดัดแปลงเนื้อหา และต้องอ้างอิงถึงเจ้าของเอกสารทุกครั้งที่มีการนำไปใช้

เพราะฉะนั้น ค่า  $K_i$  มีค่าเป็น

$$K_i = 0.644 + (0.148 \times 11) = 2.272$$

เมื่อนำค่าต่างๆมาแทนในสมการ  $E_m$  ดังนั้น  $E_m$  จะมีค่าเป็น

$$E_m = \frac{\rho \cdot K_m \cdot K_i \cdot I_G}{L_m} \quad (4.18)$$

$$E_m = \frac{400 \times 0.89 \times 2.272 \times 1,908}{1,540} = 1,002.1 \text{ V}$$

ขั้นตอนที่ 9 ตรวจสอบค่าแรงดันไฟฟ้าสัมผัส

จากการคำนวณค่าแรงดันไฟฟ้าสัมผัส ( $E_m$ ) พบว่ามีค่ามากกว่าเกณฑ์แรงดันไฟฟ้าสัมผัสที่มนุษย์ทนได้ ( $E_{\text{touch}}$ ) ( $1,002.1 \text{ V} > 832.2 \text{ V}$ ) ดังนั้นกราวด์กริดที่ออกแบบนี้ยังไม่ปลอดภัย และกราวด์กริดจะต้องออกแบบใหม่เพื่อให้มีความปลอดภัยมากขึ้น จากนั้นจึงเริ่มขั้นตอนที่ 1 เพื่อตรวจสอบความปลอดภัยอีกครั้ง

#### 4.4.2 กราวด์กริดรูปทรงสี่เหลี่ยมจัตุรัสและมีแท่งกราวด์รูด

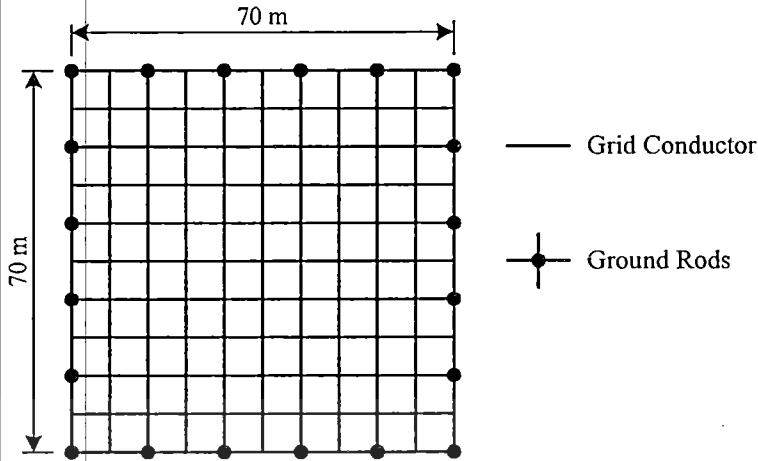
จากตัวอย่างที่ผ่านมาจะเห็นว่าขั้นตอนที่ 10 ไม่สามารถกระทำได้นี้เนื่องจากค่าของแรงดันไฟฟ้าช่วงก้าวยังไม่ผ่าน โดยทั่วไปแล้วการปรับเปลี่ยนในส่วนประกอบโครงสร้างของกราวด์กริดให้สามารถผ่านเกณฑ์แรงดันไฟฟ้าสัมผัสที่มนุษย์ทนได้ มีข้อสำคัญ 2 ข้อคือ

1. ลดค่า GPR ให้มีค่าต่ำกว่าเกณฑ์แรงดันไฟฟ้าสัมผัสที่มนุษย์ทนได้ หรือค่าแรงดันไฟฟ้าสัมผัสที่ได้จากการคำนวณครั้งใหม่ต้องมีค่าน้อยกว่าเกณฑ์แรงดันไฟฟ้าสัมผัสที่มนุษย์ทนได้

2. ลดค่ากระแสผิวดินที่มีอยู่ในระบบ

โดยทั่วไปการลดค่ากระแสผิวดินที่มีอยู่ในระบบเป็นเรื่องที่ยากมากหรืออาจเป็นไปได้ไม่ได้เลยในทางปฏิบัติ ดังนั้นการปรับเปลี่ยนโครงสร้างและตำแหน่งกราวด์กริดจะสามารถทำได้ง่ายกว่า ซึ่งการปรับเปลี่ยนโครงสร้างกราวด์กริดนั้นสามารถทำได้หลายวิธีเช่น ลดระยะห่างระหว่างตัวนำไฟฟ้าที่วางขนานกัน (Grid Conductor Spacing) ผังกราวด์กริดให้ลึกมากขึ้น (Grid Depth) เพิ่มแท่งกราวด์รูด (Ground Rod) กับกราวด์กริด

ในตัวอย่างนี้จะใช้กราวด์กริดที่มีลักษณะเหมือนกับตัวอย่างที่ผ่านมา แต่จะเพิ่มแท่งกราวด์รูดโดยเชื่อมกับกราวด์กริดทั้งสี่ด้านดังรูปที่ 4.3



รูปที่ 4.3 กราวด์กริดรูปทรงสี่เหลี่ยมจัตุรัสและมีแท่งกราวด์รูดยาว 7.5 เมตร มีรัศมี 0.005 เมตร จำนวน 20 แท่ง เชื่อมต่อกันด้วย

ในการคำนวณออกแบบสำหรับตัวอย่างนี้จะเริ่มที่ขั้นตอนที่ 5 เนื่องจากขั้นตอนที่ 1-4 ได้อธิบายไปแล้วในตัวอย่างที่ผ่านมา ดังนั้นจะนำค่าที่ได้มาใช้เลย

ขั้นตอนที่ 5 คำนวณหาค่าความต้านทานระบบต่อลงดิน

พื้นที่กราวด์กริด  $A = 4,900 \text{ m}^2$

ความต้านทานจำเพาะของดินชั้นบน  $\rho_1 = 400 \text{ } \Omega\text{-m}$

ความต้านทานจำเพาะของดินชั้นล่าง  $\rho_2 = 200 \text{ } \Omega\text{-m}$

ความลึกของดินชั้นบน  $h = 2 \text{ m}$

ความลึกของกราวด์กริด  $h_b = 0.5 \text{ m}$

ในกรณีนี้ ค่า  $\rho_2 < \rho_1$  ( $200 < 400$ ) และ  $h > h_b$  ( $2 > 0.5$ ) จึงใช้สมการที่ (3.6) ในการคำนวณหาค่าความต้านทานระบบต่อลงดิน

$$R_g = \frac{\rho_2 \sqrt{\pi A} + h \rho_1 \pi \left( 23.16 \ln \left( \frac{\rho_2 + 31.9}{\rho_1} \right) - 78 \right) \times \left( 1 + 1.95 e^{-20 \frac{h \sqrt{\pi}}{\sqrt{A}}} - 0.3 e^{-0.5 \frac{h \sqrt{\pi}}{\sqrt{A}}} \right)}{4A + 4h \sqrt{\pi A} \left( 23.16 \ln \left( \frac{\rho_2 + 31.9}{\rho_1} \right) - 78 \right) \times \left( 1 + 1.95 e^{-20 \frac{h \sqrt{\pi}}{\sqrt{A}}} - 0.3 e^{-0.5 \frac{h \sqrt{\pi}}{\sqrt{A}}} \right)}$$

$R_g = 1.46 \text{ } \Omega$

และใช้สมการที่ (3.8) ในการหาค่าความต้านทานกรวดรูด

|                |                       |
|----------------|-----------------------|
| แท่งกรวดรูดยาว | $L = 7.5 \text{ m}$   |
| มีรัศมี        | $a = 0.005 \text{ m}$ |
| จำนวนกรวดรูด   | $n = 20$ แท่ง         |

$$R_t = \frac{1}{\frac{1}{R_a} + \frac{1}{R_b}}$$

เมื่อ  $R_a$  และ  $R_b$  คำนวณได้เท่ากับ 2.8 โอห์ม และ 21.8 โอห์ม ตามลำดับ

$$R_t = \frac{1}{\frac{1}{2.8} + \frac{1}{21.8}} = 2.49 \Omega$$

ดังนั้นหาค่าความต้านทานระบบต่อลงดินจากสมการที่ (3.19) โดยคำนวณดังนี้

$$R_T = \frac{1}{\sqrt[3]{\left(\frac{1}{R_g}\right)^3 + \left(\frac{1}{R_t}\right)^3}}$$

$$R_T = \frac{1}{\sqrt[3]{\left(\frac{1}{1.46}\right)^3 + \left(\frac{1}{2.49}\right)^3}}$$

$$R_T = 1.375 \Omega$$

ขั้นตอนที่ 6 คำนวณหากระแสกริดสูงสุด

$$I_G = D_f \times S_f \times 3 \times I_0$$

$$I_G = 1 \times 0.6 \times 3 \times 3,180$$

เอกสารนี้เป็นเอกสารที่เผยแพร่ไว้เพื่อใช้ในการเรียนการสอนเท่านั้น ไม่อนุญาตให้นำไปใช้ประโยชน์ด้านการค้า  
ไม่ว่ากรณีใดๆ ทั้งสิ้น อีกทั้งห้ามมิให้ดัดแปลงเนื้อหา และต้องอ้างอิงถึงเจ้าของเอกสารทุกครั้งที่มีการนำไปใช้

ขั้นตอนที่ 7 ตรวจสอบค่า Ground Potential Rise (GPR)

ตอนนี้ไม่จำเป็นต้องเปรียบเทียบผลลัพธ์ของ  $I_G$  และ  $R_G$  ต่อแรงดันสัมผัสไฟฟ้าที่มนุษย์ทนได้

$$GPR = I_G \times R_G$$

$$GPR = 1,908 \times 1.375 = 2,624 \text{ V}$$

ทำการเปรียบเทียบค่าเกณฑ์แรงดันไฟฟ้าสัมผัสที่มนุษย์ทนได้ ที่คำนวณได้จากขั้นตอนที่ 3 พบว่าค่า  $GPR = 2,624$  โวลต์ มีค่ามากกว่า  $E_{\text{touch}} = 838.2$  โวลต์ มากกว่า ดังนั้นการออกแบบจะยังไม่สิ้นสุดเพียงเท่านี้ จะต้องทำการคำนวณในขั้นตอนที่ 8 ต่อไป การสิ้นสุดการออกแบบหมายถึงค่า  $GPR$  ที่คำนวณได้ในขั้นตอนนี้จะต้องมีค่าน้อยกว่า  $E_{\text{touch}}$  จึงจะกระโดดไปสู่ขั้นตอนที่ 12 ได้

ขั้นตอนที่ 8 คำนวณค่าแรงดันไฟฟ้าที่เกิดขึ้นในสถานีไฟฟ้า

โดยทำการคำนวณดังนี้

$$K_m = \frac{1}{2\pi} \left[ \ln \frac{D^2}{16 \cdot h \cdot d} + \frac{(D+2 \cdot h)^2}{8 \cdot D \cdot d} - \frac{h}{4 \cdot d} \right] + \frac{K_{ii}}{K_h} \cdot \ln \left[ \frac{8}{\pi(2 \cdot n - 1)} \right]$$

เนื่องจากกราวด์กริดมีแท่งกราวด์รูดเชื่อมต่อกันด้วย ดังนั้น

$$K_{ii} = 1$$

และ

$$K_h = \sqrt{1 + \frac{h}{h_0}}$$

$$K_h = \sqrt{1 + \frac{0.5}{1.0}} = 1.225$$

แทนค่า  $K_m$

$$K_m = \frac{1}{2\pi} \left[ \ln \left[ \frac{7^2}{16 \times 0.5 \times 0.01} + \frac{(7 + (2 \times 0.5))^2}{8 \times 7 \times 0.01} - \frac{0.5}{4 \times 0.01} \right] + \frac{1}{1.225} \cdot \ln \left[ \frac{8}{\pi((2 \times 11) - 1)} \right] \right]$$

$$K_m = 0.77$$

แฟคเตอร์  $K_i$  จะใช้สมการที่ (4.15) มาทำการคำนวณ

$$K_i = 0.644 + 0.148 \cdot n$$

เมื่อ

$$n = n_a \cdot n_b \cdot n_c \cdot n_d$$

$$n_a = \frac{2 \cdot L_c}{L_p}$$

$$n_a = \frac{2 \times 1,540}{280} = 11$$

$$n_b = 1 \quad \text{สำหรับกราวด์กริดเป็นรูปสี่เหลี่ยมจัตุรัส}$$

$$n_c = 1 \quad \text{สำหรับกราวด์กริดเป็นรูปสี่เหลี่ยมจัตุรัส}$$

$$n_d = 1 \quad \text{สำหรับกราวด์กริดเป็นรูปสี่เหลี่ยมจัตุรัส}$$

ดังนั้น

$$n = 11 \times 1 \times 1 \times 1 = 11$$

เพราะฉะนั้น ค่า  $K_i$  มีค่าเป็น

$$K_i = 0.644 + (0.148 \times 11) = 2.272$$

เมื่อนำค่าต่าง ๆ มาแทนในสมการ  $E_m$  ดังนั้น  $E_m$  จะมีค่าเป็น

$$E_m = \frac{\rho \cdot K_m \cdot K_i \cdot I_G}{L_m}$$

และ

$$L_m = L_C + \left[ 1.55 + 1.22 \left( \frac{L_r}{\sqrt{L_x^2 + L_y^2}} \right) \right] \cdot L_R$$

$$E_m = \frac{\rho \cdot K_m \cdot K_i \cdot I_G}{L_m = L_C + \left[ 1.55 + 1.22 \left( \frac{L_r}{\sqrt{L_x^2 + L_y^2}} \right) \right] \cdot L_R}$$

$$E_m = \frac{400 \times 0.77 \times 2.272 \times 1,908}{1,540 + \left[ 1.55 + 1.22 \left( \frac{7.5}{\sqrt{70^2 + 70^2}} \right) \right] \times 150} = 747.4 \text{ V}$$

เมื่อเปรียบเทียบค่า  $E_m$  กับ  $E_{\text{touch}}$  ในขั้นตอนที่ 3 พบว่าค่า  $E_m$  มีค่าน้อยกว่า  $E_{\text{touch}}$  ( $747.4 \text{ V} < 838.2 \text{ V}$ ) ดังนั้นให้ตรวจสอบค่าแรงดันไฟฟ้าช่วงก้ำว  $E_s$  ต่อไป

การหาค่า  $E_s$  จำเป็นที่จะต้องรู้ค่า  $L_s$   $K_s$  และ  $K_i$  เพื่อมาแทน ในสมการ  $E_s$  แต่ค่า  $K_i$  ยังคงมีค่าเท่ากับ 2.272

จากสมการที่ (2.43)

$$K_s = \frac{1}{\pi} \left[ \frac{1}{2h} + \frac{1}{D+h} + \frac{1}{D} (1 - 0.5^{n-2}) \right]$$

$$K_s = \frac{1}{\pi} \left[ \frac{1}{2 \times 0.5} + \frac{1}{7 + 0.5} + \frac{1}{7} (1 - 0.5^{11-2}) \right]$$

$$K_s = 0.406$$

จากสมการที่ (2.44)

$$L_s = 0.75L_c + 0.85L_R$$

แทนในสมการที่ (2.42) จะได้

$$E_s = \frac{\rho \cdot K_s \cdot K_i \cdot I_G}{L_s = 0.75L_c + 0.85L_R}$$

$$E_s = \frac{400 \times 0.406 \times 2.272 \times 1,908}{L_s = (0.75 \times 1,540) + (0.85 \times 150)} = 548.9V$$

ขั้นตอนที่ 9 ตรวจสอบค่าแรงดันไฟฟ้าสัมผัส

ค่าแรงดันไฟฟ้าเมฆ ( $E_m$ ) ที่คำนวณได้ภายหลังจากออกแบบระบบต่อลงดินมีค่าน้อยกว่าเกณฑ์แรงดันไฟฟ้าสัมผัสที่มนุษย์ทนได้ ( $E_{touch70}$ ) ( $747.4 V < 838.2 V$ ) ให้ไปทำขั้นตอนที่ 10

ขั้นตอนที่ 10 ตรวจสอบค่าแรงดันไฟฟ้าช่วงก้าว

ถ้าแรงดันไฟฟ้าช่วงก้าว ( $E_g$ ) ที่คำนวณได้ภายหลังจากออกแบบระบบต่อลงดินมีค่าน้อยกว่าเกณฑ์แรงดันไฟฟ้าช่วงก้าวที่มนุษย์ทนได้ ( $E_{step70}$ ) ( $548.9 V < 2,686.6 V$ ) ให้ไปทำขั้นตอนที่ 12

ขั้นตอนที่ 12 ออกแบบในรายละเอียด

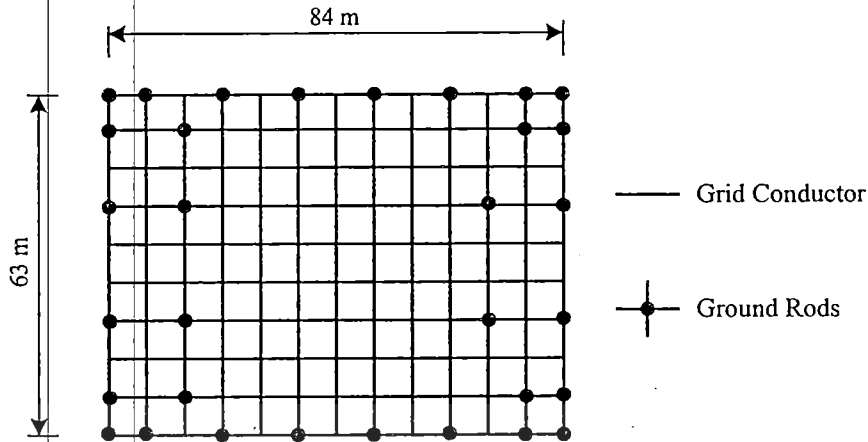
การออกแบบกราวด์กริดที่ได้ทำมานั้นมีความปลอดภัยเพียงพอต่อบุคคลที่อยู่ภายในพื้นที่สถานีไฟฟ้าย่อยแล้ว ดังนั้นขั้นตอนนี้จะป็นงานลากสายดินจากอุปกรณ์ไฟฟ้าต่างๆ ไม่ว่าจะเป็นอุปกรณ์ไฟฟ้าที่อยู่ในลานไกไฟฟ้า หรืออุปกรณ์ไฟฟ้าที่อยู่ภายในตู้คอนโทรล โดยในแต่ละกลุ่มของอุปกรณ์ไฟฟ้าอาจจะต่อสายดินมารวมกันไว้ที่บัสดิน (Ground Bus) แล้วจึงค่อยต่อเชื่อมไปยังกราวด์กริดที่ฝังใต้ผิวดิน ซึ่งจะต้องทำควบคู่ไปกับการติดตั้งอุปกรณ์ไฟฟ้าต่างๆ

#### 4.4.3 กราวด์กริดรูปทรงสี่เหลี่ยมผืนผ้าและมีแท่งกราวด์รูด

กำหนดให้กราวด์กริดสำหรับตัวอย่างนี้ มีระยะห่างระหว่างสายตัวนำไฟฟ้า  $D = 7$  เมตร มีขนาดพื้นที่สี่เหลี่ยมผืนผ้าเป็น 63 เมตร  $\times$  84 เมตร มีจำนวนสายตัวนำไฟฟ้าในแนวแกน y รวม 13 เส้น มีจำนวนสายตัวนำไฟฟ้าในแนวแกน x รวม 10 แท่ง เมื่อรวมความยาวของแท่งตัวนำไฟฟ้าในแนวราบซึ่งถูกใช้ทำกราวด์กริดจะมีค่าเท่ากับ  $(13 \times 63) + (10 \times 84) = 1,659$  เมตร และสมมติให้กราวด์กริดนี้มีการเชื่อมต่อกับกราวด์รูด จำนวน 38 แท่ง และมีรัศมี 0.005 เมตร โดยแต่ละแท่งยาว

10 เมตร ดังรูปที่ 4.4

เอกสารนี้เป็นเอกสารที่สงวนไว้สำหรับการใช้งานเพื่อการศึกษาเท่านั้น ไม่อนุญาตให้นำไปใช้ประโยชน์ด้านการค้า ไม่ว่าจะกรณีใดๆ ทั้งสิ้น อีกทั้งห้ามมิให้ดัดแปลงเนื้อหา และต้องอ้างอิงถึงเจ้าของเอกสารทุกครั้งที่มีการนำไปใช้



รูปที่ 4.4 กราวด์กริดรูปทรงสี่เหลี่ยมผืนผ้าและมีแท่งกราวด์รูดยาว 10 เมตร มีรัศมี 0.005 เมตร จำนวน 38 แท่ง เชื่อมต่อกันด้วย

การคำนวณออกแบบสำหรับตัวอย่างนี้จะเริ่มที่ขั้นตอนที่ 5 เนื่องจากขั้นตอนที่ 1-4 ได้อธิบายไปแล้วในตัวอย่างที่ผ่านมา ดังนั้นจะนำค่าที่ได้มาใช้เลย

ขั้นตอนที่ 5 คำนวณหาค่าความต้านทานระบบต่อลงดิน

$$\text{พื้นที่กราวด์กริด} \quad A = 5,292 \text{ m}^2$$

$$\text{ความต้านทานจำเพาะของดินชั้นบน} \quad \rho_1 = 400 \text{ } \Omega\text{-m}$$

$$\text{ความต้านทานจำเพาะของดินชั้นล่าง} \quad \rho_2 = 200 \text{ } \Omega\text{-m}$$

$$\text{ความลึกของดินชั้นบน} \quad h = 2 \text{ m}$$

$$\text{ความลึกของกราวด์กริด} \quad h_b = 0.5 \text{ m}$$

ในกรณีนี้ ค่า  $\rho_2 < \rho_1$  ( $200 < 400$ ) และ  $h > h_b$  ( $2 > 0.5$ ) จึงใช้สมการที่ (3.6) ในการคำนวณหาค่าความต้านทานระบบต่อลงดิน

$$R_g = \frac{\rho_2 \sqrt{\pi A} + h \rho_1 \pi \left( 23.16 \ln \left( \frac{\rho_2 + 31.9}{\rho_1} \right) - 78 \right) \times \left( 1 + 1.95 e^{-20 \frac{h \sqrt{\pi}}{\sqrt{A}}} - 0.3 e^{-0.5 \frac{h \sqrt{\pi}}{\sqrt{A}}} \right)}{4A + 4h \sqrt{\pi A} \left( 23.16 \ln \left( \frac{\rho_2 + 31.9}{\rho_1} \right) - 78 \right) \times \left( 1 + 1.95 e^{-20 \frac{h \sqrt{\pi}}{\sqrt{A}}} - 0.3 e^{-0.5 \frac{h \sqrt{\pi}}{\sqrt{A}}} \right)}$$

$$R_g = 1.40 \text{ } \Omega$$

และใช้สมการที่ (3.8) ในการหาค่าความต้านทานกรวดรูด

|                |                       |
|----------------|-----------------------|
| แท่งกรวดรูดยาว | $L = 10 \text{ m}$    |
| มีรัศมี        | $a = 0.005 \text{ m}$ |
| จำนวนกรวดรูด   | $n = 38 \text{ แท่ง}$ |

$$R_t = \frac{1}{\frac{1}{R_a} + \frac{1}{R_b}}$$

เมื่อ  $R_a$  และ  $R_b$  คำนวณได้เท่ากับ 1.5 โอห์ม และ 16.5 โอห์ม ตามลำดับ

$$R_t = \frac{1}{\frac{1}{1.5} + \frac{1}{16.5}} = 1.37 \Omega$$

ดังนั้นหาค่าความต้านทานระบบต่อลงดินจากสมการที่ (3.19) โดยคำนวณดังนี้

$$R_T = \frac{1}{\sqrt[3]{\left(\frac{1}{R_g}\right)^3 + \left(\frac{1}{R_t}\right)^3}}$$

$$R_T = \frac{1}{\sqrt[3]{\left(\frac{1}{1.40}\right)^3 + \left(\frac{1}{1.37}\right)^3}}$$

$$R_T = 1.10 \Omega$$

ขั้นตอนที่ 6 คำนวณหาค่ากระแสกริดสูงสุด

$$I_G = D_f \times S_f \times 3 \times I_0$$

$$I_G = 1 \times 0.6 \times 3 \times 3,180$$

เอกสารนี้เป็นเอกสารที่  $I_G = 1,908 \text{ A}$  การใช้งานเพื่อการศึกษาเท่านั้น ไม่อนุญาตให้นำไปใช้ประโยชน์ด้านการค้า  
ไม่ว่ากรณีใดๆ ทั้งสิ้น อีกทั้งห้ามมิให้ดัดแปลงเนื้อหา และต้องอ้างอิงถึงเจ้าของเอกสารทุกครั้งที่มีการนำไปใช้

ขั้นตอนที่ 7 ตรวจสอบค่า Ground Potential Rise (GPR)

ตอนนี้ไม่จำเป็นต้องเปรียบเทียบผลลัพธ์ของ  $I_G$  และ  $R_G$  ต่อแรงดันสัมผัสไฟฟ้าที่มนุษย์ทนได้

$$GPR = I_G \times R_G$$

$$GPR = 1,908 \times 1.10$$

$$GPR = 2,099 \text{ V}$$

ทำการเปรียบเทียบค่าเกณฑ์แรงดันไฟฟ้าสัมผัสที่มนุษย์ทนได้ ที่คำนวณได้จากขั้นตอนที่ 3 พบว่าค่า  $GPR = 2,099$  โวลต์ มีค่ามากกว่า  $E_{\text{touch}} = 838.2$  โวลต์ มากกว่า ดังนั้นการออกแบบจะยังไม่สิ้นสุดเพียงเท่านี้ จะต้องทำการคำนวณในขั้นตอนที่ 8 ต่อไป การสิ้นสุดการออกแบบหมายถึงค่า  $GPR$  ที่คำนวณได้ในขั้นตอนนี้จะต้องมีค่าน้อยกว่า  $E_{\text{touch}}$  จึงจะกระโดดไปสู่ขั้นตอนที่ 12 ได้

ขั้นตอนที่ 8 คำนวณค่าแรงดันไฟฟ้าที่เกิดขึ้นในสถานีไฟฟ้า

โดยทำการคำนวณดังนี้

$$K_m = \frac{1}{2\pi} \left[ \ln \frac{D^2}{16 \cdot h \cdot d} + \frac{(D+2 \cdot h)^2}{8 \cdot D \cdot d} - \frac{h}{4 \cdot d} \right] + \frac{K_{ii}}{K_h} \cdot \ln \left[ \frac{8}{\pi(2 \cdot n - 1)} \right]$$

เนื่องจากกราวด์กริดมีแท่งกราวด์รูดเชื่อมต่ออยู่ด้วย ดังนั้น

$$K_{ii} = 1$$

และ

$$K_h = \sqrt{1 + \frac{h}{h_0}}$$

$$K_h = \sqrt{1 + \frac{0.5}{1.0}} = 1.225$$

แทนค่า  $K_m$ 

$$K_m = \frac{1}{2\pi} \left[ \ln \left[ \frac{7^2}{16 \times 0.5 \times 0.01} + \frac{(7 + (2 \times 0.5))^2}{8 \times 7 \times 0.01} - \frac{0.5}{4 \times 0.01} \right] + \frac{1}{1.225} \cdot \ln \left[ \frac{8}{\pi((2 \times 11) - 1)} \right] \right]$$

$$K_m = 0.77$$

แฟกเตอร์  $K_i$  จะใช้สมการที่ (4.15) มาทำการคำนวณ

$$K_i = 0.644 + 0.148 \cdot n$$

เมื่อ

$$n = n_a \cdot n_b \cdot n_c \cdot n_d$$

$$n_a = \frac{2 \cdot L_c}{L_p}$$

$$n_a = \frac{2 \times 1,540}{280} = 11$$

$$n_b = \sqrt{\frac{L_p}{4 \cdot \sqrt{A}}}$$

$$n_b = \sqrt{\frac{294}{4 \times \sqrt{5,292}}} = 1.005$$

$$n_c = 1 \quad \text{สำหรับกรวดกริดเป็นรูปสี่เหลี่ยมผืนผ้า}$$

$$n_d = 1 \quad \text{สำหรับกรวดกริดเป็นรูปสี่เหลี่ยมผืนผ้า}$$

ดังนั้น

$$n = 11.29 \times 1.005 \times 1 \times 1 = 11.35$$

เอกสารนี้เป็นเอกสารที่สงวนไว้สำหรับการใช้งานเพื่อการศึกษาเท่านั้น ไม่อนุญาตให้นำไปใช้ประโยชน์ด้านการค้า  
ไม่ว่ากรณีใดๆ ทั้งสิ้น อีกทั้งห้ามมิให้ดัดแปลงเนื้อหา และต้องอ้างอิงถึงเจ้าของเอกสารทุกครั้งที่มีการนำไปใช้

เพราะฉะนั้น ค่า  $K_i$  มีค่าเป็น

$$K_i = 0.644 + (0.148 \times 11.35) = 2.324$$

เมื่อนำค่าต่างๆมาแทนในสมการ  $E_m$  ดังนั้น  $E_m$  จะมีค่าเป็น

$$E_m = \frac{\rho \cdot K_m \cdot K_i \cdot I_G}{L_m}$$

และ

$$L_m = L_C + \left[ 1.55 + 1.22 \left( \frac{L_r}{\sqrt{L_x^2 + L_y^2}} \right) \right] \cdot L_R$$

$$E_m = \frac{\rho \cdot K_m \cdot K_i \cdot I_G}{L_m = L_C + \left[ 1.55 + 1.22 \left( \frac{L_r}{\sqrt{L_x^2 + L_y^2}} \right) \right] \cdot L_R}$$

$$E_m = \frac{400 \times 0.77 \times 2.272 \times 1,908}{1,540 + \left[ 1.55 + 1.22 \left( \frac{7.5}{\sqrt{70^2 + 70^2}} \right) \right] \times 150} = 747.4 \text{ V}$$

ขั้นตอนที่ 9 ตรวจสอบค่าแรงดันไฟฟ้าสัมผัส

ค่าแรงดันไฟฟ้าสัมผัส ( $E_m$ ) ที่คำนวณได้ภายหลังการออกแบบระบบต่อลงดินมีค่าน้อยกว่าเกณฑ์แรงดันไฟฟ้าสัมผัสที่มนุษย์ทนได้ ( $E_{\text{touch70}}$ ) ( $747.4 \text{ V} < 838.2 \text{ V}$ )

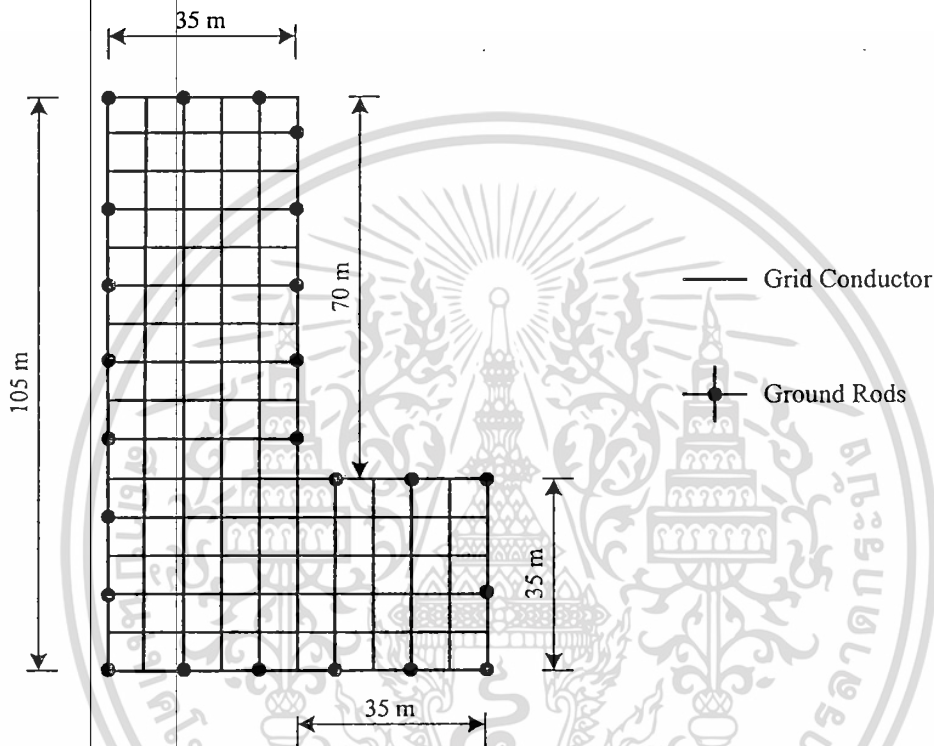
เมื่อวิเคราะห์ข้อมูลแล้วจะพบว่า การเพิ่มกราวด์รูด ที่มีความยาวรวม  $L_R = 230$  เมตร มาทำการเชื่อมกับกราวด์กริดและเพิ่มปริมาณแท่งตัวนำไฟฟ้าแนวราบที่ใช้ทำกราวด์กริดอีกรวม 119 เมตร จะทำให้ค่าแรงดันไฟฟ้าสัมผัสมีค่าลดลงมากขึ้น เมื่อเปรียบเทียบกับตัวอย่างที่ 4.3.2

การหาค่าของแรงดันไฟฟ้าช่วงก้าว ( $E_s$ ) ไม่จำเป็นต้องหาก็ได้ เพราะโดยมากแล้วถ้าค่าของแรงดันไฟฟ้าสัมผัส ( $E_m$ ) ผ่านแรงดันไฟฟ้าช่วงก้าว ( $E_s$ ) ก็ผ่านเหมือนกัน เพราะค่าแรงเกณฑ์แรงดันไฟฟ้าช่วงก้าว ( $E_{\text{step}}$ ) สูงมาก ทำให้ค่าแรงดันไฟฟ้าช่วงก้าว ( $E_s$ ) ที่คำนวณได้จริงมักจะผ่าน ดังนั้นสิ่งที่เราจับจ้อง (Concentrate) จะอยู่ที่ค่าแรงดันไฟฟ้าสัมผัส ( $E_m$ ) ที่ใช้เปรียบเทียบกับค่าเกณฑ์แรงดันไฟฟ้าสัมผัส ( $E_{\text{touch70}}$ )

เอกสารนี้เป็นเอกสารที่สงวนลิขสิทธิ์สำหรับการใช้งานเพื่อการศึกษาเท่านั้น ไม่อนุญาตให้นำไปใช้ประโยชน์ด้านการค้า  
ไม่ว่ากรณีใดๆ ทั้งสิ้น อีกทั้งห้ามมิให้ดัดแปลงเนื้อหา และต้องอ้างอิงถึงเจ้าของเอกสารทุกครั้งที่มีการนำไปใช้

4.4.4 กราวด์กริดรูปทรงตัวแอลและมีแท่งกราวด์รูด

กำหนดให้กราวด์กริดสำหรับตัวอย่างนี้ มีระยะห่างระหว่างสายตัวนำไฟฟ้า  $D = 7$  เมตร มีจำนวนสายตัวนำไฟฟ้าในแนวแกน  $y$  จำนวนสายตัวนำไฟฟ้าในแนว  $x$  และขนาดพื้นที่กราวด์กริดเป็นดังรูปที่ 4.4 เมื่อรวมความยาวของสายตัวนำไฟฟ้าในแนวราบซึ่งถูกใช้ทำกราวด์กริดจะมีค่าเท่ากับ  $(35 \times 10) + (70 \times 6) + (35 \times 5) + (105 \times 6) = 1,575$  เมตร และสมมติให้ กราวด์กริดนี้มีการเชื่อมต่อแท่งกราวด์รูดจำนวน 24 แท่ง และมีรัศมี 0.005 เมตร โดยแต่ละแท่งยาว 7.5 เมตร



รูปที่ 4.5 กราวด์กริดรูปทรงตัวแอลและมีแท่งกราวด์รูดยาว 7.5 เมตร และมีรัศมี 0.005 เมตร จำนวน 24 แท่ง เชื่อมต่ออยู่ด้วย

ในการคำนวณออกแบบสำหรับตัวอย่างนี้จะเริ่มที่ขั้นตอนที่ 5 เนื่องจากขั้นตอนที่ 1-4 ได้อธิบายไปแล้วในตัวอย่างที่ผ่านมา ดังนั้นจะนำค่าที่ได้มาใช้เลย

ขั้นตอนที่ 5 คำนวณหาค่าความต้านทานระบบต่อลงดิน

|                                 |   |
|---------------------------------|---|
| พื้นที่กราวด์กริด               | $A = 4,900 \text{ m}^2$                 |
| ความต้านทานจำเพาะของดินชั้นบน   | $\rho_1 = 400 \text{ } \Omega\text{-m}$ |
| ความต้านทานจำเพาะของดินชั้นล่าง | $\rho_2 = 200 \text{ } \Omega\text{-m}$ |
| ความลึกของดินชั้นบน             | $h = 2 \text{ m}$                       |

เอกสารนี้เป็นความลับของกราวด์กริดการใช้งานเพื่อการศึกษาเท่านั้น. กรุณาอย่าเปิดเผยหรือเผยแพร่ให้ผู้อื่นโดยไม่ได้รับอนุญาตให้นำไปใช้ประโยชน์ด้านการค้า  
ไม่ว่ากรณีใดๆ ทั้งสิ้น อีกทั้งห้ามมิให้ดัดแปลงเนื้อหา และต้องอ้างอิงถึงเจ้าของเอกสารทุกครั้งที่มีการนำไปใช้

ในกรณีนี้ ค่า  $\rho_2 < \rho_1$  ( $200 < 400$ ) และ  $h > h_b$  ( $2 > 0.5$ ) จึงใช้สมการที่ (3.6) ในการคำนวณหาค่าความต้านทานระบบต่อลงดิน

$$R_g = \frac{\rho_2 \sqrt{\pi A} + h \rho_1 \pi \left( 23.16 \ln \left( \frac{\rho_2}{\rho_1} + 31.9 \right) - 78 \right) \times \left( 1 + 1.95 e^{-20 \frac{h \sqrt{\pi}}{\sqrt{A}}} - 0.3 e^{-0.5 \frac{h \sqrt{\pi}}{\sqrt{A}}} \right)}{4A + 4h \sqrt{\pi A} \left( 23.16 \ln \left( \frac{\rho_2}{\rho_1} + 31.9 \right) - 78 \right) \times \left( 1 + 1.95 e^{-20 \frac{h \sqrt{\pi}}{\sqrt{A}}} - 0.3 e^{-0.5 \frac{h \sqrt{\pi}}{\sqrt{A}}} \right)}$$

$$R_g = 1.46 \Omega$$

และใช้สมการที่ (3.8) ในการหาค่าความต้านทานกราวด์รูด

แท่งกราวด์รูดยาว  $L = 7.5$  m

มีรัศมี  $a = 0.005$  m

จำนวนกราวด์รูด  $n = 24$  แท่ง

$$R_t = \frac{1}{\frac{1}{R_a} + \frac{1}{R_b}}$$

เมื่อ  $R_a$  และ  $R_b$  คำนวณได้เท่ากับ 2.48 โอห์ม และ 19.21 โอห์ม ตามลำดับ

$$R_t = \frac{1}{\frac{1}{2.48} + \frac{1}{19.21}} = 2.19 \Omega$$

ดังนั้นหาค่าความต้านทานระบบต่อลงดินจากสมการที่ (3.19) โดยคำนวณดังนี้

$$R_T = \frac{1}{\sqrt[3]{\left( \frac{1}{R_g} \right)^3 + \left( \frac{1}{R_t} \right)^3}}$$

$$R_T = \frac{1}{\sqrt[3]{\left(\frac{1}{1.46}\right)^3 + \left(\frac{1}{2.19}\right)^3}} = 1.34 \Omega$$

ขั้นตอนที่ 6 คำนวณหาค่ากระแสกริดสูงสุด

$$I_G = D_f \times S_f \times 3 \times I_0$$

$$I_G = 1 \times 0.6 \times 3 \times 3,189 = 1,908 \text{ A}$$

ขั้นตอนที่ 7 ตรวจสอบค่า Ground Potential Rise (GPR)

ตอนนี้ไม่จำเป็นต้องเปรียบเทียบผลลัพธ์ของ  $I_G$  และ  $R_G$  ต่อแรงดันสัมผัสไฟฟ้าที่มนุษย์ทนได้

$$GPR = I_G \times R_G$$

$$GPR = 1,908 \times 1.34 = 2,557 \text{ V}$$

ทำการเปรียบเทียบค่าเกณฑ์แรงดันไฟฟ้าสัมผัสที่มนุษย์ทนได้ ที่คำนวณได้จากขั้นตอนที่ 3 พบว่าค่า  $GPR = 2,557$  โวลต์ มีค่ามากกว่า  $E_{\text{touch}} = 838.2$  โวลต์ ดังนั้นการออกแบบจะยังไม่สิ้นสุดเพียงเท่านี้ จะต้องทำการคำนวณในขั้นตอนที่ 8 ต่อไป การสิ้นสุดการออกแบบหมายถึงค่า  $GPR$  ที่คำนวณได้ในขั้นตอนนี้จะต้องมีค่าน้อยกว่า  $E_{\text{touch}}$  จึงจะกระโดดไปสู่ขั้นตอนที่ 12 ได้

ขั้นตอนที่ 8 คำนวณค่าแรงดันไฟฟ้าที่เกิดขึ้นในสถานีไฟฟ้า

โดยทำการคำนวณดังนี้

$$K_m = \frac{1}{2\pi} \left[ \ln \frac{D^2}{16 \cdot h \cdot d} + \frac{(D+2 \cdot h)^2}{8 \cdot D \cdot d} - \frac{h}{4 \cdot d} \right] + \frac{K_{ii}}{K_h} \cdot \ln \left[ \frac{8}{\pi(2 \cdot n - 1)} \right]$$

เนื่องจากกราวด์กริดมีแท่งกราวด์รูดเชื่อมต่อกันด้วย ดังนั้น

$$K_{ii} = 1$$

เอกสารนี้เป็นเอกสารที่สงวนไว้สำหรับการใช้งานเพื่อการศึกษาเท่านั้น ไม่อนุญาตให้นำไปใช้ประโยชน์ด้านการค้าไม่ว่ากรณีใดๆ ทั้งสิ้น อีกทั้งห้ามมิให้ดัดแปลงเนื้อหา และต้องอ้างอิงถึงเจ้าของเอกสารทุกครั้งที่มีการนำไปใช้

และ

$$K_h = \sqrt{1 + \frac{h}{h_0}}$$

$$K_h = \sqrt{1 + \frac{0.5}{1.0}} = 1.225$$

แทนค่า  $K_m$ 

$$K_m = \frac{1}{2\pi} \left[ \ln \frac{7^2}{16 \times 0.5 \times 0.01} + \frac{(7 + (2 \times 0.5))^2}{8 \times 7 \times 0.01} - \frac{0.5}{4 \times 0.01} \right] + \frac{1}{1.225} \cdot \ln \left[ \frac{8}{\pi((2 \div 11) - 1)} \right]$$

$$K_m = 0.77$$

แฟกเตอร์  $K_i$  จะใช้สมการที่ (4.15) มาทำการคำนวณ

$$K_i = 0.644 + 0.148 \cdot n$$

เมื่อ

$$n = n_a \cdot n_b \cdot n_c \cdot n_d$$

$$n_a = \frac{2 \cdot L_c}{L_p}$$

$$n_a = \frac{2 \times 1,575}{350} = 9$$

$$n_b = \sqrt{\frac{L_p}{4 \cdot \sqrt{A}}}$$

$$n_b = \sqrt{\frac{350}{4 \times \sqrt{4,900}}} = 1.12$$

$$n_c = \left( \frac{L_x L_y}{A} \right)^{0.7A}$$

เอกสารนี้เป็นเอกสารที่สงวนลิขสิทธิ์สำหรับการใช้งานเพื่อการศึกษาเท่านั้น ไม่อนุญาตให้นำไปใช้ประโยชน์ด้านการค้า  
ไม่ว่ากรณีใดๆ ทั้งสิ้น อีกทั้งห้ามมิให้ดัดแปลงเนื้อหา และต้องอ้างอิงถึงเจ้าของเอกสารทุกครั้งที่มีการนำไปใช้

$$n_c = \left( \frac{70 \times 105}{4,900} \right)^{\frac{0.7 \times 4,900}{70 \times 105}} = 1.21$$

$$n_d = 1 \quad \text{สำหรับกราวด์กริดเป็นรูปสี่เหลี่ยมผืนผ้า}$$

ดังนั้น

$$n = 9 \times 1.12 \times 1.21 \times 1 = 12.2$$

เพราะฉะนั้น ค่า  $K_i$  มีค่าเป็น

$$K_i = 0.644 \times (0.148 \times 12.2)$$

$$K_i = 2.45$$

เมื่อนำค่าต่างๆมาแทนในสมการ  $E_m$  ดังนั้น  $E_m$  จะมีค่าเป็น

$$E_m = \frac{\rho \cdot K_m \cdot K_i \cdot I_G}{L_m}$$

และ

$$L_m = L_C + \left[ 1.55 + 1.22 \left( \frac{L_r}{\sqrt{L_x^2 + L_y^2}} \right) \right] \cdot L_R$$

$$E_m = \frac{\rho \cdot K_m \cdot K_i \cdot I_G}{L_m = L_C + \left[ 1.55 + 1.22 \left( \frac{L_r}{\sqrt{L_x^2 + L_y^2}} \right) \right] \cdot L_R}$$

$$E_m = \frac{400 \times 0.76 \times 2.45 \times 1,908}{1,540 + \left[ 1.55 + 1.22 \left( \frac{7.5}{\sqrt{70^2 + 105^2}} \right) \right] \times 180} = 761.1V$$

เมื่อเปรียบเทียบค่า  $E_m$  กับ  $E_{\text{touch}}$  ในขั้นตอนที่ 3 พบว่าค่า  $E_m$  มีค่าน้อยกว่า  $E_{\text{touch}}$  ( $761.1 V <$

$838.2 V$ ) ดังนั้นให้ตรวจสอบค่าแรงดันไฟฟ้าช่วงก้ำว  $E_c$  ต่อไป

เอกสารนี้เป็นเอกสารลิขสิทธิ์ของวิศวกรรมสถานแห่งประเทศไทยในพระบรมราชูปถัมภ์ ไม่อนุญาตให้นำไปใช้ประโยชน์ด้านการค้า  
ไม่ว่ากรณีใดๆ ทั้งสิ้น อีกทั้งห้ามมิให้ดัดแปลงเนื้อหา และต้องอ้างอิงถึงเจ้าของเอกสารทุกครั้งที่มีการนำไปใช้

การหาค่า  $E_s$  จำเป็นที่จะต้องรู้ค่า  $L_s$   $K_s$  และ  $K_i$  เพื่อมาแทน ในสมการ  $E_s$  แต่ค่า  $K_s$  ยังคงมีค่าเท่ากับ 2.272

จากสมการที่ (2.43)

$$K_s = \frac{1}{\pi} \left[ \frac{1}{2h} + \frac{1}{D+h} + \frac{1}{D} (1-0.5^{n-2}) \right]$$

$$K_s = \frac{1}{\pi} \left[ \frac{1}{2 \times 0.5} + \frac{1}{7+0.5} + \frac{1}{7} (1-0.5^{12.2-2}) \right] = 0.41$$

จากสมการที่ (2.44)

$$L_s = 0.75L_c + 0.85L_R$$

แทนในสมการที่ (2.42) จะได้

$$E_s = \frac{\rho \cdot K_s \cdot K_i \cdot I_G}{L_s = 0.75L_c + 0.85L_R}$$

$$E_s = \frac{400 \times 0.41 \times 2.245 \times 1,908}{L_s = (0.75 \times 1,575) + (0.85 \times 180)} = 574.6V$$

ขั้นตอนที่ 9 ตรวจสอบค่าแรงดันไฟฟ้าสัมผัส

ค่าแรงดันไฟฟ้าสัมผัส ( $E_m$ ) ที่คำนวณได้ภายหลังการออกแบบระบบต่อลงดินมีค่าน้อยกว่าเกณฑ์แรงดันไฟฟ้าสัมผัสที่มนุษย์ทนได้ ( $E_{touch70}$ ) ( $747.4 V < 838.2 V$ ) ให้ไปทำขั้นตอนที่ 10

ขั้นตอนที่ 10 ตรวจสอบค่าแรงดันไฟฟ้าช่วงก้าว

ถ้าแรงดันไฟฟ้าช่วงก้าว ( $E_g$ ) ที่คำนวณได้ภายหลังการออกแบบระบบต่อลงดินมีค่าน้อยกว่าเกณฑ์แรงดันไฟฟ้าช่วงก้าวที่มนุษย์ทนได้ ( $E_{step70}$ ) ( $548.9 V < 2,686.6 V$ ) ให้ไปทำขั้นตอนที่ 12

ขั้นตอนที่ 12 ออกแบบในรายละเอียด

การออกแบบกราวด์กริดที่ได้ทำมานั้นมีความปลอดภัยเพียงพอต่อบุคคลที่อยู่ภายในพื้นที่สถานีไฟฟ้าย่อยแล้ว ดังนั้นขั้นตอนนี้เป็นงานลากสายดินจากอุปกรณ์ไฟฟ้าต่างๆ ไม่ว่าจะ เป็นเอกสารนี้เป็นเอกสารที่สงวนไว้สำหรับการใช้งานเพื่อการศึกษาเท่านั้น ไม่อนุญาตให้นำไปใช้ประโยชน์ด้านการค้า ไม่ว่าจะกรณีใดๆ ทั้งสิ้น อีกทั้งห้ามมิให้ดัดแปลงเนื้อหา และต้องอ้างอิงถึงเจ้าของเอกสารทุกครั้งที่มีการนำไปใช้

อุปกรณ์ไฟฟ้าที่อยู่ในลานไกไฟฟ้า หรืออุปกรณ์ไฟฟ้าที่อยู่ภายในตู้คอนโทรล โดยในแต่ละกลุ่มของอุปกรณ์ไฟฟ้าอาจจะต่อสายดินมารวมกันไว้ที่บัสดิน (Ground Bus) แล้วจึงค่อยต่อเชื่อมไปยังกราวด์กริดที่ฝังใต้ผิวดิน ซึ่งจะต้องทำควบคู่ไปกับการติดตั้งอุปกรณ์ไฟฟ้าต่างๆ

#### 4.5 โปรแกรม Visual Basic [8, 10, 11, 13]

Visual Basic เป็นภาษาคอมพิวเตอร์ (Programming Language) ที่พัฒนาโดยบริษัท ไมโครซอฟท์ ซึ่งเป็นบริษัทที่สร้างระบบปฏิบัติการ Windows ที่เราใช้กันอยู่ในปัจจุบัน โดยตัวภาษาเองมีรากฐานมาจากภาษา Basic ซึ่งย่อมาจาก Beginner's All-purpose Symbolic Instruction Code ถ้าแปลให้ได้ความหมายก็คือ “ชุดคำสั่งหรือภาษาคอมพิวเตอร์สำหรับผู้เริ่มต้น” ภาษา Basic มีจุดเด่นคือผู้ที่ไม่มีพื้นฐานเรื่องการเขียน โปรแกรมเลยก็สามารถเรียนรู้และนำไปใช้งานได้ดียวและรวดเร็ว เมื่อเทียบกับการเรียนภาษาคอมพิวเตอร์อื่นๆ เช่น ภาษาซี (C), ปาสคาล (Pascal), ฟอรัแทน (Fortran) หรือ แอสเซมบลี (Assembler)

##### 4.5.1 ภาพรวมของ Visual Basic

โปรแกรม Visual Basic มีสภาพแวดล้อมสำหรับการพัฒนาบน Windows ซึ่งประกอบด้วยเครื่องมือต่างๆ ครบถ้วนไม่ว่าจะเป็นส่วนของการออกแบบ User Interface ส่วนออกแบบเมนู (Menu Design) การสร้างรายงาน (Report Writer) Editor สำหรับป้อนโปรแกรม และ Debugger เพื่อการตรวจหาข้อผิดพลาดในโปรแกรม องค์ประกอบเหล่านี้นับว่าเอื้ออำนวยต่อการทำงานของโปรแกรมเมอร์อย่างมาก

ในส่วนของตัวภาษา Visual Basic ได้นำเอาไวยากรณ์ของ BASICA และ GW-BASIC มาใช้โดยสนับสนุนความสามารถเดิมเกือบทั้งหมด นอกจากนี้ยังเพิ่มการโปรแกรมแบบมีโครงสร้างของ Quick Basic ซึ่งคล้ายกับในภาษาที่มีโครงสร้าง เช่น Pascal หรือ C เข้าไปด้วย นอกจากนี้ยังมีการเพิ่มคำสั่งและฟังก์ชันที่เกี่ยวกับ Object และการเรียกฟังก์ชันของระบบปฏิบัติการ (API) เพื่อให้การทำงานกว้างขวางขึ้น รวมทั้งสนับสนุนความสามารถของระบบ เช่น OLE DDE และการใช้งานคลิปปอร์ด เป็นต้น

##### 4.5.2 หลักการโปรแกรมเชิงภาพของ Visual Basic

สำหรับ Visual Basic การพัฒนาและเขียนโปรแกรมจะเป็นไปในรูปแบบหนึ่งซึ่งแตกต่างจากการเขียนโปรแกรมแบบเดิม กล่าวคือ ต้องออกแบบหน้าจอ ระบุตำแหน่งการแสดงผล คิดหาขั้นตอนการทำงานและอื่นๆ จากนั้นจึงทำการเขียนโปรแกรม โปรแกรมที่ได้จะอธิบายภาพและการมองเห็นโดยเริ่มจากออกแบบวินโดวส์ย่อย หรือใน Visual Basic เรียกว่า ฟอร์ม โดยในฟอร์มจะประกอบด้วยสิ่งต่างๆ ที่เราจะทำงานด้วย หรือเรียกว่าเป็น Object เช่น ข้อความ ช่องรับข้อความ

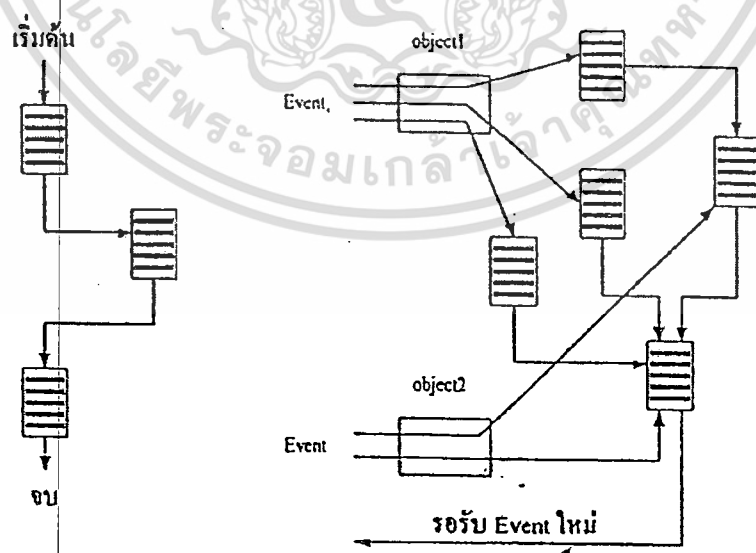
เอกสารนี้เป็นเอกสารที่สงวนไว้สำหรับการใช้งานเพื่อการศึกษาเท่านั้น เมื่อนุญาดเห็นไปใช้ประโยชน์ด้านการค้า

ไม่ว่ากรณีใดๆ ทั้งสิ้น อีกทั้งห้ามมิให้ดัดแปลงเนื้อหา และต้องอ้างอิงถึงเจ้าของเอกสารทุกครั้งที่มีการนำไปใช้

Scrollbar หรือ ปุ่ม (Button) เมื่อกำหนดสิ่งเหล่านี้ครบถ้วนแล้วจึงระบุว่าจะประกอบแต่ละอย่างทำงานอย่างไร โดยเขียนโปรแกรมย่อยๆปะเข้าไปใน Object เหล่านี้ที่ต้องทำแบบนี้เพราะว่าการทำงานใน Windows เป็นแบบที่เรียกว่า Even-Driven คือ ขึ้นกับเหตุการณ์

ส่วนการเขียน โปรแกรมแบบเดิม คือ เขียนสั่งงานตามลำดับจะยุ่งยากมากหรือบางกรณีอาจทำไม่ได้เลย เพราะในขณะใดขณะหนึ่งนั้น ในระบบไม่ว่าจะมีเพียงแอฟพลิเคชันของเราเท่านั้นที่ดำเนินการอยู่ Windows จะจัดการกับแอฟพลิเคชันที่ทำงานในขณะนั้นทั้งหมดไปพร้อมๆกัน (เนื่องจากระบบเป็นแบบ Multitasking หรือดำเนินการหลายงานได้ในเวลาเดียวกัน) ในขณะที่ผู้ใช้ อาจพิมพ์ข้อมูลเข้าไปหรืออาจใช้เมาส์เลื่อนไปคลิกตรงนั้นตรงนี้ได้โดยอิสระ ทำให้ยากที่จะเขียนโปรแกรมธรรมดาที่คอยดักเส้นทางการทำงานในการรับค่าว่าจะเกิดอะไรขึ้นตรงไหนได้ จึงต้องใช้รูปแบบการโปรแกรมในลักษณะ Even-Driven ดังกล่าว ซึ่ง Object แต่ละตัวก็จะมีเหตุการณ์ที่เกิดขึ้นกับมันได้หลายอย่าง ถ้าเราสนใจเฉพาะเหตุการณ์ก็สามารถเขียน โปรแกรมสั่งงานให้คอยดักหรือทำงานตามเฉพาะเหตุการณ์นั้นๆ ได้ เช่น ถ้าสิ่งที่เราสนใจเป็นปุ่มควบคุม และเราต้องการให้ทำงานเมื่อ คลิก หรือดับเบิลคลิก ก็ระบุ ว่า หากมีการคลิกที่ปุ่มควบคุมนี้ โปรแกรมจะต้องทำอะไร หรือถ้ามีการดับเบิลคลิกจะต้องทำอะไร ส่วนเหตุการณ์อื่นๆ ที่ไม่ได้ระบุไว้ก็ไม่ผลต่อ Object นั้น

ดังนั้นหลักการในการออกแบบใน Visual Basic ก็คือเริ่มจากออกแบบจอภาพและเขียนโปรแกรมแต่ละ Even ของ Object ต่างๆ ให้ทำงานตามเหตุการณ์ที่เกิดขึ้นโดยทุก Object จะมีคุณสมบัติที่สามารถเปลี่ยนแปลงได้ของตัวเอง



รูปที่ 4.6 การเขียน โปรแกรมแบบธรรมดา กับแบบ Even-Driven

เอกสารนี้เป็นเอกสารที่สงวนไว้สำหรับการใช้งานเพื่อการศึกษาเท่านั้น ไม่อนุญาตให้นำไปใช้ประโยชน์ด้านการค้า ไม่ว่าจะกรณีใดๆ ทั้งสิ้น อีกทั้งห้ามมิให้ดัดแปลงเนื้อหา และต้องอ้างอิงถึงเจ้าของเอกสารทุกครั้งที่มีการนำไปใช้

#### 4.5.3 ความต้องการของระบบคอมพิวเตอร์ก่อนการติดตั้งโปรแกรม

โปรแกรมการออกแบบระบบระบบต่อลงดินนี้เป็นโปรแกรมที่ทำงานบนระบบปฏิบัติการระบบปฏิบัติการ Windows 95/98 หรือ Windows NT, Windows XP หรือ Windows 7 ซึ่งทำงานบนเครื่องคอมพิวเตอร์ที่มีคุณสมบัติอย่างน้อยดังนี้

1. เครื่องคอมพิวเตอร์ที่มี CPU.486 DX/66 MHz เป็นอย่างต่ำขึ้นไปแต่ถ้าจะให้ทำงานได้ดีควรจะเป็น CPU. รุ่น Pentium ขึ้นไป
2. ไดรฟ์ CD-ROM
3. จอภาพและการ์ดจอที่สนับสนุนการทำงานของ Windows

#### 4.5.4 ข้อดีของโปรแกรม Visual Basic

1. ง่ายต่อการเรียนรู้ เหมาะสำหรับผู้เริ่มต้น ทั้งในเรื่องไวยากรณ์ของภาษาเองและเรื่องมือการใช้งาน ดังชื่อที่บอกอยู่แล้วว่า basic ซึ่งเหมาะสำหรับผู้เริ่มต้น
2. ความนิยมของตัวภาษา โดยอาจกล่าวได้ว่าภาษา basic นั้นเป็นภาษาที่คนเรียนรู้และใช้งานมากที่สุดในประวัติศาสตร์ของคอมพิวเตอร์
3. การพัฒนาอย่างต่อเนื่อง การปรับปรุงประสิทธิภาพในด้านของตัวภาษาและความเร็วของการประมวลผล และในเรื่องของความสามารถใหม่ๆ เช่น การติดต่อกับระบบฐานข้อมูล การเชื่อมต่อกับระบบเครือข่ายอินเทอร์เน็ต
4. ผู้พัฒนาสำคัญของ Visual Basic คือบริษัทไมโครซอฟท์ซึ่งจัดว่าเป็นยักษ์ใหญ่ของวงการคอมพิวเตอร์ในปัจจุบัน เราจึงสามารถมั่นใจได้ว่า Visual basic จะยังมีการพัฒนาปรับปรุงและคงอยู่ไปอีกนาน

### 4.6 แนะนำโปรแกรมการออกแบบระบบต่อลงดิน

#### 4.6.1 ขอบเขตและเงื่อนไขสำหรับโปรแกรมการออกแบบระบบต่อลงดิน

ความสามารถของโปรแกรมการออกแบบระบบต่อลงดินนี้สามารถที่จะออกแบบระบบต่อลงดินดังลักษณะต่อไปนี้

1. โปรแกรมการออกแบบระบบต่อลงดินสามารถออกแบบพื้นที่ที่มีลักษณะต่างกันได้ 3 ประเภท คือ พื้นที่สี่เหลี่ยมจัตุรัส พื้นที่สี่เหลี่ยมผืนผ้า และพื้นที่รูปตัวแอล
2. คำนวณค่ากระแสลัดวงจรได้
3. เรียกดูค่าคงที่ของวัสดุนำไฟฟ้า เพื่อใช้ในการคำนวณได้
4. พิมพ์ผลลัพธ์ และค่าที่ใช้ในการออกแบบเก็บเป็นข้อมูล (Hard Copy) ได้

#### 4.6.2 ส่วนประกอบและวิธีการใช้งานโปรแกรมการออกแบบระบบต่อลงดิน

โปรแกรมการออกแบบระบบต่อลงดินนี้ เมื่อทำการเรียกโปรแกรมจะพบวินโดว์แรกเป็นวินโดว์ต้อนรับสู่การออกแบบระบบต่อลงดินดังรูปที่ 4.7



รูปที่ 4.7 วินโดว์แรกสู่การออกแบบระบบต่อลงดิน

##### 4.6.2.1 การป้อนข้อมูลและคำนวณหาขนาดสายตัวนำ

1. คลิก Calculation เลือก Fault Calculation เพื่อหาขนาดของกระแสผิดพลาด หน้าจอโปรแกรมที่ใช้ในการป้อนข้อมูลหาขนาดกระแสผิดพลาด แสดงดังรูปที่ 4.8 เลือก Input System Data ให้ทำการป้อนข้อมูลที่จะใช้ในการคำนวณหาขนาดของกระแสผิดพลาด

2. ป้อนค่าแรงดันของระบบไฟฟ้าที่กำลังพิจารณา (System Voltage)
3. ป้อนค่าอิมพีแดนซ์ของแหล่งจ่ายแรงดัน (Source Impedance)
4. เลือกชนิดสายส่ง (Select Transmission Line) ระบบการจ่ายไฟของการ

ไฟฟ้าส่วนภูมิภาค (PEA)

5. ป้อนค่าความยาวสายส่ง (Length of transmission line)

6. คลิก Calculate โปรแกรมจะแสดงขนาดของกระแสผิดพลาดที่ได้จาก

การคำนวณ (Fault Calculation Result)

เอกสารนี้เป็นเอกสารที่สงวนไว้สำหรับการใช้งานเพื่อการศึกษาเท่านั้น ไม่อนุญาตให้นำไปใช้ประโยชน์ด้านการค้าไม่ว่ากรณีใดๆ ทั้งสิ้น อีกทั้งห้ามมิให้ดัดแปลงเนื้อหา และต้องอ้างอิงถึงเจ้าของเอกสารทุกครั้งที่มีการนำไปใช้

NMITL Ground Grid : [Fault Calculation]

File Calculation Help

### Fault Calculation

**Input System Data**

System Voltage  kV

Source Impedance

Rs1 =  Ohm. Xs1 =  Ohm.  
Rs0 =  Ohm. Xs0 =  Ohm.

**Transmission Line**

Select Transmission Line (PEA)

Length of transmission line  km.


**Fault Calculation Result**

3-Phase Fault  A

Single Line to Ground Fault  A

Calculate Report Exit

รูปที่ 4.8 วินโดว์การคำนวณหาขนาดกระแสผิดพลาด



### Fault Calculation Report

**Input system data :**

System Voltage :  kV.

Source Impedance :

Positive resistance :   $\Omega$  Positive reactance :   $\Omega$   
Zero resistance :   $\Omega$  Zero reactance :   $\Omega$

**Transmission Line :**

Select Transmission Line (PEA) :

Length of transmission line :  km.

**Fault Calculation Result**

3-Phase Fault :  A

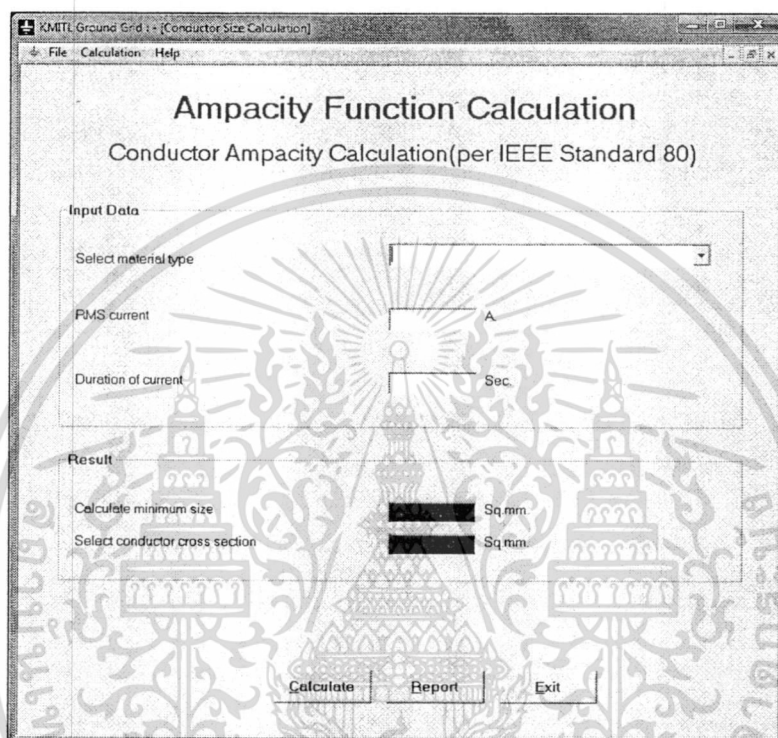
Single Line to Ground Fault :  A

รูปที่ 4.9 วินโดว์รายงานการคำนวณหาขนาดกระแสผิดพลาด

เอกสารนี้เป็นเอกสารที่สงวนไว้สำหรับการใช้งานเพื่อการศึกษาเท่านั้น ไม่อนุญาตให้นำไปใช้ประโยชน์ด้านการค้า  
ไม่ว่ากรณีใดๆ ทั้งสิ้น อีกทั้งห้ามมิให้ดัดแปลงเนื้อหา และต้องอ้างอิงถึงเจ้าของเอกสารทุกครั้งที่มีการนำไปใช้


7. คลิก Report เพื่อพิมพ์ผลลัพธ์ และค่าที่ใช้ในการออกแบบเก็บเป็นข้อมูล แสดงดังรูปที่ 4.9

8. คลิก Calculation เลือก Conductor Size Calculation เพื่อหาขนาดสายตัวนำ หน้าจอโปรแกรมที่ใช้ในการป้อนข้อมูลหาขนาดสายตัวนำ แสดงดังรูปที่ 4.10 เลือก Input Data ให้ทำการป้อนข้อมูลที่จะใช้ในการคำนวณหาขนาดสายตัวนำ



รูปที่ 4.10 วินโดว์การคำนวณหาขนาดสายตัวนำ

9. เลือกชนิดของตัวนำที่ใช้ในการออกแบบ (Select Material Type)
10. ป้อนค่ากระแสผิวดพ่วงและเวลาการเกิดความผิวดพ่วง (RMS current, Duration of current)
11. คลิก Calculate โปรแกรมจะแสดงขนาดของสายตัวนำที่ได้จากการคำนวณ (Calculate minimum size, Select conductor cross section)
12. คลิก Report เพื่อพิมพ์ผลลัพธ์ และเก็บเป็นข้อมูล แสดงดังรูปที่ 4.11
13. คลิก Exit เมื่อต้องการออกจากวินโดว์การคำนวณ



**Ampacity Function Report**  
Conductor Ampacity Calculation (per IEEE Standard 80)

**Computation Results :**  
Minimum Conductor Size :                      Sq.mm.

**Computation Criteria :**  
Symmetrical RMS Current Magnitude :                      A.  
Maximum Fault Duration :                      s.  
Ambient Temperature :                      °C  
Maximum Allowable Temperature :                      °C

**Material Constant of Conductor :**  
Name :  
Reference Temperature for Material Constant :                      °C  
Thermal Coefficient to Resistivity at Reference Temperature :                      1/°C  
Fusing Temperature of Conductor :                      °C  
Resistivity of Conductor at Reference Temperature :                      μΩ-cm  
Thermal Capacity for unit value :                      J/cm<sup>3</sup>-°C

#### รูปที่ 4.11 วินโดว์รายงานการคำนวณหาขนาดของสายตัวนำ

#### 4.6.2.2 การป้อนข้อมูลและคำนวณหาค่าความต้านทานระบบต่อลงดิน

1. คลิก Calculation เลือก Grounding Resistance Calculation เพื่อหาค่าความต้านทานระบบต่อลงดิน หน้าจอ โปรแกรมที่ใช้ในการป้อนข้อมูลหาค่าความต้านทานระบบต่อลงดิน แสดงดังรูปที่ 4.12 ให้ทำการป้อนข้อมูลที่จะใช้ในการคำนวณหาค่าความต้านทานระบบต่อลงดิน

2. ป้อนค่าความต้านทานจำเพาะของดินชั้นบน, ค่าความต้านทานจำเพาะของดินชั้นล่าง และความลึกของดินชั้นบน (Soil Input) ที่ได้จากการคำนวณด้วยโปรแกรม CDEGS

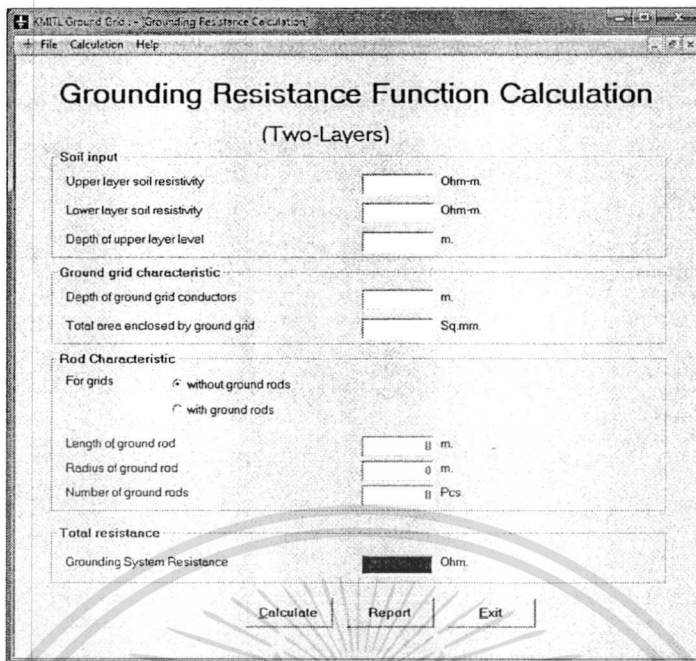
3. ป้อนค่าการจัดวางตำแหน่งความลึกจากผิวดินที่ฝังและขนาดพื้นที่ของกราวด์กริดที่ทำการออกแบบ (Ground grid characteristic)

4. ป้อนค่าความยาว จำนวน และรัศมีของกราวด์ร็อดที่ทำการออกแบบ (Rod characteristic)

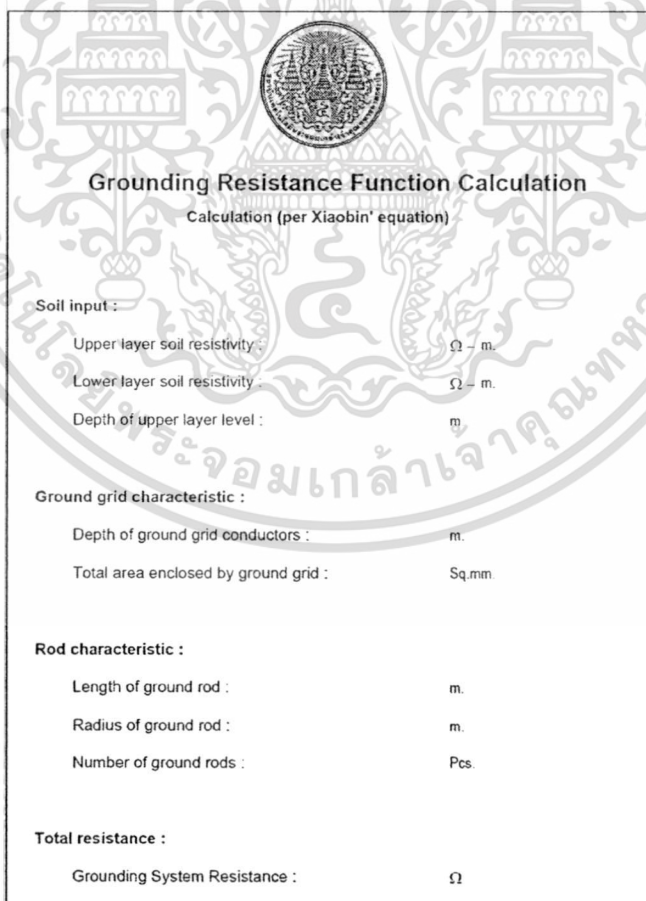
5. คลิก Calculate โปรแกรมจะแสดงค่าความต้านทานระบบต่อลงดินที่ได้จากการคำนวณ(Grounding System Resistance)

6. คลิก Report เพื่อพิมพ์ผลลัพธ์ และค่าที่ใช้ในการออกแบบเก็บเป็นข้อมูล แสดงดังรูปที่ 4.13

7. คลิก Exit เมื่อต้องการออกจากวินโดว์การคำนวณ



รูปที่ 4.12 วินโดว์การคำนวณหาค่าความต้านทานระบบต่อลงดิน



รูปที่ 4.13 วินโดว์รายงานการคำนวณหาค่าความต้านทานระบบต่อลงดิน

เอกสารนี้เป็นเอกสารที่สงวนไว้สำหรับการใช้งานเพื่อการศึกษาเท่านั้น ไม่อนุญาตให้นำไปใช้ประโยชน์ด้านการค้า ไม่ว่าจะกรณีใดๆ ทั้งสิ้น อีกทั้งห้ามมิให้ดัดแปลงเนื้อหา และต้องอ้างอิงถึงเจ้าของเอกสารทุกครั้งที่มีการนำไปใช้

### 4.6.2.3 การป้อนข้อมูลและคำนวณหาค่ากระแสกริดสูงสุด

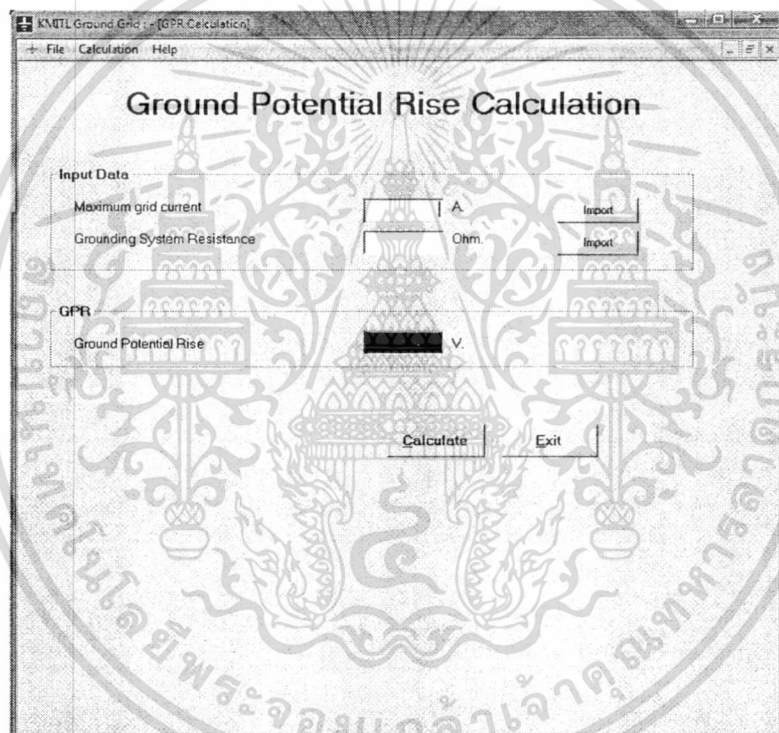
1. คลิก Calculation เลือก Grid Current Calculation เพื่อหาค่ากระแสกริดสูงสุด หน้าจอโปรแกรมที่ใช้ในการป้อนข้อมูลหาค่ากระแสกริดสูงสุด แสดงดังรูปที่ 4.14 ให้ทำการป้อนข้อมูลที่จะใช้ในการคำนวณหาค่ากระแสกริดสูงสุด (Input Data)

2. ป้อนค่ากระแสเสล็ดวงจรลงดิน (Single Line to Ground Fault)
3. ป้อนค่าตัวประกอบแบ่งกระแสผิดพ้อง (Fault current division factor)
4. ป้อนค่าระยะเวลาการไหลของกระแสเสล็ดวงจรลงดิน (Duration of fault current)
5. ป้อนค่าอัตราส่วน X/R (X/R ratio) และค่าความถี่ของระบบไฟฟ้า (System frequency)
6. คลิก Calculate โปรแกรมจะแสดงค่ากระแสกริดสูงสุดที่ได้จากการคำนวณ(Max Grid Current)
7. คลิก Exit เมื่อต้องการออกจากวินโดว์การคำนวณ

รูปที่ 4.14 วินโดว์การคำนวณหาค่ากระแสกริดสูงสุด

#### 4.6.2.4 การป้อนข้อมูลและคำนวณหา GPR

1. คลิก Calculation เลือก GPR Calculation เพื่อหาค่าแรงดันไฟฟ้าสูงสุดที่เกิดขึ้น หน้าจอโปรแกรมที่ใช้ในการป้อนข้อมูลหาค่าแรงดันไฟฟ้าสูงสุดที่เกิดขึ้น แสดงดังรูปที่ 4.15 ให้ทำการป้อนข้อมูลที่จะใช้ในการคำนวณหาค่าแรงดันไฟฟ้าสูงสุดที่เกิดขึ้น (Input Data)
2. ป้อนค่ากระแสกริดสูงสุดและค่าความต้านทานระบบต่อลงดิน (Maximum grid current, Grounding system calculation)
3. คลิก Calculate โปรแกรมจะแสดงค่าแรงดันไฟฟ้าสูงสุดที่เกิดขึ้น ที่ได้จากการคำนวณ (GPR)
4. คลิก Exit เมื่อต้องการออกจากวินโดว์การคำนวณ



รูปที่ 4.15 วินโดว์การคำนวณหาค่า GPR

#### 4.6.2.5 การป้อนข้อมูลและคำนวณหาแรงดันไฟฟ้าสัมผัสและแรงดันไฟฟ้า

##### ช่วงก้ำวสูงสุด

1. คลิก Calculation เลือก Touch and Step Voltage Calculation เพื่อหาค่าแรงดันไฟฟ้าสัมผัสและแรงดันไฟฟ้าช่วงก้ำวสูงสุด หน้าจอโปรแกรมที่ใช้ในการป้อนข้อมูลหาค่าแรงดันไฟฟ้าสัมผัสและแรงดันไฟฟ้าช่วงก้ำวสูงสุด แสดงดังรูปที่ 4.16 ให้ทำการป้อนข้อมูล (Input Data)

เอกสารนี้เป็นเอกสารที่สงวนไว้สำหรับการใช้งานเพื่อการศึกษาเท่านั้น ไม่อนุญาตให้นำไปใช้ประโยชน์ด้านการค้า ไม่ว่าจะกรณีใดๆ ทั้งสิ้น อีกทั้งห้ามมิให้ดัดแปลงเนื้อหา และต้องอ้างอิงถึงเจ้าของเอกสารทุกครั้งที่มีการนำไปใช้

รูปที่ 4.16 วินโดว์การคำนวณหาค่าแรงดันไฟฟ้าสัมผัสและแรงดันไฟฟ้าช่วงก้าวสูงสุด

รูปที่ 4.17 วินโดว์รายงานการคำนวณหาค่าแรงดันไฟฟ้าสัมผัส และแรงดันไฟฟ้าช่วงก้าวสูงสุด

เอกสารนี้เป็นเอกสารที่สงวนไว้สำหรับการใช้งานเพื่อการศึกษาเท่านั้น ไม่อนุญาตให้นำไปใช้ประโยชน์ด้านการค้า ไม่ว่าจะกรณีใดๆ ทั้งสิ้น อีกทั้งห้ามมิให้ดัดแปลงเนื้อหา และต้องอ้างอิงถึงเจ้าของเอกสารทุกครั้งที่มีการนำไปใช้

2. ป้อนค่าความต้านทานจำเพาะของดินแบบดินชั้นเดียว, ค่าความต้านทานจำเพาะของวัสดุปูผิวดิน และความหนาของวัสดุปูผิวดิน
3. ป้อนค่าระยะเวลาการไหลของกระแสลัดวงจรลงดิน (Duration of fault current)
4. เลือกน้ำหนักเฉลี่ยสำหรับมนุษย์ (50 กิโลกรัม หรือ 70 กิโลกรัม)
5. คลิก Calculate โปรแกรมจะแสดงค่าแรงดันไฟฟ้าสัมผัสและแรงดันไฟฟ้าช่วงก้าวสูงสุด ที่ได้จากการคำนวณ (Tolerable touch voltage, Tolerable step voltage)
6. คลิก Report เพื่อพิมพ์ผลลัพธ์ และค่าที่ใช้ในการออกแบบเก็บเป็นข้อมูลแสดงดังรูปที่ 4.17
7. คลิก Exit เมื่อต้องการออกจากวินโดว์การคำนวณ

#### 4.6.2.6 การป้อนข้อมูลและคำนวณหาแรงดันไฟฟ้าเมฆและแรงดันไฟฟ้าช่วงก้าว

1. คลิก Calculation เลือก Maximum mesh and step voltage Calculation เพื่อหาค่าแรงดันไฟฟ้าเมฆและแรงดันไฟฟ้าช่วงก้าวที่เกิดขึ้นจริงในสถานีไฟฟ้า หน้าจอโปรแกรมที่ใช้ในการป้อนข้อมูลหาค่าแรงดันไฟฟ้าเมฆและแรงดันไฟฟ้าช่วงก้าว แสดงดังรูปที่ 4.18 ให้ทำการป้อนข้อมูล (Input Data)

รูปที่ 4.18 วินโดว์การคำนวณหาแรงดันไฟฟ้าเมฆและแรงดันไฟฟ้าช่วงก้าวที่เกิดขึ้นจริง เอกสารนี้เป็นเอกสารที่สงวนไว้สำหรับการใช้งานเพื่อการศึกษาเท่านั้น ไม่อนุญาตให้นำไปใช้ประโยชน์ด้านการค้า ไม่ว่าจะกรณีใดๆ ทั้งสิ้น อีกทั้งห้ามมิให้ดัดแปลงเนื้อหา และต้องอ้างอิงถึงเจ้าของเอกสารทุกครั้งที่มีการนำไปใช้

กริดสูงสุด

ศูนย์กลางของสายตัวนำที่ทำการออกแบบ (Ground grid characteristic)

characteristic)

ช่วงก๊าวที่เกิดขึ้นและประมาณการราคาก่อสร้างระบบต่อลงดินที่ทำการออกแบบ (Mesh voltage, Step voltage, Cost estimation)

แสดงดังรูปที่ 4.19

2. ป้อนค่าความต้านทานจำเพาะของดินแบบดินชั้นเดียวและค่ากระแส

3. เลือกลักษณะรูปร่างกรวดกริด (Select Grid Shaped)

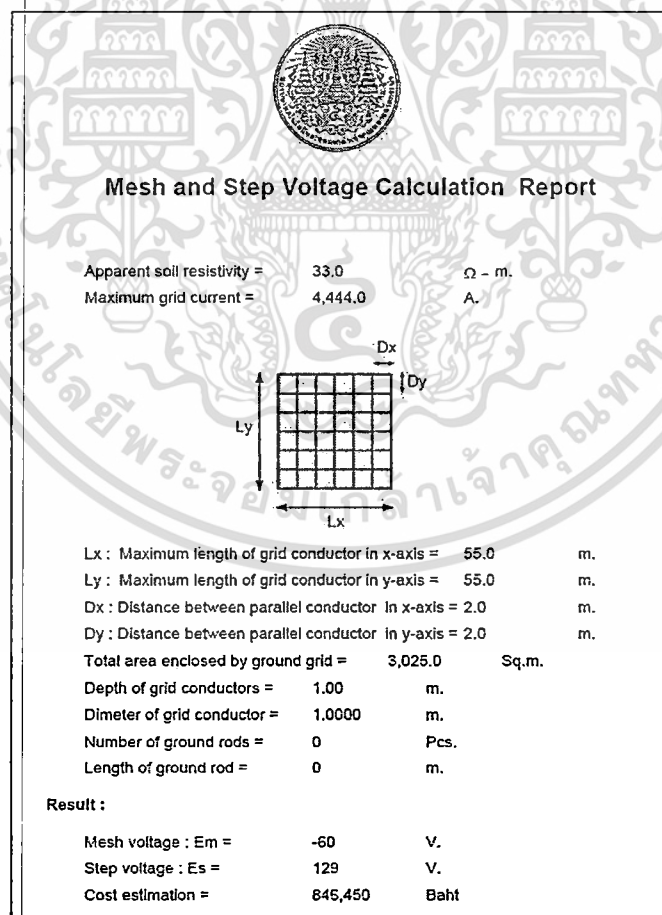
4. ป้อนค่าการจัดวางตำแหน่งความลึกจากผิวดินที่ฝังและเส้นผ่าน

5. เลือกการติดตั้งกรวดกริด, ป้อนค่าความยาวและจำนวน (Rod

6. คลิก Calculate โปรแกรมจะแสดงค่าแรงดันไฟฟ้าเมฆ, แรงดันไฟฟ้า

7. คลิก Report เพื่อพิมพ์ผลลัพธ์ และค่าที่ใช้ในการออกแบบเก็บเป็นข้อมูล

8. คลิก Exit เมื่อต้องการออกจากวินโดว์การคำนวณ



รูปที่ 4.19 วินโดว์การคำนวณหาแรงดันไฟฟ้าเมฆและแรงดันไฟฟ้าช่วงก๊าวที่เกิดขึ้นจริง

เอกสารนี้เป็นเอกสารที่สงวนไว้สำหรับการใช้งานเพื่อการศึกษาเท่านั้น ไม่อนุญาตให้นำไปใช้ประโยชน์ด้านการค้า

ไม่ว่ากรณีใดๆ ทั้งสิ้น อีกทั้งห้ามมิให้ดัดแปลงเนื้อหา และต้องอ้างอิงถึงเจ้าของเอกสารทุกครั้งที่มีการนำไปใช้

## บทที่ 5

# ผลการออกแบบระบบต่อลงดินของสถานีไฟฟ้าย่อย

### 5.1 ราคาอุปกรณ์และค่าติดตั้งระบบต่อลงดิน

ราคาอุปกรณ์และค่าติดตั้งระบบต่อลงดินเป็นราคากลางปี 2554 สำหรับงานก่อสร้างสถานีไฟฟ้าย่อย ระบบ 115/22 กิโลโวลต์ แบบติดตั้งภายนอก ของกองออกแบบสถานีไฟฟ้าการไฟฟ้าส่วนภูมิภาค มีรายละเอียดดังนี้ [2]

ตารางที่ 5.1 ราคาอุปกรณ์และค่าติดตั้งระบบต่อลงดิน

| รายการ   | ค่าอุปกรณ์<br>(บาท/เมตร) | ค่าติดตั้ง<br>(บาท/เมตร) |
|--|--------------------------|--------------------------|
| Copper, commercial hard-drawn                          | 320                      | 70                       |
| Ground rod, copper cover steel, dia. 16 mm., 6 m. long | 1,130                    | 930                      |
| Ground rod, copper cover steel, dia. 16 mm., 3 m. long | 320                      | 70                       |

### 5.2 ผลการทดลองออกแบบระบบต่อลงดินของสถานีไฟฟ้าย่อย

ในหัวข้อนี้นำเสนอผลการทดลองออกแบบระบบต่อลงดินของสถานีไฟฟ้าย่อย โดยทำการปรับเปลี่ยนระยะห่างระหว่างตัวนำ(D) จำนวนและความยาวแท่งกราวด์รูด เพื่อพิจารณาถึงผลกระทบที่มีต่อค่าใช้จ่ายในการก่อสร้างระบบต่อลงดิน

#### 5.2.1 ข้อมูลเบื้องต้นที่ใช้ในการทดลองออกแบบ

ข้อมูลที่ใช้ในการทดลองออกแบบระบบต่อลงดินมีดังต่อไปนี้

5.2.1.1. รูปแบบของกราวด์กริด จะทดลองทำการออกแบบ 3 รูปทรงคือ

- รูปทรงสี่เหลี่ยมจัตุรัส
- รูปทรงสี่เหลี่ยมผืนผ้า
- รูปทรงตัวแอล

5.2.1.2. ขนาดพื้นที่ของสถานีไฟฟ้าย่อยจะกำหนดให้เท่ากับ 10,000 ตารางเมตร

5.2.1.3. ระยะเวลาที่เกิดกระแสลัดวงจร ( $t_p$ ) และระยะเวลาที่กระแสไฟฟ้าไหล

ผ่านร่างกาย ( $t_g$ ) กำหนดให้เท่ากับ 0.6 วินาที

5.2.1.4. น้ำหนักเฉลี่ยของมนุษย์ที่ใช้เป็นเกณฑ์ในการพิจารณาความปลอดภัย กำหนดให้ใช้ค่าเท่ากับ 50 กิโลกรัม

5.2.1.5. ชนิดของตัวนำที่ใช้ในระบบต่อลงดินกำหนดให้ใช้ตัวนำทองแดงชนิด Commercial hard drawn

5.2.1.6. อุณหภูมิของสภาวะแวดล้อม ( $T_a$ ) เท่ากับ 40 องศาเซลเซียส

5.2.1.7. ค่าความต้านทานจำเพาะของดิน ( $\rho$ ) ทำการทดลองออกแบบที่ค่าความต้านทานจำเพาะเท่ากับ 50 โอห์ม-เมตร

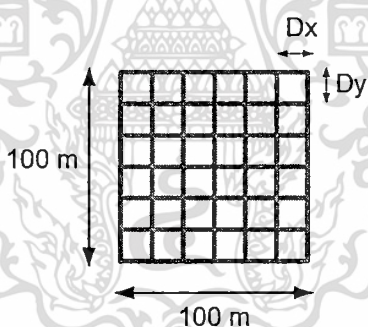
5.2.1.8. ค่าความต้านทานจำเพาะของวัสดุที่ใช้โรยผิวดิน ( $\rho_s$ ) กำหนดให้เท่ากับ 3,000 โอห์ม-เมตร

5.2.1.9. ความหนาของวัสดุที่ใช้โรยผิวดิน ( $h_s$ ) หนา 0.1 เมตร

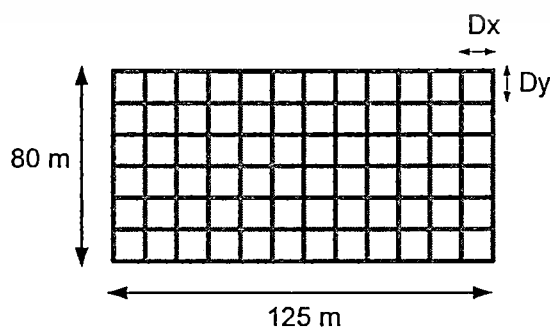
5.2.1.10. ความลึกที่ใช้ฝังกราวด์ริค ( $h_g$ ) กำหนดให้ใช้เท่ากับ 0.5 เมตร

5.2.1.11. ขนาดตัวนำที่เลือกใช้ในระบบต่อลงดิน ( $A_{mm}^2$ ) กำหนดให้เท่ากับ 95 ตารางมิลลิเมตร

5.2.1.12. กระแสลัดขีดพร้อมสูงสุด กำหนดให้เท่ากับ 20,000 แอมแปร์

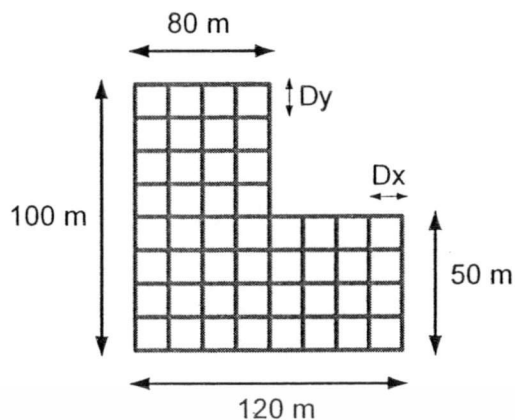


รูปที่ 5.1 กราวด์กริดรูปทรงสี่เหลี่ยมจัตุรัสมีขนาดพื้นที่ 10,000 ตารางเมตร



รูปที่ 5.2 กราวด์กริดรูปทรงสี่เหลี่ยมผืนผ้ามีขนาดพื้นที่ 10,000 ตารางเมตร

เอกสารนี้เป็นเอกสารที่สงวนลิขสิทธิ์ไว้สำหรับใช้ในงานเพื่อการศึกษาเท่านั้น เมื่อผู้ผู้ใดเห็นไปใช้ประโยชน์ด้านการค้า ไม่ว่าจะกรณีใดๆ ทั้งสิ้น อีกทั้งห้ามมิให้ดัดแปลงเนื้อหา และต้องอ้างอิงถึงเจ้าของเอกสารทุกครั้งที่มีการนำไปใช้



รูปที่ 5.3 กราวด์กริดรูปทรงตัวแอลมีขนาดพื้นที่ 10,000 ตารางเมตร

### 5.2.2 ผลลัพธ์จากการทดลองออกแบบระบบต่อลงดิน

การทดลองออกแบบระบบต่อลงดินตามข้อมูลเบื้องต้นที่กำหนดไว้ในข้อที่ 5.2.1 จะได้ผลการออกแบบดังแสดงในตารางที่ 5.3

ตารางที่ 5.2 ผลการออกแบบกราวด์กริดรูปทรงสี่เหลี่ยมจัตุรัส  
ที่ค่าความต้านทานจำเพาะเท่ากับ 50 โอห์ม-เมตร และ ไม่มีแท่งกราวด์รูด

| $\rho$<br>( $\Omega$ -m) | $D_x$<br>(m) | $D_y$<br>(m) | $E_{touch50}$<br>(V) | $E_m$<br>(V) | $E_{step50}$<br>(V) | $E_s$<br>(V) | Design result | Cost<br>(Baht) |
|--------------------------|--------------|--------------|----------------------|--------------|---------------------|--------------|---------------|----------------|
| 50                       | 10           | 10           | 618                  | 990          | 2,023               | 524          | not safe      | 858,000        |
|                          | 9            | 9            | 618                  | 919          | 2,023               | 519          | not safe      | 944,667        |
|                          | 8            | 8            | 618                  | 844          | 2,023               | 516          | not safe      | 1,053,000      |
|                          | 7            | 7            | 618                  | 766          | 2,023               | 515          | not safe      | 1,192,286      |
|                          | 6            | 6            | 618                  | 681          | 2,023               | 517          | not safe      | 1,378,000      |
|                          | 5            | 5            | 618                  | 589          | 2,023               | 524          | safe          | 1,638,000      |
|                          | 4            | 4            | 618                  | 487          | 2,023               | 540          | safe          | 2,028,000      |
|                          | 3            | 3            | 618                  | 370          | 2,023               | 573          | safe          | 2,678,000      |
|                          | 2            | 2            | 618                  | 230          | 2,023               | 648          | safe          | 3,978,000      |
|                          | 1            | 1            | 618                  | 58           | 2,023               | 874          | safe          | 7,878,000      |

เอกสารนี้เป็นเอกสารที่สงวนไว้สำหรับการใช้งานเพื่อการศึกษาเท่านั้น ไม่อนุญาตให้นำไปใช้ประโยชน์ด้านการค้า  
ไม่ว่ากรณีใดๆ ทั้งสิ้น อีกทั้งห้ามมิให้ดัดแปลงเนื้อหา และต้องอ้างอิงถึงเจ้าของเอกสารทุกครั้งที่มีการนำไปใช้

ตารางที่ 5.3 ผลการออกแบบกรวดกริครูปทรงสี่เหลี่ยมจัตุรัส

ที่ค่าความต้านทานจำเพาะเท่ากับ โอห์ม-เมตร และมีแท่งกรวดร็อดยาว 3 เมตร

| $\rho$<br>( $\Omega$ -m) | $D_x$<br>(m) | $D_y$<br>(m) | $E_{touch50}$<br>(V) | $E_m$<br>(V) | $E_{step50}$<br>(V) | $E_s$<br>(V) | Design<br>result | Rods<br>(No.) | Cost<br>(Baht) |
|--------------------------|--------------|--------------|----------------------|--------------|---------------------|--------------|------------------|---------------|----------------|
| 50                       | 10           | 10           | 618                  | 617          | 2,023               | 405          | safe             | 190           | 1,116,400      |
|                          | 9            | 9            | 618                  | 617          | 2,023               | 427          | safe             | 153           | 1,152,747      |
|                          | 8            | 8            | 618                  | 617          | 2,023               | 456          | safe             | 105           | 1,195,800      |
|                          | 7            | 7            | 618                  | 617          | 2,023               | 492          | safe             | 41            | 1,248,046      |
|                          | 6            | 6            | 618                  | 577          | 2,023               | 516          | safe             | 1             | 1,379,360      |
|                          | 5            | 5            | 618                  | 589          | 2,023               | 524          | safe             | 0             | 1,638,000      |
|                          | 4            | 4            | 618                  | 487          | 2,023               | 540          | safe             | 0             | 2,028,000      |
|                          | 3            | 3            | 618                  | 370          | 2,023               | 573          | safe             | 0             | 2,678,000      |
|                          | 2            | 2            | 618                  | 230          | 2,023               | 648          | safe             | 0             | 3,978,000      |
|                          | 1            | 1            | 618                  | 58           | 2,023               | 874          | safe             | 0             | 7,878,000      |

ตารางที่ 5.4 ผลการออกแบบกรวดกริครูปทรงสี่เหลี่ยมจัตุรัส

ที่ค่าความต้านทานจำเพาะเท่ากับ 50 โอห์ม-เมตร และมีแท่งกรวดร็อดยาว 6 เมตร

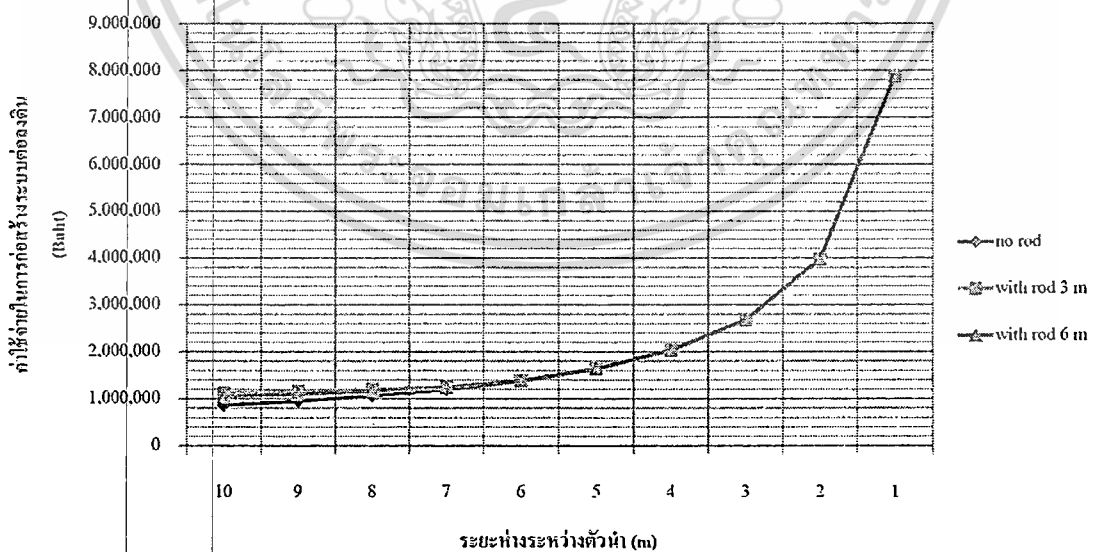
| $\rho$<br>( $\Omega$ -m) | $D_x$<br>(m) | $D_y$<br>(m) | $E_{touch50}$<br>(V) | $E_m$<br>(V) | $E_{step50}$<br>(V) | $E_s$<br>(V) | Design<br>result | Rods<br>(3 m) | Cost<br>(Baht) |
|--------------------------|--------------|--------------|----------------------|--------------|---------------------|--------------|------------------|---------------|----------------|
| 50                       | 10           | 10           | 618                  | 617          | 2,023               | 407          | safe             | 93            | 1,049,580      |
|                          | 9            | 9            | 618                  | 617          | 2,023               | 429          | safe             | 75            | 1,099,167      |
|                          | 8            | 8            | 618                  | 616          | 2,023               | 456          | safe             | 52            | 1,160,120      |
|                          | 7            | 7            | 618                  | 616          | 2,023               | 492          | safe             | 21            | 1,235,546      |
|                          | 6            | 6            | 618                  | 576          | 2,023               | 516          | safe             | 1             | 1,380,060      |
|                          | 5            | 5            | 618                  | 589          | 2,023               | 524          | safe             | 0             | 1,638,000      |
|                          | 4            | 4            | 618                  | 487          | 2,023               | 540          | safe             | 0             | 2,028,000      |
|                          | 3            | 3            | 618                  | 370          | 2,023               | 573          | safe             | 0             | 2,678,000      |
|                          | 2            | 2            | 618                  | 230          | 2,023               | 648          | safe             | 0             | 3,978,000      |
|                          | 1            | 1            | 618                  | 58           | 2,023               | 874          | safe             | 0             | 7,878,000      |

เอกสารนี้เป็นเอกสารที่สงวนไว้สำหรับการใช้งานเพื่อการศึกษาเท่านั้น ไม่อนุญาตให้นำไปใช้ประโยชน์ด้านการค้า

ไม่ว่ากรณีใดๆ ทั้งสิ้น อีกทั้งห้ามมิให้ดัดแปลงเนื้อหา และต้องอ้างอิงถึงเจ้าของเอกสารทุกครั้งที่มีการนำไปใช้

จากผลลัพธ์ที่ได้จากการทดลองออกแบบระบบต่อลงดินในตารางที่ 5.3, 5.4 และ 5.5 เป็นการออกแบบตะแกรงต่อลงดินในรูปทรงสี่เหลี่ยมจัตุรัส พบว่าเมื่อทำการเปลี่ยนแปลงระยะห่างระหว่างตัวนำที่ใช้ในระบบต่อลงดินมีค่าลดลง จะส่งผลให้ค่าใช้จ่ายในการก่อสร้างระบบต่อลงดินมีค่ามากขึ้น และพบว่าระบบต่อลงดินที่ออกแบบจะมีความปลอดภัยเมื่อค่าแรงดันไฟฟ้าเมฆสูงสุดที่เกิดขึ้นมีค่าต่ำกว่าค่าแรงดันไฟฟ้าสัมผัสสูงสุดที่มนุษย์สามารถทนได้ โดยที่

1. กรณี ไม่มีแท่งกราวด์รูด พบว่าที่ระยะห่างระหว่างตัวนำเท่ากับ 5 เมตร ทำให้การออกแบบระบบต่อลงดินมีความปลอดภัยพร้อมกับมีค่าใช้จ่ายในการก่อสร้างระบบต่อลงดินน้อยที่สุดเท่ากับ 1,638,000.- บาท
2. กรณี เชื่อมต่อแท่งกราวด์รูดยาว 3 เมตร พบว่าที่ระยะห่างระหว่างตัวนำเท่ากับ 10 เมตร และเชื่อมต่อแท่งกราวด์รูดยาว 3 เมตร จำนวน 190 แท่ง ทำให้การออกแบบระบบต่อลงดินมีความปลอดภัยพร้อมกับมีค่าใช้จ่ายในการก่อสร้างระบบต่อลงดินน้อยที่สุดเท่ากับ 1,116,400.- บาท
3. กรณี เชื่อมต่อแท่งกราวด์รูดยาว 6 เมตร พบว่าที่ระยะห่างระหว่างตัวนำเท่ากับ 10 เมตร และเชื่อมต่อแท่งกราวด์รูดยาว 6 เมตร จำนวน 93 แท่ง ทำให้การออกแบบระบบต่อลงดินมีความปลอดภัยพร้อมกับมีค่าใช้จ่ายในการก่อสร้างระบบต่อลงดินน้อยที่สุดเท่ากับ 1,049,580.- บาท
4. พบว่ากรณีที่ระยะห่างระหว่างตัวนำเท่ากับ 10 เมตร และเชื่อมต่อแท่งกราวด์รูดยาว 6 เมตร จำนวน 93 แท่ง นั้น สามารถประหยัดค่าใช้จ่ายมากที่สุด โดยเมื่อเทียบค่าใช้จ่ายกับกรณีที่ระยะห่างระหว่างตัวนำเท่ากับ 5 เมตร และไม่มีกราวด์รูด คิดเป็นเงินเท่ากับ 588,420.- บาท (1,638,000-1,049,580)



รูปที่ 5.4 ค่าใช้จ่ายในการก่อสร้างระบบต่อลงดินเมื่อมีการเปลี่ยนแปลง

ระยะห่างระหว่างตัวนำของกราวด์กริดรูปทรงสี่เหลี่ยมจัตุรัส

ตารางที่ 5.5 ผลการออกแบบกรวดกริรูปทรงสี่เหลี่ยมผืนผ้า

ที่ค่าความต้านทานจำเพาะเท่ากับ 50 โอห์ม-เมตร และไม่มีแท่งกรวดรัด

| $\rho$<br>( $\Omega$ -m) | $D_x$<br>(m) | $D_y$<br>(m) | $E_{touch50}$<br>(V) | $E_m$<br>(V) | $E_{step50}$<br>(V) | $E_s$<br>(V) | Design result | Cost<br>(Baht) |
|--------------------------|--------------|--------------|----------------------|--------------|---------------------|--------------|---------------|----------------|
| 50                       | 10           | 10           | 618                  | 982          | 2,023               | 519          | not safe      | 859,950        |
|                          | 9            | 9            | 618                  | 912          | 2,023               | 514          | not safe      | 946,617        |
|                          | 8            | 8            | 618                  | 838          | 2,023               | 511          | not safe      | 1,054,950      |
|                          | 7            | 7            | 618                  | 760          | 2,023               | 510          | not safe      | 1,194,236      |
|                          | 6            | 6            | 618                  | 676          | 2,023               | 512          | not safe      | 1,379,950      |
|                          | 5            | 5            | 618                  | 585          | 2,023               | 518          | safe          | 1,639,950      |
|                          | 4            | 4            | 618                  | 484          | 2,023               | 534          | safe          | 2,029,950      |
|                          | 3            | 3            | 618                  | 368          | 2,023               | 567          | safe          | 2,679,950      |
|                          | 2            | 2            | 618                  | 229          | 2,023               | 640          | safe          | 3,979,950      |
|                          | 1            | 1            | 618                  | 59           | 2,023               | 863          | safe          | 7,879,950      |

ตารางที่ 5.6 ผลการออกแบบกรวดกริรูปทรงสี่เหลี่ยมผืนผ้า

ที่ค่าความต้านทานจำเพาะเท่ากับ 50 โอห์ม-เมตร และมีแท่งกรวดรัดยาว 3 เมตร

| $\rho$<br>( $\Omega$ -m) | $D_x$<br>(m) | $D_y$<br>(m) | $E_{touch50}$<br>(V) | $E_m$<br>(V) | $E_{step50}$<br>(V) | $E_s$<br>(V) | Design result | Rods<br>(No.) | Cost<br>(Baht) |
|--------------------------|--------------|--------------|----------------------|--------------|---------------------|--------------|---------------|---------------|----------------|
| 50                       | 10           | 10           | 618                  | 617          | 2,023               | 404          | safe          | 185           | 1,111,550      |
|                          | 9            | 9            | 618                  | 617          | 2,023               | 426          | safe          | 148           | 1,147,897      |
|                          | 8            | 8            | 618                  | 617          | 2,023               | 454          | safe          | 100           | 1,190,950      |
|                          | 7            | 7            | 618                  | 617          | 2,023               | 490          | safe          | 36            | 1,243,196      |
|                          | 6            | 6            | 618                  | 572          | 2,023               | 511          | safe          | 1             | 1,381,310      |
|                          | 5            | 5            | 618                  | 585          | 2,023               | 518          | safe          | 0             | 1,639,950      |
|                          | 4            | 4            | 618                  | 484          | 2,023               | 534          | safe          | 0             | 2,029,950      |
|                          | 3            | 3            | 618                  | 368          | 2,023               | 567          | safe          | 0             | 2,679,950      |
|                          | 2            | 2            | 618                  | 229          | 2,023               | 640          | safe          | 0             | 3,979,950      |
|                          | 1            | 1            | 618                  | 59           | 2,023               | 863          | safe          | 0             | 7,879,950      |

เอกสารนี้เป็นเอกสารที่สงวนไว้สำหรับการใช้งานเพื่อการศึกษาเท่านั้น ไม่อนุญาตให้นำไปใช้ประโยชน์ด้านการค้า  
ไม่ว่ากรณีใดๆ ทั้งสิ้น อีกทั้งห้ามมิให้ดัดแปลงเนื้อหา และต้องอ้างอิงถึงเจ้าของเอกสารทุกครั้งที่มีการนำไปใช้

### ตารางที่ 5.7 ผลการออกแบบกราวด์กริดรูปทรงสี่เหลี่ยมผืนผ้า

ที่ค่าความต้านทานจำเพาะเท่ากับ 50 โอห์ม-เมตร และมีแท่งกราวด์รูดยาว 6 เมตร

| $\rho$<br>( $\Omega$ -m) | $D_x$<br>(m) | $D_y$<br>(m) | $E_{touch50}$<br>(V) | $E_m$<br>(V) | $E_{step50}$<br>(V) | $E_s$<br>(V) | Design<br>result | Rods<br>(No.) | Cost<br>(Baht) |
|--------------------------|--------------|--------------|----------------------|--------------|---------------------|--------------|------------------|---------------|----------------|
| 50                       | 10           | 10           | 618                  | 617          | 2,023               | 405          | safe             | 91            | 1,047,410      |
|                          | 9            | 9            | 618                  | 617          | 2,023               | 427          | safe             | 73            | 1,096,997      |
|                          | 8            | 8            | 618                  | 617          | 2,023               | 455          | safe             | 49            | 1,155,890      |
|                          | 7            | 7            | 618                  | 616          | 2,023               | 490          | safe             | 18            | 1,231,316      |
|                          | 6            | 6            | 618                  | 572          | 2,023               | 511          | safe             | 1             | 1,382,010      |
|                          | 5            | 5            | 618                  | 585          | 2,023               | 518          | safe             | 0             | 1,639,950      |
|                          | 4            | 4            | 618                  | 484          | 2,023               | 534          | safe             | 0             | 2,029,950      |
|                          | 3            | 3            | 618                  | 368          | 2,023               | 567          | safe             | 0             | 2,679,950      |
|                          | 2            | 2            | 618                  | 229          | 2,023               | 640          | safe             | 0             | 3,979,950      |
|                          | 1            | 1            | 618                  | 59           | 2,023               | 863          | safe             | 0             | 7,879,950      |

จากผลลัพธ์ที่ได้จากการทดลองออกแบบระบบต่อลงดินในตารางที่ 5.6, 5.7 และ 5.8 เป็นการออกแบบตะแกรงต่อลงดินในรูปทรงสี่เหลี่ยมผืนผ้า พบว่าเมื่อทำการเปลี่ยนแปลงระยะห่างระหว่างตัวนำที่ใช้ในระบบต่อลงดินมีค่าลดลง จะส่งผลให้ค่าใช้จ่ายในการก่อสร้างระบบต่อลงดินมีค่ามากขึ้น และพบว่าระบบต่อลงดินที่ออกแบบจะมีความปลอดภัยเมื่อค่าแรงดันไฟฟ้าเมฆสูงสุดที่เกิดขึ้นมีค่าต่ำกว่าค่าแรงดันไฟฟ้าสัมผัสสูงสุดที่มนุษย์สามารถทนได้ โดยที่

1. กรณีไม่มีแท่งกราวด์รูด พบว่าที่ระยะห่างระหว่างตัวนำเท่ากับ 5 เมตร ทำให้การออกแบบระบบต่อลงดินมีความปลอดภัยพร้อมกับมีค่าใช้จ่ายในการก่อสร้างระบบต่อลงดินน้อยที่สุดเท่ากับ 1,639,950.- บาท

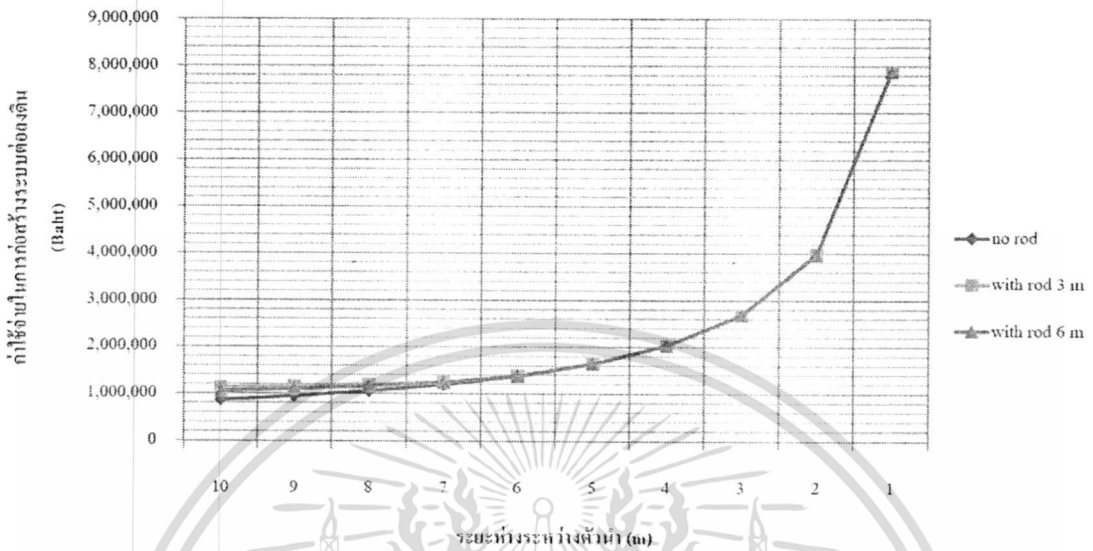
2. กรณีเชื่อมต่อแท่งกราวด์รูดยาว 3 เมตร ที่ระยะห่างระหว่างตัวนำเท่ากับ 10 เมตร และเชื่อมต่อแท่งกราวด์รูดยาว 3 เมตร จำนวน 185 แท่ง ทำให้การออกแบบระบบต่อลงดินมีความปลอดภัยพร้อมกับมีค่าใช้จ่ายในการก่อสร้างระบบต่อลงดินน้อยที่สุดเท่ากับ 1,111,550.- บาท

3. กรณีเชื่อมต่อแท่งกราวด์รูดยาว 6 เมตร ที่ระยะห่างระหว่างตัวนำเท่ากับ 10 เมตร และเชื่อมต่อแท่งกราวด์รูดยาว 6 เมตร จำนวน 91 แท่ง ทำให้การออกแบบระบบต่อลงดินมีความปลอดภัยพร้อมกับมีค่าใช้จ่ายในการก่อสร้างระบบต่อลงดินน้อยที่สุดเท่ากับ 1,047,410.- บาท

4. พบว่ากรณีที่ระยะห่างระหว่างตัวนำเท่ากับ 10 เมตร และเชื่อมต่อแท่งกราวด์รูดยาว 6 เมตร จำนวน 91 แท่ง นั้น สามารถประหยัดค่าใช้จ่ายมากที่สุด โดยเมื่อเทียบค่าใช้จ่ายกับกรณีที่

เอกสารนี้เป็นเอกสารที่สงวนไว้สำหรับการใช้งานเพื่อการศึกษาเท่านั้น ไม่อนุญาตให้นำไปใช้ประโยชน์ด้านการค้า ไม่ว่าจะกรณีใดๆ ทั้งสิ้น อีกทั้งห้ามมิให้ดัดแปลงเนื้อหา และต้องอ้างอิงถึงเจ้าของเอกสารทุกครั้งที่มีการนำไปใช้

ระยะห่างระหว่างตัวนำเท่ากับ 5 เมตร และไม่มีกราวด์รูด คิดเป็นเงินเท่ากับ 592,540.- บาท (1,639,950-1,047,410)



รูปที่ 5.5 ค่าใช้จ่ายในการก่อสร้างระบบต่อลงดินเมื่อมีการเปลี่ยนแปลงระยะห่างระหว่างตัวนำของกราวด์กริดรูปทรงสี่เหลี่ยมผืนผ้า

ตารางที่ 5.8 ผลการออกแบบกราวด์กริดรูปทรงตัวแอล

ที่ค่าความต้านทานจำเพาะเท่ากับ 50 โอห์ม-เมตร และไม่มีแท่งกราวด์รูด

| $\rho$<br>( $\Omega$ -m) | $D_x$<br>(m) | $D_y$<br>(m) | $E_{touch50}$<br>(V) | $E_m$<br>(V) | $E_{step50}$<br>(V) | $E_s$<br>(V) | Design result | Cost<br>(Baht) |
|--------------------------|--------------|--------------|----------------------|--------------|---------------------|--------------|---------------|----------------|
| 50                       | 10           | 10           | 618                  | 1,020        | 2,023               | 545          | not safe      | 865,800        |
|                          | 9            | 9            | 618                  | 948          | 2,023               | 541          | not safe      | 952,467        |
|                          | 8            | 8            | 618                  | 872          | 2,023               | 539          | not safe      | 1,060,800      |
|                          | 7            | 7            | 618                  | 791          | 2,023               | 538          | not safe      | 1,200,086      |
|                          | 6            | 6            | 618                  | 704          | 2,023               | 541          | not safe      | 1,385,800      |
|                          | 5            | 5            | 618                  | 609          | 2,023               | 550          | safe          | 1,645,800      |
|                          | 4            | 4            | 618                  | 503          | 2,023               | 567          | safe          | 2,035,800      |
|                          | 3            | 3            | 618                  | 381          | 2,023               | 603          | safe          | 2,685,800      |
|                          | 2            | 2            | 618                  | 235          | 2,023               | 684          | safe          | 3,985,800      |
| 1                        | 1            | 618          | 53                   | 2,023        | 924                 | safe         | 7,885,800     |                |

เอกสารนี้เป็นเอกสารที่สงวนไว้สำหรับการใช้งานเพื่อการศึกษาเท่านั้น ไม่อนุญาตให้นำไปใช้ประโยชน์ด้านการค้า

ไม่ว่ากรณีใดๆ ทั้งสิ้น อีกทั้งห้ามมิให้ดัดแปลงเนื้อหา และต้องอ้างอิงถึงเจ้าของเอกสารทุกครั้งที่มีการนำไปใช้

ตารางที่ 5.9 ผลการออกแบบกราวด์กริดรูปทรงตัวแอล

ที่ค่าความต้านทานจำเพาะเท่ากับ 50 โอห์ม-เมตร และมีแท่งกราวด์รูดยาว 3 เมตร

| $\rho$<br>( $\Omega$ -m) | $D_x$<br>(m) | $D_y$<br>(m) | $E_{touch50}$<br>(V) | $E_m$<br>(V) | $E_{step50}$<br>(V) | $E_s$<br>(V) | Design<br>result | Rods<br>(No.) | Cost<br>(Baht) |
|--------------------------|--------------|--------------|----------------------|--------------|---------------------|--------------|------------------|---------------|----------------|
| 50                       | 10           | 10           | 618                  | 617          | 2,023               | 412          | safe             | 211           | 1,152,760      |
|                          | 9            | 9            | 618                  | 617          | 2,023               | 435          | safe             | 175           | 1,190,467      |
|                          | 8            | 8            | 618                  | 617          | 2,023               | 465          | safe             | 127           | 1,233,520      |
|                          | 7            | 7            | 618                  | 617          | 2,023               | 503          | safe             | 64            | 1,287,126      |
|                          | 6            | 6            | 618                  | 596          | 2,023               | 541          | safe             | 1             | 1,387,160      |
|                          | 5            | 5            | 618                  | 609          | 2,023               | 550          | safe             | 0             | 1,645,800      |
|                          | 4            | 4            | 618                  | 503          | 2,023               | 567          | safe             | 0             | 2,035,800      |
|                          | 3            | 3            | 618                  | 381          | 2,023               | 603          | safe             | 0             | 2,685,800      |
|                          | 2            | 2            | 618                  | 235          | 2,023               | 684          | safe             | 0             | 3,985,800      |
|                          | 1            | 1            | 618                  | 53           | 2,023               | 924          | safe             | 0             | 7,885,800      |

ตารางที่ 5.10 ผลการออกแบบกราวด์กริดรูปทรงตัวแอล

ที่ค่าความต้านทานจำเพาะเท่ากับ 50 โอห์ม-เมตร และมีแท่งกราวด์รูดยาว 6 เมตร

| $\rho$<br>( $\Omega$ -m) | $D_x$<br>(m) | $D_y$<br>(m) | $E_{touch50}$<br>(V) | $E_m$<br>(V) | $E_{step50}$<br>(V) | $E_s$<br>(V) | Design<br>result | Rods<br>(No.) | Cost<br>(Baht) |
|--------------------------|--------------|--------------|----------------------|--------------|---------------------|--------------|------------------|---------------|----------------|
| 50                       | 10           | 10           | 218                  | 617          | 2,023               | 413          | safe             | 104           | 1,080,040      |
|                          | 9            | 9            | 218                  | 617          | 2,023               | 437          | safe             | 86            | 1,129,627      |
|                          | 8            | 8            | 218                  | 617          | 2,023               | 465          | safe             | 63            | 1,190,580      |
|                          | 7            | 7            | 218                  | 616          | 2,023               | 503          | safe             | 32            | 1,266,006      |
|                          | 6            | 6            | 218                  | 595          | 2,023               | 540          | safe             | 1             | 1,387,860      |
|                          | 5            | 5            | 218                  | 609          | 2,023               | 550          | safe             | 0             | 1,645,800      |
|                          | 4            | 4            | 218                  | 503          | 2,023               | 567          | safe             | 0             | 2,035,800      |
|                          | 3            | 3            | 218                  | 381          | 2,023               | 603          | safe             | 0             | 2,685,800      |
|                          | 2            | 2            | 218                  | 235          | 2,023               | 684          | safe             | 0             | 3,985,800      |
|                          | 1            | 1            | 218                  | 53           | 2,023               | 924          | safe             | 0             | 7,885,800      |

เอกสารนี้เป็นเอกสารที่สงวนไว้สำหรับการใช้งานเพื่อการศึกษาเท่านั้น ไม่อนุญาตให้นำไปใช้ประโยชน์ด้านการค้า  
ไม่ว่ากรณีใดๆ ทั้งสิ้น อีกทั้งห้ามมิให้ตัดแปลงเนื้อหา และต้องอ้างอิงถึงเจ้าของเอกสารทุกครั้งที่มีการนำไปใช้

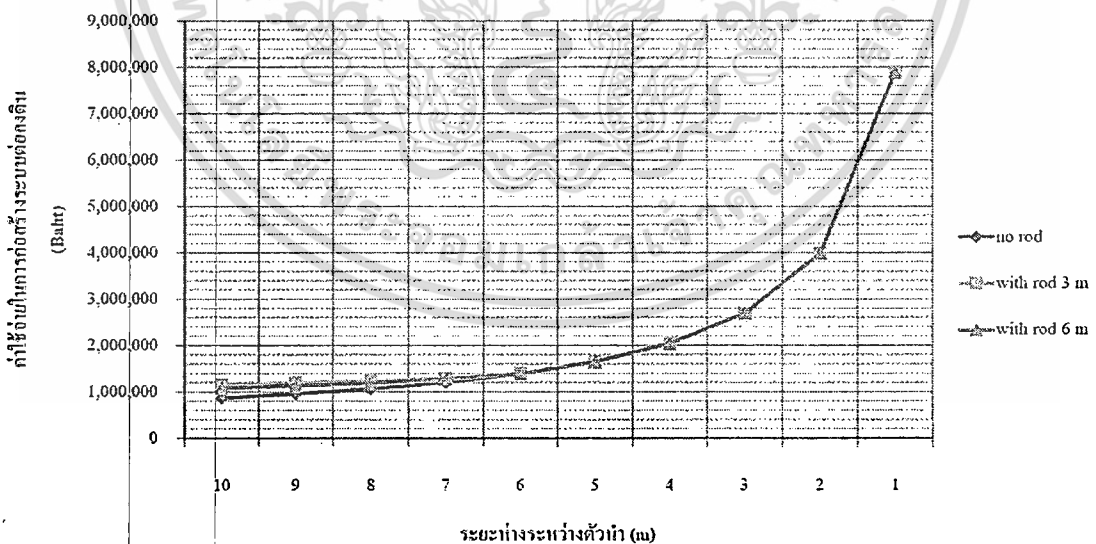
จากผลลัพธ์ที่ได้จากการทดลองออกแบบระบบต่อลงดินในตารางที่ 5.9, 5.10 และ 5.11 เป็นการออกแบบตะแกรงต่อลงดินในรูปทรงตัวแอล พบว่าเมื่อทำการเปลี่ยนแปลงระยะห่างระหว่างตัวนำที่ใช้ในระบบต่อลงดินมีค่าลดลง จะส่งผลให้ค่าใช้จ่ายในการก่อสร้างระบบต่อลงดินมีค่ามากขึ้น และพบว่าระบบต่อลงดินที่ออกแบบจะมีความปลอดภัยเมื่อค่าแรงดันไฟฟ้าเมฆสูงสุดที่เกิดขึ้นมีค่าต่ำกว่าค่าแรงดันไฟฟ้าสัมผัสสูงสุดที่มนุษย์สามารถทนได้ โดยที่

1. กรณีไม่มีแท่งกราวด์รูด ที่ระยะห่างระหว่างตัวนำเท่ากับ 5 เมตร ทำให้การออกแบบระบบต่อลงดินมีความปลอดภัยพร้อมกับมีค่าใช้จ่ายในการก่อสร้างระบบต่อลงดินน้อยที่สุดเท่ากับ 1,645,800.- บาท

2. กรณีเชื่อมต่อแท่งกราวด์รูดยาว 3 เมตร ที่ระยะห่างระหว่างตัวนำเท่ากับ 10 เมตร และเชื่อมต่อแท่งกราวด์รูดยาว 3 เมตร จำนวน 211 แท่ง ทำให้การออกแบบระบบต่อลงดินมีความปลอดภัยพร้อมกับมีค่าใช้จ่ายในการก่อสร้างระบบต่อลงดินน้อยที่สุดเท่ากับ 1,152,760.- บาท

3. กรณีเชื่อมต่อแท่งกราวด์รูดยาว 6 เมตร ที่ระยะห่างระหว่างตัวนำเท่ากับ 10 เมตร และเชื่อมต่อแท่งกราวด์รูดยาว 6 เมตร จำนวน 104 แท่ง ทำให้การออกแบบระบบต่อลงดินมีความปลอดภัยพร้อมกับมีค่าใช้จ่ายในการก่อสร้างระบบต่อลงดินน้อยที่สุดเท่ากับ 1,080,040.- บาท

4. กรณีที่ระยะห่างระหว่างตัวนำเท่ากับ 10 เมตร และเชื่อมต่อแท่งกราวด์รูดยาว 6 เมตร จำนวน 104 แท่ง นั้นสามารถประหยัดค่าใช้จ่ายได้มากที่สุด เมื่อเทียบกับกรณีที่ระยะห่างระหว่างตัวนำเท่ากับ 5 เมตร และไม่มีกราวด์รูด คิดเป็นเงินเท่ากับ 565,760.- บาท (1,645,800-1,080,040)



รูปที่ 5.6 ค่าใช้จ่ายในการก่อสร้างระบบต่อลงดินเมื่อมีการเปลี่ยนแปลงระยะห่างระหว่างตัวนำของกราวด์กริดรูปทรงตัวแอล

### 5.3 การออกแบบระบบต่อลงดินสถานีไฟฟ้าย่อยของการไฟฟ้าส่วนภูมิภาค

การออกแบบสถานีไฟฟ้านิคมอุตสาหกรรมภาคเหนือ จังหวัดลำพูน ของการไฟฟ้าส่วนภูมิภาค โดยใช้โปรแกรม Visual Basic ที่ได้พัฒนาขึ้นกำหนดให้ข้อมูลในการออกแบบมีค่าดังนี้ [3]

ตารางที่ 5.11 ข้อมูลในการออกแบบ

|  | ปัจจัย | ค่าคงที่และประเภท                                   | หน่วย       |
|--|--------|---|-------------|
| Fault duration, $t_f$                        |        | = 0.6   | s           |
| Current division factor, $S_f$               |        | = 0.6   | -           |
| Line-to-line Voltage at worst-fault location |        | = 115,000   | V           |
| Crushed rock resistivity(wet), $\rho_s$      |        | = 3,000   | $\Omega$ -m |
| Thickness of crushed rock surfacing, $h_s$   |        | = 0.1   | m           |
| Maximum fault current                        |        | = 31,500  | A           |
| Depth of grid burial, $h_b$                  |        | = 0.5   | m           |
| Grid conductor                               |        | Copper, commercial hard-drawn<br>(97% conductivity) | -           |
| Grid shape                                   |        | Square grid   | -           |
| X/R ratio                                    |        | = 20  | -           |

โดยที่ระยะเวลาที่เกิดความผิดปกติ  $t_f$  (Fault duration) และระยะเวลาของบุคคลที่ถูกไฟดูด  $t_s$  (Shock duration) จะกำหนดให้มีค่าเท่ากัน

ขั้นตอนที่ 1 สํารวจข้อมูลพื้นที่ของสถานีไฟฟ้า

กราวด์กริดของสถานีไฟฟ้าขนาด 98 เมตร  $\times$  69.75 เมตร ดังนั้นกราวด์กริดมีขนาดพื้นที่ 6,835.5 ตารางเมตร และทำการวัดหาค่าความต้านทานดิน แสดงได้ดังตารางที่ 5.2 [7]

ตารางที่ 5.12 ค่าความต้านทานที่สถานีไฟฟ้านิคมอุตสาหกรรมภาคเหนือ จังหวัดลำพูน

|                     |    | ค่าความต้านทานที่วัดได้ ( $\Omega$ ) |       |        |        |        |        |
|---------------------|----|--------------------------------------|-------|--------|--------|--------|--------|
| ระยะห่างของโพรบ (m) |    | 0.5                                  | 1     | 2      | 4      | 6      | 8      |
| POINT 1             | PX | 18.30                                | 5.16  | 1.76   | 0.78   | 0.72   | 0.46   |
|                     | PY | 16.15                                | 2.70  | 2.38   | 1.29   | 0.80   | 0.51   |
| POINT 2             | PX | 6.94                                 | 3.55  | 51.40  | 1.05   | 0.64   | 0.43   |
|                     | PY | 5.65                                 | 3.69  | 2.17   | 1.24   | 0.69   | 0.49   |
| POINT 3             | PX | 19.39                                | 7.12  | 4.37   | 1.74   | 1.72   | 0.55   |
|                     | PY | 5.12                                 | 4.83  | 3.33   | 1.72   | 0.95   | 0.59   |
| ผลรวมค่าความต้านทาน |    | 71.55                                | 27.05 | 65.41  | 7.82   | 5.520  | 3.03   |
| $\Sigma R/N$        |    | 11.925                               | 4.508 | 10.902 | 32.756 | 34.683 | 25.384 |

นำค่าที่วัดได้จากตารางที่ 5.2 ไปเป็นข้อมูลสำหรับคำนวณหาค่าความต้านทานจำเพาะของดินด้วยโปรแกรม CDEGS โมดูล RESAP ดังนี้

| Layer Number | <--- LAYER CHARACTERISTICS ---> |                    | Reflection Coefficient (p.u.) | Resistivity Contrast Ratio |
|--------------|---------------------------------|--------------------|-------------------------------|----------------------------|
|              | Resistivity (ohm-m)             | Thickness (Meters) |                               |                            |
| 1            | infinite                        | infinite           | 0.0                           | 1.0                        |
| 2            | 252.1914                        | 0.2548186          | -1.0000                       | 0.25219E-17                |
| 3            | 182.7228                        | infinite           | -0.15973                      | 0.72454                    |

รูปที่ 5.7 ผลการคำนวณหาค่าความต้านทานจำเพาะของดินที่สถานีไฟฟ้า

นิคมอุตสาหกรรมภาคเหนือ ด้วยโปรแกรม CDEGS โมดูล RESAP

คำนวณหาค่าความต้านทานจำเพาะของดินชนิดดินสองชั้น โดยดินชั้นบนมีค่าความต้านทานจำเพาะเท่ากับ  $\rho_1 = 252.19$  โอห์ม-เมตร ค่าความต้านทานจำเพาะของดินชั้นล่าง  $\rho_2 = 182.72$  โอห์ม-เมตร และค่าความลึกของดินชั้นบน  $h = 0.255$  เมตร

คำนวณหาค่าความต้านทานจำเพาะของดินชนิดดินชั้นเดียวได้เท่ากับ  $\rho = 49.268$  โอห์ม-เมตร

## ขั้นตอนที่ 2 หาขนาดสายตัวนำ

ในกรณีนี้จะใช้ค่า Maximum fault current ที่กำหนดโดยการไฟฟ้าส่วนภูมิภาคกำหนดเท่ากับ 31,500 แอมแปร์

รูปที่ 5.8 วินโดว์การคำนวณหาขนาดสายตัวนำ

รูปที่ 5.9 วินโดว์รายงานการคำนวณหาขนาดสายตัวนำ

เอกสารนี้เป็นเอกสารที่สงวนไว้สำหรับการใช้งานเพื่อการศึกษาเท่านั้น ไม่อนุญาตให้นำไปใช้ประโยชน์ด้านการค้า  
ไม่ว่ากรณีใดๆ ทั้งสิ้น อีกทั้งห้ามมิให้ดัดแปลงเนื้อหา และต้องอ้างอิงถึงเจ้าของเอกสารทุกครั้งที่มีการนำไปใช้

คำนวณหาขนาดสายตัวนำได้เท่ากับ 87.366 ตารางมิลลิเมตร และเนื่องจากขนาดที่ได้จากการคำนวณไม่มีการใช้งาน ดังนั้นจะเลือกใช้สายขนาด 95 ตารางมิลลิเมตร

ขั้นตอนที่ 3 หาแรงดันไฟฟ้าที่มนุษย์ทนได้

รูปที่ 5.10 วินโดว์การคำนวณหาแรงดันไฟฟ้าสัมผัสและแรงดันไฟฟ้าช่วงก้าวสูงสุด

หาค่าแรงดันไฟฟ้าที่มนุษย์สามารถทนได้สำหรับคนน้ำหนัก 50 กิโลกรัม โดยหาค่าแรงดันไฟฟ้าสัมผัสและหาค่าแรงดันไฟฟ้าช่วงก้าวสูงสุดได้เท่ากับ 618 โวลต์ และ 2,023 โวลต์ ตามลำดับ

ขั้นตอนที่ 4 ออกแบบกราวด์กริดเบื้องต้น

ออกแบบกราวด์กริดโดยให้ระยะห่างระหว่างตัวนำเท่ากับ 5 เมตร × 5 เมตร ซึ่งเป็นค่ากึ่งกลางระหว่าง 10 เมตร กับ 1 เมตร และติดตั้งแท่งกราวด์รูดยาว 6 เมตร จำนวน 30 แท่ง

ขั้นตอนที่ 5 คำนวณหาค่าความต้านทานระบบต่อลงดิน

คำนวณหาค่าความต้านทานระบบต่อลงดิน ได้เท่ากับ  $R_T = 1.53$  โอห์ม

เอกสารนี้เป็นเอกสารที่สงวนไว้สำหรับการใช้งานเพื่อการศึกษาเท่านั้น ไม่อนุญาตให้นำไปใช้ประโยชน์ด้านการค้าไม่ว่ากรณีใดๆ ทั้งสิ้น อีกทั้งห้ามมิให้ดัดแปลงเนื้อหา และต้องอ้างอิงถึงเจ้าของเอกสารทุกครั้งที่มีการนำไปใช้

KMTL Ground Grid - (Grounding Resistance Calculation)

File Calculation Help

### Grounding Resistance Function Calculation (Two-Layers)

**Soil input**

Upper layer soil resistivity  Ohm-m.  
 Lower layer soil resistivity  Ohm-m.  
 Depth of upper layer level  m.

**Ground grid characteristic**

Depth of ground grid conductors  m.  
 Total area enclosed by ground grid  Sq.m.

**Rod Characteristic**

For grids  without ground rods  
 with ground rods

Length of ground rod  m.  
 Radius of ground rod  m.  
 Number of ground rods  Pcs.

**Total resistance**

Grounding System Resistance  Ohm.

รูปที่ 5.11 วินโดว์การคำนวณหาค่าความต้านทานระบบต่อลงดิน

Grounding Resistance Function Calculation  
Calculation (per Xiaobin' equation)

**Soil input :**

Upper layer soil resistivity : 252.2  $\Omega$ -m.  
 Lower layer soil resistivity : 182.7  $\Omega$ -m.  
 Depth of upper layer level : 0.3 m.

**Ground grid characteristic :**

Depth of ground grid conductors : 0.5 m.  
 Total area enclosed by ground grid : 6.836 Sq.m.

**Rod characteristic :**

Length of ground rod : 6 m.  
 Radius of ground rod : 0.0160 m.  
 Number of ground rods : 30 Pcs.

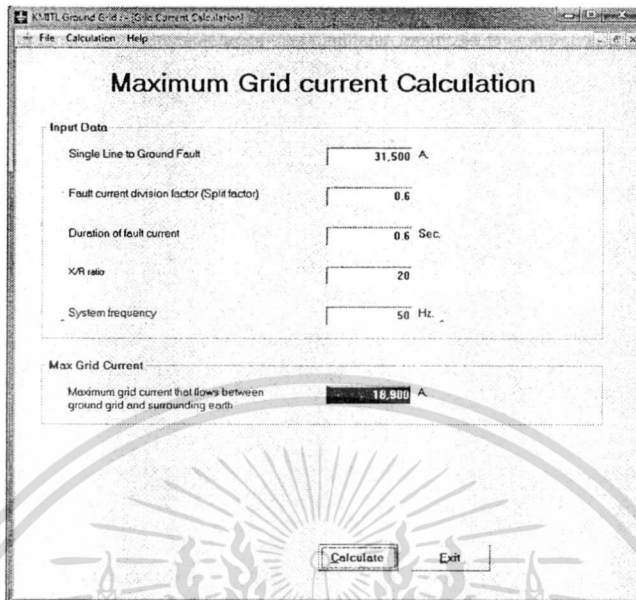
**Total resistance :**

Grounding System Resistance : 1.530  $\Omega$

รูปที่ 5.12 วินโดว์รายงานการคำนวณหาค่าความต้านทานระบบต่อลงดิน

เอกสารนี้เป็นเอกสารที่สงวนไว้สำหรับการใช้งานเพื่อการศึกษาเท่านั้น ไม่อนุญาตให้นำไปใช้ประโยชน์ด้านการค้า  
 ไม่ว่าจะกรณีใดๆ ทั้งสิ้น อีกทั้งห้ามมิให้ดัดแปลงเนื้อหา และต้องอ้างอิงถึงเจ้าของเอกสารทุกครั้งที่มีการนำไปใช้

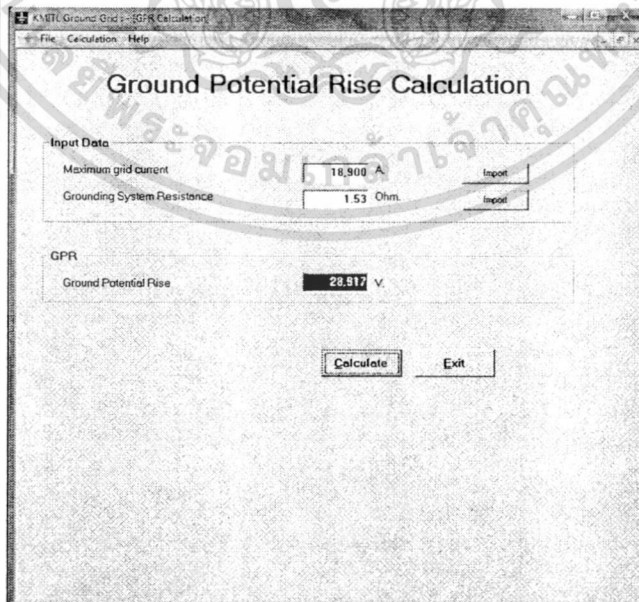
ขั้นตอนที่ 6 คำนวณหาค่ากระแสกริดสูงสุด



รูปที่ 5.13 วินโดว์การคำนวณหาค่ากระแสกริดสูงสุด

คำนวณหาค่ากระแสกริดได้เท่ากับ  $I_G = 18,900$  แอมแปร์

ขั้นตอนที่ 7 ตรวจสอบค่า Ground Potential Rise (GPR)



รูปที่ 5.14 วินโดว์การคำนวณหาค่า GPR

เอกสารนี้เป็นเอกสารที่สงวนไว้สำหรับใช้ในงานเพื่อการศึกษาเท่านั้น ไม่อนุญาตให้นำไปใช้ประโยชน์ด้านการค้า ไม่ว่าจะกรณีใดๆ ทั้งสิ้น อีกทั้งห้ามมิให้ดัดแปลงเนื้อหา และต้องอ้างอิงถึงเจ้าของเอกสารทุกครั้งที่มีการนำไปใช้

ตรวจสอบแรงดันที่กราวด์กริด (GPR) 28,917 โวลต์ กับแรงดันไฟฟ้าสัมผัสที่มนุษย์สามารถทนได้ (618 V) เห็นได้ว่าแรงดันไฟฟ้าที่กราวด์กริดมีค่ามากกว่า จะต้องทำการตรวจสอบแรงดันไฟฟ้าเมฆของกราวด์กริดกับแรงดันไฟฟ้าสัมผัสที่มนุษย์สามารถทนได้ต่อไป

ขั้นตอนที่ 8 คำนวณค่าแรงดันไฟฟ้าที่เกิดขึ้นในสถานีไฟฟ้า

รูปที่ 5.15 วินโดว์การคำนวณหาค่าแรงดันไฟฟ้าที่เกิดขึ้นในสถานีไฟฟ้า

คำนวณค่าแรงดันไฟฟ้าเมฆและแรงดันไฟฟ้าช่วงก๊าวที่เกิดขึ้นในสถานีไฟฟ้า ได้เท่ากับ 542 โวลต์ และ 567 โวลต์ ตามลำดับ

ขั้นตอนที่ 9 ตรวจสอบค่าแรงดันไฟฟ้าสัมผัส

ตรวจสอบแรงดันไฟฟ้าเมฆที่เกิดขึ้น (542 V) มีค่าน้อยกว่าแรงดันไฟฟ้าสัมผัสที่มนุษย์สามารถทนได้ (618 V) แสดงว่าการออกแบบนั้นมีความปลอดภัยแต่จะต้องทำการตรวจสอบแรงดันไฟฟ้าช่วงก๊าวของกราวด์กริดกับแรงดันไฟฟ้าช่วงก๊าวที่มนุษย์ทนได้ต่อไป

ขั้นตอนที่ 10 ตรวจสอบค่าแรงดันไฟฟ้าช่วงก๊าว

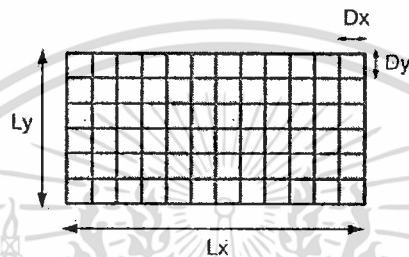
ตรวจสอบแรงดันไฟฟ้าช่วงก๊าวที่เกิดขึ้น (576 V) มีค่าน้อยกว่าแรงดันไฟฟ้าช่วงก๊าวที่มนุษย์สามารถทนได้ (2,023 V) แสดงว่าการออกแบบนั้นมีความปลอดภัยและสามารถนำไปใช้งาน

ได้ เป็นเอกสารที่ส่งมอบไว้สำหรับการใช้งานเพื่อการศึกษาเท่านั้น ไม่อนุญาตให้นำไปใช้ประโยชน์ด้านการค้า ไม่ว่าจะกรณีใดๆ ทั้งสิ้น อีกทั้งห้ามมิให้ดัดแปลงเนื้อหา และต้องอ้างอิงถึงเจ้าของเอกสารทุกครั้งที่มีการนำไปใช้



## Mesh and Step Voltage Calculation Report

Apparent soil resistivity = 49.3  $\Omega - m.$   
 Maximum grid current = 18,900.0 A.



Lx : Maximum length of grid conductor in x-axis = 98.0 m.  
 Ly : Maximum length of grid conductor in y-axis = 69.8 m.  
 Dx : Distance between parallel conductor in x-axis = 5.0 m.  
 Dy : Distance between parallel conductor in y-axis = 5.0 m.  
 Total area enclosed by ground grid = 6,835.5 Sq.m.  
 Depth of grid conductors = 0.50 m.  
 Diameter of grid conductor = 0.0126 m.  
 Number of ground rods = 30 Pcs.  
 Length of ground rod = 6.0 m.

### Result :

Mesh voltage :  $E_m = 542$  V.  
 Step voltage :  $E_s = 567$  V.  
 Cost estimation = 1,193,561 Baht

รูปที่ 5.16 วินโดว์การคำนวณหาแรงดันไฟฟ้าเมฆและแรงดันไฟฟ้าช่วงก้าวที่เกิดขึ้นจริง

โดยที่โปรแกรมการออกแบบระบบต่อลงดินสามารถคำนวณค่าใช้จ่ายค่าอุปกรณ์และค่าติดตั้งได้เท่ากับ 1,193,561.- บาท

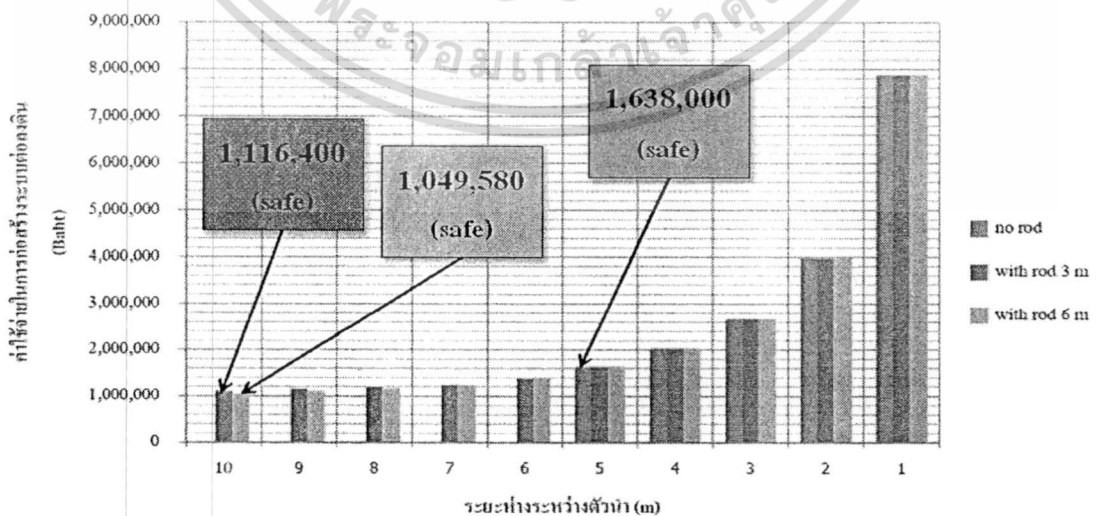
## บทที่ 6

### สรุปผลการวิจัยและข้อเสนอแนะ

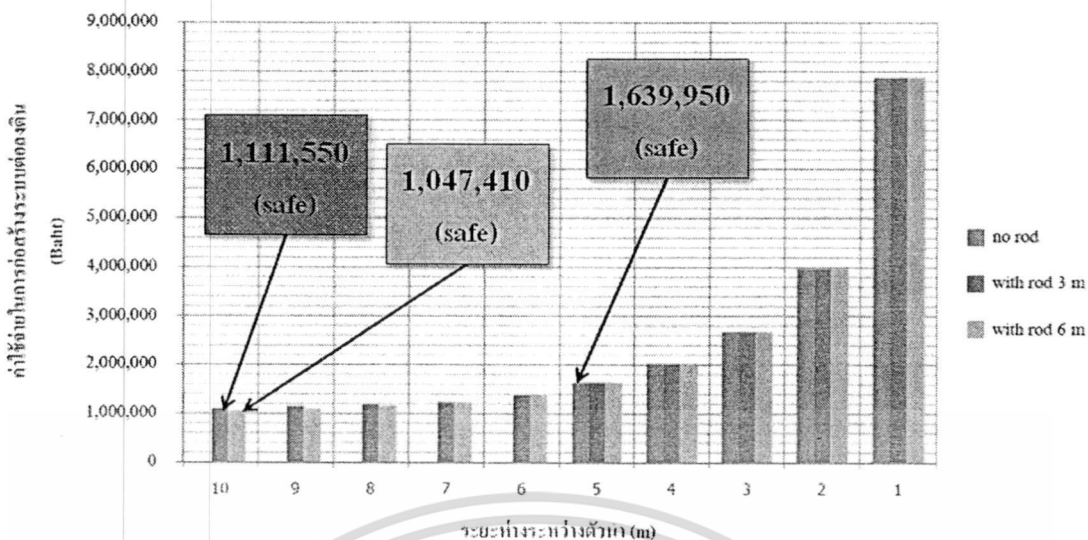
วิทยานิพนธ์ฉบับนี้ได้วิเคราะห์ถึงการใช้ค่าพารามิเตอร์ของดินสองชั้นในการคำนวณหาความต้านทานของกราวด์กริดในสถานีไฟฟ้าย่อยโดยการคำนวณด้วยสมการของ Xiaobin พบว่าค่าที่คำนวณได้มีค่าใกล้เคียงกับค่าที่หาได้จากโปรแกรม CDEGS จึงได้พัฒนาโปรแกรมเพื่อช่วยในการออกแบบระบบต่อลงดิน โดยโปรแกรมที่กล่าวถึงนี้ได้รับการพัฒนาจากภาษา Visual Basic เวอร์ชัน 6 ซึ่งถือว่าเป็นภาษาของโปรแกรมคอมพิวเตอร์ที่มีระบบปฏิบัติการบน Windows

เมื่อนำโปรแกรมการออกแบบที่ถูกสร้างขึ้นนำมาใช้ในการออกแบบระบบต่อลงดิน พบว่าโปรแกรมสามารถออกแบบระบบต่อลงดินได้ในความปลอดภัยตามมาตรฐาน IEEE Std.80-2000 และสามารถ แสดงผลลัพธ์และค่าที่ใช้ในการออกแบบพิมพ์เป็นข้อมูลรายงานได้ อีกทั้งโปรแกรมยังมีลักษณะการใช้งานง่ายและเหมาะสมกับผู้ใช้งาน

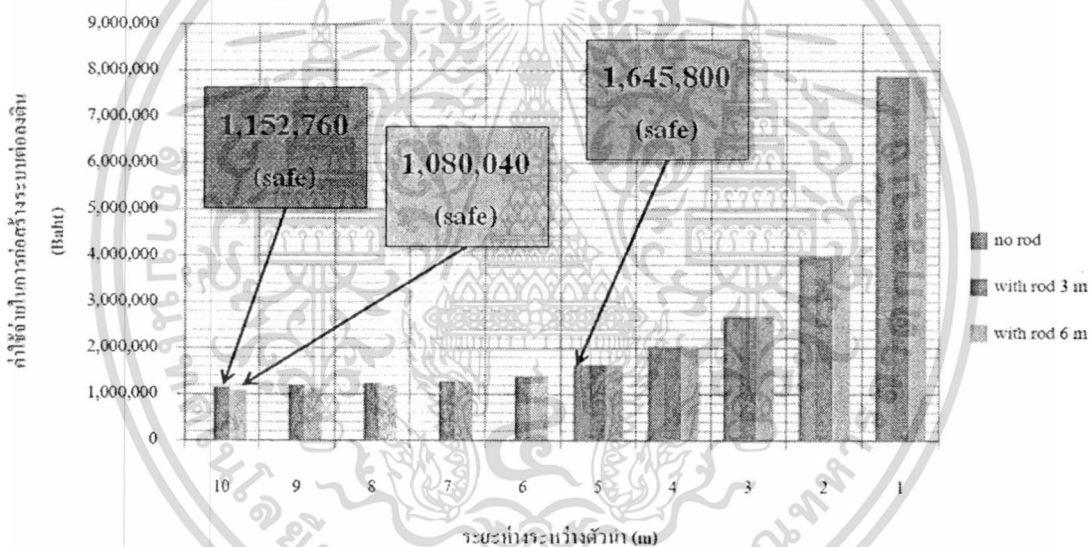
การวิเคราะห์ระบบต่อลงดินของสถานีไฟฟ้าย่อยโดยพิจารณาผลของการเปลี่ยนแปลงระยะห่างระหว่างตัวนำ จำนวนและความยาวแท่งกราวด์ครอความีผลกระทบต่อค่าแรงดันไฟฟ้าเมฆและแรงดันไฟฟ้าช่วงก๊าวพร้อมกับพิจารณาค่าใช้จ่ายในการก่อสร้างระบบต่อลงดินสามารถสรุปเพื่อใช้เป็นแนวทางในการออกแบบคือ เมื่อทำการลดระยะห่างระหว่างตัวนำที่ใช้ในระบบต่อลงดินเพื่อทำให้ระบบต่อลงดินมีความปลอดภัย จะทำให้มีค่าใช้จ่ายในการก่อสร้างเพิ่มขึ้นเนื่องจากเป็นการเพิ่มปริมาณตัวนำที่ใช้ในระบบต่อลงดิน ดังนั้นการออกแบบระบบต่อลงดิน โดยเชื่อมต่อแท่งกราวด์ครอควกับกราวด์กริดจะช่วยให้สามารถเพิ่มระยะห่างระหว่างตัวนำโดยที่การออกแบบระบบต่อลงดินมีความปลอดภัยและประหยัดค่าใช้จ่ายได้



เอกสารนี้เป็นเอกสารรูปที่ 6.1 กราฟเปรียบเทียบค่าใช้จ่ายกราวด์กริดรูปทรงสี่เหลี่ยมจัตุรัส ระยะขึ้นด้านการค้า  
ไม่ว่ากรณีใดๆ ทั้งสิ้น อีกทั้งห้ามมิให้ตัดแปลงเนื้อหา และต้องอ้างอิงถึงเจ้าของเอกสารทุกครั้งที่มีการนำไปใช้



รูปที่ 6.2 กราฟเปรียบเทียบค่าใช้จ่ายกรวดลึกรูปทรงสี่เหลี่ยม



รูปที่ 6.3 กราฟเปรียบเทียบค่าใช้จ่ายกรวดลึกรูปทรงตัวแอล

ตารางที่ 6.1 เปรียบเทียบค่าใช้จ่ายกรวดลึกรูปทรงสี่เหลี่ยมจัตุรัส

|                  | ไม่มีแท่งกรวดลึกรอด | มีแท่งกรวดลึกรอด<br>3 เมตร (190 แท่ง) | มีแท่งกรวดลึกรอด<br>6 เมตร (93 แท่ง) |
|------------------|---------------------|---------------------------------------|--------------------------------------|
| ค่าใช้จ่าย (บาท) | 1,638,000           | 1,116,400                             | 1,049,580                            |
| ผลต่าง (บาท)     | -                   | 521,600                               | 588,420                              |
| ผลต่าง (%)       | -                   | 31.84                                 | 35.92                                |

เอกสารนี้เป็นเอกสารที่สงวนไว้สำหรับการใช้งานเพื่อการศึกษาเท่านั้น ไม่อนุญาตให้นำไปใช้ประโยชน์ด้านการค้า  
ไม่ว่ากรณีใดๆ ทั้งสิ้น อีกทั้งห้ามมิให้ดัดแปลงเนื้อหา และต้องอ้างอิงถึงเจ้าของเอกสารทุกครั้งที่มีการนำไปใช้

ตารางที่ 6.2 เปรียบเทียบค่าใช้จ่ายกรวดครีกรูปทรงสี่เหลี่ยมผืนผ้า

|                  | ไม่มีแท่งกรวดครี | มีแท่งกรวดครี<br>3 เมตร (185 แท่ง) | มีแท่งกรวดครี<br>6 เมตร (91 แท่ง) |
|------------------|------------------|------------------------------------|-----------------------------------|
| ค่าใช้จ่าย (บาท) | 1,639,950        | 1,111,550                          | 1,047,410                         |
| ผลต่าง (บาท)     | -                | 528,400                            | 592,540                           |
| ผลต่าง (%)       | -                | 32.22                              | 36.13                             |

ตารางที่ 6.3 เปรียบเทียบค่าใช้จ่ายกรวดครีรูปทรงตัวแอล

|                  | ไม่มีแท่งกรวดครี | มีแท่งกรวดครี<br>3 เมตร (211 แท่ง) | มีแท่งกรวดครี<br>6 เมตร (104 แท่ง) |
|------------------|------------------|------------------------------------|------------------------------------|
| ค่าใช้จ่าย (บาท) | 1,645,800        | 1,152,760                          | 1,080,040                          |
| ผลต่าง (บาท)     | -                | 493,040                            | 565,760                            |
| ผลต่าง (%)       | -                | 29.96                              | 34.38                              |

จากผลลัพธ์ที่ได้จากการทดลองออกแบบระบบต่อลงดินที่แสดงรูปที่ 6.1 6.2 และ 6.3 ตารางที่ 6.1 6.2 และ 6.3 เป็นการออกแบบระบบต่อลงดินในรูปทรงสี่เหลี่ยมจัตุรัส รูปทรงสี่เหลี่ยมผืนผ้า และรูปทรงตัวแอล โดยกำหนดให้มีพื้นที่ในการพิจารณาเท่ากัน พบว่าเมื่อทำการเปลี่ยนแปลงระยะห่างระหว่างตัวนำ ที่ใช้ในระบบต่อลงดินมีค่าลดลง จะส่งผลให้ค่าใช้จ่ายในการก่อสร้างระบบต่อลงดินมีค่ามากขึ้น และพบว่าระบบต่อลงดินที่ออกแบบจะมีความปลอดภัยเมื่อค่าแรงดันไฟฟ้าเมกสูงสุดที่เกิดขึ้นมีค่าต่ำกว่าค่าแรงดันไฟฟ้าสัมผัสสูงสุดที่มนุษย์สามารถทนได้ โดยกรณีที่ระยะห่างระหว่างตัวนำเท่ากับ 10 เมตร และเชื่อมต่อแท่งกรวดครียาว 6 เมตร นั้นสามารถประหยัดค่าใช้จ่ายได้มากที่สุด

#### ข้อเสนอแนะ

1. ซอฟต์แวร์โปรแกรมช่วยออกแบบระบบต่อลงดินของสถานี ไฟฟ้าย่อยที่นำเสนอในวิทยานิพนธ์ฉบับนี้มีข้อจำกัดคือไม่สามารถวิเคราะห์หาค่าพารามิเตอร์ความต้านทานจำเพาะของดินตั้งแต่สองชั้นขึ้นไปได้ จึงจำเป็นต้องใช้โปรแกรม CDEGS ช่วยในการคำนวณหา ดังนั้นจะต้องพัฒนาความสามารถในการออกแบบระบบต่อลงดินของซอฟต์แวร์โปรแกรมให้มีประสิทธิภาพมากขึ้น ให้สามารถพิจารณาชั้นดินตั้งแต่สองชั้นขึ้นไปจนถึงชั้นดินที่มีโครงสร้างดินหลายชั้น

โดยแบ่งชั้นดินตามค่าความต้านทานจำเพาะ ซึ่งจะทำให้การวิเคราะห์นั้นมีความถูกต้องมากขึ้นกว่าการออกแบบระบบต่อลงดินเมื่อวิเคราะห์ดินเพียงชั้นเดียว

2. งานวิจัยได้ศึกษาโครงสร้างชั้นดินกรณีดินสองชั้นเพื่อใช้ในการคำนวณหาค่าความต้านทานระบบต่อลงดินเท่านั้น ซึ่งการออกแบบระบบต่อลงดินในสถานีไฟฟ้าย่อยอาจใช้พารามิเตอร์ของดินสองชั้นนำไปคำนวณหาค่าแรงดันไฟฟ้าที่เกิดขึ้นจริงในสถานีไฟฟ้าย่อย เช่นแรงดันไฟฟ้าเมฆ และแรงดันไฟฟ้าช่วงก๊าว เป็นต้น เพื่อนำไปวิเคราะห์ถึงการออกแบบที่ปลอดภัยและประหยัดค่าใช้จ่าย

3. งานวิจัยได้ประยุกต์ใช้โปรแกรม Visual Basic ได้กำหนดให้พื้นที่เป็นรูปทรงสี่เหลี่ยมจัตุรัส รูปทรงสี่เหลี่ยมผืนผ้า และรูปทรงตัวแอล เท่านั้น โดยกระจายศักย์ไฟฟ้าให้มีค่าเท่ากันทุกจุดแต่ยังขาดความเป็นอิสระในการออกแบบ เช่น การกำหนดรูปแบบพื้นที่และจำนวนตะแกรง แต่ถ้าการออกแบบสามารถกำหนดรูปแบบของพื้นที่และตะแกรงได้อย่างอิสระ และลดศักย์ไฟฟ้าเฉพาะจุดที่ความต่างศักย์สูงได้ โดยการพิจารณาจากแผนผังแสดงตำแหน่งของอุปกรณ์ที่ติดตั้งอยู่ในสถานีไฟฟ้า ซึ่งการออกแบบอาจใช้วิธีการเพิ่มแท่งกรวดรูดเฉพาะจุดเพื่อลดความต่างศักย์หรือใช้วิธี Optimal design เพื่อลดการใช้สายตัวนำ

4. จากการศึกษาการออกแบบการใช้ค่าพารามิเตอร์ของดินสองชั้นในการคำนวณหาความต้านทานระบบต่อลงดินจะได้ค่าใกล้เคียงกับที่หาได้จากโปรแกรม CDEGS โดยผู้ที่ต้องการศึกษาสามารถนำโปรแกรม Visual Basic ที่ประยุกต์ใช้ในงานวิจัย โดยเพิ่มในส่วนรายละเอียดและเพิ่มเงื่อนไขในการวิเคราะห์ เพื่อเปรียบเทียบการออกแบบด้วยวิธีที่ต่างกัน ซึ่งมีจุดประสงค์เดียวกันคือการลดค่าใช้จ่ายในการออกแบบและเพื่อความปลอดภัยของผู้ปฏิบัติงาน

5. วิทยานิพนธ์ฉบับนี้ได้ยกตัวอย่างกรณีศึกษาการหาความต้านทานระบบต่อลงดินสถานีไฟฟ้าย่อยของการไฟฟ้าส่วนภูมิภาคสามแห่ง โดยค่าความต้านทานจำเพาะของดินที่วัดได้จากภาคสนามเป็นการวัดที่ดินเดิมก่อนจะมีการสร้างสถานีไฟฟ้าย่อยจริงเพื่อนำไปออกแบบระบบต่อลงดินให้ถูกต้องตามความปลอดภัยทางวิศวกรรมและประมาณค่าใช้จ่ายกำหนดเป็นราคากลางในการประกวดราคา แต่เมื่อจะทำการก่อสร้างจริงที่ดินเป็นที่ลุ่มอาจทำให้เกิดน้ำท่วมได้ จึงจำเป็นต้องถมให้สูงขึ้นด้วยดินที่มีความต้านทานจำเพาะที่ต่างออกไปจากของเดิม และเมื่อทำการถมดินด้วยดินที่มีความต้านทานจำเพาะใหม่จะต้องทำการวิเคราะห์ด้านความปลอดภัยอีกครั้งว่าระบบต่อลงดินที่ได้ออกแบบไปนั้นเป็นอย่างไร

ดังนั้นการเปรียบเทียบการสันนิฐานการออกแบบการใช้ค่าพารามิเตอร์ของดินสองชั้นในการคำนวณหาความต้านทานระบบต่อลงดินกับค่าที่เกิดขึ้นจริงนั้น ผู้ที่ต้องการศึกษาจะต้องทำการวัดภาคสนามที่สถานีไฟฟ้าย่อยที่ก่อสร้างแล้วเสร็จ ซึ่งจะทำให้การสันนิฐานนั้นมีความถูกต้องมากขึ้นกว่าเมื่อวิเคราะห์เปรียบเทียบกับค่าที่หาได้จากโปรแกรม CDEGS เพียงอย่างเดียว

6. วิทยานิพนธ์ฉบับนี้ได้ยกตัวอย่างการออกแบบระบบต่อลงดินสถานีย่อยของการไฟฟ้าส่วนภูมิภาคที่สถานีไฟฟ้านิคมอุตสาหกรรมภาคเหนือ จังหวัดลำพูน โดยได้กำหนดค่าความลึกในการฝังกราวด์กริด  $h = 0.5$  เมตร นั้น ซึ่งค่าดังกล่าวเป็นค่าที่กำหนดในการก่อสร้างสถานีย่อยตามโครงการของการไฟฟ้าส่วนภูมิภาค เพื่อให้เกิดความง่ายในทางปฏิบัติ เพราะถ้าหากทำการฝังกราวด์กริดลึกมากเกินไปจะเป็นการเพิ่มค่าใช้จ่ายในการขุดดินและเสียเวลาดำเนินการมากขึ้นด้วย ทั้งนี้การออกแบบระบบต่อลงดินสถานีย่อยของการไฟฟ้าส่วนภูมิภาคและภาคเอกชนบางแห่งจะออกแบบให้ค่าความลึกในการฝังกราวด์กริดเปลี่ยนแปลงไปจากที่กำหนดไว้เบื้องต้นเนื่องจากการออกแบบระบบต่อลงดินที่กำหนดค่าความลึกในการฝังกราวด์กริด  $h = 0.5$  เมตร อาจไม่สามารถออกแบบให้มีความปลอดภัยทางวิศวกรรมได้ ดังนั้นผู้ที่ต้องการศึกษานำกรณีการเปลี่ยนแปลงความลึกในการฝังกราวด์กริดไปวิเคราะห์ว่ามีผลกระทบต่อารออกแบบที่ปลอดภัยและประหยัดค่าใช้จ่ายอย่างไร

7. ขั้นตอนสำหรับการออกแบบระบบต่อลงดินตามมาตรฐาน IEEE Std.80-2000 ซึ่งกล่าวไว้ในบทที่ 4 มีทั้งหมด 12 ขั้นตอน โดยการออกแบบระบบต่อลงดินอาจศึกษาค่าแรงดันไฟฟ้าเมฆและแรงดันไฟฟ้าช่วงก๊าวที่เกิดขึ้นในสถานีไฟฟ้า ( $E_m, E_s$ ) ให้อยู่ในขอบเขตของแรงดันไฟฟ้าสัมผัสและแรงดันไฟฟ้าช่วงก๊าว ( $V_{touch}, V_{step}$ ) ซึ่งการหาค่ากำหนดค่าแรงดันไฟฟ้าเมฆและแรงดันไฟฟ้าช่วงก๊าวที่เกิดขึ้นในสถานีไฟฟ้า ( $E_m, E_s$ ) นั้น อาจกำหนดเป็นร้อยละของค่าแรงดันไฟฟ้าสัมผัสและแรงดันไฟฟ้าช่วงก๊าว ( $V_{touch}, V_{step}$ ) เป็นต้น ดังนั้นการออกแบบด้วยกระบวนการดังกล่าวจะเป็นการออกแบบระบบต่อลงดินของสถานีย่อยที่ปลอดภัยก่อนที่จะทำการกำหนดระยะห่างระหว่างตัวนำของกราวด์กริด ซึ่งเป็นวิธีที่อาจทำให้สามารถลดขั้นตอนการออกแบบให้สั้นลงและลดเวลาในการคำนวณได้

8. การคำนวณราคาเพื่อเปรียบเทียบค่าใช้จ่ายสำหรับวิทยานิพนธ์ฉบับนี้โดยใช้ราคาสายตัวนำชนิด Copper, commercial hard-drawn ขนาด 95 ตารางมิลลิเมตร ซึ่งเป็นราคากลางในการประกวดราคาสถานีย่อยของการไฟฟ้าส่วนภูมิภาค ปี 2554 ดังนั้นการออกแบบด้วยตัวนำชนิดอื่นจะคำนวณค่าใช้จ่ายได้แตกต่างออกไป ผู้ที่ต้องการศึกษาอาจใช้ตัวนำที่มีราคาถูกกว่าใช้ในการออกแบบให้มีความปลอดภัยและประหยัดค่าใช้จ่าย ทั้งนี้ต้องวิเคราะห์ถึงความทานทานต่อการกัดกร่อนของชนิดวัสดุตัวนำด้วย อีกทั้งราคาค่าใช้จ่ายอุปกรณ์และค่าติดตั้งในอนาคตมีแนวโน้มเพิ่มขึ้นอาจขึ้นอยู่กับหลายปัจจัย เช่น ค่าครองชีพ สภาพเศรษฐกิจ เป็นต้น จึงต้องมีการปรับปรุงราคาให้ตรงหรือใกล้เคียงกับสภาพที่ทำการวิเคราะห์มากที่สุด

## บรรณานุกรม

- [1] กองวิจัย การไฟฟ้าส่วนภูมิภาค. “โครงการวิจัยรูปแบบกราวด์กริดในสถานีไฟฟ้าและการต่อลงดินระบบจำหน่ายแรงสูงและแรงต่ำของการไฟฟ้าส่วนภูมิภาค.” 2548.
- [2] กองออกแบบสถานีไฟฟ้า การไฟฟ้าส่วนภูมิภาค. “ราคากลางสถานีไฟฟ้าปี 2554 ค่าอุปกรณ์และค่าติดตั้งสถานีไฟฟ้า 115/22, 115/33 เควี (AIS, GIS).” 2554.
- [3] กองออกแบบสถานีไฟฟ้า การไฟฟ้าส่วนภูมิภาค. “Substation Design and Standard Specification.” 2547.
- [4] กองออกแบบสถานีไฟฟ้า การไฟฟ้าส่วนภูมิภาค. “Soil Resistivity Test Report สถานีไฟฟ้าดอยสะเก็ด.” 2549.
- [5] กองออกแบบสถานีไฟฟ้า การไฟฟ้าส่วนภูมิภาค. “Soil Resistivity Test Report สถานีไฟฟ้านางรอง (ชั่วคราว).” 2552.
- [6] กองออกแบบสถานีไฟฟ้า การไฟฟ้าส่วนภูมิภาค. “Soil Resistivity Test Report สถานีไฟฟ้าวัดโบสถ์.” 2548.
- [7] กองออกแบบสถานีไฟฟ้า การไฟฟ้าส่วนภูมิภาค. “Soil Resistivity Test Report สถานีไฟฟ้านิคมอุตสาหกรรมภาคเหนือ.” 2549.
- [8] จีรพัฒน์ นวนนุรักษ์. “การพัฒนาโปรแกรมสำหรับออกแบบกราวด์กริดของสถานีไฟฟ้าตามมาตรฐาน IEEE 80-2000.” วิทยานิพนธ์วิศวกรรมศาสตรมหาบัณฑิต สาขาวิศวกรรมไฟฟ้า บัณฑิตวิทยาลัย, จุฬาลงกรณ์มหาวิทยาลัย. 2549.
- [9] จิระพันธ์ ปั้นประไพ. “การออกแบบระบบต่อลงดินของสถานีไฟฟ้าย่อยโดยใช้โปรแกรม MATLAB.” วิทยานิพนธ์วิศวกรรมศาสตรมหาบัณฑิต สาขาวิศวกรรมไฟฟ้า บัณฑิตวิทยาลัย, สถาบันเทคโนโลยีพระจอมเกล้าเจ้าคุณทหารลาดกระบัง. 2548.
- [10] ฉัททวุฒิ พิษผล และพิชิต สันติกุลานนท์. 2544. คู่มือเรียน Visual basic 6. พิมพ์ครั้งที่ 5. กรุงเทพฯ: โปรวิชั่น.
- [11] ชาญชัย เล่าห์พงศ์ไพศาล. “การออกแบบระบบต่อลงดินของสถานีไฟฟ้าย่อยโดยพิจารณาผลของชั้นดิน” วิทยานิพนธ์วิศวกรรมศาสตรมหาบัณฑิต สาขาวิศวกรรมไฟฟ้า บัณฑิตวิทยาลัย, จุฬาลงกรณ์มหาวิทยาลัย. 2543.
- [12] ธิติ เอี่ยมมงคล. “การออกแบบระบบต่อลงดินของสถานีไฟฟ้าย่อย.” วิทยานิพนธ์วิศวกรรมศาสตรมหาบัณฑิต สาขาวิศวกรรมไฟฟ้า บัณฑิตวิทยาลัย, สถาบันเทคโนโลยีพระจอมเกล้าเจ้าคุณทหารลาดกระบัง. 2544.
- เอกสาร [13] สัจจะ จรัสรุ่งรวิวรร. คู่มือการสร้างแอปพลิเคชันด้วย Visual Basic 6.0 ฉบับสมบูรณ์. การค้าไม่ว่ากรรมใดพิมพ์ครั้งที่ 1. นนทบุรี: อินโฟเพรส. 2542. ต้องอ้างอิงถึงเจ้าของเอกสารทุกครั้งที่มีการนำไปใช้

- [14] Engineering Guide a Simple Substation Grounding Grid Analysis, Safe Engineering Services & Technologies, Ltd, 2004.
- [15] Cheng-Nan Chang and Chien-Hsing Lee, "Computation of Ground Resistances and Assessment of Ground Grid Safety at 161/23.9-kV Indoor-Type Substation", **IEEE Transactions on Power Delivery.**, Vol. 21, No. 3, July 2006. pp.1250-1260.
- [16] IEEE Standard 80-2000, **IEEE Guide for Safety in AC Substation Grounding.**, The Institute of Electrical and Electronics Engineer, New York, 2000.
- [17] IEEE Standard 81-1983, **IEEE guide for Measuring Earth Resistivity, Ground Impedance, and Earth Surface Potentials of a Ground System.**, The Institute of Electrical and Electronics Engineer, New York, 1983.
- [18] Xiaobin Cao, Guangning Wu, Weiming Zhou, Ruifang Li, "New Method for Calculating Ground Resistance of Grounding Grids Buried in Horizon Two-Layer Soil" **International Conference on High Voltage Engineering and Application.**, November 2008. pp.241-244.
- [19] Y. L. Chow, M. M. Sherbiny, and M. M. A. Salama, "Resistance formulas of grounding system in two-layer earth," **IEEE Transactions on Power Delivery.**, vol. 11, no. 3, April 1996. pp. 1330–1336.



เอกสารนี้เป็นเอกสารที่สงวนไว้สำหรับการใช้งานเพื่อการศึกษาเท่านั้น ไม่อนุญาตให้นำไปใช้ประโยชน์ด้านการค้า  
ไม่ว่ากรณีใดๆ ทั้งสิ้น อีกทั้งห้ามมิให้ดัดแปลงเนื้อหา และต้องอ้างอิงถึงเจ้าของเอกสารทุกครั้งที่มีการนำไปใช้

ภาคผนวก ก.

โปรแกรม CDEGS ที่ใช้ในการหาความต้านทานจำเพาะของดินชนิดสองชั้น



เอกสารนี้เป็นเอกสารที่สงวนไว้สำหรับการใช้งานเพื่อการศึกษาเท่านั้น ไม่อนุญาตให้นำไปใช้ประโยชน์ด้านการค้า  
ไม่ว่ากรณีใดๆ ทั้งสิ้น อีกทั้งห้ามมิให้ดัดแปลงเนื้อหา และต้องอ้างอิงถึงเจ้าของเอกสารทุกครั้งที่มีการนำไปใช้

โปรแกรม CDEGS (Current Distribution, Electromagnetic Fields, Grounding and Soil structure analysis) เป็นลิขสิทธิ์ของ Safety Engineering Services & Technologies Limited,(SES) ประเทศแคนาดา

## 1. ส่วนประกอบของโปรแกรม

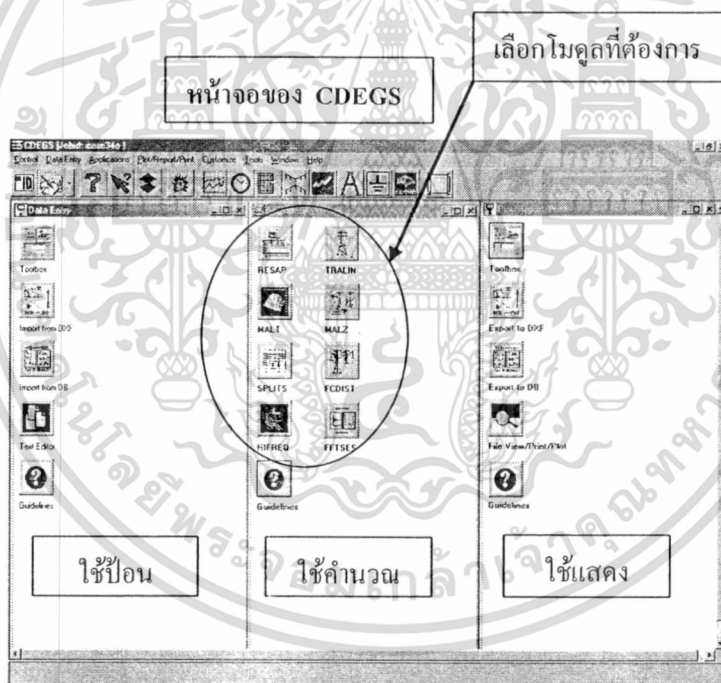
วิทยานิพนธ์ฉบับนี้ ใช้โปรแกรม CDEGS ประกอบด้วย 2 โมดูลย่อย ดังนี้

### 1.1 RESAP (Analysis of Earth Resistivity Measurement)

เป็นโมดูลที่ใช้สำหรับหาพารามิเตอร์ โครงสร้างดินที่ได้จากการวัดค่าความต้านทานจำเพาะของดินในภาคสนาม

### 1.2 MALT (Low Frequency Analysis of Buried Conductor Networks)

เป็นโมดูลที่ใช้สำหรับวิเคราะห์ระบบต่อลงดิน เช่น หาค่าความต้านทานของระบบต่อลงดิน กระแสที่ไหลออกจากดิน แรงดันไฟฟ้าบนผิวดินแรงดันไฟฟ้าสัมผัสและแรงดันไฟฟ้าช่วงก้าว



รูปที่ ก.1 หน้าจอ CDEGS

## 2. โมดูล RESAP

### 2.1 วิธีการประมาณค่าพารามิเตอร์

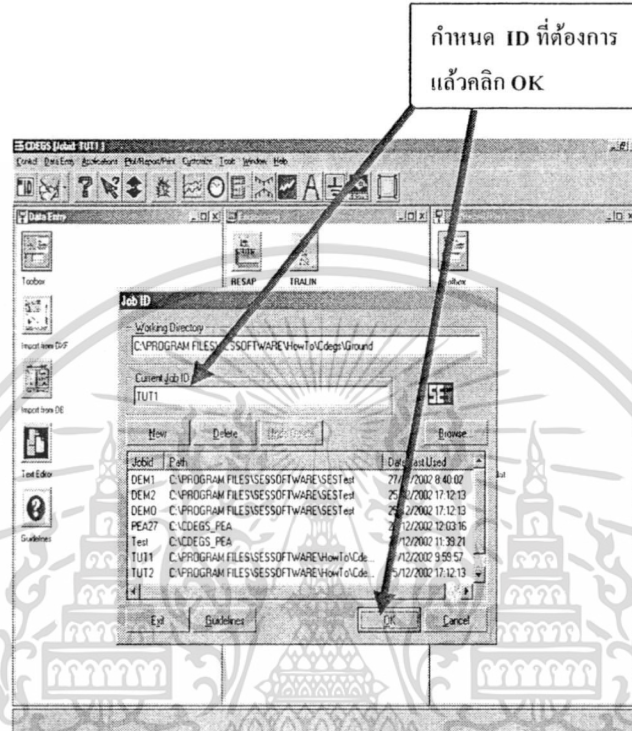
RESAP จะประมาณค่าพารามิเตอร์ด้วยการลดผลต่างกำลังสองของค่าที่วัดได้กับค่าที่คำนวณได้ (least-square minimization process) โดยจะมีให้เลือกวิธีการคำนวณ 2 วิธีด้วยกัน การคำนวณคือ รมติใดๆ ทั้งสิ้น อีกทั้งห้ามมิให้ตัดแปลงเนื้อหา และต้องอ้างอิงถึงเจ้าของเอกสารทุกครั้งที่มีการนำไปใช้

2.1.1 Levenberg-Marquardt (LM method)

2.1.2 Steepest Descent method

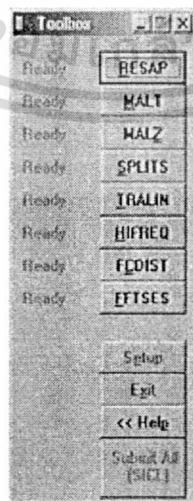
2.2 การใช้ RESAP

2.2.1 เปิดใช้งานโดย Start/Program/SES



รูปที่ ก.2 การกำหนด ID การใช้งานโมดูล RESAP

2.2.2 คลิก Toolbox ด้าน Data Entry เพื่อป้อนข้อมูล หน้าจอจะแสดง



รูปที่ ก.3 Toolbox การใช้งาน โมดูล RESAP

เอกสารนี้เป็นเอกสารที่สงวนไว้สำหรับการใช้งานเพื่อการศึกษานั้น ไม่อนุญาตให้นำไปใช้ประโยชน์ด้านการค้า  
 ไม่ว่าจะกรณีใดๆ ทั้งสิ้น อีกทั้งห้ามมิให้ดัดแปลงเนื้อหา และต้องอ้างอิงถึงเจ้าของเอกสารทุกครั้งที่มีการนำไปใช้

2.2.3 คลิก RESAP ใน Toolbox จะได้หน้าจอดังนี้

**Case Description**

Module Description: SOIL RESISTIVITY ANALYSIS FOR EAST CENTRAL SUBSTATION. A TWO-LAYER SOIL MODEL

Project Description: [Empty]

Run Identification: Substation Site #1

System of Units:  Metric  British

Printout:  Detailed  Summary

Buttons: New Case..., OK, Submit, Save..., Load..., Cancel

---

**RESAP (Measurements)**

Method:  General  Wenner, Long Filter  Wenner, Short Filter  Schlumberger

Type:  Resistance [Ohms] R=V/I  Resistivity [Ohm-Meters] Rho = Factor x R

Options:  Ignore Probe Depth  Account for Probe Depth

Plot Data:  Linear/Linear  Log/Linear  Log/Log

Buttons: Diagrams, Show Data

| Measurement Number | Spacing S (Feet) | Apparent Resistance R (Ohms) | Depth of Current Probes Do (Feet) | Depth of Inner Probes Di (Feet) |
|--------------------|------------------|------------------------------|-----------------------------------|---------------------------------|
| R1                 | 1                | 152.3                        | .3                                | .2                              |
| R2                 | 3                | 48.16                        | .3                                | .2                              |
| R3                 | 6                | 6.12                         | .3                                | .2                              |

Buttons: OK, Cancel

---

**RESAP (Measurements)**

Method:  General  Wenner, Short Filter  Wenner, Long Filter  Schlumberger

Type:  Resistance (Ohms) R=V/I  Resistivity (Ohm-Meters) Rho = Factor x R

Options:  Ignore Probe Depth  Account for Probe Depth

Plot Data:  Linear/Linear  Log/Linear  Log/Log

Buttons: Diagrams, Show Data

| Measurement Number | Spacing S (Feet) | Apparent Resistance R (Ohms) | Depth of Current Probes Do (Feet) | Depth of Inner Probes Di (Feet) |
|--------------------|------------------|------------------------------|-----------------------------------|---------------------------------|
| R1                 | 1                | 152.3                        | .3                                | .2                              |
| R2                 | 3                | 48.16                        | .3                                | .2                              |
| R3                 | 6                | 6.12                         | .3                                | .2                              |

Buttons: OK, Cancel

Wenner, Long Filter เป็นค่า default และเป็นวิธีมาตรฐานของ Wenner ส่วน Wenner, Short Filter จะเหมือนกับ Long Filter แต่จะให้ความถูกต้องน้อยกว่า ซึ่งจะใช้เมื่อมีการจำกัดชั้นของดิน

ป้อนข้อมูลได้ทั้งค่าความต้านทานของดิน (R) หรือค่าความต้านทานจำเพาะของดิน ( $\rho$ )

จะพิจารณาความลึกของโพรบหรือไม่ก็ได้

ข้อมูลที่ป้อนอย่างน้อยต้องมี 5 ข้อมูล

แสดงกราฟของข้อมูลที่วัดได้ 3 แบบ

จะให้RESAP กำหนดจำนวนชั้นของดิน  
อย่างอัตโนมัติหรือผู้ใช้เป็นผู้กำหนดเองตาม  
ต้องการ

**RESAP (Soil Type)**

Soil Type

- Uniform
- Horizontal Layers
- Vertical Layers
- Exponential Variation With Depth

Number of Soil Layers

- Determine Automatically
- User-Defined

Soil Characteristics

Initial Estimates of Soil Characteristic Values

| Layer  | Resistivity (Ohm-Meters) | Thickness (Feet) | Locking Options | Lock/Unlock Item |
|--------|--------------------------|------------------|-----------------|------------------|
| Air    | 1E+18                    | Infinite         |                 |                  |
| Top    |                          |                  |                 |                  |
| Bottom |                          | Infinite         |                 |                  |

**RESAP (Computations)**

Lock Options

Default  Lock All  Unlock All  Lock/Unlock

| Layer | Locking Options | Lock/Unlock Item | Starting Layer | Ending Layer |
|-------|-----------------|------------------|----------------|--------------|
| L1    |                 |                  | 1              | 1            |
| L2    |                 |                  | 2              | 2            |
| L3    |                 |                  | 3              | 3            |

Please define the layers in the following order: Air, Top, Central, and Bottom (up to 18 central layers are allowed)

Computed Resistivity Traverse

Desired Number of Consecutive Electrode Spacings:

Incremental Value of Outer Electrode Spacing (Feet):

Filter

- Automatic Filter Selection
- Use Standard Filter
- Use High-Precision Filter
- Generate Filters (Integration); Use High Precision
- Generate Filters (Integration); Use Standard Precision
- Generate Filters (FFT); Use High Precision
- Generate Filters (FFT); Use Standard Precision

Integration Levels

Upper:  Lower:  Sampling Interval:

**RESAP (Optimization)**

Methodology

- Enable Methodology
- Marquardt
- Simplex
- Steepest

Steepest Type

- Old
- Progressive
- Standard

Accuracy (p.u.):

Iterations:

Oscillation

- Select Oscillation
- No Stop  Stop

Process

- Select Process
- Best  Last

Regularization

- Select Regularization
- Marquardt
- Empirical
- Generalized

Lambda:

Small Number:

Step Size:

**RESAP - Analysis of Earth Resistivity Measurements**

Case Description

Module Description | Project Description

SOIL RESISTIVITY ANALYSIS FOR EAST CENTRAL SUBSTATION. A TWO-LAYER SOIL MODEL.

Run-Identification

Substation Site #1:

System of Units

- Metric
- British

Define Measurements...

Printout

- Detailed
- Summary

Computations... Optimization...

Buttons: New Case, Save, Load, OK / Submit, Cancel

Path: C:\CDEGS\_EXAMPLES\OFFICIAL\HOWTO\CDEGS\GROUND\NPI

เอกสารนี้เป็นเอกสารที่สงวนไว้สำหรับการใช้งานเพื่อการศึกษาเท่านั้น ไม่อนุญาตให้นำไปใช้ประโยชน์ด้านการค้า  
ไม่ว่ากรณีใดๆ ทั้งสิ้น รูปที่ ก.5 การเลือกแบบจำลองและการตั้งค่าโมดูล REASP

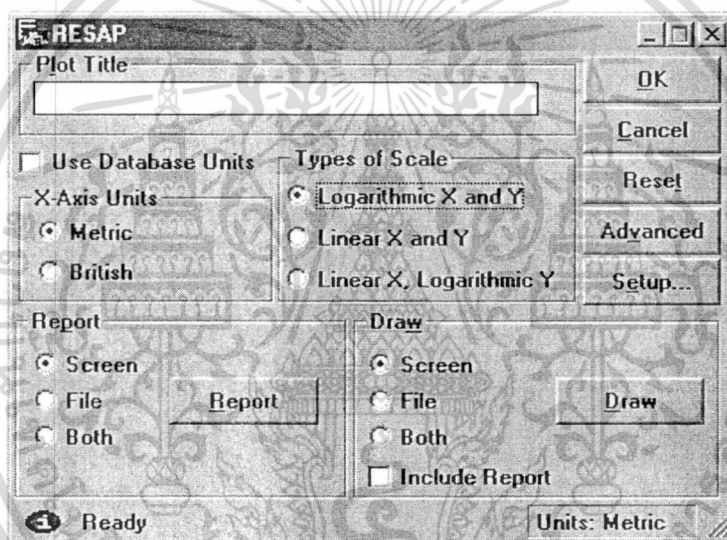
2.2.4 คลิก OK/Submit ถ้ามีไฟล์เดิม โมดูลจะถามว่าต้องการทับ input file เดิม (\*.WTB, \*.INP และ \*.F05) หรือไม่ ถ้าต้องการก็ คลิก Yes ข้อมูลพร้อมที่จะส่งไปยัง SICL เพื่อสร้างเป็น RESAP input file

2.2.5 คลิก Submit All (SICL) ที่อยู่ใน Toolbox ในข้อ 2 จะเป็นการสร้างไฟล์ RS\_\*\*.F05 ซึ่งพร้อมที่จะนำไปเข้ากระบวนการ Engineering

2.2.6 คลิก RESAP ด้าน Engineering เป็นกระบวนการการคำนวณตามวิธีที่กำหนดไว้ ถ้ามี output file เดิม โมดูลจะถามว่าต้องการทับไฟล์เดิม (\*.F09 และ \*.F21) หรือไม่ ถ้าต้องการก็ คลิก Yes

2.2.7 เมื่อเสร็จแล้ว คลิก Toolbox ด้าน PLOT/REPORT/PRINT จะได้นหน้าจอ

ดังนี้



รูปที่ ก.6 การเลือกรูปแบบการ report และ plot โมดูล RESAP

### 2.3 PLOT/REPORT/PRINT

การ plot สามารถเลือกเสกตได้ 3 แบบ คือ

2.3.1 เสกตล็อก (Logarithmic X and Y)

2.3.2 เสกตแบบเชิงเส้น (Linear X and Y)

2.3.3 เสกตแบบเชิงเส้นในแกน X และเสกตล็อกในแกน Y (Linear X

Logarithmic Y)

## 2.4 ตัวอย่างการรันโมดูลกรณีกำหนดให้เป็นดินสองชั้น

ตารางที่ ก.1 ความต้านทานดินที่ภาคสนาม อำเภอพาน จังหวัดเชียงราย

| ระยะห่างของ<br>โพรบ(m)             | ค่าความต้านทานที่วัดได้ ( $\Omega$ ) |        |        |       |       |       |       |       |       |       |
|------------------------------------|--------------------------------------|--------|--------|-------|-------|-------|-------|-------|-------|-------|
|                                    | 0.5                                  | 1.0    | 2.0    | 3.0   | 4.0   | 5.0   | 7.5   | 10    | 15    |       |
| ตำแหน่งวัด                         |                                      |        |        |       |       |       |       |       |       |       |
| 1                                  | 37.5                                 | 18.9   | 4.59   | 2.05  | 1.42  | 1.16  | 0.794 | 0.68  | 0.435 |       |
| 2                                  | 70                                   | 14.4   | 4.3    | 1.76  | 1.362 | 1.2   | 0.96  | 0.48  | 0.515 |       |
| 3                                  | 40.5                                 | 19.5   | 4      | 1.9   | 1.29  | 1     | 0.71  | 0.59  | -     |       |
| 4                                  | -                                    | -      | -      | -     | -     | -     | -     | -     | -     |       |
| 5                                  | -                                    | -      | -      | -     | -     | -     | -     | -     | -     |       |
| 6                                  | -                                    | -      | -      | -     | -     | -     | -     | -     | -     |       |
| R ( $\Omega$ )<br>(AVERAGE)        | $\Sigma R/N$                         | 49.33  | 17.60  | 4.30  | 1.90  | 1.36  | 1.12  | 0.82  | 0.58  | 0.48  |
| $\rho$ ( $\Omega$ -m)<br>(AVERAGE) | $27LaR$                              | 154.99 | 110.58 | 53.99 | 35.88 | 34.11 | 35.19 | 38.70 | 36.65 | 44.77 |

| ===== < RESISTIVITY ( SYSTEM INFORMATION SUMMARY ) > ===== |   |                    |                               |                            |
|--|---|--------------------|-------------------------------|----------------------------|
| Run ID.....  | Phan_2L_default   |                    |                               |                            |
| System of Units .....                                      | Meters  |                    |                               |                            |
| Soil Type Selected.....                                    | Multi-Layer Horizontal  |                    |                               |                            |
| RMS error between measured and calculated....              | 9.41757 in percent resistivities (Note RMS=SQRT(average(Di**2))). |                    |                               |                            |
| <-- LAYER CHARACTERISTICS -->                              |   |                    |                               |                            |
| Layer Number   | Resistivity (ohm-m)   | Thickness (Meters) | Reflection Coefficient (p.u.) | Resistivity Contrast Ratio |
| 1  | infinite  | infinite           | 0.0                           | 1.0                        |
| 2  | 184.7921  | 0.6569766          | -1.0000                       | 0.18479E-17                |
| 3  | 35.53453  | infinite           | -0.67744                      | 0.19229                    |

รูปที่ ก.7 ผลค่าความต้านทานจำเพาะของดินสองชั้นของโมดูล RESAP

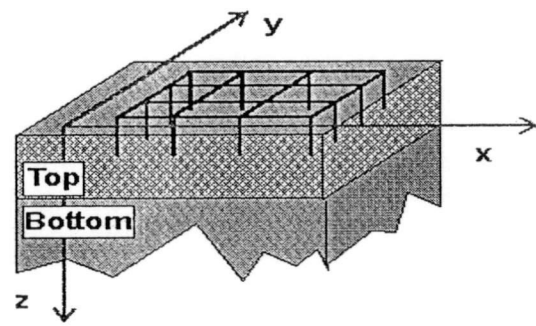


รูปที่ ก.8 กราฟค่าความต้านทานจำเพาะของดินสองชั้นของ โมดูล RESAP

3. โมดูล MALT

3.1 แบบจำลองของดินใน MALT

แบบจำลองของดินใน MALT มีอยู่หลายแบบให้ผู้ใช้สามารถเลือกให้เหมาะสมกับโครงสร้างของดินที่แท้จริง โดยบางแบบจำลองอาจจะได้จากการแปลความหมายจากค่าที่วัดได้โดยใช้โมดูล RESAP วิทยานิพนธ์ฉบับนี้เลือกใช้แบบจำลองดินสองชั้นในแนวนอน

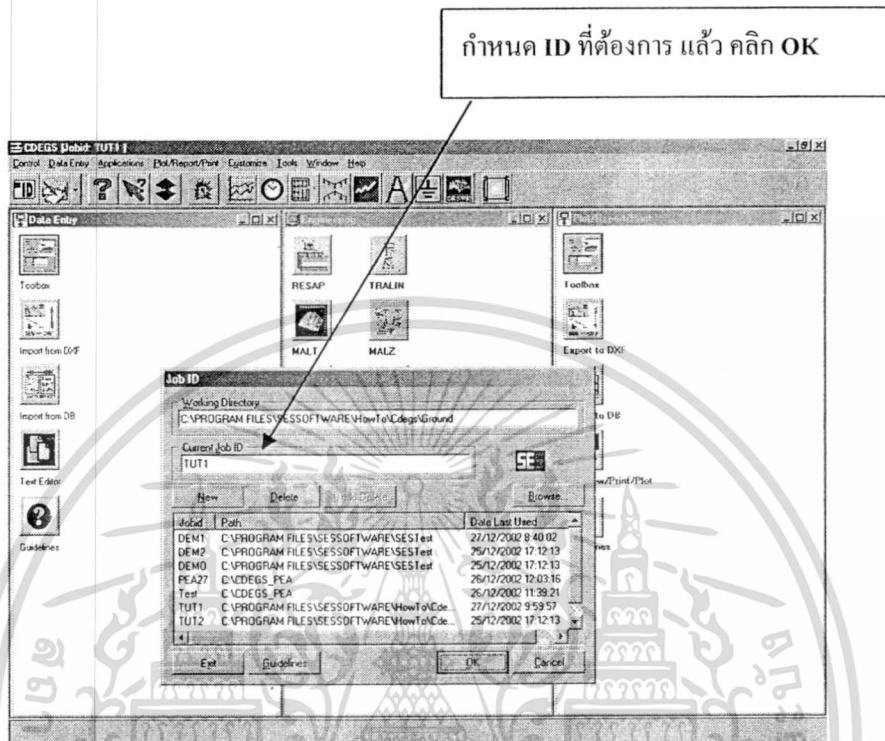


เอกสารนี้เป็นเอกสารที่สงวนไว้สำหรับการใช้งานเพื่อการศึกษาเท่านั้น ไม่อนุญาตให้นำไปใช้ประโยชน์ด้านการค้า  
 ไม่ว่ากรณีใดๆ ทั้งสิ้น อีกทั้งห้ามมิให้คัดแปลงเนื้อหา และต้องอ้างอิงถึงเจ้าของเอกสารทุกครั้งที่มีการนำไปใช้

รูปที่ ก.9 ดินสองชั้นในแนวนอน

### 3.2 การใช้ MALT

#### 3.2.1 Start/Program/SES Software/CDEGS



รูปที่ ก.10 การกำหนด ID การใช้งาน โมดูล MALT

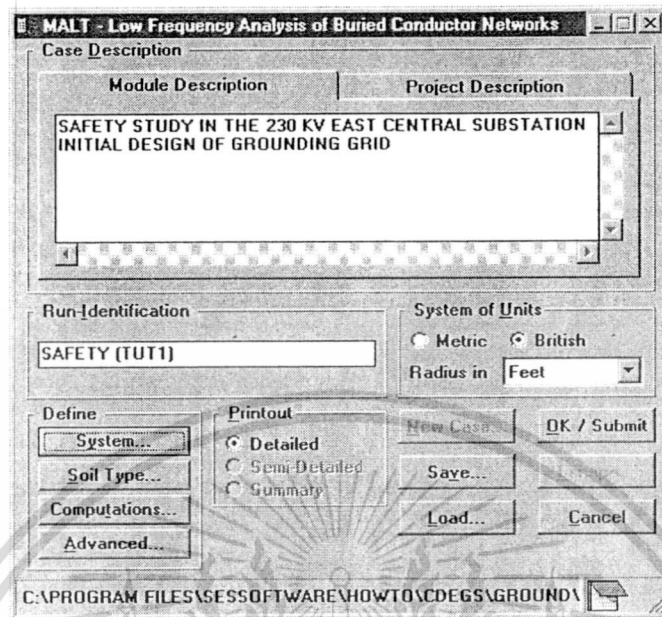
#### 3.2.2 คลิก Toolbox ด้าน Data Entry เพื่อป้อนข้อมูล หน้จอจะแสดงดังนี้



รูปที่ ก.11 Toolbox การใช้งาน โมดูล MALT

เอกสารนี้เป็นเอกสารที่สงวนไว้สำหรับใช้ภายในหน่วยงานเท่านั้น ไม่ให้นำไปใช้ประโยชน์ด้านการค้า  
ไม่ว่ากรณีใดๆ ทั้งสิ้น อีกทั้งห้ามมิให้ดัดแปลงเนื้อหา และต้องอ้างอิงถึงเจ้าของเอกสารทุกครั้งที่มีการนำไปใช้

### 3.2.3 คลิก MALT ที่อยู่ใน Toolbox หน้าจอ MALT



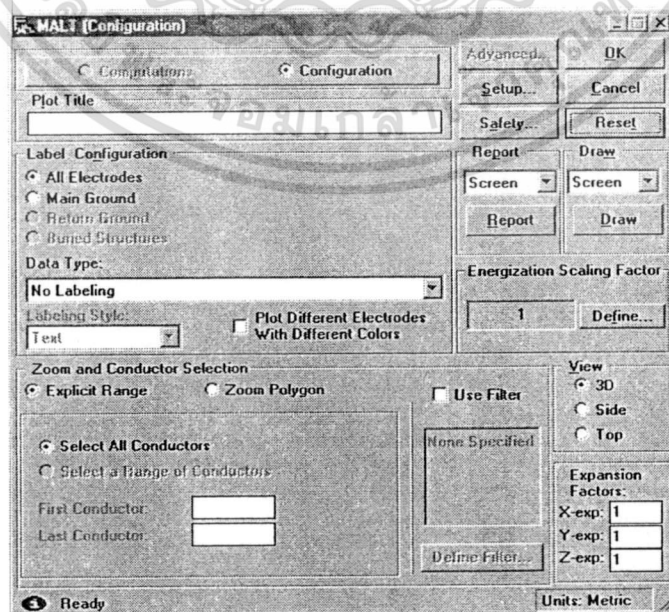
รูปที่ ก.12 หน้าจอโมดูล MALT

### 3.2.4 คลิก OK/Submit

### 3.2.5 คลิก MALT ด้าน Engineering เป็นกระบวนการคำนวณ

### 3.2.6 เมื่อเสร็จแล้ว คลิก Toolbox ด้าน PLOT/REPORT/PRINT จะได้นหน้าจอ

ดังนี้



เอกสารนี้เป็นเอกสารที่สงวนไว้สำหรับการใช้งานเพื่อการศึกษาเท่านั้น ไม่อนุญาตให้นำไปใช้ประโยชน์ด้านการค้า  
ไม่ว่ากรณีใดๆ ทั้งสิ้น รูปที่ ก.13 หน้าจอของการ PLOT/REPORT/PRINT โมดูล MALT

### 3.3 ตัวอย่างการแสดงผล

การแสดงผลที่เป็นรายงานโดยย่อสามารถสั่งให้แสดงหรือพิมพ์ได้โดยคลิกปุ่ม Report ในรูปที่ ก.14 หรือวาดกราฟของศักย์ไฟฟ้าหรือแรงดันไฟฟ้าตามที่กำหนดได้จากการคลิกปุ่ม Draw ในรูปที่ ก.14 เช่นเดียวกัน

```

===== < G R O U N D I N G   ( S Y S T E M I N F O R M A T I O N S U M M A R Y ) > =====
Run ID.....: 1xRod_3m
System of Units .....: Metric
Earth Potential Calculations.....: Single Electrode Case
Mutual Resistance Calculations.....: NO
Main Ground Resistance and GPR Calculations.: Representative Point Method
Type of Electrodes Considered.....: Main Electrode ONLY
Soil Type Selected.....: Uniform or Two-Layer Horizontal
SPLITS/FCDIST Scaling Factor.....: 1.0000

EARTH PARAMETERS FOR HORIZONTALLY-LAYERED SOIL
-----
TOP LAYER RESISTIVITY = 100.00 ohm-meters
BOTTOM LAYER RESISTIVITY = 100.00 ohm-meters
REFLECTION COEFFICIENT = 0.000000 per unit
TOP LAYER HEIGHT = 10000. METERS

CONFIGURATION OF MAIN ELECTRODE
=====
Original Electrical Current Flowing In Electrode.: 1000.0 amperes
Current Scaling Factor (SPLITS/FCDIST/specified)..: 1.0000
Adjusted Electrical Current Flowing In Electrode.: 1000.0 amperes
Number of Conductors in Electrode.....: 1
Resistance of Electrode System.....: 31.405 ohms

SUBDIVISION
=====
Grand Total of Conductors After Subdivision.: 3

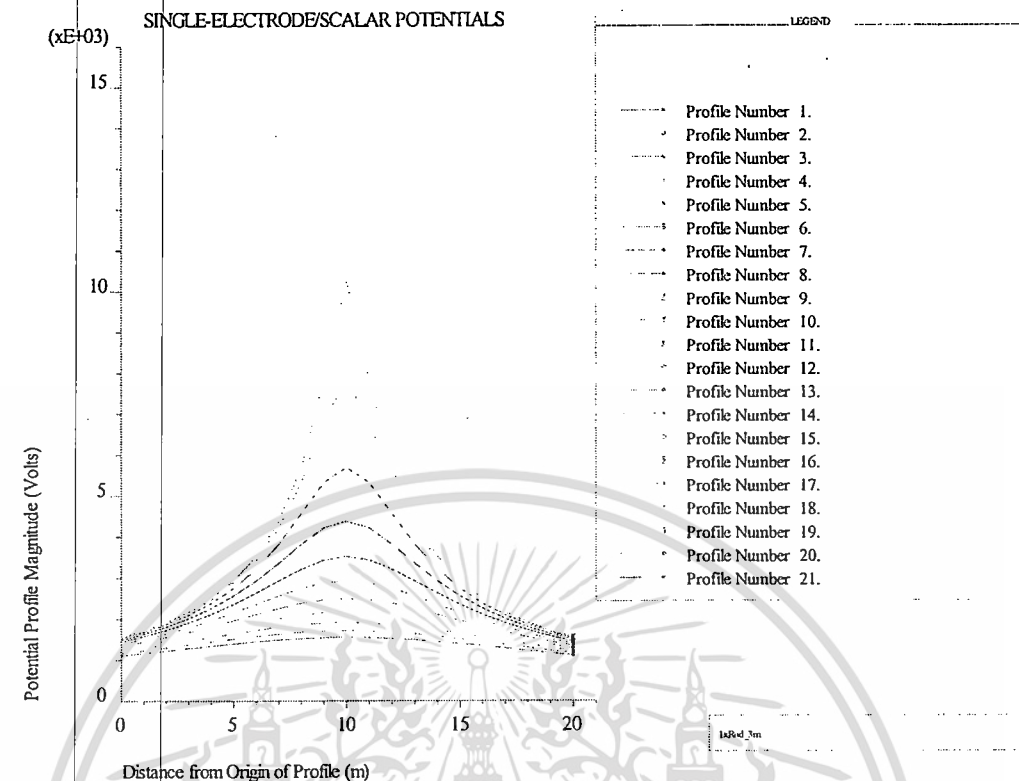
Total Current Flowing In Main Electrode.....: 1000.0 amperes
Average Current Density of Conductor Segments.: 333.33 amperes /meter
Total Buried Length of Main Electrode.....: 3.0000 meters

EARTH POTENTIAL COMPUTATIONS
=====
Main Electrode Potential Rise (GPR).....: 31405. volts
(based on two representative points)

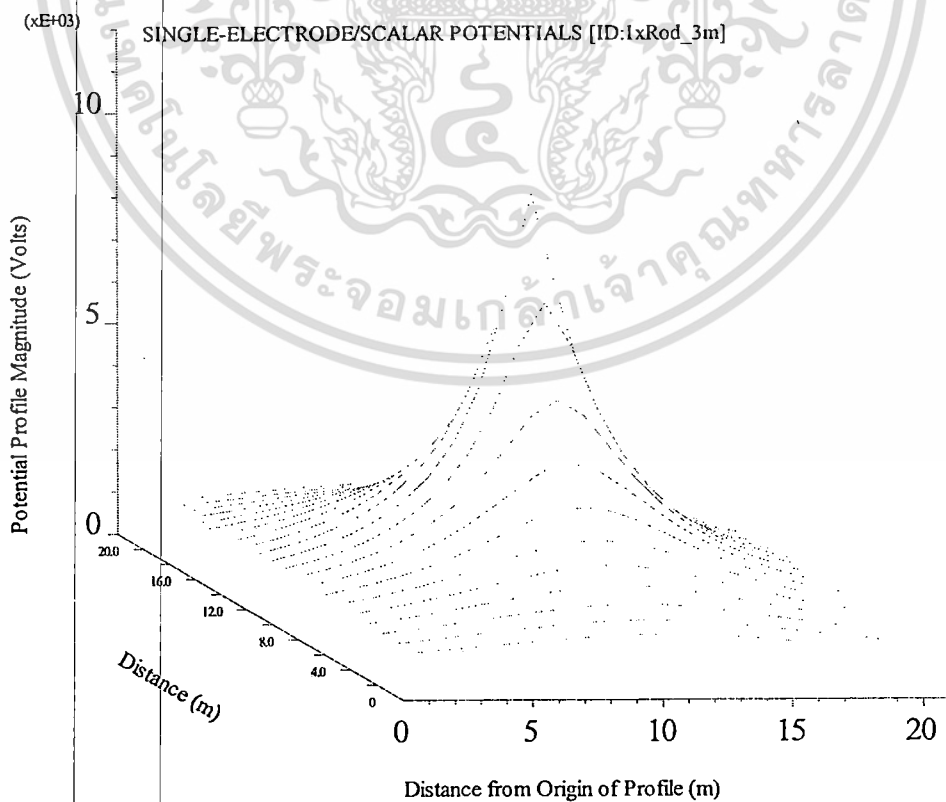
End of Report #1

```

รูปที่ ก.14 ตัวอย่าง Report จากโมดูล MALT



รูปที่ ก.15 แสดงศักย์ไฟฟ้าบนผิวดินด้วย 2D



รูปที่ ก.16 แสดงศักย์ไฟฟ้าบนผิวดินด้วย 3D Perspective

เอกสารนี้เป็นเอกสารที่สงวนไว้สำหรับการใช้งานเพื่อการศึกษาเท่านั้น ไม่อนุญาตให้นำไปใช้ประโยชน์ด้านการค้า  
ไม่ว่ากรณีใดๆ ทั้งสิ้น อีก

## ภาคผนวก ข.

### ผลงานวิจัยที่ได้รับการตีพิมพ์เผยแพร่

1. พลฉัตร กัลยา. “การพัฒนาโปรแกรม Visual Basic สำหรับออกแบบกราฟด์กริดของสถานีไฟฟ้าย่อย.” การประชุมวิชาการทางวิศวกรรมไฟฟ้าครั้งที่ 33, เล่มที่ 1, ธันวาคม 2553, หน้า 33-36.



# Call for Papers



## 33<sup>rd</sup> Electrical Engineering Conference : EECON 33

### การประชุมทางวิชาการทางวิศวกรรมไฟฟ้า ครั้งที่ 33

1 – 3 ธันวาคม 2553 ณ โรงแรมเซ็นทารา ดิจิตอลเซ็น จังหวัดเชียงใหม่

50 ปี คณะวิศวกรรมศาสตร์ สถาบันเทคโนโลยีพระจอมเกล้าเจ้าคุณทหารลาดกระบัง  
40 ปี คณะวิศวกรรมศาสตร์ มหาวิทยาลัยเชียงใหม่  
20 ปี คณะวิศวกรรมศาสตร์ มหาวิทยาลัยเทคโนโลยีมหานคร

#### กำหนดการ

- Submission Deadline : 9 กรกฎาคม 2553
- Author Notification : 25 สิงหาคม 2553
- Camera Ready Due : 24 กันยายน 2553
- Author Registration : 24 กันยายน 2553
- Early Bird Registration : 8 ตุลาคม 2553

<http://www.kmitl.ac.th/engineer/eecon33>

## 111 Years Engineering Innovation

### 111 ปี นวัตกรรมเพื่อการสร้างสรรค์

#### คณะกรรมการ

- General Supervisor :
  - รศ.ดร.เกษียร เตชะภูววิทยา (KMITL)
  - รศ.ดร.อริศม ตัญญาบุตร (MUT)
  - อ.ธนวิทย์ จุลิกาวิชย์ (CMU)
- General Chair :
  - รศ.ดร.มณฑล สิวาลินคารโภทก์ (KMITL)
  - ดร.วิรัช เวียงทอง (MUT)
  - รศ.ดร.สุรวิชัย เปรมภูณัฐวิราชชญ์ (CMU)
- Local Chair :
  - ผศ.สุภัทรมงคล ทนงธรรมรัตน์ (CMU)
- Local Arrangement :
  - ผศ.ชวรงค์ โนนดิลก (CMU)
- Technical Program Chair :
  - ผศ.ดร.ชัชวาลย์ ชนกุลอินทร์ (KMITL)
  - ดร.สมมาตร ส่งมณี (MUT)
  - อ.ชัยยะ ศิริอุทัยศิริวงศ์ (CMU)
- Publicity Chair :
  - อ.ชัยวิทย์ จวงวิธอรกุล (KMITL)
  - อ.ชวรงค์ โนนดิลก (MUT)
  - ดร.พิระศัล จิราทัศน์ (CMU)
- Proceeding Chair :
  - ผศ.ดร.อรุณวัฒน์ จงรมณีเลิศ (KMITL)
  - ผศ.ดร.สุวิรัตน์ คำสือย (KMITL)
  - ผศ.ดร.สันติพงษ์ พรหมพิริย (MUT)
  - อ.จิรศักดิ์ วิลาศเศรษฐานนท์ (CMU)
- Web Chair :
  - อ.ธนวิทย์ จุลิกาว (KMITL)
  - อ.วิรัชชัย เวียงทอง (MUT)
- Treasurer :
  - อ.สุเมย์ สุวัจน์ (MUT)
- Secretary :
  - ผศ.ดร.ชัชวาลย์ ชนกุลอินทร์ (KMITL)
  - ดร.สุรชัชวาลย์ สิวาลินคารโภทก์ (MUT)

#### ประเภทบทความ

- ไฟฟ้ากำลัง (PW - Electrical Power System)
- ไฟฟ้าสื่อสาร (CM - Communication)
- ระบบควบคุมและเทคนิควัดคุม (CP - Control System and Instrument Technology)
- คอมพิวเตอร์และเทคโนโลยีสารสนเทศ (CI - Computer and Information Technology)
- งานวิจัยที่เกี่ยวข้องกับวิศวกรรมไฟฟ้า (GM - General Engineering and Science)
- อิเล็กทรอนิกส์กำลัง (PE - Power Electronics)
- อิเล็กทรอนิกส์ (EL - Electronics)
- การประมวลผลสัญญาณดิจิทัล (DS - Digital Signal Processing)
- โฟโตนิกส์ (PH - Photonics)
- วิศวกรรมชีวการแพทย์ (BE - Biomedical Engineering)

#### ความเป็นมา

การประชุมวิชาการทางวิศวกรรมไฟฟ้า (Electrical Engineering Conference : EECON) เป็นการประชุมวิชาการระดับประเทศในสาขาวิศวกรรมไฟฟ้าที่โดดเด่นของประเทศไทย มีกิจกรรมประชุมครั้งแรกในปี พ.ศ. 2521 โดยภาควิชาวิศวกรรมไฟฟ้า จากสถาบันอุดมศึกษาต่าง ๆ ภายใต้อาณาเขตจังหวัดนครราชสีมา และกรุงเทพมหานคร ผลักดันให้หน่วยงานอื่นเป็นเจ้าภาพและ สถาบันอื่นๆ ร่วมเป็นคณะกรรมการจัดการการประชุมครั้งนับเป็นครั้งที่ 33 (EECON-33) มีเจ้าภาพร่วมสามมหาวิทยาลัย และเพื่อเป็นการร่วมเฉลิมฉลองวาระครบรอบ 50 ปี สถาบันเทคโนโลยีพระจอมเกล้าเจ้าคุณทหารลาดกระบัง 40 ปี คณะวิศวกรรมศาสตร์ มหาวิทยาลัยเชียงใหม่ และ 20 ปี มหาวิทยาลัยเทคโนโลยีมหานคร จึงเป็นที่มาของการใช้ชื่อเป็นของงานว่า **111 ปี นวัตกรรมเพื่อการสร้างสรรค์**

#### วัตถุประสงค์

- เพื่อเผยแพร่ผลงานวิจัยทางวิศวกรรมด้านต่างๆ และวิศวกรรมที่ผู้สนใจในภาคเอกชนและรัฐบาล
- เพื่อเปิดโอกาสให้นักวิชาการ นักวิจัย นักวิชาการอิสระ นักศึกษา ตลอดจนบุคลากรจากหน่วยงานต่างๆ ทั้งในภาครัฐและเอกชนรวมถึงวิศวกรและผู้ประกอบการในภาคอุตสาหกรรม ได้มีโอกาสเผยแพร่ผลงานวิจัย และ ได้มีโอกาสแลกเปลี่ยนความรู้ ความคิดเห็นและประสบการณ์
- เพื่อเป็นสายกระชับและส่งเสริมให้มีการสร้างงานวิจัยที่ตอบสนองต่อความต้องการของประเทศได้อย่างแท้จริง
- เพื่อกระตุ้นให้เกิดงานวิจัยทางด้านวิศวกรรมไฟฟ้าและสาขาที่เกี่ยวข้องมากขึ้น

#### การส่งบทความ

บทความส่งทำเป็นภาษาไทย หรือ ภาษาอังกฤษความยาวไม่เกิน 4 หน้ากระดาษ A4 ผู้ที่สนใจส่งบทความเข้าร่วมประชุม สามารถดาวน์โหลดแบบฟอร์มพร้อมทั้งเอกสารต่างๆ ได้ที่เว็บไซต์การจัดประชุม <http://www.kmitl.ac.th/engineer/eecon33>



เอกสารนี้เป็นเอกสารที่สงวนไว้สำหรับการใช้งานเพื่อการศึกษาเท่านั้น ไม่อนุญาตให้นำไปใช้ประโยชน์ด้านการค้า  
ไม่ว่ากรณีใดๆ ทั้งสิ้น อีกทั้งห้ามมิให้ดัดแปลงเนื้อหา และต้องอ้างอิงถึงเจ้าของเอกสารทุกครั้งที่มีการนำไปใช้

# การพัฒนาโปรแกรม Visual Basic สำหรับออกแบบกราวด์กริดของสถานีไฟฟ้าย่อย Development of Visual Basic Program for Substation Ground Grid Design

พลภัตตร์ กัลยา<sup>1</sup> และ สมชาติ จิรวិภากร<sup>1</sup>

<sup>1</sup> สาขาวิชาวิศวกรรมไฟฟ้า คณะวิศวกรรมศาสตร์ สถาบันเทคโนโลยีพระจอมเกล้าเจ้าคุณทหารลาดกระบัง

1 ซ.ฉลองกรุง 1 แขวงลาดกระบัง เขตลาดกระบัง กรุงเทพมหานคร 10520 โทรศัพท์: 0-2329-8330 E-mail: polechat\_k@hotmail.com

## บทคัดย่อ

บทความฉบับนี้เป็นกรนำมาเสนอการพัฒนาโปรแกรมในการออกแบบกราวด์กริดสำหรับสถานีย่อยเมื่อพิจารณาเป็นแบบสองชั้น โดยอ้างอิงการออกแบบตามมาตรฐาน IEEE Std.80-2000[1] ที่มีวัตถุประสงค์เพื่อให้คำแนะนำเกี่ยวกับวิธีการติดตั้งระบบต่อลงดินในสถานีไฟฟ้าเพื่อให้เกิดความปลอดภัย ซึ่งโปรแกรมการออกแบบนี้ถูกสร้างขึ้นและพัฒนามาบนโปรแกรม Visual Basic จากข้อมูลของดินที่พบที่สถานีส่วนใหญ่ที่พบเป็นดินแบบไม่สม่ำเสมอ การออกแบบกราวด์กริดของสถานีไฟฟ้าที่ช่วยด้วยวิธีการสองชั้นจะได้ค่าใกล้เคียงกับค่าที่เกิดขึ้นจริงโดยผลการของ Xiaobin[2] ถูกใช้ในการคำนวณหาความต้านทานการต่อลงดินของกราวด์กริด นอกจากนี้บทความฉบับนี้ แสดงผลลัพธ์ และค่าที่ใช้ในการออกแบบที่พบเป็นข้อมูลรายงานได้ โดยโปรแกรมมีลักษณะการใช้งานง่ายและเหมาะสมกับผู้ใช้งาน

คำสำคัญ: สถานีไฟฟ้าย่อย, ดินสองชั้น, กราวด์กริด

## Abstract

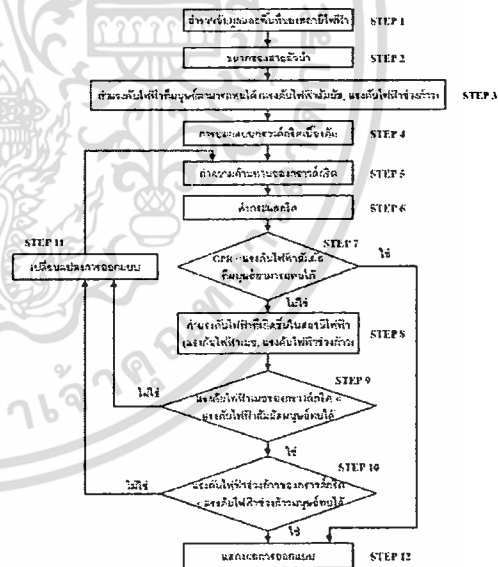
This article presents the development of computer software for substation ground grid design by using two-layer soil methods. The ground grid was designed according to IEEE std.80-2000[1], which advises about a safe method to install substation grounding system. This program was created and developed by Visual Basic program [2]. Normally, most of soil was nonuniform. Using two-layer soil, parameters for substation ground grid design should provide a better result than a substation ground grid design by using the uniform soil parameter. For computing the ground resistance, a method is based on two-layer soil of Xiaobin's equations [2]. In addition to the article, it also able to print out the report as well. The program is easy to use and appropriated with all users.

Keywords: substation, two-layer, ground grid

## 1. คำนำ

การออกแบบกราวด์กริดของสถานีไฟฟ้าที่ช่วย ต้องพิจารณาถึงความปลอดภัยของผู้ปฏิบัติงานในสถานีไฟฟ้าที่ช่วยของกระแสไฟฟ้าที่ไหลลงสู่กราวด์กริดหรือพื้นที่ที่อยู่บริเวณรอบๆ ซึ่งสภาวะปกติและในสภาวะที่เกิดความผิดปกติของในสภาวะ ที่เกิดความผิดปกติของกระแสที่ไหลลงสู่กราวด์กริดจะมีขนาดสูงมากทำให้เกิดความแตกต่างของแรงดันระหว่างที่ห่างสองข้างในขณะที่มีมนุษย์เดินอยู่ในสถานีไฟฟ้า หรือเกิดขึ้นระหว่างที่นำและแขนในขณะที่มีมนุษย์สัมผัสอุปกรณ์ต่างๆ มีกระแสไหลผ่านเข้าสู่วางกายมนุษย์ ถ้ากระแสที่ไหลเข้าสู่ร่างกายมีค่ามากกว่ากระแสที่มนุษย์ทนได้ก็จะทำให้เกิดช็อกหรือเสียชีวิตได้ การออกแบบกราวด์กริดในสถานีไฟฟ้าที่ช่วยที่ดีจึงควรออกแบบให้ค่าความต้านทานการต่อลงดินของกราวด์กริดมีค่าต่ำ

มาตรฐาน IEEE 80-2000 กล่าวถึงการออกแบบกราวด์กริดของสถานีไฟฟ้าที่ช่วย เพื่อให้เกิดความปลอดภัยต่อผู้ที่ปฏิบัติงานอยู่ในสถานีไฟฟ้า ดังนั้นบทความฉบับนี้จะ ทำการออกแบบกราวด์กริดของสถานีไฟฟ้าที่ช่วยโดยใช้ค่าพารามิเตอร์ของดินสองชั้นและมีขั้นตอนการออกแบบ 12 ขั้นตอน



รูปที่ 1 ขั้นตอนการออกแบบกราวด์กริด



การประชุมวิชาการทางวิศวกรรมไฟฟ้าครั้งที่ 33 (EECON-33) 1-3 ธันวาคม 2553 จังหวัดเชียงใหม่ จัดโดย สกค. หย. มทม.  
The 33rd Electrical Engineering Conference, 1-3 December 2010, Organized by KMITL, CMU, MUT

เอกสารนี้เป็นเอกสารที่สงวนไว้สำหรับการใช้งานเพื่อการศึกษาเท่านั้น ไม่อนุญาตให้นำไปใช้ประโยชน์ด้านการค้า  
ไม่ว่ากรณีใดๆ ทั้งสิ้น อีกทั้งห้ามมิให้ตัดแปลงเนื้อหา และต้องอ้างอิงถึงเจ้าของเอกสารทุกครั้งที่มีการนำไปใช้

และการพัฒนาด้วยโปรแกรม Visual Basic มาเป็นเครื่องมือเพื่อให้ได้ซอฟต์แวร์สำหรับการทำงานที่มีประสิทธิภาพ ใช้งานง่ายเหมาะกับการนำไปใช้ออกแบบเครื่องจริงในทางปฏิบัติ

2. หลักการและทฤษฎี

2.1 การวัดค่าความต้านทานจำเพาะของดิน

วิธีที่นิยมใช้ในภาควัดคือ Wenner method หรือ การวัดแบบสี่จุด โดยมีระยะห่างระหว่างขั้วเท่ากัน

2.2 ขนาดของสายตัวนำ

ขนาดของสายตัวนำที่ต่อลงดินมีค่าขึ้นอยู่กับ ขนาดของกระแสไหลที่ไหลผ่านตัวนำ ช่วงเวลาที่เกิดกระแสสลับหรือหรือช่วงเวลาคลื่นกระแส คุณสมบัติของวัสดุที่ใช้ คุณสมบัติของสิ่งแวดล้อมโดยรอบและอุณหภูมิสูงสุดที่ตัวนำสามารถรับได้

2.3 แรงดันไฟฟ้าที่มนุษย์สามารถทนได้

2.3.1 แรงดันไฟฟ้าสัมผัสที่มีมนุษย์ทนได้ (Touch Voltage)

เป็นความต่างศักย์ระหว่างแรงดันไฟฟ้าของระบบต่อลงดินที่คนไปและหรือสัมผัสและแรงดันไฟฟ้าที่จุดที่คนยืนอยู่บนพื้นทำให้เกิดกระแสไหลในร่างกาย สิ่งนี้แรงดันไฟฟ้าสัมผัสตัวนำบริเวณหน้าเนื้อ 50 และ 70 กิโลกรัมหาได้จากสมการดังนี้

$$E_{touch50} = (1000 + 1.5C_s \rho_s) \frac{0.116}{\sqrt{t_s}} \quad (1)$$

$$E_{touch70} = (1000 + 1.5C_s \rho_s) \frac{0.157}{\sqrt{t_s}} \quad (2)$$

2.3.2 แรงดันไฟฟ้าในช่วงก้าวที่มีมนุษย์ทนได้ (Step Voltage)

เป็นความต่างศักย์ของแรงดันไฟฟ้าบนผิวดินระหว่างจุดสองจุดข้างกันหนึ่งเมตรเท่ากับก้าวหนึ่งของคน ทำให้เกิดความต่างศักย์ไฟฟ้าระหว่างเท้าโดยไม่ได้สัมผัสวัตถุที่ต่อลงดินส่งผลให้กระแสไหลในร่างกาย ดังนั้นแรงดันไฟฟ้าในช่วงก้าวตัวนำบริเวณหน้าเนื้อ 50 และ 70 กิโลกรัมหาได้จากสมการดังนี้

$$E_{step50} = (1000 + 6C_s \rho_s) \frac{0.116}{\sqrt{t_s}} \quad (3)$$

$$E_{step70} = (1000 + 6C_s \rho_s) \frac{0.157}{\sqrt{t_s}} \quad (4)$$

โดยที่

- $C_s$  คือแฟกเตอร์ลดสำหรับวัสดุผิวดิน
- $\rho_s$  คือค่าความต้านทานจำเพาะของวัสดุผิวดิน,  $\Omega\cdot m$ .
- $t_s$  คือค่าระยะเวลาที่กระแสไหลผ่านคน, s.
- $I_p$  คือขนาดกระแสไฟฟ้าที่ไหลผ่านร่างกาย.

2.4 ความต้านทานระบบต่อลงดิน

2.4.1 สัมประสิทธิ์การสะท้อนและค่าความต้านทานจำเพาะปรากฏ [1], [3]

ระบบการต่อลงดินของสถานีไฟฟ้าที่ใช้แบบจำลองโครงสร้างเป็นดินสองชั้นจะมีค่าการสะท้อนแทนความต้านทานจำเพาะของดินชั้นบนและดินชั้นล่างด้วย  $\rho_1$  และ  $\rho_2$  ตามลำดับ และเพื่อให้เกิดความง่ายในการคำนวณจึงประยุกต์แบบโครงสร้างดินสองชั้นให้มิลักษณะโครงสร้างเป็นดินชั้นเดียว โดยความต้านทานจำเพาะปรากฏหาได้จากสมการที่ (5) และ (6) ดังนี้

$$\rho_a = \frac{\rho_1}{1 + \left(\frac{\rho_1}{\rho_2} - 1\right) \left( e^{-\frac{4h\sqrt{\pi}}{A}} \right)} \quad \text{เมื่อ } \rho_2 < \rho_1 \quad (5)$$

$$\rho_a = \frac{\rho_2}{1 + \left(\frac{\rho_1}{\rho_2} - 1\right) \left( e^{-\frac{4h\sqrt{\pi}}{A}} \right)} \quad \text{เมื่อ } \rho_2 > \rho_1 \quad (6)$$

$$\text{เมื่อ } K = \frac{\rho_2 - \rho_1}{\rho_2 + \rho_1} \quad (7)$$

โดยที่  $K$  คือสัมประสิทธิ์การสะท้อน

2.4.2 สมการ Xiaobin

สมการวิธีใหม่ที่ใช้คำนวณหาความต้านทานการวัดคลื่นในสถานีไฟฟ้า โดยใช้แบบโครงสร้างเป็นดินสองชั้นมีสมการดังนี้

$$R_s = \frac{\rho_2}{4\sqrt{\frac{\pi}{A}}} \quad \text{เมื่อ } \rho_2 < \rho_1, h < h_c \quad (8)$$

$$R_s = \frac{\rho_2 \sqrt{\pi} + h \rho_1 \left( 2316 \ln \left( \frac{\rho_2}{\rho_1} + 319 \right) - 78 \right) \times \left( 1 + 1.95 e^{-\frac{4h\sqrt{\pi}}{A}} - 0.3 e^{-\frac{h\sqrt{\pi}}{A}} \right)}{4A + 4h\sqrt{\pi} \left( 2316 \ln \left( \frac{\rho_2}{\rho_1} + 319 \right) - 78 \right) \times \left( 1 + 1.95 e^{-\frac{4h\sqrt{\pi}}{A}} - 0.3 e^{-\frac{h\sqrt{\pi}}{A}} \right)} \quad \text{เมื่อ } \rho_2 < \rho_1, h \geq h_c \quad (9)$$

$$R_s = \frac{\rho_2 \sqrt{\pi} + h \rho_1 \left( 2316 \ln \left( \frac{\rho_2}{\rho_1} + 319 \right) - 78 \right) \times \left( 1 + 1.55 e^{-\frac{4h\sqrt{\pi}}{A}} - 0.1 e^{-\frac{2h\sqrt{\pi}}{A}} + 0.2 e^{-\frac{h\sqrt{\pi}}{A}} \right)}{4A + 4h\sqrt{\pi} \left( 2316 \ln \left( \frac{\rho_2}{\rho_1} + 319 \right) - 78 \right) \times \left( 1 + 1.55 e^{-\frac{4h\sqrt{\pi}}{A}} - 0.1 e^{-\frac{2h\sqrt{\pi}}{A}} + 0.2 e^{-\frac{h\sqrt{\pi}}{A}} \right)} \quad \text{เมื่อ } \rho_2 \geq \rho_1 \quad (10)$$

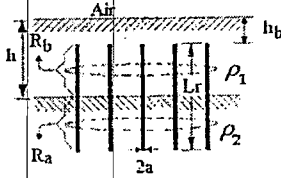
โดยที่

- $A$  คือพื้นที่ของกราวด์กริด,  $m^2$
- $h$  คือความลึกของดินชั้นบน,  $m$ .
- $h_c$  คือความลึกของกริด,  $m$ .



2.4.3 ความต้านทานแท่งควาตรวด [3], [5]

ในการหาความต้านทานแท่งควาตรวด แสดงหาโมดูลอร์ สำหรับคำนวณหาความต้านทานแท่งควาตรวดในแบบจำลองของดินสองชั้นสามารถแสดงได้ดังรูปที่ 2 โดยหาได้จากสมการที่ (11) ดังนี้



รูปที่ 2 แท่งควาตรวดในดินสองชั้น

$$R_r = \frac{1}{\frac{1}{R_s} + \frac{1}{R_b}} \quad (11)$$

เมื่อ  $R_s = \frac{\rho_1 \rho_2 F_0}{(L_r + h_b - h)r}$  (12)

$$R_b = \frac{\rho_1 \rho_2 F_0}{(h + h_b)r} + \frac{\rho_2}{h} \quad (13)$$

2.4.4 ผลรวมความต้านทานกราวด์และแท่งควาตรวด

เมื่อระบบต่อลงดินในสถานีไฟฟ้าประกอบไปด้วยกราวด์ลิตและแท่งควาตรวดที่เชื่อมต่อกัน ดังนั้นความต้านทานรวมทั้งเบด [3], [5] สามารถหาค่าได้จากสมการที่ (14) ดังนี้

$$R_T = \frac{1}{\left(\frac{1}{R_g}\right) + \left(\frac{1}{R_r}\right)} \quad (14)$$

2.4.5 การคำนวณหาความต้านทานระบบต่อลงดิน

การคำนวณหาความต้านทานระบบต่อลงดินในสถานีไฟฟ้าแรงดัน 115/22 kV ชนิดติดตั้งภายนอกจำนวน 3 แท่ง ของระบบการจ่ายไฟฟ้าใฝ่ส่วนภูมิภาค โดยสมการของ Sverak ตามมาตรฐาน IEEE80-2000 และสมการของ Xioabin ถูกนำมาเปรียบเทียบกับผลที่คำนวณได้จากโปรแกรม CDEGS [4] ซึ่งเป็นค่าที่การใฝ่ส่วนภูมิภาคใช้ในการออกแบบ

| Case | Substation | Parameter | CDEGS   | Two Layers |         | CDEGS   |                |                |     |
|------|------------|-----------|---------|------------|---------|---------|----------------|----------------|-----|
|      |            |           |         | Two Layers | Sverak  | Xioabin | P <sub>1</sub> | P <sub>2</sub> | b   |
| 1    | DusSaket   | RT(Ohm)   | 0.4910  | 0.5624     | 0.4462  |         |                |                |     |
|      |            | Imp(%)    | 26.92   | 26.92      | 11.26   | 188     | 49             | 0.902          | 0.5 |
|      |            | GPR(Volt) | 12.032  | 15.922     | 14.955  |         |                |                |     |
| 3    | Nangroeng  | RT(Ohm)   | 0.8651  | 0.7224     | 0.9271  |         |                |                |     |
|      |            | Imp(%)    | 11.235  | 24.32      | 14.1    | 18.24   | 12.10          | 0.991          | 0.5 |
|      |            | GPR(Volt) | 0.89414 | 0.89248    | 0.89286 |         |                |                |     |
| 2    | Wueth      | RT(Ohm)   | 11.53   | 6.85       | 8.52    |         |                |                |     |
|      |            | Imp(%)    | 139     | 115        | 122     |         |                |                |     |
|      |            | GPR(Volt) |         |            |         |         |                |                |     |

ตารางที่ 1 เปรียบเทียบค่าความต้านทานกราวด์ลิต

เนื่องจากสภาพภูมิประเทศที่มีความแตกต่างกันระหว่างที่สถานีไฟฟ้าโดยละเอียดมีค่า  $\rho_1 > \rho_2$  สถานีไฟฟ้าแรงรอง (ชั่วคราว) และสถานีไฟฟ้าลิตไบสมีค่า  $\rho_1 < \rho_2$

ผลการทดลองสรุปได้คือ ในกรคำนวณหาความต้านทานระบบต่อลงดินด้วยสมการ Sverak ตามมาตรฐาน IEEE80-2000 มีความคลาดเคลื่อนมากกว่าการคำนวณด้วยสมการของ Xioabin ดังนั้นจึงได้นำสมการนี้ไปประยุกต์ใช้คำนวณหาความต้านทานกราวด์ลิต

2.5 ค่ากระแสแตรกิตสูงสุด

แฟคเตอร์ส่วนลด (Decrement Factor, D) หมายถึง แฟคเตอร์เพื่อใช้ในการหาความถี่แตรกิตเฉลี่ย ( $I_g$ ) เพื่อหากระแสแตรกิตที่รวมกระแสตรง ( $I_{dc}$ ) ด้วย

$$I_G = D_f \times I_c \quad (15)$$

และสามารถหาค่ากระแสแตรกิตเฉลี่ยได้จากสมการดังนี้

$$I_g = S_f \times I_f \quad (16)$$

โดยที่  $I_f$  คือกระแสแตรกิตแรงดันดิน, A.

$S_f$  คือแฟคเตอร์แบ่งกระแส (Division Factor)

2.6 การตรวจสอบแรงดันที่กราวด์ลิตกับแรงดันไฟฟ้าสัมผัสที่มนุษย์ทนได้

ค่าแรงดันที่กราวด์ลิต (Ground Potential Rise, GPR) หาได้จากผลคูณของกระแสแตรกิตสูงสุดกับค่าความต้านทานระบบต่อลงดิน ดังสมการ

$$GPR = I_g \times R_T \quad (17)$$

2.7 การคำนวณค่าแรงดันไฟฟ้าที่เกิดขึ้นในสถานีไฟฟ้า

2.7.1 แรงดันไฟฟ้าแตรกิต ( $E_m$ ) ของกราวด์ลิต

$$E_m = \frac{\rho_e K_s K_f I_G}{L_w} \quad (18)$$

2.7.2 แรงดันไฟฟ้าชั่วคราว ( $E_c$ ) ของกราวด์ลิต

$$E_c = \frac{\rho_e K_s K_f I_G}{L} \quad (19)$$

2.8 การเปลี่ยนแปลงการออกแบบ

ถ้าการออกแบบยังไม่เกิดความปลอดภัย ดังนั้นจะต้องเปลี่ยนแปลงค่าต่างๆเพื่อเพิ่มแรงดันที่ทนทานรอนได้และลดแรงดันของกราวด์ลิตลง โดยลดระยะห่างระหว่างกราวด์, เพิ่มความลึกของกราวด์ลิต, ลดกระแสแตรกิต, ลดช่วงเวลาการไหลของกระแสแตรกิต และเพิ่มความหนาของวัสดุปูผิวดิน

3. การคำนวณและการออกแบบกราวด์ลิตด้วยวิธีดินสองชั้น

ตัวอย่างการออกแบบสถานีไฟฟ้าแรงดัน 115/22 kV ของการไฟฟ้าส่วนภูมิภาค โดยใช้โปรแกรม Visual Basic ที่ได้พัฒนาขึ้นกับแนลให้ข้อมูลในการออกแบบมีค่าดังนี้

ช่วงเวลาที่เกิดกระแสแตรกิต  $t_f = 0.6$  s., กระแสแตรกิตสูงสุด  $I_f = 31,500$  A., กระแสแบ่งไหล  $S_f = 0.6$ , แฟคเตอร์ส่วนลด  $D_f = 1$ ,



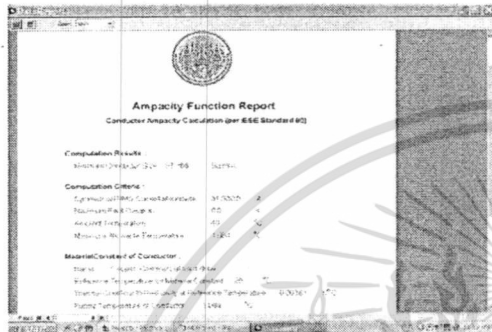
ความต้านทานจำเพาะ ของวัสดุผิวดิน  $\rho_s = 3,000 \Omega\cdot\text{m}$ . ความหนาของวัสดุผิวดิน  $h_s = 0.1 \text{ m}$ . และค่าความลึกของกริด  $h_g = 0.5 \text{ m}$ .

ขั้นตอนที่ 1 : ตัวรวจข้อมูลและพื้นที่ของสถานีไฟฟ้า

กราวด์กริดของสถานีไฟฟ้าที่มีขนาด  $72 \text{ m} \times 72 \text{ m}$  ดังนั้นกราวด์กริดที่มีขนาดพื้นที่  $5,184 \text{ m}^2$  ใช้โปรแกรม CDEGS คำนวณค่าความต้านทานจำเพาะ ของดินชั้นบน  $\rho_1 = 180 \Omega\cdot\text{m}$ . และค่าความต้านทานจำเพาะ ของดินชั้นล่าง  $\rho_2 = 50 \Omega\cdot\text{m}$ . โดยค่าความลึกของดินชั้นบน  $h = 1.10 \text{ m}$ .

ขั้นตอนที่ 2 : หาขนาดของสายลวดนำ

หาขนาดสายลวดนำได้เท่ากับ  $87.366 \text{ m}^2$  และเนื่องจากขนาดที่ได้จากการคำนวณไม่มีกรใช้งาน ดังนั้นจะเลือกใช้ขนาด  $95 \text{ m}^2$



รูปที่ 3 หน้าจอผลการคำนวณหาขนาดสายลวดนำ

ขั้นตอนที่ 3 : หาตัวแรงดันไฟฟ้าที่มนุษย์สามารถทนได้ สำหรับคนน้ำหนัก 50 กิโลกรัม โดยหาจากแรงดันไฟฟ้าสัมผัสและค่าแรงดันไฟฟ้าช่วงก้าวได้เท่ากับ  $620 \text{ V}$  และ  $2,029 \text{ V}$  ตามลำดับ

ขั้นตอนที่ 4 : ออกแบบกราวด์กริด โดยให้ระยะห่างระหว่างกริดเท่ากับ  $3 \text{ m} \times 3 \text{ m}$  และปลั๊กกราวด์รอยยาว  $6 \text{ m}$  จำนวน 50 แท่ง

ขั้นตอนที่ 5 : การหาค่าความต้านทานรวมของดินจากสมการที่ (14) ได้เท่ากับ  $R_g = 0.279 \Omega$

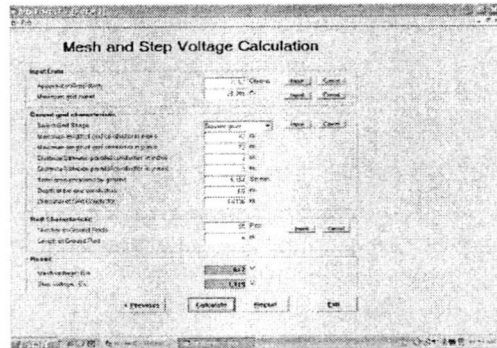
ขั้นตอนที่ 6 : การหาค่ากระแสลัดกริด จากสมการที่ (15) และ (16) ได้เท่ากับ  $20,349 \text{ A}$ .

ขั้นตอนที่ 7 : ตรวจสอบแรงดันที่กราวด์กริด (GPR) จากสมการที่ (17) ได้เท่ากับ  $5.677 \text{ V}$  โดยแรงดันไฟฟ้าสัมผัสที่มนุษย์สามารถทนได้ ( $620 \text{ V}$ ) เห็นได้ว่าแรงดันไฟฟ้าที่กราวด์กริดมีค่ามากกว่า จะต้องทำการตรวจสอบแรงดันไฟฟ้าสัมผัสของกราวด์กริดกับแรงดันไฟฟ้าสัมผัสที่มนุษย์สามารถทนได้ต่อไป

ขั้นตอนที่ 8 : การคำนวณค่าแรงดันไฟฟ้าสัมผัสและแรงดันไฟฟ้าช่วงก้าวที่เกิดขึ้นในสถานีไฟฟ้าจากสมการที่ (18) และ (19) ได้เท่ากับ  $61.7 \text{ V}$  และ  $1,119 \text{ V}$  ตามลำดับ

ขั้นตอนที่ 9 : การตรวจสอบแรงดันไฟฟ้าสัมผัสของกราวด์กริดที่มีค่าต่ำกว่าแรงดันไฟฟ้าสัมผัสที่มนุษย์สามารถทนได้ แสดงว่าการ

ออกแบบนั้นมีความปลอดภัยแล้ว จึงทำการตรวจสอบแรงดันไฟฟ้าช่วงก้าวของกราวด์กริดกับแรงดันไฟฟ้าช่วงก้าวที่มนุษย์ทนได้ต่อไป



รูปที่ 4 หน้าจอผลการคำนวณหาค่าแรงดันไฟฟ้าสัมผัสและแรงดันไฟฟ้าช่วงก้าวที่เกิดขึ้นในสถานีไฟฟ้า

ขั้นตอนที่ 10 : การตรวจสอบ แรงดันไฟฟ้าช่วงก้าวของกราวด์กริดที่มีค่าต่ำกว่าแรงดันไฟฟ้าช่วงก้าวที่มนุษย์สามารถทนได้ แสดงว่าการออกแบบนั้นมีความปลอดภัยและสามารถนำไปใช้งานได้

### 4. บทสรุป

จากการออกแบบพบว่ากรอกแบบกราวด์กริดของสถานีไฟฟ้าข้อมติที่ได้จากการคำนวณความต้านทานกราวด์กริดด้วยสมการ Xiaobin จะ ได้ค่าใกล้เคียงกับค่าที่คำนวณด้วยโปรแกรม CDEGS และส่งผลให้การคำนวณหาว่าแรงดันไฟฟ้าที่มนุษย์ทนได้ การคำนวณหาค่ากระแสลัดกริด และ การคำนวณหาค่าแรงดันไฟฟ้าที่เกิดขึ้นในสถานีไฟฟ้ามีความถูกต้องสามารถนำไปใช้เป็นโปรแกรมใช้งานได้

### เอกสารอ้างอิง

- [1] IEEE Guide for Safety in AC Substation Grounding, 2000.
- [2] Xiaobin Cao, Guangang Wu, Weiming Zhou, Ruifang Li, "New Method for Calculating Ground Resistance of Grounding Grids Buried in Horizon Two-Layer Soil" International Conference on High Voltage Engineering and Application, November 9-13, 2008
- [3] Cheng-Nan Chang and Chien-Hsing Lee, "Computation of Ground Resistances and Assessment of Ground Grid Safety at 161/23.9-kV Indoor-Type Substation", IEEE Transactions on Power Delivery, Vol. 21, No. 3, July 2006.
- [4] Engineering Guide a Simple Substation Grounding Grid Analysis, Safe Engineering Services & Technologies, Ltd, 2004.
- [5] Y. L. Chow, M. M. Sherbiny, and M. M. A. Salama, "Resistance formulas of grounding system: in two-layer earth," IEEE Trans. Power Del., vol. 11, no. 2, pp. 1330-1336, Apr. 1996.



เอกสารนี้เป็นเอกสารที่สงวนไว้สำหรับการใช้งานเพื่อการศึกษาเท่านั้น ไม่อนุญาตให้นำไปใช้ประโยชน์ด้านการค้า  
ไม่ว่ากรณีใดๆ ทั้งสิ้น อีกทั้งห้ามมิให้ดัดแปลงเนื้อหา และต้องอ้างอิงถึงเจ้าของเอกสารทุกครั้งที่มีการนำไปใช้

## ประวัติผู้เขียน

|                       |   |
|-----------------------|---|
| ชื่อ-นามสกุล          | พลนัทร กัลยา  |
| วัน เดือน ปีเกิด      | 5 พฤษภาคม 2523 ที่จังหวัดอุบลราชธานี  |
| ที่อยู่               | 2 ซอยชยางกูร 10.1 ถนนชยางกูร ตำบลในเมือง อำเภอเมือง<br>จังหวัดอุบลราชธานี 34000         |
| ประวัติการศึกษา       | พ.ศ. 2546 วิศวกรรมศาสตรบัณฑิต สาขาวิศวกรรมไฟฟ้า<br>จุฬาลงกรณ์มหาวิทยาลัย                |
| ประสบการณ์การทำงาน    |   |
| พ.ศ. 2546 – พ.ศ. 2547 | วิศวกรไฟฟ้า<br>บริษัท ซีโนไทย เอ็นจิเนียริง แอนด์ คอนสตรัคชั่น จำกัด(มหาชน)             |
| พ.ศ. 2547 – พ.ศ. 2548 | วิศวกรระดับ 4 แผนกออกแบบระบบควบคุมและป้องกัน<br>กองออกแบบสถานีไฟฟ้า การไฟฟ้าส่วนภูมิภาค |
| พ.ศ. 2548 – ปัจจุบัน  | วิศวกรระดับ 5 แผนกออกแบบสถานีไฟฟ้า I<br>กองออกแบบสถานีไฟฟ้า การไฟฟ้าส่วนภูมิภาค         |